

§1. 板の座屈の基礎理論.

Plate die Platte 板. とは

- z 方向荷重
- x, y 方向 y 方向まわりのモーメント, ねじりモーメントも受ける。

Disk die Scheibe 板(盤)

- x, y 方向 y 方向荷重も受ける。

Shell die Schale 殻

- 中立面が曲面であるもの

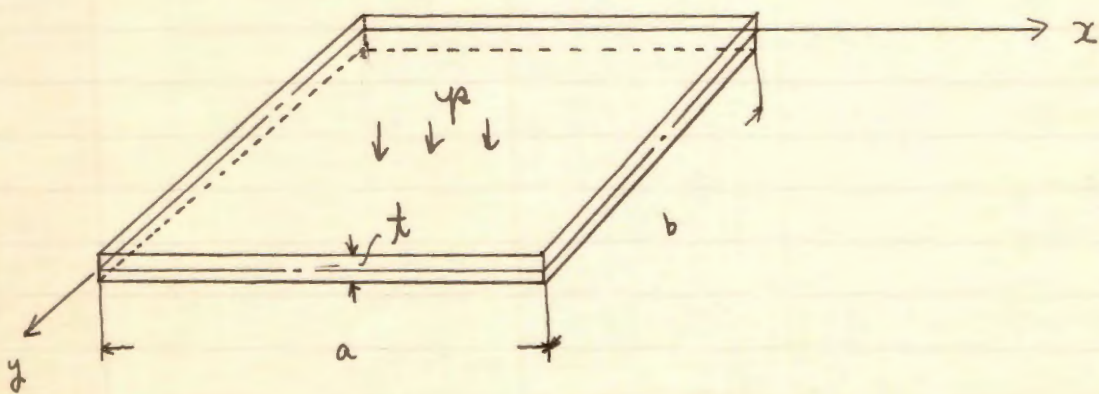
Section 1. 板の曲げ理論における仮定.

- i) 板の中立面は平面である
- ii) 板厚は *constant*, 辺長に比してきわめて小さい
- iii) 板は均質でかつ連続な弾性体
- iv) 荷重は中立面に垂直に作用する
- v) ベルヌーイ・オイラーの仮定.

平面保持の原則.

“変形前に中立面に直角な断面は,

変形後も ‘ ‘ である.”



Section 2. z方向荷重のみの場合の基礎方程式

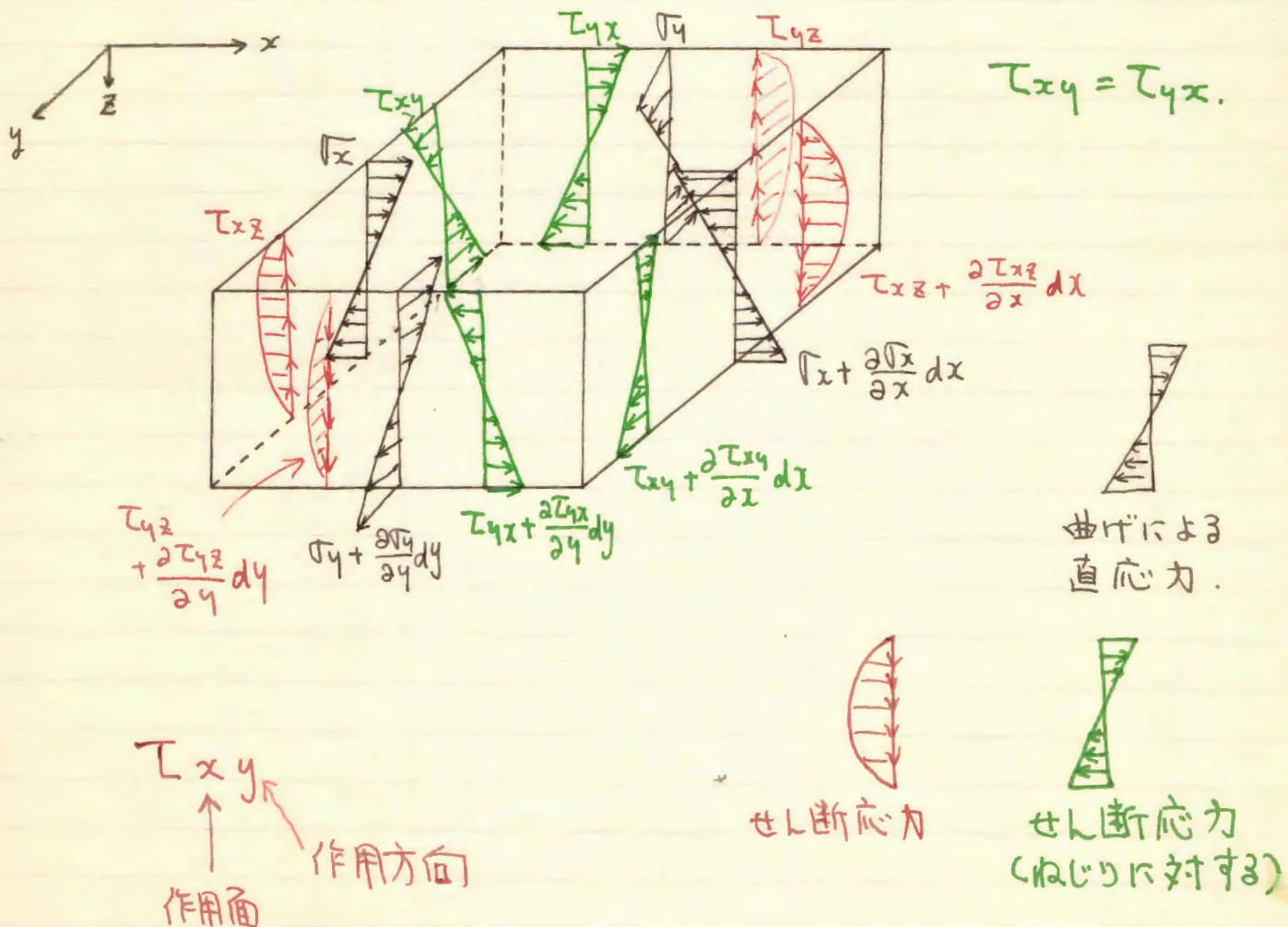
三次元連続体



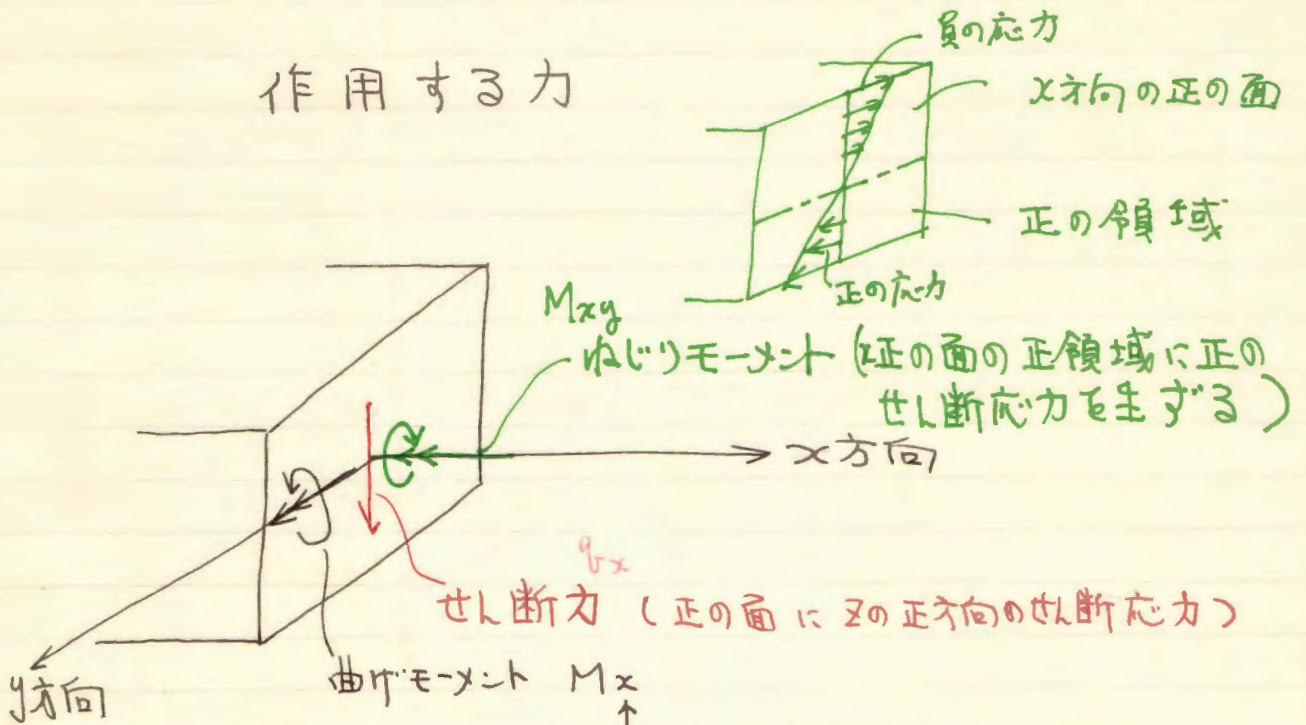
三変数の偏微分方程式

平板の微小要素 $dx \cdot dy$.

作用する stress.



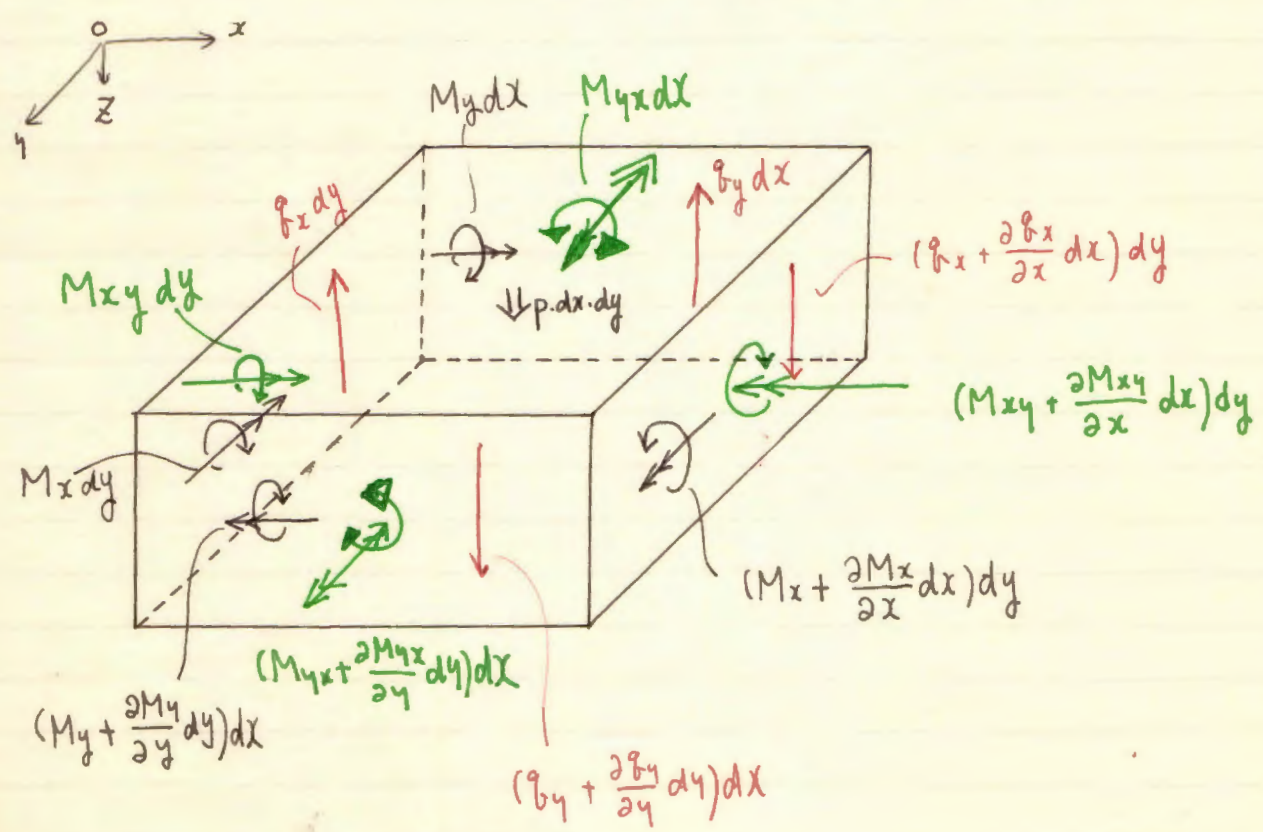
作用する力



M_{xy} ねじりモーメント (正の面の正領域に正のせん断応力を生ずる)

Q_x せん断力 (正の面に x の正方向のせん断応力)

M_x 曲げモーメント
 x 方向に normal stress を与える曲げモーメントの意味.



M_x : x 方向に *normal stress* を与える B.M.

(x 又面内の B.M.) - y 軸まわり

M_y : y 方向に *normal stress* を与える B.M.

(y 又面内の B.M.) - x 軸まわり.

M_{xy} : 正の x 面 / z の正の領域 / y の正の S. stress を与える

(x 軸まわりのねじり)

M_{yx} : 正の y 面 / 正の領域 / x の正方向の Shear Stress
を与え (y 軸まわりのねじり)

$$\tau_{xy} = \tau_{yx} .$$

↓

$$M_{xy} = M_{yx} .$$

$$M_x = \int_{-\frac{t}{2}}^{\frac{t}{2}} \sigma_x \cdot z \, dz$$

$$M_y = \int_{-\frac{t}{2}}^{\frac{t}{2}} \sigma_y \cdot z \, dz$$

$$M_{xy} = M_{yx} = \int_{-\frac{t}{2}}^{\frac{t}{2}} \tau_{xy} z \, dz \quad (\because \tau_{xy} = \tau_{yx})$$

$$Q_x = \int_{-\frac{t}{2}}^{\frac{t}{2}} \tau_{xz} \, dz$$

$$Q_y = \int_{-\frac{t}{2}}^{\frac{t}{2}} \tau_{yz} \, dz$$

1) z 方向の力のつり合い.

$$-q_x dy + (q_x + \frac{\partial q_x}{\partial x} dx) dy - q_y dx + (q_y + \frac{\partial q_y}{\partial y} dy) dx + p dx dy = 0$$

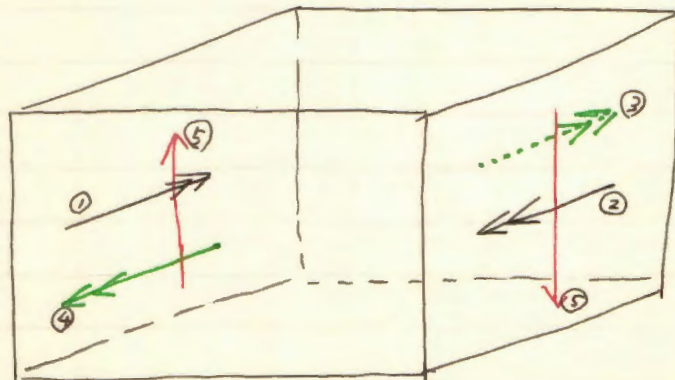
$$\therefore \frac{\partial q_x}{\partial x} + \frac{\partial q_y}{\partial y} + p = 0$$

(梁) せん断力
 $\left[\frac{\partial S_x}{\partial x} = -p \right]$
 荷重

2) xz 面内のモーメント (y 軸まわりの)

$$-M_x dy + (M_x + \frac{\partial M_x}{\partial x} dx) dy - M_y dx + (M_y + \frac{\partial M_y}{\partial y} dy) dx - q_x \cdot dx \cdot dy = 0$$

$$\frac{\partial M_x}{\partial x} + \frac{\partial M_y}{\partial y} - q_x = 0$$



(梁) B.M.
 $\left[\frac{dM}{dx} = S \right]$
 S.F.

3) x 軸まわりの
 (yz 面内)

$$\frac{\partial M_y}{\partial y} + \frac{\partial M_x}{\partial x} - q_y = 0$$

$$\frac{\partial M_x}{\partial x} + \frac{\partial M_{xy}}{\partial y} = q_x \Rightarrow \frac{\partial^2 M_x}{\partial x^2} + \frac{\partial^2 M_{xy}}{\partial x \partial y} = \frac{\partial q_x}{\partial x}$$

$$\frac{\partial M_y}{\partial y} + \frac{\partial M_{xy}}{\partial x} = q_y \Rightarrow \frac{\partial^2 M_y}{\partial y^2} + \frac{\partial^2 M_{xy}}{\partial x \partial y} = \frac{\partial q_y}{\partial y}$$

$$\therefore \boxed{\frac{\partial^2 M_x}{\partial x^2} + 2 \frac{\partial^2 M_{xy}}{\partial x \partial y} + \frac{\partial^2 M_y}{\partial y^2} = -r(x, y)} \quad (5.5)$$

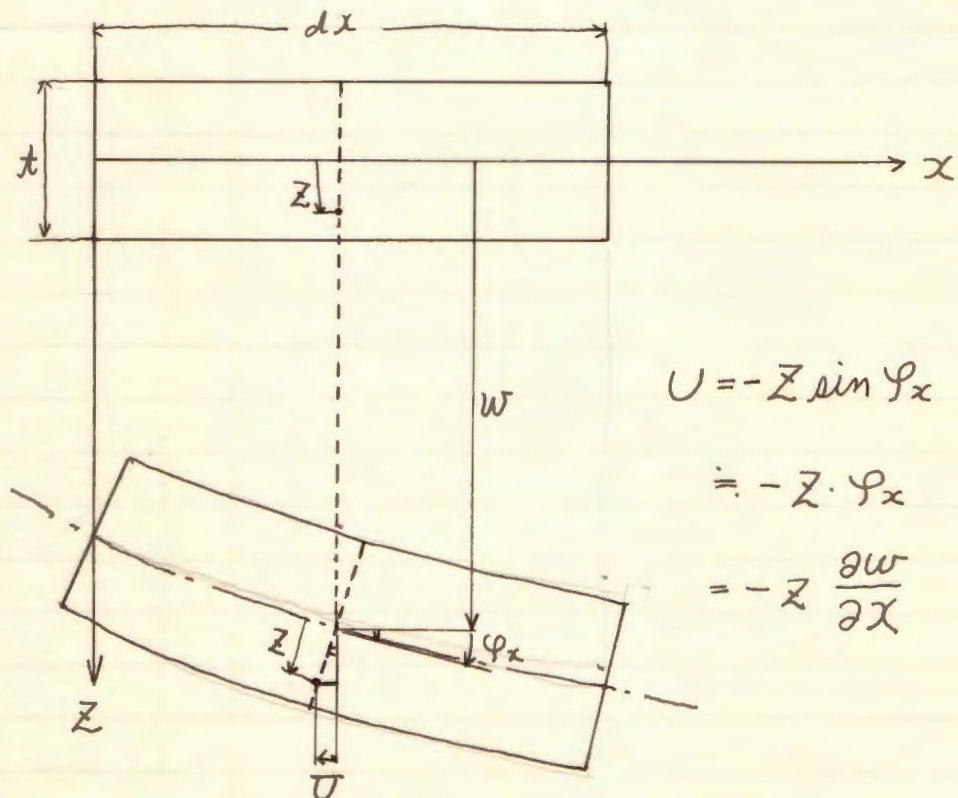
[梁]

$$\frac{\partial^2 M}{\partial x^2} = -r(x)$$

応力法 — 釣合方程式

< 外力と内力の釣り合い >

⊙ ひずみと変形の関係 < 適合条件 >



$$U = -z \sin \varphi_x$$

$$\approx -z \cdot \varphi_x$$

$$= -z \frac{\partial w}{\partial x}$$

$$\therefore \begin{cases} y \text{ 方向} & V = -z \frac{\partial w}{\partial y} \\ x \text{ 方向} & U = -z \frac{\partial w}{\partial x} \end{cases}$$

$$\varepsilon_x = \frac{\partial U}{\partial x} = -z \frac{\partial^2 w}{\partial x^2}$$

$$\varepsilon_y = \frac{\partial V}{\partial y} = -z \frac{\partial^2 w}{\partial y^2}$$

$$\gamma_{xy} = \frac{\partial U}{\partial y} + \frac{\partial V}{\partial x} = -2z \frac{\partial^2 w}{\partial x \partial y}$$

適合条件.

⊙ 構成方程式

$$\sigma_x = \frac{E}{1-\nu^2} (\varepsilon_x + \nu \varepsilon_y)$$

$$\sigma_y = \frac{E}{1-\nu^2} (\nu \varepsilon_x + \varepsilon_y)$$

$$\tau_{xy} = G \gamma_{xy}$$

STEP1. 応力を変位(w)で表わす。

適合条件と構成方程式から、

ν を消去する。

$$\sigma_x = -\frac{Ez}{1-\nu^2} \left(\frac{\partial^2 w}{\partial x^2} + \nu \frac{\partial^2 w}{\partial y^2} \right)$$

$$\sigma_y = -\frac{Ez}{1-\nu^2} \left(\frac{\partial^2 w}{\partial y^2} + \nu \frac{\partial^2 w}{\partial x^2} \right)$$

$$\tau_{xy} = -2Gz \frac{\partial^2 w}{\partial x \partial y}$$

STEP2. 断面力を変位(w)で表わす。

$$M_x = \int_{-\frac{t}{2}}^{\frac{t}{2}} \sigma_x z \, dz = -\frac{E}{1-\nu^2} \left(\frac{\partial^2 w}{\partial x^2} + \nu \frac{\partial^2 w}{\partial y^2} \right) \int_{-\frac{t}{2}}^{\frac{t}{2}} z^2 \, dz$$

$$\therefore M_x = -\frac{Et^3}{12(1-\nu^2)} \left(\frac{\partial^2 w}{\partial x^2} + \nu \frac{\partial^2 w}{\partial y^2} \right) = -D \left(\frac{\partial^2 w}{\partial x^2} + \nu \frac{\partial^2 w}{\partial y^2} \right)$$

同様に $M_y = -D \left(\frac{\partial^2 w}{\partial y^2} + \nu \frac{\partial^2 w}{\partial x^2} \right)$

$$\begin{aligned} M_{xy} &= -\frac{Gt^3}{6} \frac{\partial^2 w}{\partial x \partial y} = -\frac{Et^3}{12(1+\nu)} \frac{\partial^2 w}{\partial x \partial y} \\ &= -(1-\nu)D \frac{\partial^2 w}{\partial x \partial y} = -2 \left(\frac{1-\nu}{2} D \right) \frac{\partial^2 w}{\partial x \partial y} \end{aligned}$$

ただし $D = \frac{Et^3}{12(1-\nu^2)}$: 板の曲げ剛度

$\frac{1-\nu}{2} D$: ねじり剛度

とす。

$$\begin{aligned} q_x &= \int_{-\frac{t}{2}}^{\frac{t}{2}} \tau_{xz} dz = \frac{\partial M_x}{\partial x} + \frac{\partial M_{xy}}{\partial y} \\ &= -D \left(\frac{\partial^3 w}{\partial x^3} + \nu \frac{\partial^3 M_{xy}}{\partial x \partial y^2} \right) - (1-\nu) D \frac{\partial^3 w}{\partial x \partial y^2} \\ &= -D \left(\frac{\partial^3 w}{\partial x^3} + \frac{\partial^3 w}{\partial x \partial y^2} \right) \end{aligned}$$

$$\begin{aligned} q_y &= \int_{-\frac{t}{2}}^{\frac{t}{2}} \tau_{yz} dz = \frac{\partial M_y}{\partial y} + \frac{\partial M_{xy}}{\partial x} \\ &= -D \left(\frac{\partial^3 w}{\partial y^3} + \nu \frac{\partial^3 w}{\partial x^2 \partial y} \right) - (1-\nu) D \frac{\partial^3 w}{\partial x^2 \partial y} \\ &= -D \left(\frac{\partial^3 w}{\partial y^3} + \frac{\partial^3 w}{\partial x^2 \partial y} \right) \end{aligned}$$

STEP. 3. 変位を未知数とする基礎方程式 (変位法)

$$\frac{\partial^2 M_x}{\partial x^2} + 2 \frac{\partial^2 M_{xy}}{\partial x \partial y} + \frac{\partial^2 M_y}{\partial y^2} = -p(x, y)$$

すなわち、

$$-D \left(\frac{\partial^4 w}{\partial x^4} + \nu \frac{\partial^4 w}{\partial x^2 \partial y^2} \right) - 2(1-\nu)D \frac{\partial^4 w}{\partial x^2 \partial y^2} - D \left(\frac{\partial^4 w}{\partial y^4} + \nu \frac{\partial^4 w}{\partial x^2 \partial y^2} \right) = -p$$

$$\frac{\partial^4 w}{\partial x^4} + 2 \frac{\partial^4 w}{\partial x^2 \partial y^2} + \frac{\partial^4 w}{\partial y^4} = \frac{1}{D} p(x, y)$$

☆ 変位法の手順

(i) $\frac{\partial^4 w}{\partial x^4} + 2 \frac{\partial^4 w}{\partial x^2 \partial y^2} + \frac{\partial^4 w}{\partial y^4} = \frac{p(x, y)}{D}$ より $w(x, y)$ を求める。

[梁] $\frac{\partial^4 y}{\partial x^4} = \frac{p(x)}{EI}$

(ii) $M_x = -D \left(\frac{\partial^2 w}{\partial x^2} + \nu \frac{\partial^2 w}{\partial y^2} \right)$

$M_y = -D \left(\frac{\partial^2 w}{\partial y^2} + \nu \frac{\partial^2 w}{\partial x^2} \right)$

$M_{xy} = -2 \left(\frac{1-\nu}{2} D \right) \cdot \frac{\partial^2 w}{\partial x \partial y}$

$q_x = -D \left(\frac{\partial^3 w}{\partial x^3} + \frac{\partial^3 w}{\partial x \partial y^2} \right)$

$q_y = -D \left(\frac{\partial^3 w}{\partial y^3} + \frac{\partial^3 w}{\partial x^2 \partial y} \right)$

$M = -EI \frac{\partial^2 y}{\partial x^2}$

これらの式により、
断面力を求める。

$S = -EI \frac{\partial^3 y}{\partial x^3}$

(iii) $\sigma_x = \frac{M_x}{I} z$

$[I = \frac{t^3}{12}]$

$\sigma_y = \frac{M_y}{I} z$

$\tau_{xy} = \tau_{yx} = \frac{M_{xy}}{I} z$

$\tau_{xz} = \frac{q_x}{t} \quad (\because q_x = \int_{-\frac{t}{2}}^{\frac{t}{2}} \tau_{xz} dz)$

$\tau_{yz} = \frac{q_y}{t} \quad (\because q_y = \int_{-\frac{t}{2}}^{\frac{t}{2}} \tau_{yz} dz)$

これらの式より、
各応力を求める。

(iv) 構成方程式よりひずみが出る。

板の理論

$$\frac{\partial \delta_x}{\partial x} + \frac{\partial \delta_y}{\partial y} + p = 0$$

$$\left. \begin{aligned} \frac{\partial M_x}{\partial x} + \frac{\partial M_{xy}}{\partial y} - \delta_x &= 0 \\ \frac{\partial M_y}{\partial y} + \frac{\partial M_{xy}}{\partial x} - \delta_y &= 0 \end{aligned} \right\}$$

$$\frac{\partial^2 M_x}{\partial x^2} + 2 \frac{\partial^2 M_{xy}}{\partial x \partial y} + \frac{\partial^2 M_y}{\partial y^2} = -p(x, y)$$

梁の理論

$$\frac{\partial S_x}{\partial x} = -p$$

せん断力と荷重

$$\frac{\partial M}{\partial x} = S$$

曲げモーメント
とせん断力

$$\frac{d^2 M}{dx^2} = -p(x)$$

曲げモーメントと荷重

$$\left\{ \frac{\partial^4 w}{\partial x^4} + 2 \frac{\partial^4 w}{\partial x^2 \partial y^2} + \frac{\partial^4 w}{\partial y^4} = \frac{p(x, y)}{D} \right.$$

$$\left\{ \begin{aligned} \frac{\partial^4 y}{\partial x^4} &= \frac{p(x)}{EI} \\ \left(\because M = -EI \frac{\partial^2 y}{\partial x^2} \right) \end{aligned} \right.$$

変位法.

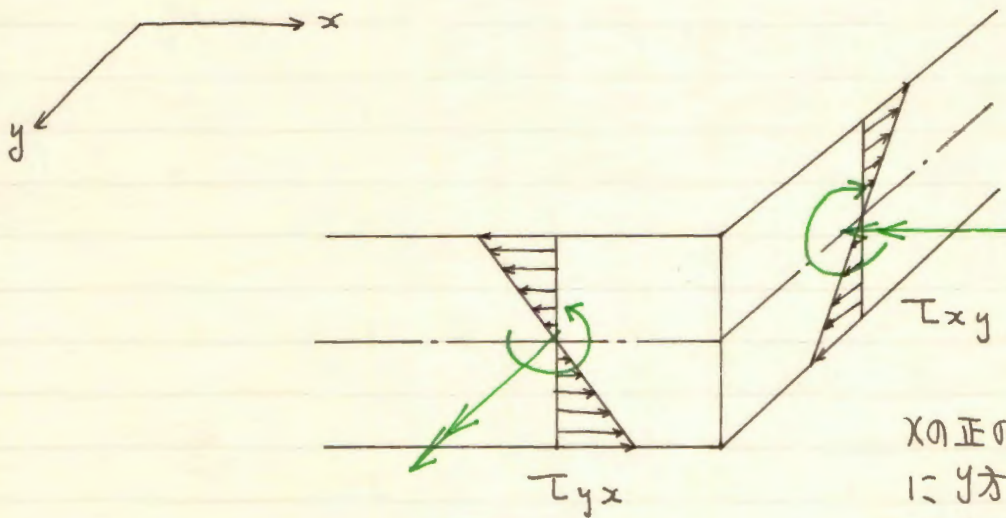
$$M_x = -D \left(\frac{\partial^2 w}{\partial x^2} + \nu \frac{\partial^2 w}{\partial y^2} \right)$$

$$M_y = -D \left(\frac{\partial^2 w}{\partial y^2} + \nu \frac{\partial^2 w}{\partial x^2} \right)$$

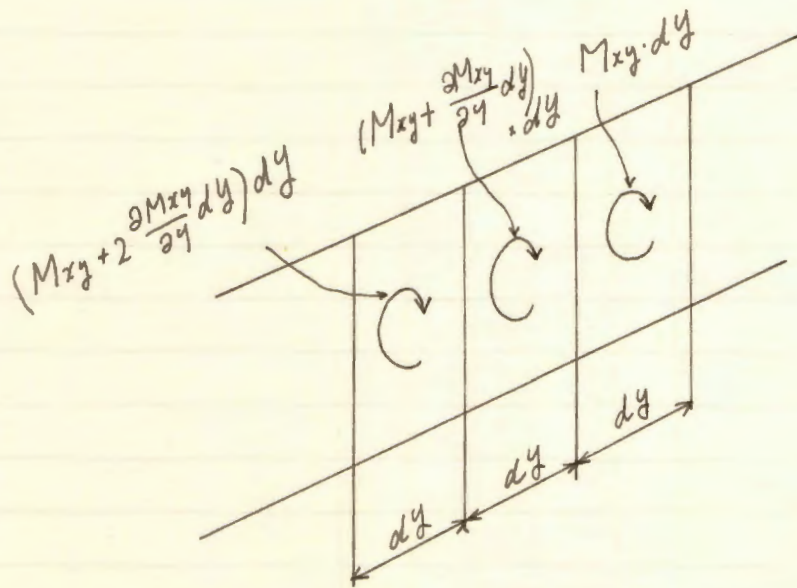
$$M_{xy} = -2 \left(\frac{1-\nu}{2} D \right) \frac{\partial^2 w}{\partial x \partial y}$$

◎ 境界条件 (支持条件) による積分定数の決定。

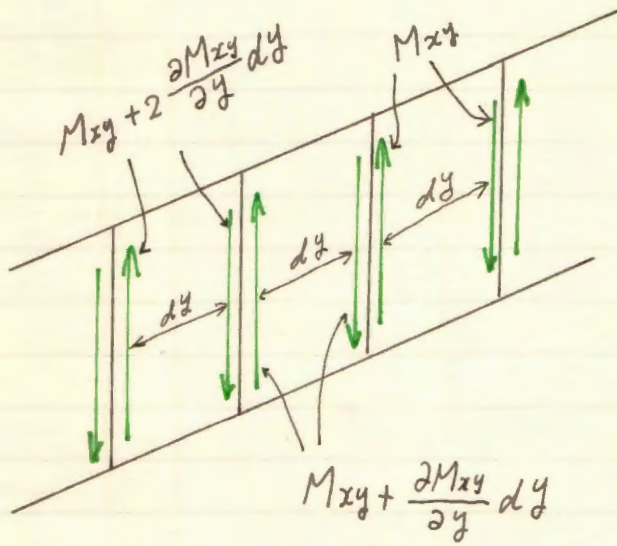
(★) ねじりモーメントによる反力。



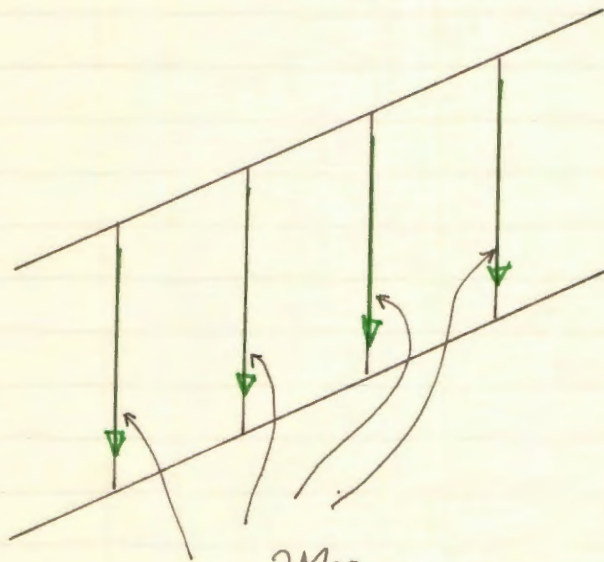
Xの正の面の正領域
にY方向に正の直応力
が与えられる。
< 正のねじりモーメント >



(a)



(b)



$\frac{\partial M_{xy}}{\partial y} dy$: 一様分布 $\left(\frac{\partial M_{xy}}{\partial y} \right)$
 のせん断力、

(c)

◦ Kirchhoff の換算力

$$\bar{q}_x = q_x + \frac{\partial M_{xy}}{\partial y}$$

\bar{q}_x ← 等価せん断力
 q_x ← 鉛直方向のせん断力
 $\frac{\partial M_{xy}}{\partial y}$ ← ねじりモーメントによるせん断力に相当する。

(単純支持では、ねじりに対する反力はこの換算力となる)

同様に

$$\bar{q}_y = q_y + \frac{\partial M_{xy}}{\partial x}$$

(固定支持では、ねじりモーメントが生ずる)

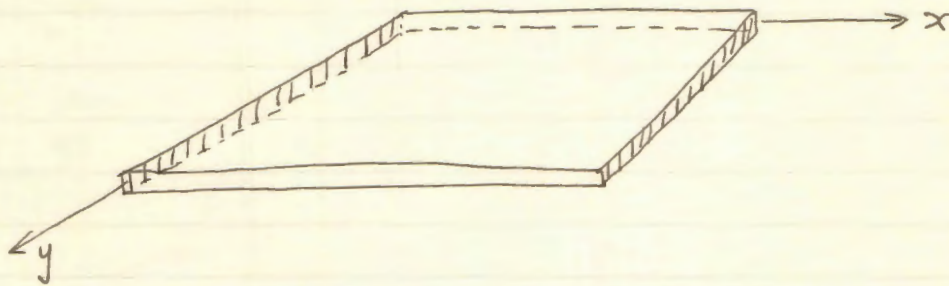
(換算力)

$$\begin{aligned} \bar{q}_x &= -D \left(\frac{\partial^3 w}{\partial x^3} + \frac{\partial^3 w}{\partial x \partial y^2} \right) - (1-\nu) D \frac{\partial^3 w}{\partial x \partial y^2} \\ &= -D \left[\frac{\partial^3 w}{\partial x^3} + (2-\nu) \frac{\partial^3 w}{\partial x \partial y^2} \right] \end{aligned}$$

$$\begin{aligned} \bar{q}_y &= -D \left(\frac{\partial^3 w}{\partial y^3} + \frac{\partial^3 w}{\partial x^2 \partial y} \right) - (1-\nu) D \frac{\partial^3 w}{\partial x^2 \partial y} \\ &= -D \left[\frac{\partial^3 w}{\partial y^3} + (2-\nu) \frac{\partial^3 w}{\partial x^2 \partial y} \right] \end{aligned}$$

◎ 支持条件

(I) 単純支持 (y 面を考之る — $x = \text{const.}$)



たわみ 零

$$w = 0$$

たわみ角

$$\frac{\partial w}{\partial y} = 0$$

$$\frac{\partial w}{\partial x} = \text{const.}$$

曲げモーメント 零

$$M_x = 0$$

$$\frac{\partial^2 w}{\partial x^2} = 0$$

or

$$M_x = -D \left(\frac{\partial^2 w}{\partial x^2} + \nu \frac{\partial^2 w}{\partial y^2} \right) = 0$$

$$\text{or } \frac{\partial^2 w}{\partial x^2} + \frac{\partial^2 w}{\partial y^2} = \nabla^2 w = 0$$

< +E の境界条件 >

$$\text{反力 } \bar{q}_x = -D \left[\frac{\partial^3 w}{\partial x^3} + (2-\nu) \frac{\partial^3 w}{\partial x \partial y^2} \right]$$

(II) 固定支持. ()

$$\boxed{w = 0} \quad (\text{たわみなし})$$

$$\boxed{\frac{\partial w}{\partial x} = 0} \quad \left(\frac{\partial w}{\partial y} = 0 \right) \quad - \text{たわみ角なし}$$

$$\text{反力} \quad q_x = -D \left[\frac{\partial^3 w}{\partial x^3} + \frac{\partial^3 w}{\partial x \partial y^2} \right]$$

(III) 自由端

$$w \neq 0, \quad \frac{\partial w}{\partial x} \neq 0, \quad \frac{\partial w}{\partial y} \neq 0.$$

$$\boxed{M_x = 0}$$

$$\text{or} \quad \frac{\partial^2 w}{\partial x^2} + \nu \frac{\partial^2 w}{\partial y^2} = 0$$

$$\boxed{\bar{q}_x = 0}$$

$$\text{or} \quad \frac{\partial^3 w}{\partial x^3} + (2-\nu) \frac{\partial^3 w}{\partial x \partial y^2} = 0$$

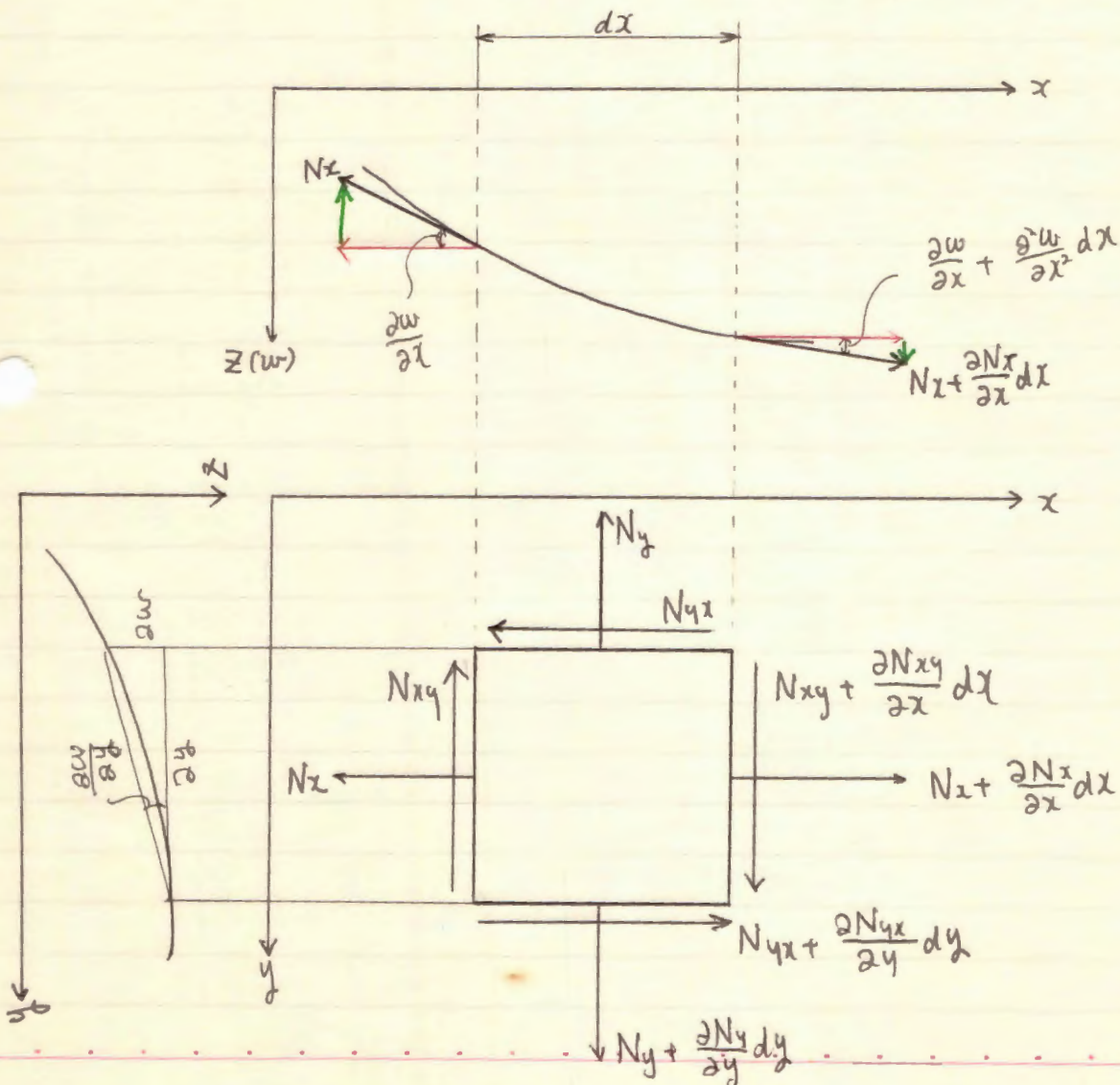
横方向の荷重をよける Scheibe, disk, 盤

の釣り合い方程式

<有限変形理論>

変形後のつり合い。

新たに考えられる内力 軸力 N_x, N_y
せん断力 N_{xy}, N_{yx}
(水平)



(1) x方向のつり合い。

$$(N_x + \frac{\partial N_x}{\partial x} dx) dy - N_x dy + (N_{yx} + \frac{\partial N_{yx}}{\partial y} dy) dx - N_{yx} dx = 0$$

$$\therefore \frac{\partial N_x}{\partial x} + \frac{\partial N_{yx}}{\partial y} = 0$$

(2) y方向のつり合い

$$\frac{\partial N_y}{\partial y} + \frac{\partial N_{xy}}{\partial x} = 0$$

(3) 鉛直方向の力 (下向き正)

① N_x の鉛直成分

$$\begin{aligned} & -N_x dy \cdot \frac{\partial w}{\partial x} + (N_x + \frac{\partial N_x}{\partial x} dx) (\frac{\partial w}{\partial x} + \frac{\partial^2 w}{\partial x^2} dx) dy \\ & \approx N_x \frac{\partial^2 w}{\partial x^2} dx dy + \frac{\partial N_x}{\partial x} \cdot \frac{\partial w}{\partial x} \cdot dx dy + \underbrace{\frac{\partial N_x}{\partial x} \cdot \frac{\partial^2 w}{\partial x^2} dx^2 dy}_{\text{neglect}} \end{aligned}$$

② N_y の鉛直成分

$$N_y \frac{\partial^2 w}{\partial y^2} dx dy + \frac{\partial N_y}{\partial y} \cdot \frac{\partial w}{\partial y} dx dy$$

③ N_{xy} の鉛直成分

$$\begin{aligned} & -N_{xy} dy \cdot \frac{\partial w}{\partial y} + (N_{xy} + \frac{\partial N_{xy}}{\partial x} dx) (\frac{\partial w}{\partial y} + \frac{\partial^2 w}{\partial x \partial y} dx) dy \\ & \approx N_{xy} \frac{\partial^2 w}{\partial x \partial y} dx dy + \frac{\partial N_{xy}}{\partial x} \cdot \frac{\partial w}{\partial y} dx dy + \underbrace{\frac{\partial N_{xy}}{\partial x} \cdot \frac{\partial^2 w}{\partial x \partial y} dx^2 dy}_{\text{neglect}} \end{aligned}$$

④ N_{yx} の鉛直成分

$$N_{yx} \frac{\partial^2 w}{\partial x \partial y} dx dy + \frac{\partial N_{yx}}{\partial y} \cdot \frac{\partial w}{\partial x} dx dy$$

$$= N_{xy} \frac{\partial^2 w}{\partial x \partial y} dx dy + \frac{\partial N_{xy}}{\partial y} \cdot \frac{\partial w}{\partial x} dx dy$$

① ~ ④ の合計

$$\left(N_x \frac{\partial^2 w}{\partial x^2} + \frac{\partial N_x}{\partial x} \cdot \frac{\partial w}{\partial x} + N_y \frac{\partial^2 w}{\partial y^2} + \frac{\partial N_y}{\partial y} \cdot \frac{\partial w}{\partial y} \right.$$

$$\left. + N_{xy} \frac{\partial^2 w}{\partial x \partial y} + \frac{\partial N_{xy}}{\partial x} \cdot \frac{\partial w}{\partial y} + N_{xy} \frac{\partial^2 w}{\partial x \partial y} + \frac{\partial N_{xy}}{\partial y} \cdot \frac{\partial w}{\partial x} \right) dx dy$$

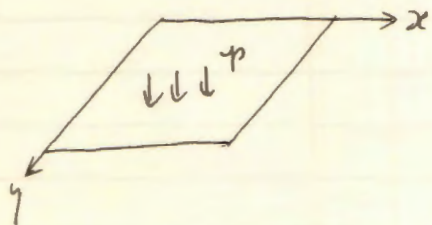
$$= \left\{ \left(\frac{\partial N_x}{\partial x} + \frac{\partial N_{xy}}{\partial y} \right) \frac{\partial w}{\partial x} + \left(\frac{\partial N_y}{\partial y} + \frac{\partial N_{xy}}{\partial x} \right) \frac{\partial w}{\partial y} \right.$$

$$\left. + N_x \frac{\partial^2 w}{\partial x^2} + N_y \frac{\partial^2 w}{\partial y^2} + 2 N_{xy} \frac{\partial^2 w}{\partial x \partial y} \right\} dx dy$$

$$= \left(N_x \frac{\partial^2 w}{\partial x^2} + N_y \frac{\partial^2 w}{\partial y^2} + 2 N_{xy} \frac{\partial^2 w}{\partial x \partial y} \right) dx dy$$

$$\frac{\partial^4 w}{\partial x^4} + 2 \frac{\partial^4 w}{\partial x^2 \partial y^2} + \frac{\partial^4 w}{\partial y^4} = \frac{1}{D} \left[p + N_x \frac{\partial^2 w}{\partial x^2} + N_y \frac{\partial^2 w}{\partial y^2} + 2 N_{xy} \frac{\partial^2 w}{\partial x \partial y} \right]$$

↓
板の座屈 $p=0$



微小変形の仮定の下に, $\Rightarrow \frac{\partial^4 w}{\partial x^4} + 2 \frac{\partial^4 w}{\partial x^2 \partial y^2} + \frac{\partial^4 w}{\partial y^4} = \frac{p}{D}$
 変形する前の形状で
 つり合いを考える。

有限変形理論の下に,
 変形した後の状態で
 つり合いを考える。

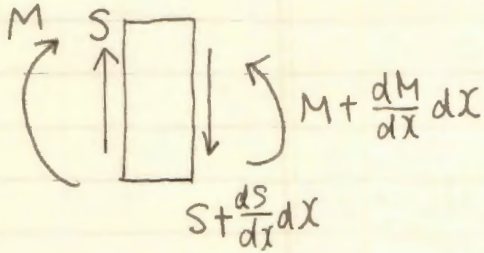
横方向荷重のため, N_x, N_y, N_{xy}, N_{yx}
 が生じ, これの鉛直成分が鉛直荷重 $\rho(x, y)$
 の他に作用することになる。

$$\frac{\partial^4 w}{\partial x^4} + 2 \frac{\partial^4 w}{\partial x^2 \partial y^2} + \frac{\partial^4 w}{\partial y^4} = \frac{1}{D} \left[\rho + N_x \frac{\partial^2 w}{\partial x^2} + N_y \frac{\partial^2 w}{\partial y^2} + 2 N_{xy} \frac{\partial^2 w}{\partial x \partial y} \right]$$

板の座標^屈を考慮する場合は

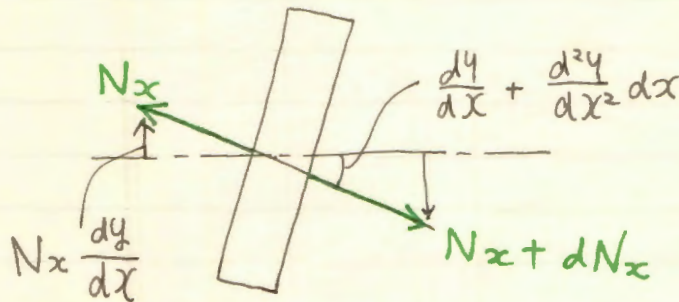
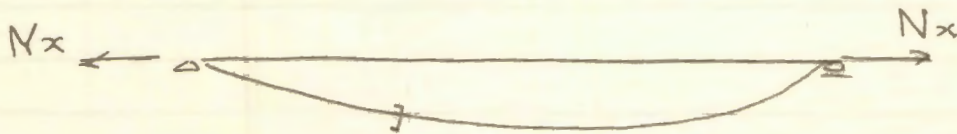
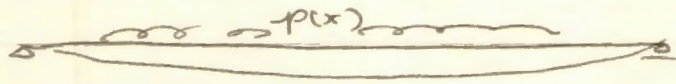
$$\rho(x, y) = 0 \quad \text{と考える。}$$

梁における有限変形.



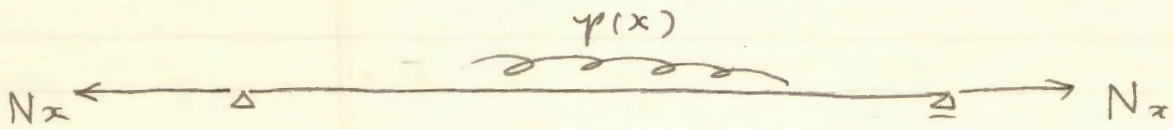
$$\frac{d^2 M}{dx^2} = -p$$

$$\frac{d^4 y}{dx^4} = \frac{p}{EI}$$



~~鉛直方向の合力~~ 鉛直方向の力の和.

$$\begin{aligned} & (N_x + \frac{dN_x}{dx} dx) \left(\frac{dy}{dx} + \frac{d^2y}{dx^2} dx \right) - N_x \frac{dy}{dx} \\ &= N_x \frac{d^2y}{dx^2} dx + \cancel{\frac{dN_x}{dx} dx} \frac{dy}{dx} \end{aligned}$$



$$EI \frac{d^4 y}{dx^4} = p + N_x \frac{d^2 y}{dx^2}$$

$$p = 0$$

$$EI \frac{d^4 y}{dx^4} - N_x \frac{d^2 y}{dx^2} = 0$$

$$\frac{d^4 y}{dx^4} - \frac{N_x}{EI} \frac{d^2 y}{dx^2} = 0$$

Euler の座屈荷重が求まる。

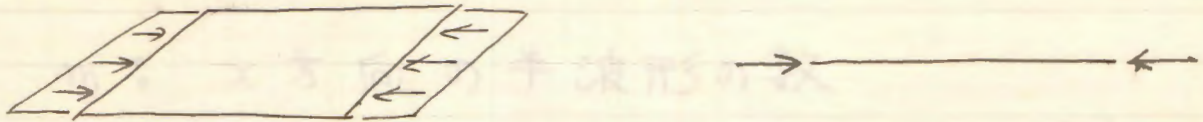
$$y = A \sin kx + B \cos kx$$

⋮

$$k = \left(\frac{m}{2} + n^2 \frac{\alpha}{m} \right)^2$$

m : 板の方向の半波長の数

$$m=1 \rightarrow k=k_{\min}$$



$$\sigma_{cr} = \frac{\pi^2 E}{12(1-\nu^2)} k \left(\frac{t}{b} \right)^2$$

$$\sigma_{cr} = \frac{\pi^2 E}{\left(\frac{l}{r} \right)^2} m^2$$

$$N_{cr} = \frac{\pi^2 E t^3}{12(1-\nu^2) b^2} k$$

$$= \frac{\pi^2 E D}{b^2} k$$

$$P_{cr} = \frac{\pi^2 EI}{l^2} m^2$$

半波長の数
(m)

板幅



柱長

幅厚比



細長比

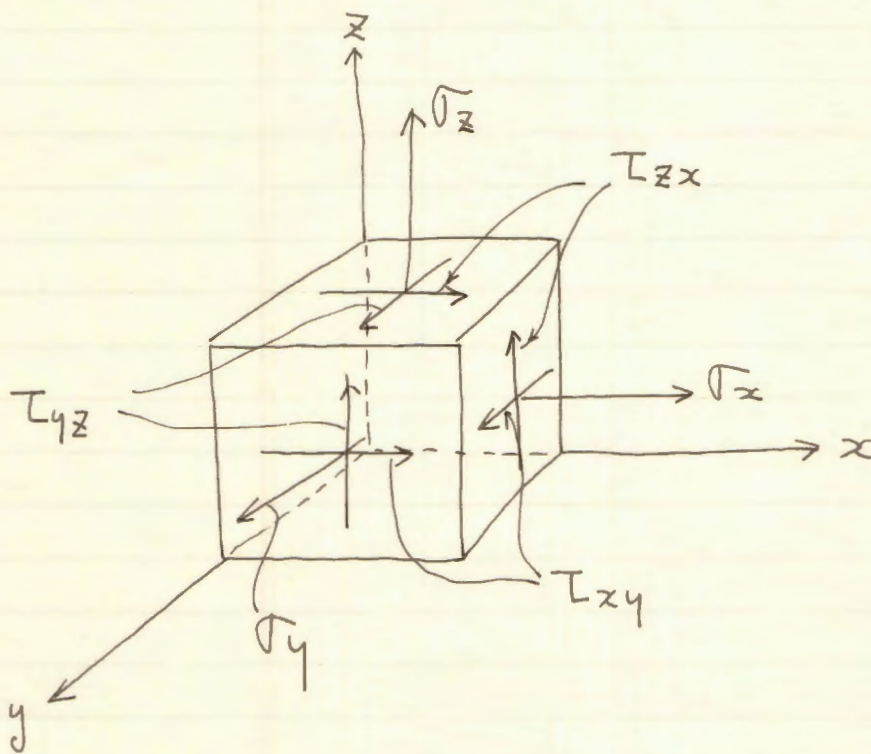
$$D = \frac{t^3}{12} \cdot \frac{1}{1-\nu^2}$$

$$k = \left(\frac{m}{2} + n^2 \frac{\alpha}{m} \right)^2$$

m の方向の半波長の数 $\alpha = a/b$ による。

- 最小ポテンシャルエネルギーの原理よりの
座屈荷重の求め方。

$$U_0 = \iiint_V \sigma^* \epsilon \, dx \, dy \, dz$$



$$\sigma = \{ \sigma_x, \sigma_y, \sigma_z, \tau_{yz}, \tau_{zx}, \tau_{xy} \}$$

純曲げ

$$\sigma = \{ \sigma_x, \sigma_y \}$$

$$\epsilon = \{ \epsilon_x, \epsilon_y \}$$

$$M = (M_x, M_y)$$

$$\frac{1}{\rho} = \left(\frac{1}{r_x}, \frac{1}{r_y} \right)$$

$$U_0 = \frac{1}{2} \iiint [\sigma_x, \sigma_y] \begin{bmatrix} \epsilon_x \\ \epsilon_y \end{bmatrix} dx dy dz$$

$$= \frac{1}{2} \iiint (\sigma_x \epsilon_x + \sigma_y \epsilon_y) dx dy dz$$

$$= \frac{1}{2} \iiint \left(\epsilon_x^2 + 2\nu \epsilon_x \epsilon_y + \epsilon_y^2 \right) \frac{E}{1-\nu^2} dx dy dz$$

$$= \frac{E}{2(1-\nu^2)} \iiint \left[\left(-z \frac{\partial^2 w}{\partial x^2} \right)^2 + 2\nu \left(-z \frac{\partial^2 w}{\partial x^2} \right) \left(-z \frac{\partial^2 w}{\partial y^2} \right) + \left(-z \frac{\partial^2 w}{\partial y^2} \right)^2 \right] dx dy dz$$

$$= \frac{E}{2(1-\nu^2)} \iiint \left[\left(\frac{\partial^2 w}{\partial x^2} \right)^2 + 2\nu \frac{\partial^2 w}{\partial x^2} \frac{\partial^2 w}{\partial y^2} + \left(\frac{\partial^2 w}{\partial y^2} \right)^2 \right] \int_{-\frac{t}{2}}^{\frac{t}{2}} z^2 dz dx dy$$

$$= \frac{1}{2} \cdot \frac{E t^3}{12(1-\nu^2)} \iiint \left[\left(\frac{\partial^2 w}{\partial x^2} \right)^2 + 2\nu \frac{\partial^2 w}{\partial x^2} \frac{\partial^2 w}{\partial y^2} + \left(\frac{\partial^2 w}{\partial y^2} \right)^2 \right] dx dy$$

* 曲げモーメントから.

$$U_0 = \frac{1}{2} \iint \left(M_x \frac{1}{r_x} + M_y \frac{1}{r_y} \right) dx dy$$

$$= \frac{D}{2} \iint \left[\left(\frac{\partial^2 w}{\partial x^2} + \nu \frac{\partial^2 w}{\partial y^2} \right) \cdot \frac{\partial^2 w}{\partial x^2} + \left(\frac{\partial^2 w}{\partial y^2} + \nu \frac{\partial^2 w}{\partial x^2} \right) \cdot \frac{\partial^2 w}{\partial y^2} \right] dx dy$$

= 同式

鉛直

(2) 横荷重による曲げをうける板.

$$dU_0 = \frac{1}{2} \int_{-\frac{t}{2}}^{\frac{t}{2}} (\sigma_x \varepsilon_x + \sigma_y \varepsilon_y + \tau_{xy} \gamma_{xy}) dz dx dy$$

$$= \frac{1}{2} D \left\{ \left(\frac{\partial^2 w}{\partial x^2} \right)^2 + 2\nu \frac{\partial^2 w}{\partial x^2} \frac{\partial^2 w}{\partial y^2} + \left(\frac{\partial^2 w}{\partial y^2} \right)^2 \right\} dx dy$$

$$+ \frac{1}{2} G \int_{-\frac{t}{2}}^{\frac{t}{2}} 4z^2 \left(\frac{\partial^2 w}{\partial x \partial y} \right)^2 dz dx dy$$

$$G \gamma_{xy}^2 = G \cdot (4z^2) \left(\frac{\partial^2 w}{\partial x \partial y} \right)^2$$

$$= \frac{1}{2} D \left\{ \left(\frac{\partial^2 w}{\partial x^2} \right)^2 + 2\nu \frac{\partial^2 w}{\partial x^2} \frac{\partial^2 w}{\partial y^2} + \left(\frac{\partial^2 w}{\partial y^2} \right)^2 \right\} dx dy$$

$$+ \frac{1}{2} \cdot \frac{E t^3}{12(1-\nu^2)} \cdot (1-\nu) \left(\frac{\partial^2 w}{\partial x \partial y} \right)^2 dx dy$$

$$= \frac{1}{2} D \left\{ \left(\frac{\partial^2 w}{\partial x^2} \right)^2 + 2\nu \frac{\partial^2 w}{\partial x^2} \frac{\partial^2 w}{\partial y^2} + \left(\frac{\partial^2 w}{\partial y^2} \right)^2 + 2(1-\nu) \left(\frac{\partial^2 w}{\partial x \partial y} \right)^2 \right\} dx dy$$

$$\therefore U_0 = \frac{1}{2} D \iint \left\{ \left(\frac{\partial^2 w}{\partial x^2} \right)^2 + 2\nu \frac{\partial^2 w}{\partial x^2} \frac{\partial^2 w}{\partial y^2} + \left(\frac{\partial^2 w}{\partial y^2} \right)^2 + 2(1-\nu) \left(\frac{\partial^2 w}{\partial x \partial y} \right)^2 \right\} dx dy$$

$$u_0 = \frac{1}{2} \iint (M_x \frac{1}{r_x} + M_y \frac{1}{r_y} + M_{xy} \frac{1}{r_{xy}}) dx dy$$

$$= \frac{1}{2} \iint \left\{ +D \left(\frac{\partial^2 w}{\partial x^2} + \nu \frac{\partial^2 w}{\partial y^2} \right) \cdot \frac{\partial^2 w}{\partial x^2} + D \left(\frac{\partial^2 w}{\partial y^2} + \nu \frac{\partial^2 w}{\partial x^2} \right) \cdot \frac{\partial^2 w}{\partial y^2} + \frac{(1-\nu)D}{2} \left(\frac{\partial^2 w}{\partial x \partial y} \right)^2 \right\} dx dy$$

$$= \frac{D}{2} \iint \left\{ \left(\frac{\partial^2 w}{\partial x^2} \right)^2 + 2\nu \frac{\partial^2 w}{\partial x^2} \frac{\partial^2 w}{\partial y^2} + \left(\frac{\partial^2 w}{\partial y^2} \right)^2 + 2(1-\nu) \left(\frac{\partial^2 w}{\partial x \partial y} \right)^2 \right\} dx dy$$

3. 1/4

1/2

1/4

$$\left. \begin{aligned} &= \frac{E \tau^3}{2 \cdot 12(1-\nu^2)} \left\{ (x_1 + \epsilon y)^2 + 2(1-\nu) \left[\frac{\tau_{x1}^2}{4} - \epsilon_2 \epsilon y \right] \right\} dx dy \\ &= \frac{E}{2(1-\nu^2)} \left\{ \frac{z^2 dz}{\tau} \cdot \left[(x_1 + \epsilon y)^2 + 2(1-\nu) \left[\frac{\tau_{xy}^2}{4} - \epsilon_2 \epsilon y \right] \right] \right\} dx dy \\ &= \frac{E \tau}{2(1-\nu^2)} \left\{ (x_1 + \epsilon y)^2 + 2(1-\nu) \left[\frac{\tau_{xy}^2}{4} - \epsilon_2 \epsilon y \right] \right\} dx dy \\ &= \frac{E \tau}{2(1-\nu^2)} \left\{ (x_1 + \epsilon y)^2 + 2(1-\nu) \left[\frac{\tau_{xy}^2}{4} - \epsilon_2 \epsilon y \right] \right\} dx dy \\ &= \frac{E \tau}{2(1-\nu^2)} \left\{ x_1^2 + \epsilon y^2 + 2\nu \epsilon x_1 y + \frac{\tau}{2}(1-\nu) \tau_{xy}^2 \right\} dx dy \end{aligned} \right\}$$

$$dV_0 = \frac{1}{2} \int_{\frac{\tau}{2}}^{\frac{3\tau}{2}} \left[\frac{E}{1-\nu^2} \left\{ (x_1 + \nu y)^2 + \nu x_1 (y_3 + \nu x_2) + (y_3 + \nu x_2)^2 \right\} + \frac{\tau}{2} (1-\nu) \tau_{xy}^2 \right] dz dx dy$$

$$\left. \begin{aligned} \tau_{xy} &= \frac{\partial u}{\partial y} + \frac{\partial v}{\partial x} - 2z \frac{\partial w}{\partial x \partial y} \\ \epsilon_2 &= \frac{\partial x}{\partial z} - z \frac{\partial w}{\partial x} \\ \epsilon_3 &= \frac{\partial y}{\partial z} - z \frac{\partial w}{\partial y} \end{aligned} \right\}$$

$$dV_0 = \frac{1}{2} \int_{\frac{\tau}{2}}^{\frac{3\tau}{2}} (\tau_{xy}^2 + \tau_{xy} \tau_{xy} + \tau_{xy} \tau_{xy}) dz dx dy$$

(3) 由上式引证对正六角板

$$\therefore dU_{o.p} = \frac{Et}{2(1-\nu^2)} \left[\left(\frac{\partial u}{\partial x} + \frac{\partial v}{\partial y} \right)^2 + 2(1-\nu) \left\{ \frac{1}{4} \left(\frac{\partial u}{\partial y} + \frac{\partial v}{\partial x} \right)^2 - \frac{\partial u}{\partial x} \cdot \frac{\partial v}{\partial y} \right\} \right] dx dy$$

$$dU_{b} = \frac{D}{2} \left[\left(\frac{\partial^2 w}{\partial x^2} + \frac{\partial^2 w}{\partial y^2} \right)^2 + 2(1-\nu) \left\{ \left(\frac{\partial^2 w}{\partial x \partial y} \right)^2 - \frac{\partial^3 w}{\partial x^2} \cdot \frac{\partial^2 w}{\partial y^2} \right\} \right] dx dy$$

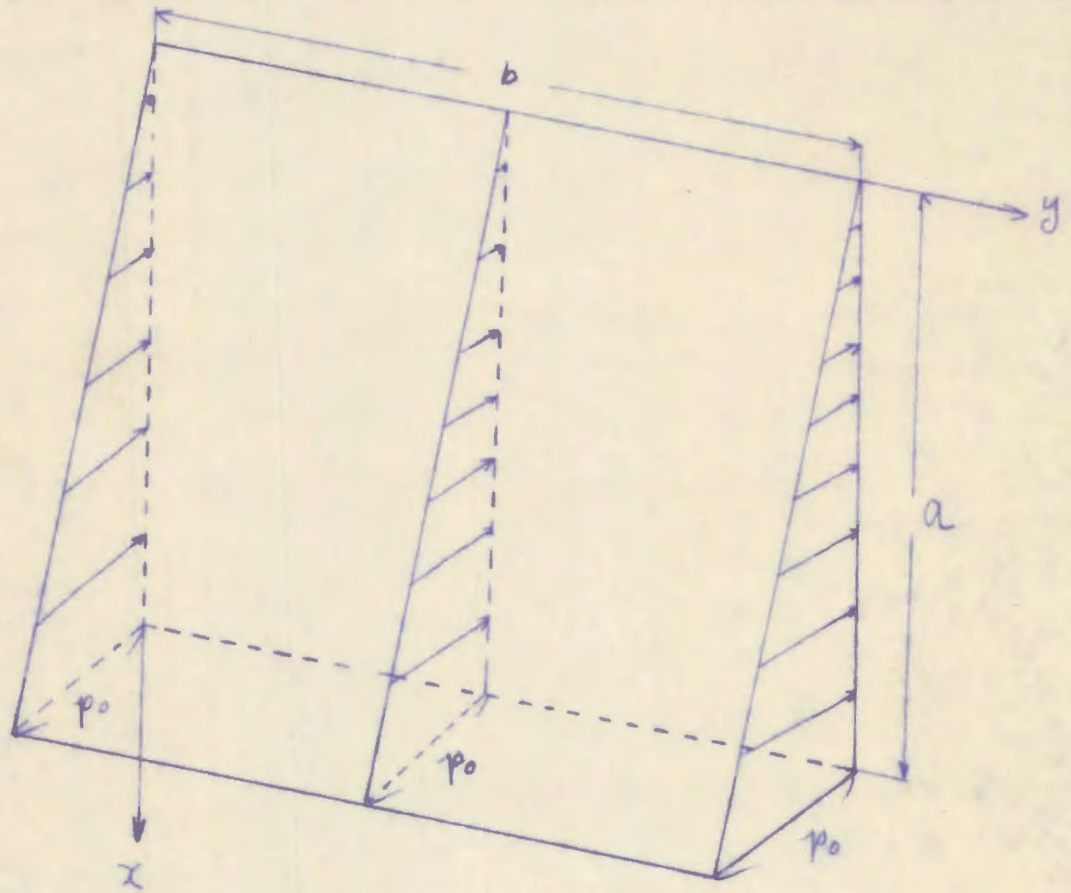
$$U_p = \frac{Et}{2(1-\nu^2)} \iint \left[\left(\frac{\partial u}{\partial x} + \frac{\partial v}{\partial y} \right)^2 + 2(1-\nu) \left\{ \frac{1}{4} \left(\frac{\partial u}{\partial y} + \frac{\partial v}{\partial x} \right)^2 - \frac{\partial u}{\partial x} \cdot \frac{\partial v}{\partial y} \right\} \right] dx dy$$

$$U_b = \frac{D}{2} \iint \left[\left(\frac{\partial^2 w}{\partial x^2} + \frac{\partial^2 w}{\partial y^2} \right)^2 + 2(1-\nu) \left\{ \left(\frac{\partial^2 w}{\partial x \partial y} \right)^2 - \frac{\partial^3 w}{\partial x^2} \cdot \frac{\partial^2 w}{\partial y^2} \right\} \right] dx dy$$

[1] 四辺単純支持の長方形等方性平板が

$$p = p_0 \frac{x}{a} \quad (y \text{ 方向に一定})$$

を受けるときの ~~最大~~ 曲げモーメント 及び ~~最大~~ たわみの ~~生ずる位置と~~



~~その各々の大きさを求めよ。~~

境界条件

$$\begin{cases} x=0, a \rightarrow w=0, \quad \partial^2 w / \partial x^2 = 0 \\ y=0, b \rightarrow w=0, \quad \partial^2 w / \partial y^2 = 0 \end{cases}$$

まず、たゆみ $w(x, y)$ を 2つの方法で求める。

[解1] 未定係数法による。

w の解として、境界条件を満たす次のフーリエ級数を考える。

$$w = \sum_{m=1}^{\infty} \sum_{n=1}^{\infty} A_{mn} \sin \frac{m\pi x}{a} \sin \frac{n\pi y}{b} \quad \dots (1)$$

荷重 $p(x, y)$ も同形のフーリエ級数に展開する。

$$p(x, y) = \sum_{m=1}^{\infty} \sum_{n=1}^{\infty} A_{mn} \sin \frac{m\pi x}{a} \sin \frac{n\pi y}{b} \quad \dots (2)$$

$$\left. \begin{aligned} (1)より \quad \frac{\partial^4 w}{\partial x^4} &= \sum_{m=1}^{\infty} \sum_{n=1}^{\infty} A_{mn} \left(\frac{m\pi}{a}\right)^4 \sin \frac{m\pi x}{a} \sin \frac{n\pi y}{b} \\ \frac{\partial^4 w}{\partial y^4} &= \sum_{m=1}^{\infty} \sum_{n=1}^{\infty} A_{mn} \left(\frac{n\pi}{b}\right)^4 \sin \frac{m\pi x}{a} \sin \frac{n\pi y}{b} \\ \frac{\partial^4 w}{\partial x^2 \partial y^2} &= \sum_{m=1}^{\infty} \sum_{n=1}^{\infty} A_{mn} \left(\frac{m\pi}{a}\right)^2 \left(\frac{n\pi}{b}\right)^2 \sin \frac{m\pi x}{a} \sin \frac{n\pi y}{b} \end{aligned} \right\} \dots (3)$$

(2)における任意の係数を A_{ij} とし、(2)式両辺に $\sin(i\pi x/a) \cdot \sin(j\pi y/b) dx dy$ を掛けて $x=0 \sim a$, $y=0 \sim b$ で積分する。

$$\int_0^b \int_0^a p(x, y) \sin \frac{i\pi x}{a} \sin \frac{j\pi y}{b} dx dy = \sum_{m=1}^{\infty} \sum_{n=1}^{\infty} \int_0^b \int_0^a A_{ij} \sin \frac{m\pi x}{a} \sin \frac{i\pi x}{a} \sin \frac{n\pi y}{b} \sin \frac{j\pi y}{b} dx dy$$

$$\therefore \int_0^a \sin \frac{m\pi x}{a} \sin \frac{i\pi x}{a} dx = 0 \quad (m \neq i)$$

$$\frac{a}{2} \quad (m = i)$$

$$\int_0^b \sin \frac{n\pi y}{b} \sin \frac{j\pi y}{b} dy = 0 \quad (n \neq j)$$

$$\frac{b}{2} \quad (n = j)$$

である。

$$\therefore a_{ij} = \frac{4}{ab} \int_0^b \int_0^a p(x, y) \sin \frac{i\pi x}{a} \sin \frac{j\pi y}{b} dx dy$$

ここで、 $p(x, y) = p_0 \frac{x}{a}$ であるから、

$$a_{ij} = \frac{4p_0}{a^2 b} \int_0^b \int_0^a x \sin \frac{i\pi x}{a} \sin \frac{j\pi y}{b} dx dy \quad \dots (4)$$

(4)式において

$$\begin{aligned} \int_0^a x \sin \frac{i\pi x}{a} dx &= \int_0^a x \left(-\frac{a}{i\pi} \cos \frac{i\pi x}{a} \right)' dx \\ &= -\frac{a}{i\pi} \left\{ \left[x \cos \frac{i\pi x}{a} \right]_0^a - \int_0^a \cos \frac{i\pi x}{a} dx \right\} \\ &= -\frac{a}{i\pi} \left\{ a \cos i\pi - \left[\frac{a}{i\pi} \sin \frac{i\pi x}{a} \right]_0^a \right\} = -\frac{a^2}{i\pi} \cos i\pi \end{aligned}$$

$$\int_0^b \sin \frac{j\pi y}{b} dy = -\frac{b}{j\pi} \left[\cos \frac{j\pi y}{b} \right]_0^b = -\frac{b}{j\pi} (\cos j\pi - 1)$$

$$\begin{aligned} \therefore a_{ij} &= \frac{4p_0}{a^2 b} \cdot \left\{ -\frac{a^2}{i\pi} \cos i\pi \right\} \cdot \left\{ -\frac{b}{j\pi} (\cos j\pi - 1) \right\} \\ &= \frac{4p_0}{\pi^2} \cdot \frac{1}{ij} \cdot \cos i\pi (\cos j\pi - 1) \end{aligned}$$

$$\cos i\pi (\cos j\pi - 1) = 0 \quad (j \text{ が偶数})$$

$$2 \quad (j \text{ が奇数, } i \text{ が奇数})$$

$$-2 \quad (j \text{ が奇数, } i \text{ は偶数})$$

$z = z$

$$a_{ij} = \frac{8P_0}{\pi^2} \cdot \frac{1}{ij} \cdot (-1)^{i+j} \cdot z = \frac{8P_0}{\pi^2} \frac{(-1)^{i+j}}{ij} \quad \dots (5)$$

$\therefore z$

$$\frac{\partial^4 w}{\partial x^4} + 2 \frac{\partial^4 w}{\partial x^2 \partial y^2} + \frac{\partial^4 w}{\partial y^4} = \frac{p(x, y)}{D}$$

に、(3)、(2)式を代入すると、

$$\begin{aligned} \sum_{m=1}^{\infty} \sum_{n=1}^{\infty} A_{mn} \pi^4 \left\{ \left(\frac{m}{a} \right)^2 + \left(\frac{n}{b} \right)^2 \right\}^2 \sin \frac{m\pi x}{a} \sin \frac{n\pi y}{b} \\ = \frac{1}{D} \sum_{m=1,2,3,\dots}^{\infty} \sum_{n=1,3,5,\dots}^{\infty} \frac{8P_0}{\pi^2} \frac{(-1)^{m+n}}{mn} \sin \frac{m\pi x}{a} \sin \frac{n\pi y}{b} \end{aligned}$$

$$\therefore A_{mn} = \frac{8P_0}{\pi^6 D} \cdot \frac{(-1)^{m+n}}{mn \left\{ \left(\frac{m}{a} \right)^2 + \left(\frac{n}{b} \right)^2 \right\}^2} \quad \left(\begin{array}{l} m = 1, 2, 3, 4, \dots \\ n = 1, 3, 5, 7, \dots \end{array} \right)$$

$$\therefore w = \frac{8P_0}{\pi^6 D} \sum_{m=1,2,3,\dots}^{\infty} \sum_{n=1,3,5,\dots}^{\infty} \frac{(-1)^{m+n}}{mn \left\{ \left(\frac{m}{a} \right)^2 + \left(\frac{n}{b} \right)^2 \right\}^2} \sin \frac{m\pi x}{a} \sin \frac{n\pi y}{b}$$

[解2] エネルギー法による。

[解1]と同様に、 $w(x, y)$ を次のようにおく。

$$w(x, y) = \sum_{m=1}^{\infty} \sum_{n=1}^{\infty} A_{mn} \sin \frac{m\pi x}{a} \sin \frac{n\pi y}{b} \quad (1)$$

横荷重による曲げを受ける板にたくわえられるひずみエネルギー U は、

$$U = \frac{1}{2} D \iint \left\{ \left(\frac{\partial^2 w}{\partial x^2} \right)^2 + 2\nu \frac{\partial^2 w}{\partial x^2} \frac{\partial^2 w}{\partial y^2} + \left(\frac{\partial^2 w}{\partial y^2} \right)^2 + 2(1-\nu) \left(\frac{\partial^2 w}{\partial x \partial y} \right)^2 \right\} dx dy$$

であり、(1)より

$$\frac{\partial^2 w}{\partial x^2} = - \sum_{m=1}^{\infty} \sum_{n=1}^{\infty} A_{mn} \left(\frac{m\pi}{a} \right)^2 \sin \frac{m\pi x}{a} \sin \frac{n\pi y}{b}$$

$$\frac{\partial^2 w}{\partial y^2} = - \sum_{m=1}^{\infty} \sum_{n=1}^{\infty} A_{mn} \left(\frac{n\pi}{b} \right)^2 \sin \frac{m\pi x}{a} \sin \frac{n\pi y}{b}$$

$$\frac{\partial^2 w}{\partial x \partial y} = \sum_{m=1}^{\infty} \sum_{n=1}^{\infty} A_{mn} \left(\frac{m\pi}{a} \right) \left(\frac{n\pi}{b} \right) \cos \frac{m\pi x}{a} \cos \frac{n\pi y}{b}$$

であるから、

$$U = \frac{1}{2} D \iint \left[\left(\frac{\partial^2 w}{\partial x^2} + \frac{\partial^2 w}{\partial y^2} \right)^2 + 2(\nu-1) \frac{\partial^2 w}{\partial x^2} \frac{\partial^2 w}{\partial y^2} + 2(1-\nu) \left(\frac{\partial^2 w}{\partial x \partial y} \right)^2 \right] dx dy$$

$$= \frac{1}{2} D \iint \left[\sum_{m=1}^{\infty} \sum_{n=1}^{\infty} A_{mn} \left\{ \left(\frac{m\pi}{a} \right)^2 + \left(\frac{n\pi}{b} \right)^2 \right\} \sin \frac{m\pi x}{a} \sin \frac{n\pi y}{b} \right]^2 dx dy$$

$$+ D(\nu-1) \iint \left[\sum_{m=1}^{\infty} \sum_{n=1}^{\infty} A_{mn}^2 \left(\frac{m\pi}{a} \right)^2 \left(\frac{n\pi}{b} \right)^2 \sin^2 \frac{m\pi x}{a} \sin^2 \frac{n\pi y}{b} \right.$$

$$\left. - \sum_{m=1}^{\infty} \sum_{n=1}^{\infty} A_{mn}^2 \left(\frac{m\pi}{a} \right)^2 \left(\frac{n\pi}{b} \right)^2 \cos^2 \frac{m\pi x}{a} \cos^2 \frac{n\pi y}{b} \right] dx dy$$

$$\iint \left(\sin^2 \frac{m\pi x}{a} \sin^2 \frac{n\pi y}{b} - \cos^2 \frac{m\pi x}{a} \cos^2 \frac{n\pi y}{b} \right) dx dy = 0$$

$$\therefore U = \frac{1}{2} D \int_0^b \int_0^a \sum_{m=1}^{\infty} \sum_{n=1}^{\infty} A_{mn}^2 \left\{ \left(\frac{m\pi}{a} \right)^2 + \left(\frac{n\pi}{b} \right)^2 \right\} \sin^2 \frac{m\pi x}{a} \sin^2 \frac{n\pi y}{b} dx dy$$

$$\int_0^b \sin^2 \frac{n\pi y}{b} dy = \frac{b}{2} \quad \int_0^a \sin^2 \frac{m\pi x}{a} dx = \frac{a}{2}$$

$$\therefore U = \frac{\pi ab}{8} D \sum_{m=1}^{\infty} \sum_{n=1}^{\infty} A_{mn}^2 \left\{ \left(\frac{m}{a} \right)^2 + \left(\frac{n}{b} \right)^2 \right\}^2$$

係数 A_{mn} に微小増分 δA_{mn} を与えたとき、これに対する仮想変位は

$$\delta W = \delta A_{mn} \sin \frac{m\pi x}{a} \sin \frac{n\pi y}{b}$$

であるから、仮想仕事 δW は

$$\begin{aligned} \delta W &= \int_0^b \int_0^a \rho_0 \frac{x}{a} \delta A_{mn} \sin \frac{m\pi x}{a} \sin \frac{n\pi y}{b} dx dy \\ &= \frac{\rho_0}{a} \delta A_{mn} \int_0^b \int_0^a x \sin \frac{m\pi x}{a} \sin \frac{n\pi y}{b} dx dy \end{aligned}$$

$$\therefore \delta W = \frac{2ab\rho_0}{\pi^2} \frac{(-1)^{m+n}}{mn} \delta A_{mn} \quad \left(\begin{array}{l} m=1, 2, 3, \dots \\ n=1, 3, 5, \dots \end{array} \right)$$

(\because 解[I]における積分計算と同様)

仮想仕事の原理より)

$$\delta W = \frac{\partial U}{\partial A_{mn}} \delta A_{mn}$$

$$\therefore \frac{2ab\rho_0}{\pi^2} \frac{(-1)^{m+n}}{mn} \delta A_{mn} = \frac{\pi^4 ab}{4} D A_{mn} \left\{ \left(\frac{m}{a} \right)^2 + \left(\frac{n}{b} \right)^2 \right\}^2 \delta A_{mn}$$

$$\therefore A_{mn} = \frac{8\rho_0}{\pi^6 D} \frac{(-1)^{m+n}}{mn \left\{ \left(\frac{m}{a} \right)^2 + \left(\frac{n}{b} \right)^2 \right\}^2} \quad \left(\begin{array}{l} m=1, 2, 3, \dots \\ n=1, 3, 5, \dots \end{array} \right)$$

$$\therefore w(x, y) = \frac{8p_0}{\pi^6 D} \sum_{m=1,2,3,\dots}^{\infty} \sum_{n=1,3,5,\dots}^{\infty} \frac{(-1)^{m+n}}{mn \left\{ \left(\frac{m}{a} \right)^2 + \left(\frac{n}{b} \right)^2 \right\}^2} \sin \frac{m\pi x}{a} \sin \frac{n\pi y}{b}$$

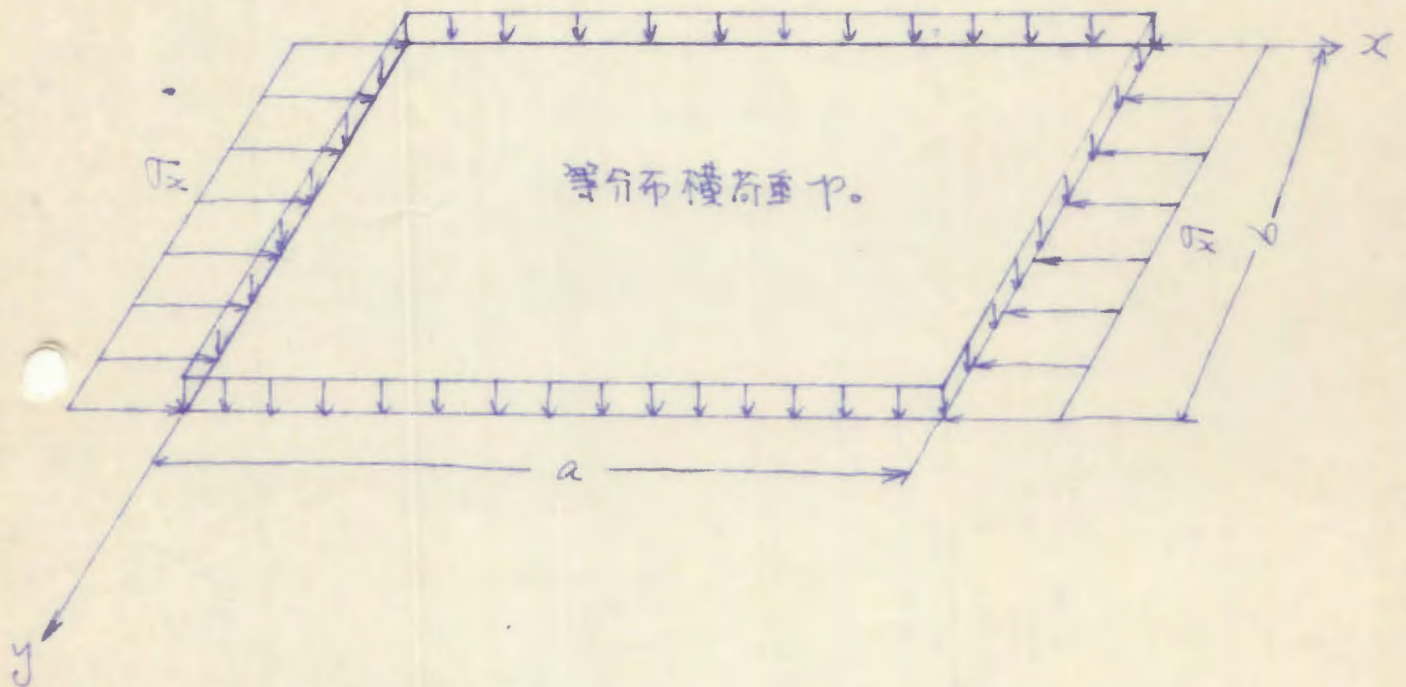
また

$$M_x = -D \left(\frac{\partial^2 w}{\partial x^2} + \nu \frac{\partial^2 w}{\partial y^2} \right)$$

$$= \frac{8p_0}{\pi^4} \sum_{m=1,2,3,\dots}^{\infty} \sum_{n=1,3,5,\dots}^{\infty} \frac{(-1)^{m+n}}{mn \left\{ \left(\frac{m}{a} \right)^2 + \left(\frac{n}{b} \right)^2 \right\}^2} \left\{ \left(\frac{m}{a} \right)^2 + \nu \left(\frac{n}{b} \right)^2 \right\} \sin \frac{m\pi x}{a} \sin \frac{n\pi y}{b}$$

$$M_y = \frac{8p_0}{\pi^4} \sum_{m=1,2,3,\dots}^{\infty} \sum_{n=1,3,5,\dots}^{\infty} \frac{(-1)^{m+n}}{mn \left\{ \left(\frac{m}{a} \right)^2 + \left(\frac{n}{b} \right)^2 \right\}^2} \left\{ \left(\frac{n}{b} \right)^2 + \nu \left(\frac{m}{a} \right)^2 \right\} \sin \frac{m\pi x}{a} \sin \frac{n\pi y}{b}$$

[2]



四辺単純支持の長方形等方性平板

たわみと曲げモーメントを求めよ。

境界条件.

$$\left\{ \begin{array}{l} x=0, a \rightarrow w=0, \partial^2 w / \partial x^2 = 0 \\ y=0, b \rightarrow w=0, \partial^2 w / \partial y^2 = 0 \end{array} \right.$$

$w(x, y)$ の解として, 次のフーリエ級数を考える。

$$w = \sum_{m=1}^{\infty} \sum_{n=1}^{\infty} A_{mn} \sin \frac{m\pi x}{a} \sin \frac{n\pi y}{b} \quad (1)$$

荷重 (横方向) $p(x, y)$ も同様のフーリエ級数を考える。

$$p = \sum_{m=1}^{\infty} \sum_{n=1}^{\infty} A_{mn} \sin \frac{m\pi x}{a} \sin \frac{n\pi y}{b} \quad (2)$$

中心面内の荷重として $N_x = -\sigma_x a$, $N_y = 0$, $N_{xy} = 0$ である。

この場合の基礎方程式は,

$$\frac{\partial^4 w}{\partial x^4} + 2 \frac{\partial^4 w}{\partial x^2 \partial y^2} + \frac{\partial^4 w}{\partial y^4} = \frac{1}{D} (P + N_x \frac{\partial^2 w}{\partial x^2}) \quad (3)$$

である。

$$\left. \begin{aligned} (1)より \quad \frac{\partial^4 w}{\partial x^4} &= \sum_{m=1}^{\infty} \sum_{n=1}^{\infty} A_{mn} \left(\frac{m\pi}{a}\right)^4 \sin \frac{m\pi x}{a} \sin \frac{n\pi y}{b} \\ \frac{\partial^4 w}{\partial y^4} &= \sum_{m=1}^{\infty} \sum_{n=1}^{\infty} A_{mn} \left(\frac{n\pi}{b}\right)^4 \sin \frac{m\pi x}{a} \sin \frac{n\pi y}{b} \\ \frac{\partial^4 w}{\partial x^2 \partial y^2} &= \sum_{m=1}^{\infty} \sum_{n=1}^{\infty} A_{mn} \left(\frac{m\pi}{a}\right)^2 \left(\frac{n\pi}{b}\right)^2 \sin \frac{m\pi x}{a} \sin \frac{n\pi y}{b} \\ \frac{\partial^2 w}{\partial x^2} &= - \sum_{m=1}^{\infty} \sum_{n=1}^{\infty} A_{mn} \left(\frac{m\pi}{a}\right)^2 \sin \frac{m\pi x}{a} \sin \frac{n\pi y}{b} \end{aligned} \right\} (4)$$

(2) における係数 A_{mn} は、問題(1)と同様に、

$$A_{mn} = \frac{4}{ab} \int_0^a \int_0^b p(x, y) \sin \frac{m\pi x}{a} \sin \frac{n\pi y}{b} dx dy$$

$p(x, y) = p_0$ (= const) のとき、

$$\begin{aligned} A_{mn} &= \frac{4p_0}{ab} \int_0^a \sin \frac{m\pi x}{a} dx \int_0^b \sin \frac{n\pi y}{b} dy \\ &= \frac{4p_0}{ab} \left(\frac{a}{m\pi} \times 2 \right) \left(\frac{b}{n\pi} \times 2 \right) \end{aligned}$$

$$\therefore A_{mn} = \frac{16p_0}{\pi^2} \cdot \frac{1}{mn} \quad (m, n = 1, 3, 5, \dots) \quad (5)$$

(4), (5), (2) より, (3) を書きなおすと、

$$\begin{aligned} \sum_m \sum_n A_{mn} \pi^4 \left\{ \left(\frac{m}{a} \right)^2 + \left(\frac{n}{b} \right)^2 \right\}^2 \sin \frac{m\pi x}{a} \sin \frac{n\pi y}{b} &= \sum_m \sum_n A_{mn} \frac{\pi^2 \sqrt{x} t}{D} \left(\frac{m}{a} \right)^2 \sin \frac{m\pi x}{a} \sin \frac{n\pi y}{b} \\ &= \sum_m \sum_n \frac{16p_0}{\pi^2 D} \cdot \frac{1}{mn} \sin \frac{m\pi x}{a} \sin \frac{n\pi y}{b} \end{aligned}$$

係数を比較して、

$$\begin{aligned} A_{mn} &= \frac{16p_0}{D\pi^2 mn} \cdot \frac{1}{\pi^4 \left\{ \left(\frac{m}{a} \right)^2 + \left(\frac{n}{b} \right)^2 \right\}^2 - \frac{\pi^2 \sqrt{x} t}{D} \left(\frac{m}{a} \right)^2} \\ &= \frac{16p_0}{\pi^6 D} \cdot \frac{1}{mn} \cdot \frac{1}{\left\{ \left(\frac{m}{a} \right)^2 + \left(\frac{n}{b} \right)^2 \right\}^2 - \frac{\sqrt{x} t}{\pi^2 D} \left(\frac{m}{a} \right)^2} \end{aligned}$$

$$\therefore w = \frac{16p_0}{\pi^6 D} \sum_{m=1,3,5,\dots} \sum_{n=1,3,5,\dots} \frac{1}{mn \left[\left\{ \left(\frac{m}{a} \right)^2 + \left(\frac{n}{b} \right)^2 \right\}^2 - \frac{\sqrt{x} t}{\pi^2 D} \left(\frac{m}{a} \right)^2 \right]} \sin \frac{m\pi x}{a} \sin \frac{n\pi y}{b}$$

$$M_x = -D \left(\frac{\partial^2 w}{\partial x^2} + \nu \frac{\partial^2 w}{\partial y^2} \right)$$

$$* = \frac{16 P_0}{\pi^4} \sum_{m=1,3,5,\dots}^{\infty} \sum_{n=1,3,5,\dots}^{\infty} \frac{\left(\frac{m}{a}\right)^2 + \nu \left(\frac{n}{b}\right)^2}{mm \left[\left\{ \left(\frac{m}{a}\right)^2 + \left(\frac{n}{b}\right)^2 \right\}^2 - \frac{\sqrt{x} t}{\pi^2 D} \left(\frac{m}{a}\right)^2 \right]} \sin \frac{m\pi x}{a} \sin \frac{n\pi y}{b}$$

$$M_y = -D \left(\frac{\partial^2 w}{\partial y^2} + \nu \frac{\partial^2 w}{\partial x^2} \right)$$

$$= \frac{16 P_0}{\pi^4} \sum_{m=1,3,5,\dots}^{\infty} \sum_{n=1,3,5,\dots}^{\infty} \frac{\left(\frac{n}{b}\right)^2 + \nu \left(\frac{m}{a}\right)^2}{mm \left[\left\{ \left(\frac{m}{a}\right)^2 + \left(\frac{n}{b}\right)^2 \right\}^2 - \frac{\sqrt{x} t}{\pi^2 D} \left(\frac{m}{a}\right)^2 \right]} \sin \frac{m\pi x}{a} \sin \frac{n\pi y}{b}$$

[2]における座屈^{応力}荷重を求める。

$$w = \frac{16 P_0}{\pi^4 D} \sum_{m=1,3,5,\dots}^{\infty} \sum_{n=1,2,3,\dots}^{\infty} \frac{1}{m n \left[\left(\frac{m}{a} \right)^2 + \left(\frac{n}{b} \right)^2 \right]^2 - \frac{J_2 t}{\pi^2 D} \left(\frac{m}{a} \right)^2} \sin \frac{m \pi x}{a} \sin \frac{n \pi y}{b}$$

座屈^{応力}荷重を σ_{cr} とすると、

$$\left\{ \left(\frac{m}{a} \right)^2 + \left(\frac{n}{b} \right)^2 \right\}^2 - \frac{J_2 t}{\pi^2 D} \left(\frac{m}{a} \right)^2 = 0$$

$$\sigma_{cr} = \frac{\pi^2 D}{t} \frac{\left\{ \left(\frac{m}{a} \right)^2 + \left(\frac{n}{b} \right)^2 \right\}^2}{\left(\frac{m}{a} \right)^2}$$

$$= \frac{\pi^2}{t} \frac{E t^3}{12(1-\nu^2)} \left\{ \frac{m}{a} + \frac{n^2}{b^2} \frac{a}{m} \right\}^2$$

$$= \frac{\pi^2 E}{12(1-\nu^2)} \left(\frac{t}{b} \right)^2 \left\{ \frac{b m}{a} + n^2 \frac{a}{b m} \right\}^2$$

$$= \frac{\pi^2 E}{12(1-\nu^2)} \left(\frac{t}{b} \right)^2 \left\{ \frac{m}{\alpha} + n^2 \frac{\alpha}{m} \right\}^2 \quad (E E' L \quad \alpha = \frac{a}{b})$$

$$= \frac{\pi^2 E}{12(1-\nu^2)} k \left(\frac{t}{b} \right)^2$$

$$k = \left(\frac{m}{\alpha} + n^2 \frac{\alpha}{m} \right)^2$$

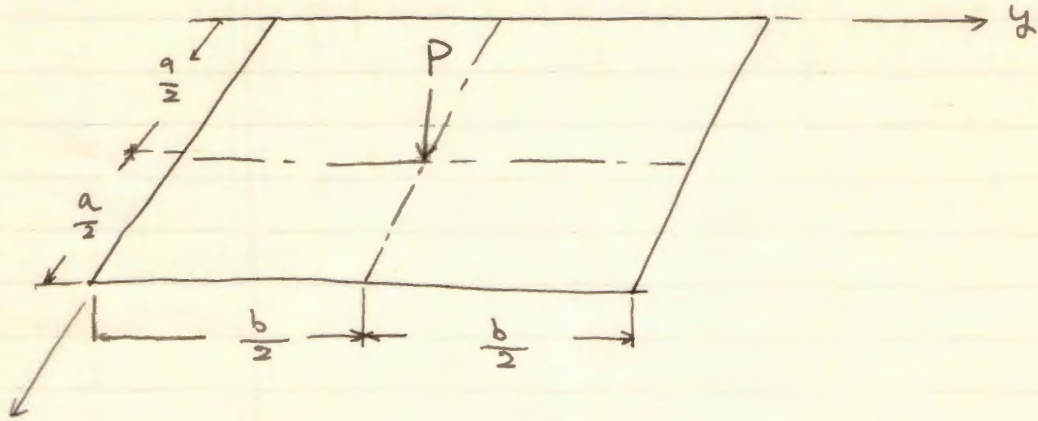
特に $n=1$ のとき

$$k = \left(\frac{m}{\alpha} + \frac{\alpha}{m} \right)^2$$

である。

この結果は、四辺単純支持板の座屈応力と一致する。

[5.17]



周辺単純支持。たわみを見よ。

境界条件 $x=0, a$ $w=0, \frac{\partial^2 w}{\partial x^2}=0$

$y=0, b$ $w=0, \frac{\partial^2 w}{\partial y^2}=0$

$$w = \sum_{m=1}^{\infty} \sum_{n=1}^{\infty} A_{mn} \sin \frac{m\pi x}{a} \sin \frac{n\pi y}{b} \quad \text{とおく。}$$

$$P = \sum_{m=1}^{\infty} \sum_{n=1}^{\infty} A_{mn} \sin \frac{m\pi x}{a} \sin \frac{n\pi y}{b}$$

$$A_{mn} = \frac{4}{ab} \int_0^b \int_0^a p(x, y) \cdot \sin \frac{m\pi x}{a} \sin \frac{n\pi y}{b} dx dy$$

$$p(x, y) = P \left(x = \frac{a}{2}, y = \frac{b}{2} \right) \delta(x) \delta(y)$$

$$A_{mn} = \frac{4}{ab} \cdot P \cdot \sin \frac{m\pi}{2} \sin \frac{n\pi}{2}$$

$m = \text{偶数}, n = \text{偶数}$

$$A_{mn} = 0$$

$$m+n \quad \left| \quad \begin{array}{l} 4n-3 \\ 4n-2 \\ 4n-1 \\ 4n \end{array} \right. \begin{array}{l} 1 \\ 0 \\ -1 \\ 0 \end{array}$$

$m = 2l+1, n = 2k+1$ のとき 又は $m = 2l-1, n = 2k-1$ のとき

$$A_{mn} = \frac{4}{ab} P$$

$m = 2l+1, n = 2k-1$ 又は $m = 2l-1, n = 2k+1$ のとき

$$A_{mn} = -\frac{4}{ab} P$$

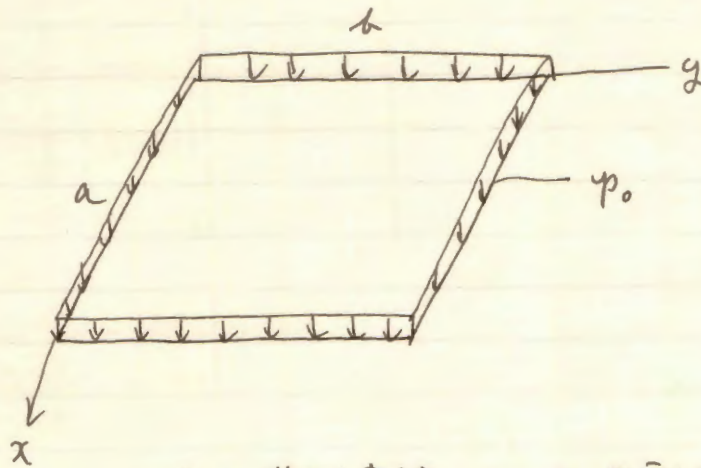
$$\therefore A_{mn} = \frac{4}{ab} P \cdot \sin \frac{m\pi}{2} \sin \frac{n\pi}{2} ?$$

$$A_{mn} = \frac{1}{\pi^4 D} \frac{A_{mn}}{\left\{ \left(\frac{m}{a} \right)^2 + \left(\frac{n}{b} \right)^2 \right\}^2} = \frac{4P}{\pi^4 D ab} \sin \frac{m\pi}{2} \sin \frac{n\pi}{2}$$

($m, n = 1, 3, 5, \dots$)

$$\therefore w = \rightarrow \frac{4P}{\pi^4 D ab} \sum_{m=1,3,5,\dots}^{\infty} \sum_{n=1,3,5,\dots}^{\infty} \frac{\sin \frac{m\pi}{2} \sin \frac{n\pi}{2}}{\left\{ \left(\frac{m}{a} \right)^2 + \left(\frac{n}{b} \right)^2 \right\}^2} \sin \frac{m\pi x}{a} \sin \frac{n\pi y}{b}$$

[5.2]



周辺単純支持 → エネルギー法でたわみを求める。

$$w = \sum_{m=1}^{\infty} \sum_{n=1}^{\infty} A_{mn} \sin \frac{m\pi x}{a} \sin \frac{n\pi y}{b} \quad \text{①}$$

$$\frac{\partial^2 w}{\partial x^2} = -\sum_m \sum_n A_{mn} \left(\frac{m\pi}{a}\right)^2 \sin \frac{m\pi x}{a} \sin \frac{n\pi y}{b}$$

$$\frac{\partial^2 w}{\partial y^2} = -\sum_m \sum_n A_{mn} \left(\frac{n\pi}{b}\right)^2 \sin \frac{m\pi x}{a} \sin \frac{n\pi y}{b}$$

$$\frac{\partial^2 w}{\partial x \partial y} = \sum_m \sum_n A_{mn} \left(\frac{m\pi}{a}\right) \left(\frac{n\pi}{b}\right) \cos \frac{m\pi x}{a} \cos \frac{n\pi y}{b}$$

$$U_0 = \frac{1}{2} D \iint \left\{ \left(\frac{\partial^2 w}{\partial x^2}\right)^2 + 2\nu \frac{\partial^2 w}{\partial x^2} \frac{\partial^2 w}{\partial y^2} + \left(\frac{\partial^2 w}{\partial y^2}\right)^2 + 2(1-\nu) \left(\frac{\partial^2 w}{\partial x \partial y}\right)^2 \right\} dx dy$$

$$= \frac{1}{2} D \iint \left[\left(\frac{\partial^2 w}{\partial x^2} + \frac{\partial^2 w}{\partial y^2}\right)^2 + 2(\nu-1) \left\{ \frac{\partial^2 w}{\partial x^2} \frac{\partial^2 w}{\partial y^2} - \left(\frac{\partial^2 w}{\partial x \partial y}\right)^2 \right\} \right] dx dy$$

$$= \frac{\pi^4}{2} D \sum_m \sum_n A_{mn}^2 \left\{ \left(\frac{m}{a}\right)^2 + \left(\frac{n}{b}\right)^2 \right\}^2 \iint \sin^2 \frac{m\pi x}{a} \sin^2 \frac{n\pi y}{b} dx dy$$

$$+ \pi^4 D (\nu-1) \sum_m \sum_n A_{mn}^2 \left(\frac{m}{a}\right)^2 \left(\frac{n}{b}\right)^2 \iint \left(\sin^2 \frac{m\pi x}{a} \sin^2 \frac{n\pi y}{b} - \cos^2 \frac{m\pi x}{a} \cos^2 \frac{n\pi y}{b} \right) dx dy$$

$$\int_0^a \sin^2 \frac{m\pi x}{a} dx = \int_0^a \cos^2 \frac{m\pi x}{a} dx = \frac{a}{2}, \quad \int_0^b \sin^2 \frac{n\pi y}{b} dy = \int_0^b \cos^2 \frac{n\pi y}{b} dy = \frac{b}{2}$$

$$\therefore U = \frac{\pi^2 ab}{8} \rho \sum_m \sum_n A_{mn}^2 \left\{ \left(\frac{m}{a} \right)^2 + \left(\frac{n}{b} \right)^2 \right\}^2$$

仮想変位

$$\delta W = \delta A_{mn} \sin \frac{m\pi x}{a} \sin \frac{n\pi y}{b}$$

外加仮想仕事 = 応みエネルギーの増分.
 δW δU

~~$$\delta W = \delta A_{mn} \rho \sin \frac{m\pi x}{2} \sin \frac{n\pi y}{2} \quad (m, n = 1, 3, 5, \dots)$$~~

$$\begin{aligned} \delta U &= \frac{\partial U}{\partial A_{mn}} \delta A_{mn} \\ &= \frac{\pi^2 ab}{4} \rho A_{mn} \left\{ \left(\frac{m}{a} \right)^2 + \left(\frac{n}{b} \right)^2 \right\}^2 \delta A_{mn} \end{aligned}$$

~~$$\delta W = \delta U \quad \text{より}$$~~

~~A_{mn}~~

$$\delta W = \int_0^a \int_0^b \delta A_{mn} \rho_0 \sin \frac{m\pi x}{a} \sin \frac{n\pi y}{b} dx dy$$

$$= \delta A_{mn} \rho_0 \int_0^a \sin \frac{m\pi x}{a} dx \cdot \int_0^b \sin \frac{n\pi y}{b} dy$$

$$= \delta A_{mn} \cdot \rho_0 \cdot \frac{ab}{\pi^2 mn} (\cos m\pi - 1) (\cos n\pi - 1)$$

$$= \frac{4ab\rho_0}{\pi^2 mn} \delta A_{mn} \quad (m, n = 1, 3, 5, \dots)$$

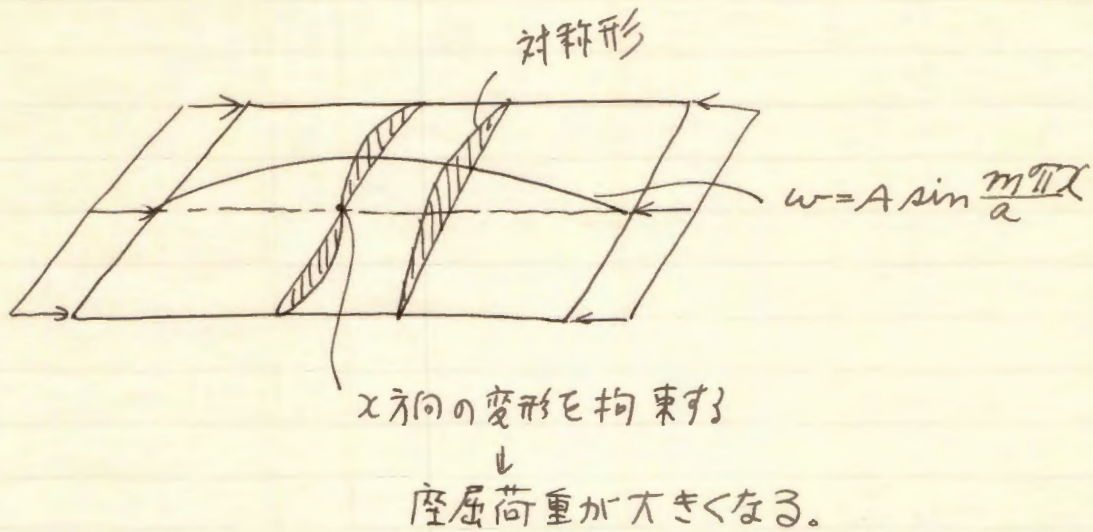
$$\delta W = \delta U \quad (1)$$

$$A_{mm} = \frac{4abP_0}{\pi^2 mn} \cdot \frac{4}{\pi^4 ab D} \frac{1}{\left\{ \left(\frac{m}{a} \right)^2 + \left(\frac{n}{b} \right)^2 \right\}^2}$$

$$= \frac{16 P_0}{\pi^6 D} \frac{1}{mn \left\{ \left(\frac{m}{a} \right)^2 + \left(\frac{n}{b} \right)^2 \right\}^2}$$

$$\therefore w = \frac{16 P_0}{\pi^6 D} \sum_{m=1,3,5,\dots}^{\infty} \sum_{n=1,3,5,\dots}^{\infty} \frac{1}{mn \left\{ \left(\frac{m}{a} \right)^2 + \left(\frac{n}{b} \right)^2 \right\}^2} \sin \frac{m\pi x}{a} \sin \frac{n\pi y}{b} //$$

5/24. 5.5 板の座屈強度



$$w = \sin \frac{m\pi x}{a} (C_1 \cosh k_1 y + C_3 \cos k_2 y)$$

$$y = \pm \frac{b}{2}, \quad w = 0$$

$$M_y = 0 \quad \frac{\partial^2 w}{\partial x^2} = 0 \quad \frac{\partial^2 w}{\partial y^2} = 0$$

$$C_1 \cosh k_1 \frac{b}{2} + C_3 \cos k_2 \frac{b}{2} = 0 \quad w = 0 \text{ より}$$

$$C_1 k_1^2 \cosh k_1 \frac{b}{2} - C_3 k_2^2 \cos k_2 \frac{b}{2} = 0 \quad M_y = 0 \text{ より}$$

$$C_1 = C_3 = 0, \quad w = 0 \text{ も解ではあるが}$$

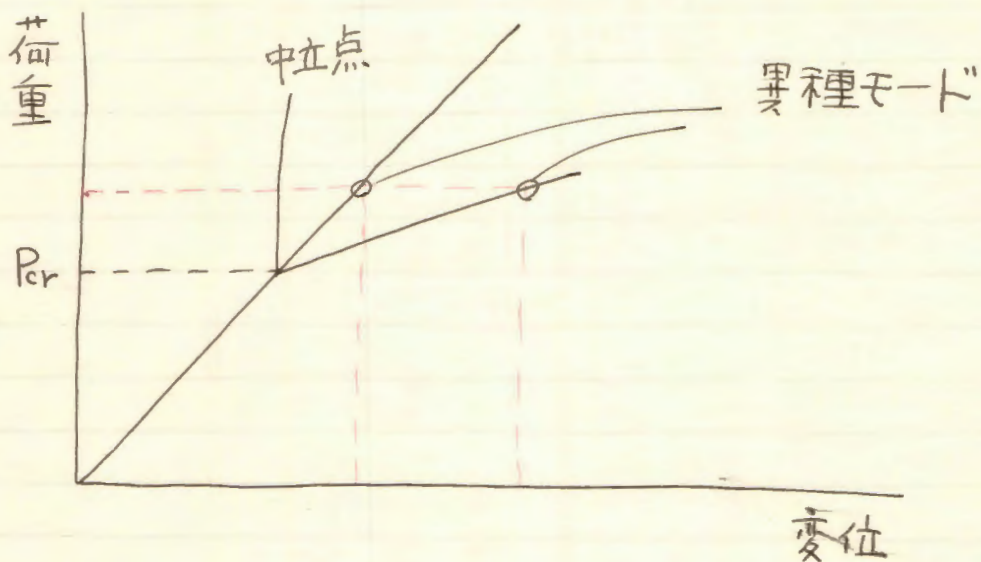
座屈しない状態を示す → 無意味。

齊次方程式

数学的に 固有値に対して w が存在する

力学的に 或る荷重 (座屈荷重) に対して、
座屈という現象が可能である。

(k_1, k_2 には P_{cr} が含まれる)



固有値

$$\begin{bmatrix} a_{11} - \lambda & a_{12} \\ a_{21} & a_{22} - \lambda \end{bmatrix} \begin{bmatrix} x_1 \\ x_2 \end{bmatrix} = 0 \quad x_1, x_2 \neq 0$$

$$\downarrow$$
$$\begin{vmatrix} a_{11} - \lambda & a_{12} \\ a_{21} & a_{22} - \lambda \end{vmatrix} = 0$$

$$\begin{bmatrix} \cosh k_1 \frac{b}{2} & \cos k_2 \frac{b}{2} \\ k_1^2 \cosh k_1 \frac{b}{2} & -k_2^2 \cos k_2 \frac{b}{2} \end{bmatrix} \begin{bmatrix} C_1 \\ C_3 \end{bmatrix} = 0$$

$$C_1 \neq 0, \quad C_3 \neq 0$$

$$\begin{vmatrix} \cosh k_1 \frac{b}{2} & \cos k_2 \frac{b}{2} \\ k_1^2 \cosh k_1 \frac{b}{2} & -k_2^2 \cos k_2 \frac{b}{2} \end{vmatrix} = 0$$

↓

$$\underbrace{\cosh k_1 \frac{b}{2}}_{\neq 0} \cos k_2 \frac{b}{2} = 0 \rightarrow \cos k_2 \frac{b}{2} = 0$$

$$k_2 \frac{b}{2} = \frac{m\pi b}{2a} \sqrt{\mu - 1} = \frac{m\pi}{2\alpha} \sqrt{\mu - 1} = \frac{\pi}{2}$$

$$\alpha = \frac{a}{b}$$

$$\begin{cases} \mu^2 = \left\{ \left(\frac{\alpha}{m} \right)^2 + 1 \right\}^2 \\ D = \frac{E t^3}{12(1-\nu^2)} \end{cases}$$

板.

$$\sigma_{cr} = \frac{\pi^2 E}{12(1-\nu^2)} \left(\frac{t}{b}\right)^2 \left(\frac{\alpha}{m} + \frac{m}{\alpha}\right)^2$$

$$k = \left(\frac{\alpha}{m} + \frac{m}{\alpha}\right)^2$$

$$\sigma_{cr} = \frac{\pi^2 E}{12(1-\nu^2) \cdot \left(\frac{b}{t}\right)^2} \cdot k$$

$$= k \cdot \frac{\pi^2 \bar{E}}{\left(\frac{b}{t}\right)^2}$$

$$\bar{E} = \frac{E}{12(1-\nu^2)}$$

$\frac{b}{t}$: 幅厚比.

柱.

$$\sigma_{cr} = \sigma_e = \frac{\pi^2 E}{\left(\frac{l}{r}\right)^2}$$

柱の Euler 座屈荷重.

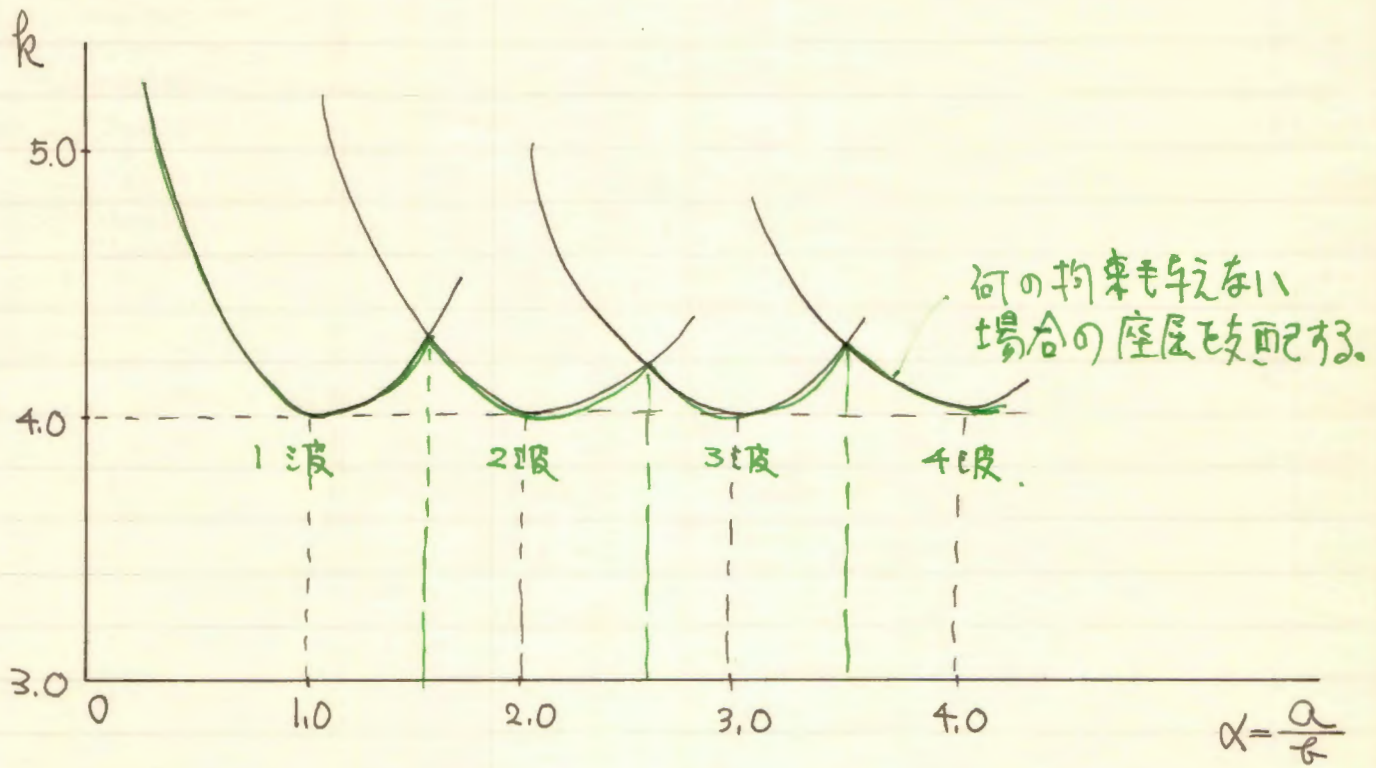
$\frac{l}{r}$: 細長比.

$$\sigma_{cr} = k \cdot \sigma_e \text{ とおくと.}$$

座屈係数 k : 板の開形 (α/b) と座屈開形 (m) で決まる.

σ_e : 板の寸法 (b/t), 材料 (E, ν) で決まる.

x 方向の半波開形の数



○ $m = m$ と $m = m+1$ の境界の $\alpha = \bar{\alpha}$

$$\frac{\bar{\alpha}}{m} + \frac{m}{\bar{\alpha}} = \frac{\bar{\alpha}}{m+1} + \frac{m+1}{\bar{\alpha}}$$

$$\bar{\alpha} = \sqrt{m(m+1)}$$

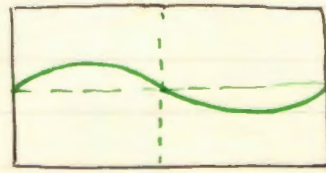
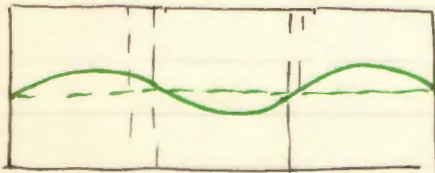
○ k の最小値

$$\frac{\partial k}{\partial \alpha} = 0 \rightarrow \alpha = 1, 2, 3, 4, \dots$$

$\alpha = 3$

$\alpha = 1$

$\alpha = 2$



$$w = \sin \frac{m\pi x}{a} (C_1 \cosh k_1 y + C_2 \sinh k_1 y + C_3 \cos k_2 y + C_4 \sin k_2 y)$$

$$\frac{\partial w}{\partial y} = \sin \frac{m\pi x}{a} (k_1 C_1 \sinh k_1 y + k_1 C_2 \cosh k_1 y - k_2 C_3 \sin k_2 y + k_2 C_4 \cos k_2 y)$$

$$\frac{\partial^2 w}{\partial y^2} = \sin \frac{m\pi x}{a} (k_1^2 C_1 \cosh k_1 y + k_1^2 C_2 \sinh k_1 y - k_2^2 C_3 \cos k_2 y - k_2^2 C_4 \sin k_2 y)$$

$$\frac{\partial^2 w}{\partial y^2} \Big|_{y=0} = \sin \frac{m\pi x}{a} (k_1^2 C_1 - k_2^2 C_3) = 0$$

$$w=0$$

$$C_1 + C_3 = 0 \quad C_1 = -C_3$$

$$\begin{cases} \sinh = \frac{e^x - e^{-x}}{2} \\ \cosh = \frac{e^x + e^{-x}}{2} \end{cases}$$

$$-C_3 (k_1^2 + k_2^2) = 0$$

$$k_1^2 + k_2^2 \neq 0 \quad \therefore C_3 = 0 \quad \therefore C_1 = 0$$

$$\begin{aligned} \sinh + \cosh &= e^x \\ \sinh - \cosh &= -e^{-x} \end{aligned}$$

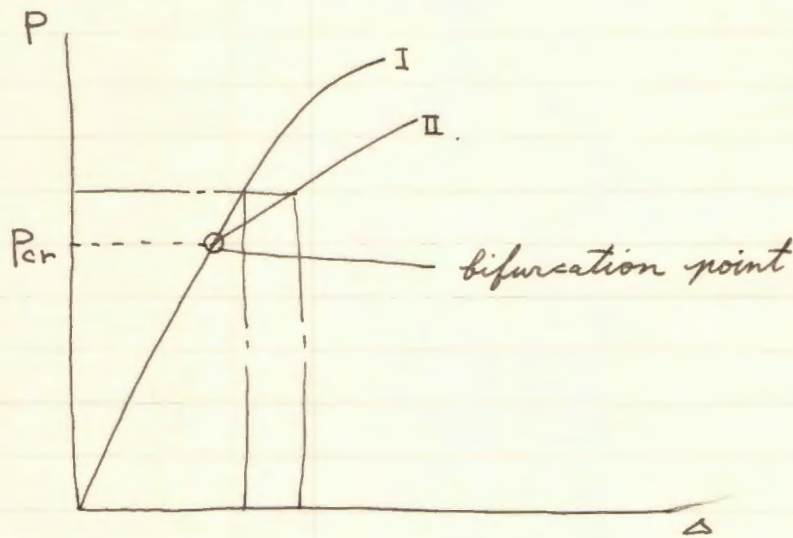
6/7.

(2) エネルギー法による座屈解析.

total potential energy Π の増分 (変分) $\delta\Pi$.

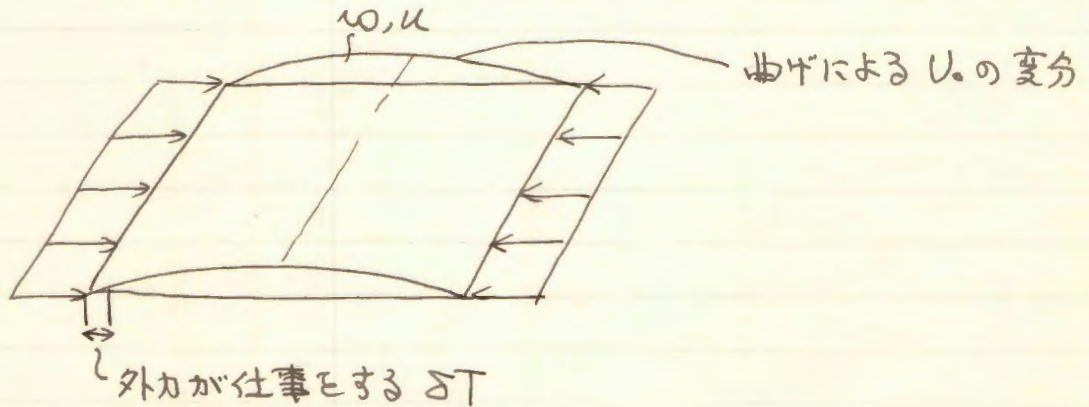
$$\delta\Pi = \delta U_0 - \delta T = 0$$

- δT : 外力ポテンシャルの変分
- δU_0 : ひずみエネルギーの変分.



bifurcation point の内題と post buckling behavior の内題とは別の内題である。

P_{cr} において, 部材に何ら disturbance がなければ I へ進む可能性も含む。



ひずみ. ← たわみ u , 曲げによるたわみ w .

normal stress

$$\varepsilon_x = \frac{\partial u}{\partial x} + \frac{1}{2} \left(\frac{\partial w}{\partial x} \right)^2$$

Fig 5.17

$$\varepsilon_y = \frac{\partial v}{\partial x} + \frac{1}{2} \left(\frac{\partial w}{\partial y} \right)^2$$

shear stress

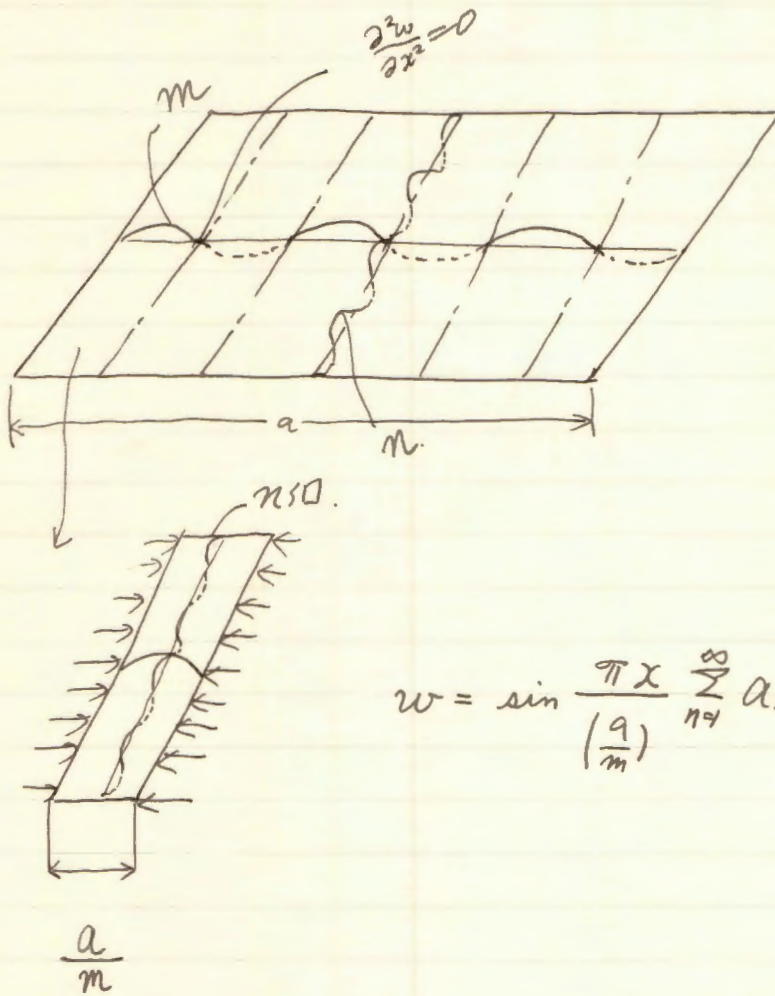
$$\gamma = \frac{\partial v}{\partial y} + \frac{\partial u}{\partial x} + \frac{\partial w}{\partial x} \cdot \frac{\partial w}{\partial y} \quad \text{Fig 5.18}$$

linear non-linear

外力仕事の変分は w に関する項だけで,

$$\frac{1}{2} \left(\frac{\partial w}{\partial x} \right)^2 \quad \frac{1}{2} \left(\frac{\partial w}{\partial y} \right)^2 \quad \frac{\partial w}{\partial x} \cdot \frac{\partial w}{\partial y} \quad \text{等である.}$$

P85

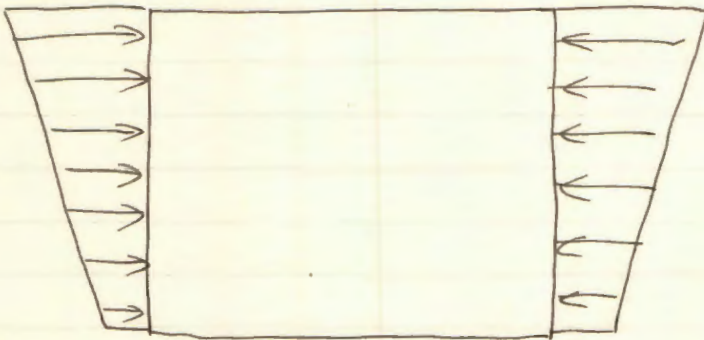


$$w = \sin \frac{\pi x}{\left(\frac{a}{m}\right)} \sum_{n=1}^{\infty} A_n n \sin \frac{n\pi y}{b}$$

梁の Web. → 曲げとせん断.



Arch の Web. → 曲げと軸力.



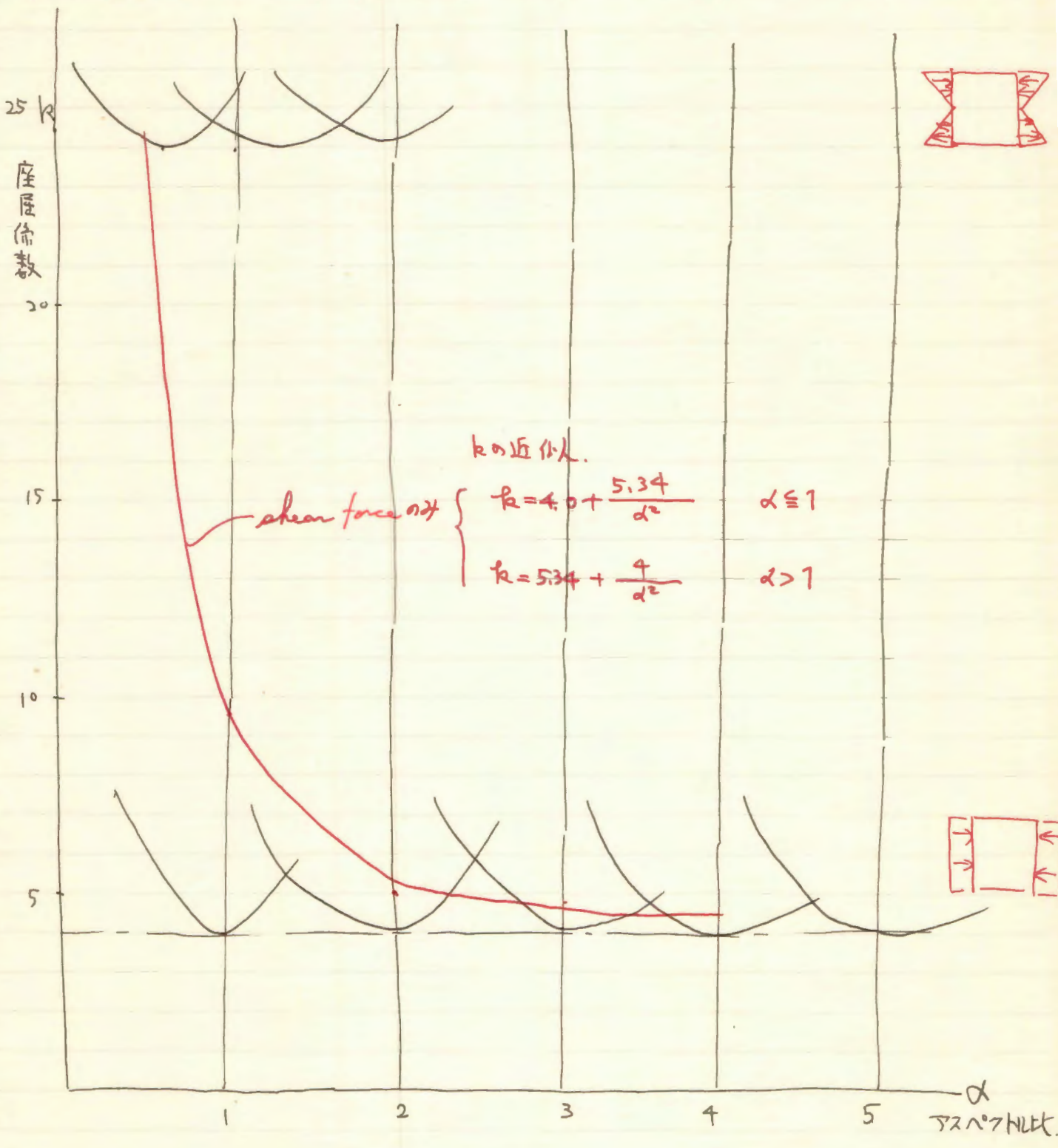
Truss, Arch の Flange. → 軸力.



梁の Flange



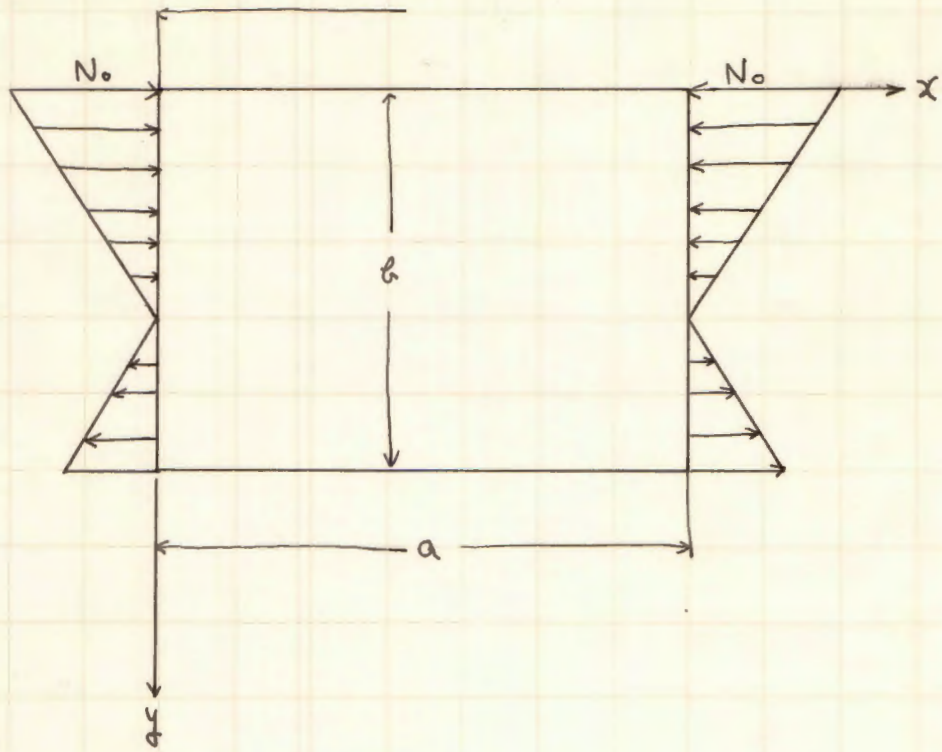
純曲げ



(参) 弾性安定要覧 Handbook of Elastic Stability コロナ社

[5.3]

~~[5.1]~~



$$N_x = N_0 \left(1 - \alpha \frac{y}{b}\right)$$

境界条件

$$\begin{cases} x=0, a & w=0, \frac{\partial^2 w}{\partial x^2}=0 \\ y=0, b & w=0, \frac{\partial^2 w}{\partial y^2}=0 \end{cases}$$

たわみ w を仮定.

$$w = \sum \sum A_{mn} \sin \frac{m\pi x}{a} \sin \frac{n\pi y}{b} \quad \text{--- ①}$$

ひずみエネルギー (面外変形に対する)

$$\delta U = \frac{D}{2} \int_0^b \int_0^a \left\{ \left(\frac{\partial^2 w}{\partial x^2} \right)^2 + 2\nu \frac{\partial^2 w}{\partial x^2} \frac{\partial^2 w}{\partial y^2} + \left(\frac{\partial^2 w}{\partial y^2} \right)^2 + 2(1-\nu) \left(\frac{\partial^2 w}{\partial x \partial y} \right)^2 \right\} dx dy$$

$$\frac{\partial^2 w}{\partial x^2} = - \sum \sum a_{mn} \left(\frac{m\pi}{a} \right)^2 \sin \frac{m\pi x}{a} \sin \frac{n\pi y}{b}$$

$$\frac{\partial^2 w}{\partial y^2} = - \sum \sum a_{mn} \left(\frac{n\pi}{b} \right)^2 \sin \frac{m\pi x}{a} \sin \frac{n\pi y}{b}$$

$$\frac{\partial^2 w}{\partial x \partial y} = \sum \sum a_{mn} \frac{m\pi}{a} \frac{n\pi}{b} \cos \frac{m\pi x}{a} \cos \frac{n\pi y}{b}$$

$$\left\{ \left(\frac{\partial^2 w}{\partial x^2} \right)^2 + \frac{\partial^2 w}{\partial y^2} \right\}^2 + 2(1-\nu) \left\{ \left(\frac{\partial^2 w}{\partial x \partial y} \right)^2 - \frac{\partial^2 w}{\partial x^2} \frac{\partial^2 w}{\partial y^2} \right\}$$

$$= \sum \sum a_{mn}^2 \left\{ \left(\frac{m\pi}{a} \right)^2 + \left(\frac{n\pi}{b} \right)^2 \right\}^2 \sin^2 \frac{m\pi x}{a} \sin^2 \frac{n\pi y}{b}$$

$$+ \sum \sum 2(1-\nu) a_{mn}^2 \left[\left(\frac{m\pi}{a} \right)^2 \left(\frac{n\pi}{b} \right)^2 \cos^2 \frac{m\pi x}{a} \cos^2 \frac{n\pi y}{b} - \left(\frac{m\pi}{a} \right)^2 \left(\frac{n\pi}{b} \right)^2 \sin^2 \frac{m\pi x}{a} \sin^2 \frac{n\pi y}{b} \right]$$

$$\delta U = \sum \sum a_{mn}^2 \left\{ \left(\frac{m\pi}{a} \right)^2 + \left(\frac{n\pi}{b} \right)^2 \right\}^2 \cdot \frac{D}{2} \int_0^b \int_0^a \sin^2 \frac{m\pi x}{a} \sin^2 \frac{n\pi y}{b} dx dy$$

$$= \frac{ab\pi^4}{8} D \sum \sum a_{mn}^2 \left\{ \left(\frac{m}{a} \right)^2 + \left(\frac{n}{b} \right)^2 \right\}^2$$

②

外力のポテンシャル.

$$+\delta T = +\frac{1}{2} \int_0^a \int_0^b -N_0 \left(1 - \alpha \frac{y}{b}\right) \left(\frac{\partial w}{\partial x}\right)^2 dx dy$$

$$= -\frac{N_0}{2} \int_0^b \int_0^a \left(1 - \frac{\alpha}{b} y\right) \left(\frac{\partial w}{\partial x}\right)^2 dx dy$$

$$= -\frac{N_0}{2} \cdot \frac{\pi^2}{a^2} \sum \sum a_{mn}^2 m^2 \int_0^b \int_0^a \cos^2 \frac{m\pi x}{a} \sin^2 \frac{n\pi y}{b} \cdot \left(1 - \frac{\alpha}{b} y\right) dx dy$$

$$\int_0^b \int_0^a \cos^2 \frac{m\pi x}{a} \sin^2 \frac{n\pi y}{b} dx dy = \frac{ab}{4}$$

$$\int_0^a \cos^2 \frac{m\pi x}{a} dx = \frac{a}{2}$$

$$I = \int_0^b y \sin \frac{i\pi y}{b} \sin \frac{j\pi y}{b} dy$$

$$= \frac{1}{2} \int_0^b y \left\{ \cos \frac{(i-j)\pi y}{b} - \cos \frac{(i+j)\pi y}{b} \right\} dy = \neq$$

[1] $i = j$ のとき. $I = \frac{b^2}{4}$.

$$I_1 = -\frac{1}{2} \int_0^b y \cos \frac{2i\pi y}{b} dy = -\frac{1}{2} \int_0^b y \left(\frac{b}{2i\pi} \sin \frac{2i\pi y}{b} \right) dy$$

$$= -\frac{b}{4i\pi} \left\{ \left[y \sin \frac{2i\pi y}{b} \right]_0^b - \int_0^b \sin \frac{2i\pi y}{b} dy \right\} = -\frac{b}{4i\pi} \cdot \frac{b}{2i\pi} \left[\cos \frac{2i\pi y}{b} \right]_0^b$$

$$I_2 = \frac{1}{2} \int_0^b y dy = \frac{b^2}{4} = \sigma$$

[2] $i \neq j$ のとき.

$$\begin{aligned} 2I &= \frac{1}{2} \int_0^b y \left\{ \frac{b}{(i-j)\pi} \sin \frac{(i-j)\pi y}{b} - \frac{b}{(i+j)\pi} \sin \frac{(i+j)\pi y}{b} \right\} dy \\ &= \frac{b}{(i-j)\pi} \left\{ \left[y \sin \frac{(i-j)\pi y}{b} \right]_0^b - \int_0^b \sin \frac{(i-j)\pi y}{b} dy \right\} \rightarrow \frac{b^2}{(i-j)^2 \pi^2} \left[\cos \frac{(i-j)\pi y}{b} \right]_0^b \\ &\quad - \frac{b}{(i+j)\pi} \left\{ \left[y \sin \frac{(i+j)\pi y}{b} \right]_0^b - \int_0^b \sin \frac{(i+j)\pi y}{b} dy \right\} \rightarrow -\frac{b^2}{(i+j)^2 \pi^2} \left[\cos \frac{(i+j)\pi y}{b} \right]_0^b \end{aligned}$$

① $i \pm j =$ 偶数のとき $I = 0$.

② $i \pm j :$ 奇数のとき.

$$2I = -2 \frac{b^2}{(i-j)^2 \pi^2} + 2 \frac{b^2}{(i+j)^2 \pi^2}$$

$$I = + \frac{b^2}{\pi^2} \left\{ \frac{1}{(i-j)^2} + \frac{1}{(i+j)^2} \right\}$$

$$= + \frac{b^2}{\pi^2} \frac{-(i+j)^2 + (i-j)^2}{(i^2 - j^2)^2} = - \frac{4b^2}{\pi^2} \frac{ij}{(i^2 - j^2)^2}$$

$$\delta T = - \frac{N_0}{2} \cdot \frac{\pi^2}{a^2} \cdot \frac{ab}{4} \sum \sum a_{mn}^2 m^2$$

$$+ \frac{N_0}{2} \cdot \frac{\pi^2}{a^2} \cdot \frac{\alpha}{b} \cdot \frac{a}{2} \sum m^2$$

$$\left[\frac{b^2}{4} \sum_n a_{mn}^2 - \frac{4b^2}{\pi^2} \sum_n \sum_i \frac{a_{mn} a_{mi} \cdot \pi i}{(m^2 - i^2)^2} \right]$$

$$= - \frac{\pi^2 N_0 ab}{8a} \sum_m \sum_n a_{mn}^2 \left(\frac{m}{a}\right)^2 \quad \frac{\pi^2 d N_0 a}{4b} \cdot \frac{4b^2}{\pi^2} \quad \frac{d N_0 ab}{a^2}$$

$$+ \frac{\pi^2 N_0}{244} \cdot \frac{a\alpha}{b} \sum_m \left(\frac{m}{a}\right)^2 \cdot \left[\frac{b^2}{4} \sum_n a_{mn}^2 - \frac{4b^2}{\pi^2} \sum_n \sum_i \frac{a_{mn} a_{mi} \cdot \pi i}{(m^2 - i^2)^2} \right]$$

[ただし $m \pm i$ は奇数, $n \neq i$]

$$\delta U + \delta T = 0 \text{ より}$$

$$\delta \Pi = \frac{\pi^4 ab}{8} D \sum_m \sum_n a_{mn}^2 \left\{ \left(\frac{m}{a}\right)^2 + \left(\frac{n}{b}\right)^2 \right\}^2$$

$$= - \frac{\pi^2 (\alpha - 2) ab N_0}{16} \sum_m \sum_n a_{mn}^2 \left(\frac{m}{a}\right)^2 + 2\alpha \frac{b}{a} N_0 \sum_m m^2 \sum_n \sum_i \frac{a_{mn} a_{mi} \cdot \pi i}{(m^2 - i^2)^2}$$

$$\frac{2\pi^2 \alpha b D}{8} \sum_m \sum_n a_{mn}^2 \left\{ \left(\frac{m}{a}\right)^2 + \left(\frac{n}{b}\right)^2 \right\}^2 + \frac{\pi^2 (\alpha - 2) ab}{16}$$

$$\therefore N_0 = \frac{\dots}{\dots}$$

$$\frac{32 \alpha}{a^2} \sum_m m^2 \sum_n \sum_i \frac{a_{mn} a_{mi} \cdot \pi i}{(m^2 - i^2)^2} - \frac{\pi^2 (\alpha - 2)}{16} \sum_m \sum_n a_{mn}^2 \left(\frac{m}{a}\right)^2$$

$$= \frac{2\pi^2 D \sum_m \sum_n a_{mn}^2 \left\{ \left(\frac{m}{a}\right)^2 + \left(\frac{n}{b}\right)^2 \right\}^2}{\dots}$$

$$= \frac{32 \alpha}{a^2} \sum_m m^2 \sum_n \sum_i \frac{a_{mn} a_{mi} \cdot \pi i}{(m^2 - i^2)^2} - \pi^2 (\alpha - 2) \sum_m \sum_n a_{mn}^2 \left(\frac{m}{a}\right)^2$$

$$\frac{\partial \Pi}{\partial a_{mn}} = \frac{\pi^4 a b D}{4} a_{mn} \left\{ \left(\frac{m}{a} \right)^2 + \left(\frac{n}{b} \right)^2 \right\}^2$$

$$- \left[\frac{\pi^2 (d-2) a b}{8} a_{mn} \left(\frac{m}{a} \right)^2 - 2d \frac{b}{a} N_0 m^2 \sum_i \frac{a_{mi} \cdot n \cdot i}{(m^2 - i^2)^2} \right] N_0 = 0$$

$$a \rightarrow \frac{a}{m}$$

$$\frac{\pi^4 a b D}{4 m} a_{mn} \left\{ \left(\frac{1}{a} \right)^2 + \left(\frac{n}{b} \right)^2 \right\}^2$$

$$- \left[\frac{\pi^2 (d-2) a b}{8 m} a_{mn} \left(\frac{1}{a} \right)^2 - 2d \frac{b}{a} N_0 m^3 \sum_i \frac{a_{mi} \cdot n \cdot i}{(m^2 - i^2)^2} \right] N_0 = 0$$

$$m \rightarrow 1$$

$$\frac{\pi^4 a b D}{4} a_{1n} \left\{ \left(\frac{1}{a} \right)^2 + \left(\frac{n}{b} \right)^2 \right\}^2$$

$$- \left[\frac{\pi^2 (d-2) a b}{8} a_{1n} \left(\frac{1}{a} \right)^2 - 2d \frac{b}{a} \sum_i \frac{a_{1i} \cdot n \cdot i}{(1^2 - i^2)^2} \right] N_0 = 0$$

$$\frac{\pi^4 a b D}{4} a_{1n} \left\{ 1 + n^2 \frac{a^2}{b^2} \right\}$$

$$- \left[\frac{\pi^2 (d-2) a b}{8} a_{1n} - 2d \frac{b}{a} \sum_i \frac{a_{1i} \cdot n \cdot i}{(1^2 - i^2)^2} \right] N_0 = 0$$

$$\left(1 + n^2 \frac{a^2}{b^2} \right) a_{1n} - \left[\frac{d-2}{2\pi^2 D} a_{1n} - \frac{8d}{\pi^4 D a} \sum_i \frac{a_{1i} \cdot n \cdot i}{(1^2 - i^2)^2} \right] N_0 = 0$$

$$\frac{4}{\pi^4 a b D}$$

$$\frac{(d-2)}{\pi^2 D}$$

$$\frac{4}{\pi^4 D a b} \times 2d a b = \frac{8d}{\pi^4 D}$$

a_{11}, a_{12} について考える。

$$\begin{cases} m=1 \longrightarrow i=2 \\ m=2 \longrightarrow i=1 \end{cases}$$

$m=1, i=2$ のとき。

$$\left(1 + \frac{a^2}{b^2}\right) a_{11} - \left[\frac{\alpha-2}{2\pi^2 D} a_{11} - \frac{8\alpha}{\pi^4 D a^2} \cdot \frac{2}{9} a_{12} \right] N_0 = 0$$

$$\left\{ \left(1 + \frac{a^2}{b^2}\right) - \frac{(\alpha-2)N_0}{2\pi^2 D} \right\} a_{11} + \frac{16\alpha N_0}{9\pi^4 D a^2} a_{12} = 0 \quad \text{--- (A)}$$

$m=2, i=1$ のとき

$$\left(1 + 4\frac{a^2}{b^2}\right) a_{12} - \left[\frac{\alpha-2}{2\pi^2 D} a_{12} - \frac{8\alpha}{\pi^4 D a^2} \cdot \frac{2}{9} a_{11} \right] N_0 = 0$$

$$\frac{16\alpha N_0}{9\pi^4 D a^2} a_{11} + \left\{ \left(1 + 4\frac{a^2}{b^2}\right) - \frac{(\alpha-2)N_0}{2\pi^2 D} \right\} a_{12} = 0 \quad \text{--- (B)}$$

係数行列の DETERMINANT=0.

$$\left\{ \left(1 + \frac{a^2}{b^2}\right) - \frac{(\alpha-2)N_0}{2\pi^2 D} \right\} \left\{ \left(1 + 4\frac{a^2}{b^2}\right) - \frac{(\alpha-2)N_0}{2\pi^2 D} \right\} - \frac{16\alpha N_0}{9\pi^4 D a^2} \cdot \frac{16\alpha N_0}{9\pi^4 D a^2} = 0$$

$$\left\{ \frac{(\alpha-2)^2}{4\pi^4 D^2} - \frac{16\alpha^2}{81\pi^8 D^2 a^4} \right\} N_0^2 - \left\{ \frac{(\alpha-2)}{2\pi^2 D} \left(2 + 5\frac{a^2}{b^2}\right) \right\} N_0 + \left(1 + \frac{a^2}{b^2}\right) \left(1 + 4\frac{a^2}{b^2}\right) = 0$$

$$2\pi^4 D^2 \quad \pi^2 D$$

$$N_0 = \frac{\frac{(\alpha-2)}{2\pi^2 D} \left(2 + 5 \frac{a^2}{b^2}\right) \pm \sqrt{\frac{(\alpha-2)^2}{4\pi^4 D^2} \left(2 + 5 \frac{a^2}{b^2}\right)^2 - 4 \left(\frac{(\alpha-2)^2}{4\pi^4 D^2} - \frac{16^2 d^2}{81\pi^8 D^2}\right) \left(\frac{a^2}{b^2}\right) \left(1 + 4 \frac{a^2}{b^2}\right)}}{2 \left(\frac{(\alpha-2)^2}{4\pi^4 D^2} - \frac{16^2 d^2}{81\pi^8 D^2}\right) \frac{D\pi^2}{b^2}}$$

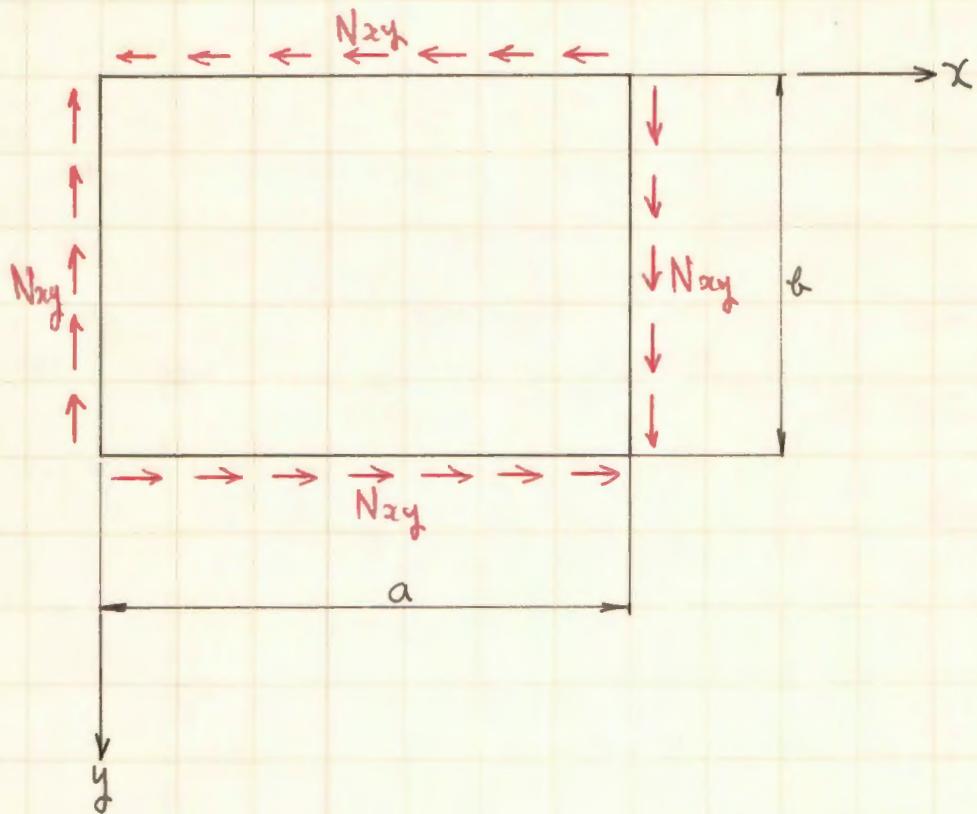
$$= \frac{\frac{\alpha-2}{2\pi^2 D} \left(2 + 5 \frac{a^2}{b^2}\right) + \sqrt{\frac{(\alpha-2)^2}{4\pi^4 D^2} \left(2 + 5 \frac{a^2}{b^2}\right)^2 - 4 \left(\frac{(\alpha-2)^2}{4\pi^4 D^2} - \frac{16^2 \pi^2}{81\pi^8 D^2}\right) \left(1 + \frac{a^2}{b^2}\right) \left(1 + 4 \frac{a^2}{b^2}\right)}}{2 \left(\frac{(\alpha-2)^2}{4\pi^4 D^2} - \frac{16^2 d^2}{81\pi^8 D^2}\right)}$$

$$\text{Ans} = 2 \cdot \frac{81\pi^4 (\alpha-2)^2 - 1024 d^2}{324\pi^8 D^2} = \frac{81\pi^4 (\alpha-2)^2 - 1024 d^2}{162\pi^8 D^2}$$

$$\sigma_{cr} = \frac{\pi^2 E}{12(1-\nu^2)} \left(\frac{t}{b}\right)^2 k(\alpha)$$

$$k(\alpha) = \frac{162\pi^6 D^2}{162\pi^6 D^2}$$

[5.4]



$$\delta U = \frac{ab\pi^4}{8} D \sum \sum a_{mn}^2 \left\{ \left(\frac{m}{a}\right)^2 + \left(\frac{n}{b}\right)^2 \right\}^2 \quad \text{--- ①}$$

$$\delta T = \iint_0^a \iint_0^b N_{xy} \frac{\partial w}{\partial x} \cdot \frac{\partial w}{\partial y} dx dy$$

$$= N_{xy}$$

$$\frac{\partial w}{\partial x} = \sum_m \sum_n A_{mn} \left(\frac{m\pi}{a}\right) \cos \frac{m\pi x}{a} \sin \frac{n\pi y}{b}$$

$$\frac{\partial w}{\partial y} = \sum_m \sum_n A_{mn} \left(\frac{n\pi}{b}\right) \sin \frac{m\pi x}{a} \cos \frac{n\pi y}{b}$$

$$I = \int_0^a \sin \frac{i\pi x}{a} \frac{\sin j\pi x}{\cos \frac{j\pi x}{a}} dx$$

$$= \frac{1}{2} \int_0^a \left\{ \sin \frac{(i+j)\pi x}{a} + \sin \frac{(i-j)\pi x}{a} \right\} dx$$

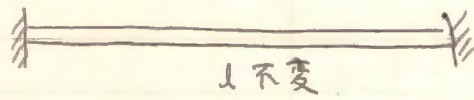
$$\stackrel{i \neq j}{=} \frac{1}{2} \left[\frac{-a}{(i+j)\pi} \cos \frac{(i+j)\pi x}{a} - \frac{a}{(i-j)\pi} \cos \frac{(i-j)\pi x}{a} \right]_0^a$$

$$\left. \begin{array}{l} \textcircled{1} i \pm j = \text{偶数} \\ \textcircled{2} i \pm j = \text{奇数} \end{array} \right\} \begin{array}{l} I = 0 \\ I = \frac{a}{\pi} \left(\frac{1}{i+j} + \frac{1}{i-j} \right) = \frac{a}{\pi} \frac{2i}{i^2 - j^2} \end{array}$$

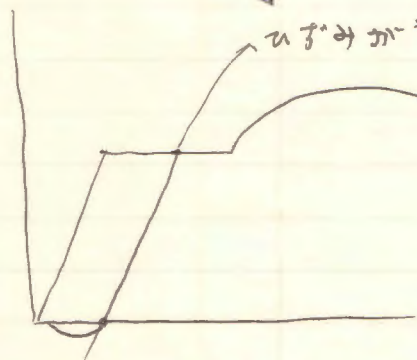
$$\textcircled{3} i = j \text{ のとき.}$$

$$I = \frac{1}{2} \int_0^a \sin \frac{2i\pi x}{a} = \frac{-a}{4i\pi} \left[\cos \frac{2i\pi x}{a} \right]_0^a = 0$$

6/14.

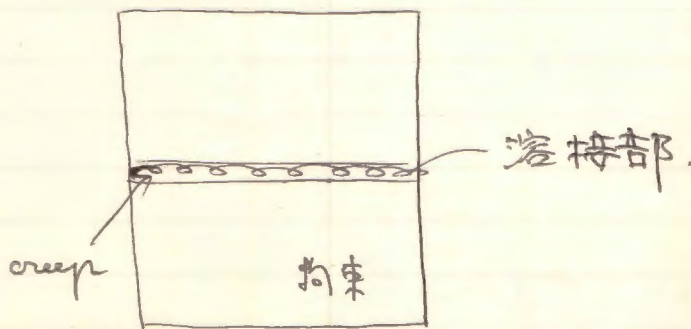
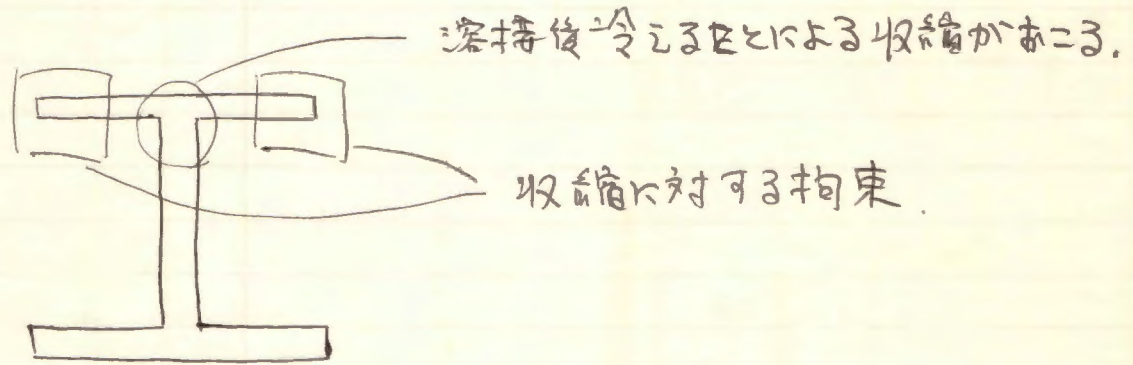


$$\epsilon_t + \epsilon_e = \alpha \Delta t$$



ϵ_t が塑性域に達すると、塑性 ϵ_t が生じなければならぬのに、 l は不変だから、 ϵ_t が部材内の変る

① 温度によって生ずる収縮に対する拘束。



{ cooling pattern : 温度差による
welding pattern : 変位差による

残留応力は材料自身でつりあっている (∵ 外力が作用しない)

↓

自平衡系 self equilibrium system

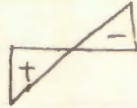
$$\int_A \sigma_x dA = 0, \quad \int_A \sigma_x x dA = 0, \quad \int_A \sigma_y dA = 0$$

(参) JSSC Vol.3 No.16 1967
残留応力と座屈.

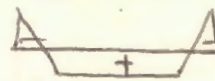
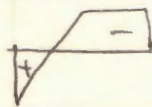
1. 残留応力.
2. 残留応力のある材の座屈強度に関する.
3. 座屈強度に関する実験結果.
- 4.
5. 実構造物設計に際しての残留応力の評価.

残留応力を有する板の座屈強度

cooling type



welding type



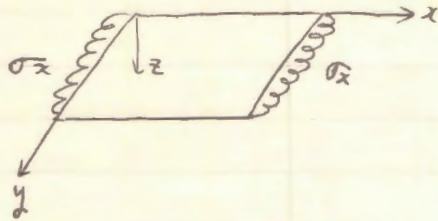
(参) 土論 No 172 1969-12 pp 99~96

Residual Stress and Local Buckling Strength
of Steel Columns

F. Nishino and L. Tall.

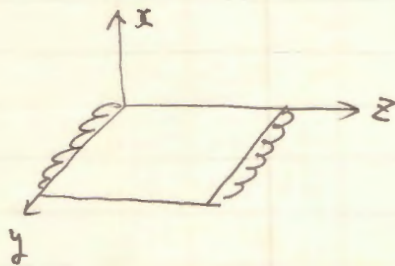
- ★ {
 - 弾性域においても、残留応力は座屈荷重を低下させる。
 - cooling typeの方がwelding typeよりも影響が大きい。
 - 残留応力だけで座屈応力に連するところがある。

• 弾性領域



$$D \left(\frac{\partial^4 w}{\partial x^4} + 2 \frac{\partial^4 w}{\partial x^2 \partial z^2} + \frac{\partial^4 w}{\partial z^4} \right) + \sigma_x t \frac{\partial^2 w}{\partial x^2} = 0$$

• 非弾性領域



$y \rightarrow x$
 $z \rightarrow y$
 $x \rightarrow -z$

$$E \left[\frac{\partial^2}{\partial z^2} \left(I k_1 \frac{\partial^2 w}{\partial z^2} + I k_2 \frac{\partial^2 w}{\partial y^2} \right) + 4 \frac{\partial^2}{\partial z \partial y} \left(I k_4 \frac{\partial^2 w}{\partial z \partial y} \right) + \frac{\partial^2}{\partial y^2} \left(I k_3 \frac{\partial^2 w}{\partial z^2} + I k_3 \frac{\partial^2 w}{\partial y^2} \right) \right] + \sigma_x t \frac{\partial^2 w}{\partial z^2} = 0$$

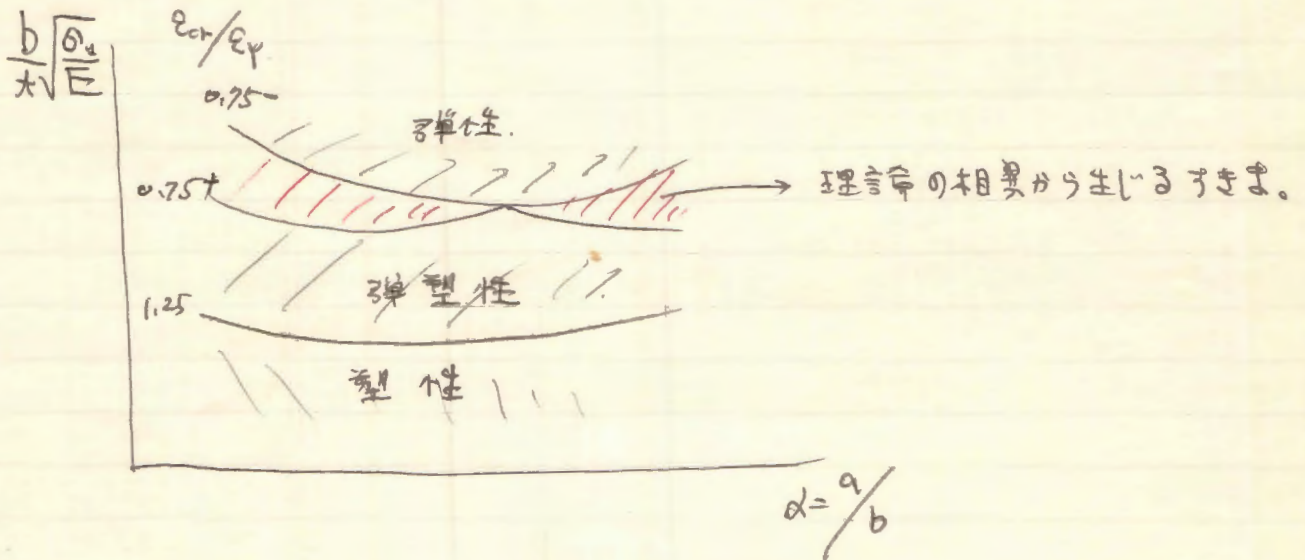
$k_1, k_2, k_3, k_4 \rightarrow$ エンダート係数 (P94)

幅厚比とアスペクト比の関係

残留応力なし

- 弾性域 ——— $g/b = 1.0$ で b/t minimum
- 塑性域 ——— $g/b = 0.7$ で b/t ?

残留応力 $\sigma_{rc} = \frac{1}{4} \sigma_r$



残留応力, imperfectionのない場合の座屈.

$$\sigma_{cr} = \frac{\pi^2 E}{12(1-\nu^2) \left(\frac{b}{t}\right)^2} \cdot l.$$

$\sigma_{cr} = \sigma_{cr}$ (材料定数, 幅厚比, アスノット比, 載荷条件, 境界条件)

線形座屈解析

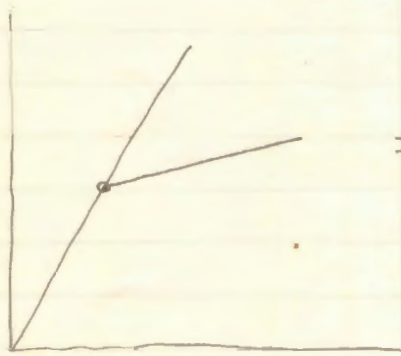
長 (アスノット比, 載荷条件, 境界条件)

他

残留応力の形, 大きさ, 初期不整

座屈応力 — 座屈応力は長の関数であるが, 長は座屈応力に支配される。

線形座屈

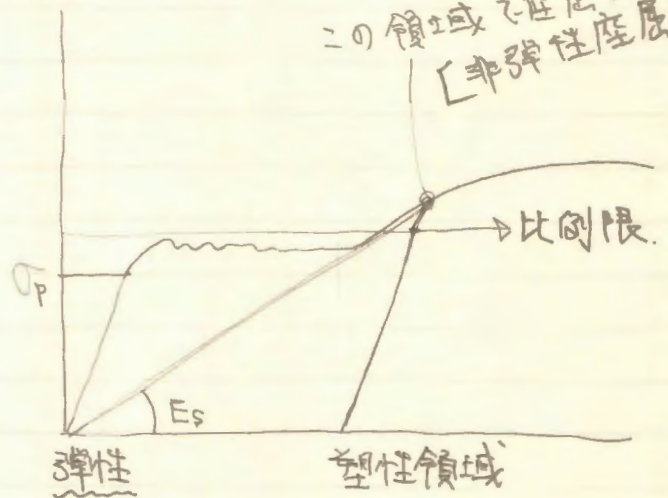


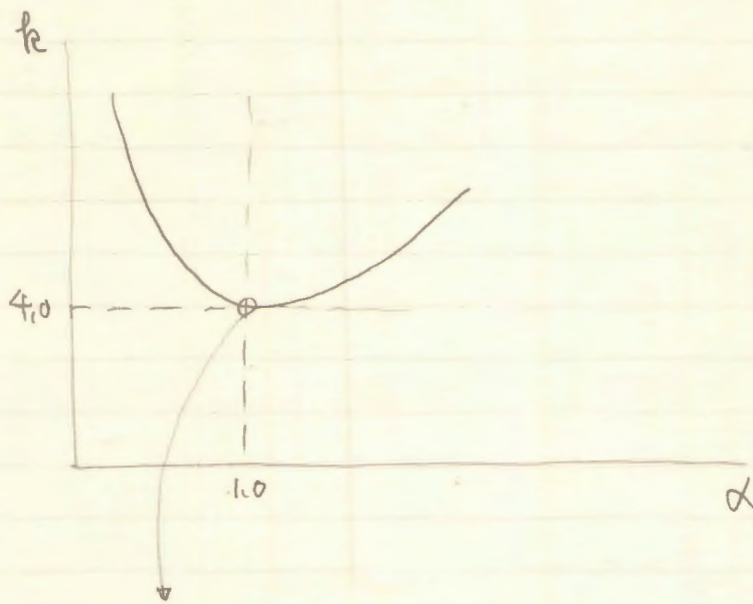
比例限度内.

steelの場合には
お程度保証される。
コンクリートに比例限
があるか？

影響

この領域で座屈することがある
[非弾性座屈]





kの値を決めて,

$(\frac{b}{t})_0$ により $\sigma_{cr,0}$ が決まる。

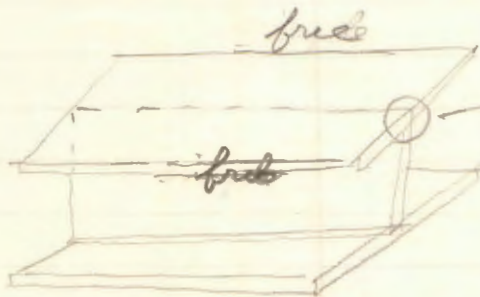
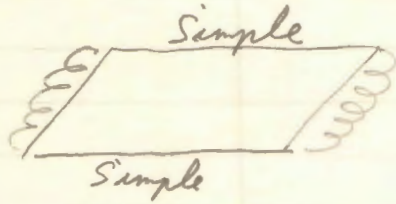
実際には. $\sigma_{cr,0} > \sigma_{cr}$ を 満足してしまふ。



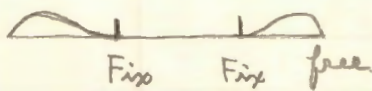
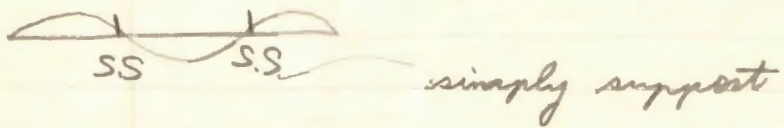
$\sigma_{cr,0}$ まで 保障し外すまで $(\frac{b}{t})$ の値をおさえる
必要がある。

$$\frac{(\frac{b}{t})}{(\frac{b}{t})_0} = R.$$

考えられる部材要素.

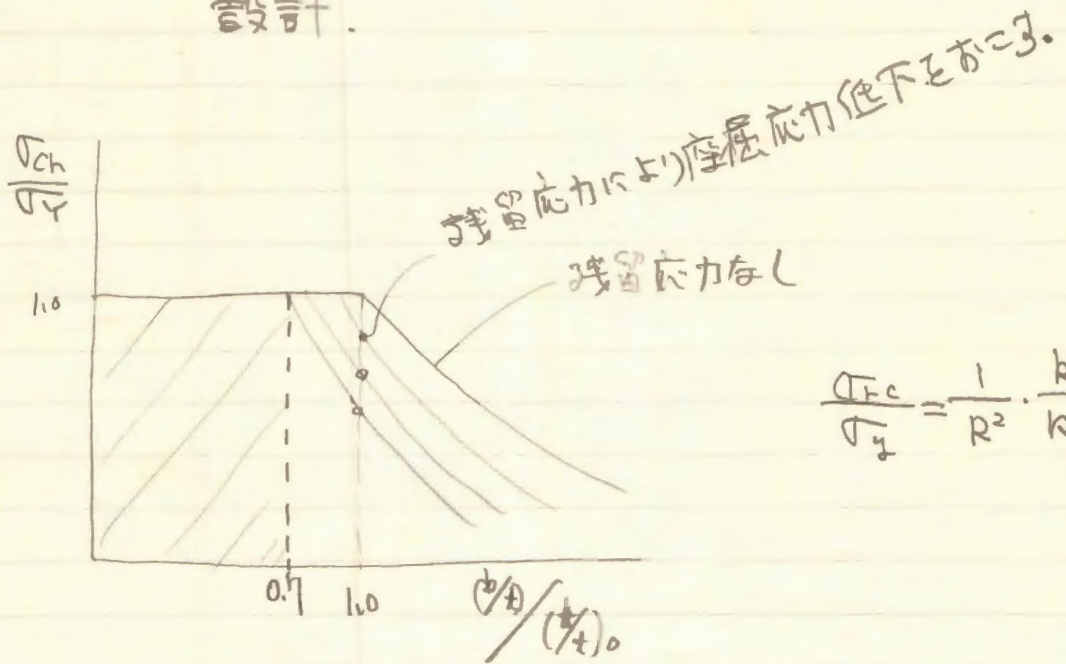


→ Simple と fix の中間!?



極端な場合 → 非載荷辺が simple or fix の場合を考慮する。

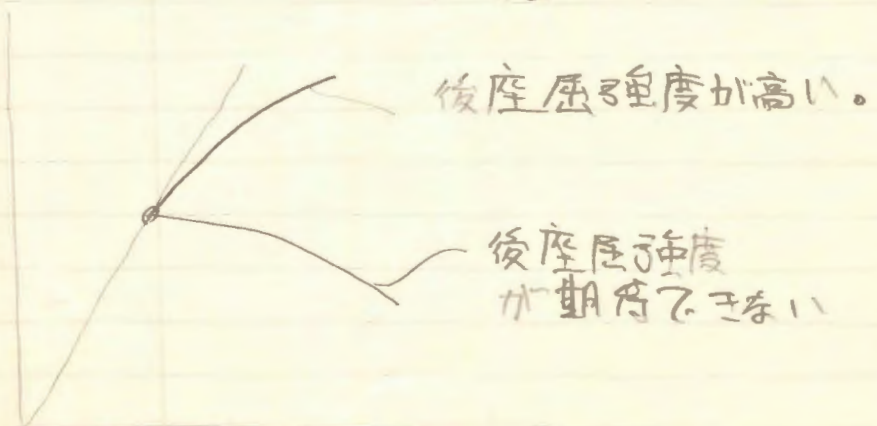
座屈が降伏点 ($\sigma_{ch}/\sigma_y = 1.0$) までおこさないようにするこ
とが、現在の目標である
設計。



全体座屈

局部座屈 → 全体座屈以前に起こってはならない。

フットガーダー Web → Post Buckling Strength
がある。



- 横方向荷重だけのときの微分方程式

$$\frac{\partial^4 w}{\partial x^4} + 2 \frac{\partial^2 w}{\partial x^2 \partial y^2} + \frac{\partial^4 w}{\partial y^4} = \frac{p(x, y)}{D}$$

- 横方向及び u 中心面方向荷重のときの微分方程式

$$\frac{\partial^4 w}{\partial x^4} + 2 \frac{\partial^2 w}{\partial x^2 \partial y^2} + \frac{\partial^4 w}{\partial y^4} = \frac{1}{D} \left(p + N_x \frac{\partial^2 w}{\partial x^2} + N_y \frac{\partial^2 w}{\partial y^2} + 2N_{xy} \frac{\partial^2 w}{\partial x \partial y} \right)$$

- 中心面方向荷重だけのときの微分方程式

$$\frac{\partial^4 w}{\partial x^4} + 2 \frac{\partial^2 w}{\partial x^2 \partial y^2} + \frac{\partial^4 w}{\partial y^4} = \frac{1}{D} \left(N_x \frac{\partial^2 w}{\partial x^2} + N_y \frac{\partial^2 w}{\partial y^2} + 2N_{xy} \frac{\partial^2 w}{\partial x \partial y} \right)$$

- u のみにエネルギー

(1) 純曲げ

$$U_1 = \frac{1}{2} D \iint \left\{ \left(\frac{\partial^2 w}{\partial x^2} \right)^2 + 2\nu \frac{\partial^2 w}{\partial x^2} \cdot \frac{\partial^2 w}{\partial y^2} + \left(\frac{\partial^2 w}{\partial y^2} \right)^2 \right\} dx dy$$

(2) 横荷重による曲げ

$$U_2 = \frac{1}{2} D \iint \left\{ \left(\frac{\partial^2 w}{\partial x^2} \right)^2 + 2\nu \frac{\partial^2 w}{\partial x^2} \cdot \frac{\partial^2 w}{\partial y^2} + \left(\frac{\partial^2 w}{\partial y^2} \right)^2 + 2(1-\nu) \left(\frac{\partial^2 w}{\partial x \partial y} \right)^2 \right\} dx dy$$

(3) 曲げと軸方向力

$$U_3 = \frac{Et}{2(1-\nu^2)} \iint \left[\left(\frac{\partial u}{\partial x} + \frac{\partial v}{\partial y} \right)^2 + 2(1-\nu) \left\{ \frac{1}{4} \left(\frac{\partial u}{\partial y} + \frac{\partial v}{\partial x} \right)^2 - \left(\frac{\partial u}{\partial x} \right) \cdot \left(\frac{\partial v}{\partial y} \right) \right\} \right] dx dy$$

+ U_2

補剛板の座屈解析.

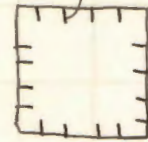
縦補剛材を有する板.

吊橋の塔柱

ア-4部材 (フランジ)

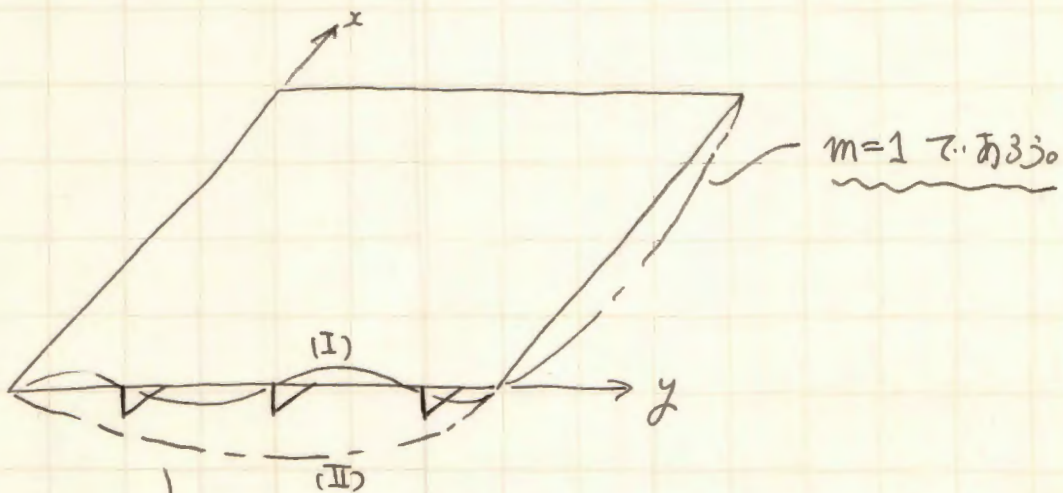
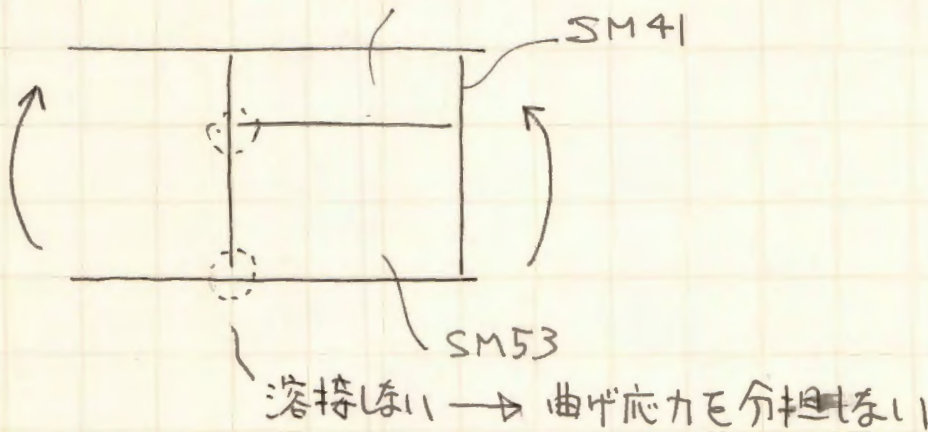
トラス部材.

断面の一部



70L-ト ガーダー.

ウエブと同じ SM53 (ある程度応力を分担する)



[

 stiffener の剛性大 → (I) の波形

 " " 小 → (II) の波形

 その境界は ?

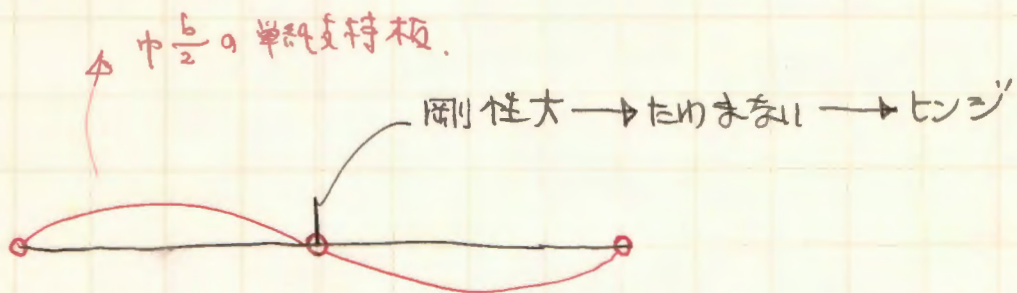
パラメーター

(1) 補剛材の曲げ剛性と板の曲げ剛性の比.

$$\gamma = \frac{EI}{Db} \leftarrow \begin{array}{l} \text{stiffner} \\ \text{板} \end{array}$$

(2) 断面積.

$$\delta = \frac{A}{bt}$$



4方向の半波 π 形 $m=2$. ($m=1$)

$$k = \left(\frac{m}{\alpha} + n^2 \frac{\alpha}{m} \right)^2$$

$$= \left(\frac{1}{\alpha} + n^2 \alpha \right)^2 \quad (m=1)$$

$$\frac{\partial k}{\partial \alpha} = 2 \left(\frac{1}{\alpha} + n^2 \alpha \right) \cdot \left(-\frac{1}{\alpha^2} + n^2 \right) = 0$$

どんな π 形状 (α) においても安全に設計する,

$$\frac{1}{\alpha^2} = n^2 \rightarrow \alpha = \frac{1}{n}$$

$$\rightarrow k = \left(\frac{1}{\alpha} + n^2 \alpha \right)^2 = (n + n)^2 = 4n^2$$

[逆対称変形する場合の座屈荷重の最小値]

$$\rightarrow \sigma_{ch} = \frac{\pi^2 E}{12(1-\nu^2) \left(\frac{b}{t} \right)^2} \cdot 4n^2$$

スリッパが N 本あるは:

$$\sigma_{ch} = \frac{\pi^2 E}{12(1-\nu^2) \left(\frac{b}{t} \right)^2} 4(N+1)^2$$

$$l = d + n$$

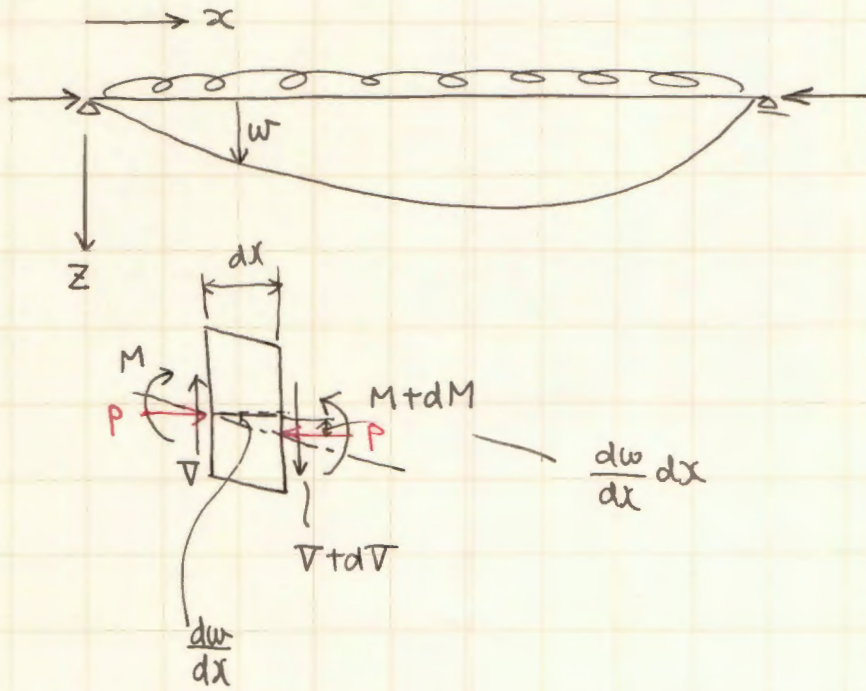
$$\frac{a}{b} = d$$

$$d + m$$

$$\frac{1}{\alpha^2} + n^2 \cdot d n$$

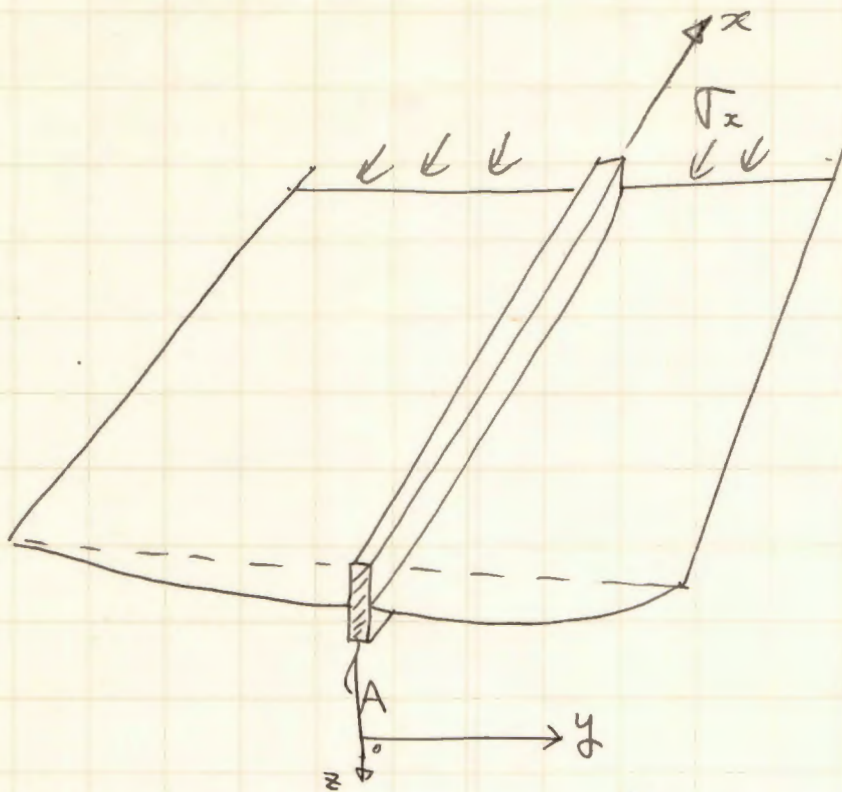
$$\frac{1}{\alpha^2} + d n^2$$

Beam - Column (梁-柱)

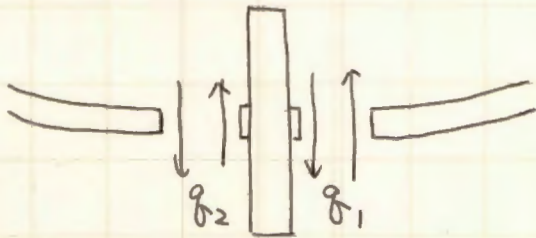


$$EI \frac{d^4 w}{dx^4} + P \frac{d^2 w}{dx^2} = q$$

→ 有限变形的子问题



補剛材にかかる軸力 $P = \sigma_x A$
 $= \sigma_{cr} A$ (座屈時)



横荷重 $q = q_1 - q_2$

<P63>
 式(5,15)より

$$q_1 = -D \left[\frac{\partial^3 w_1}{\partial y^3} + (2-\nu) \frac{\partial^3 w_1}{\partial x^2 \partial y} \right]_{y=0}$$

$$q_2 = -D \left[\frac{\partial^3 w_2}{\partial x^3} + (2-\nu) \frac{\partial^3 w_2}{\partial x \partial y^2} \right]_{y=0}$$

$$q = q_1 - q_2 = -D \frac{\partial}{\partial y} \left[\frac{\partial^2 w_1}{\partial y^2} + (2-\nu) \frac{\partial^2 w_1}{\partial x^2} - \frac{\partial^2 w_2}{\partial y^2} - (2-\nu) \frac{\partial^2 w_2}{\partial x^2} \right]_{y=0}$$

$$\left[\frac{\partial^2 w_1}{\partial x^2} = \frac{\partial^2 w_2}{\partial x^2} \right]_{y=0} \quad \text{※ } \delta'$$

$$q = -D \left(\frac{\partial^3 w_1}{\partial y^3} - \frac{\partial^3 w_2}{\partial y^3} \right)_{y=0}$$

$$\left[\frac{\partial^3 w_1}{\partial y^3} = - \frac{\partial^3 w_2}{\partial y^3} \right]_{y=0}$$

$$q = -2D \left[\frac{\partial^3 w_1}{\partial y^3} \right]_{y=0}$$

補剛材のため → 常微分

$$q = EI \frac{d^4 w}{dx^4} + P \frac{d^2 w}{dx^2}$$

板の y=0 でのため → 偏微分

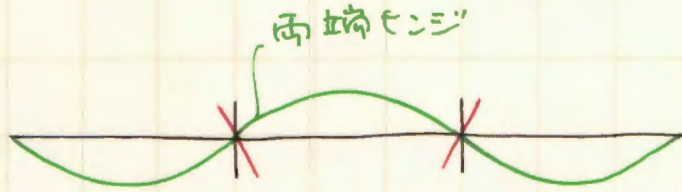
$$w = [w_1]_{y=0}$$

$$\left[EI \frac{\partial^4 w_1}{\partial y^4} + P \frac{\partial^2 w_1}{\partial x^2} + 2D \frac{\partial^3 w_1}{\partial y^3} \right]_{y=0} = 0$$

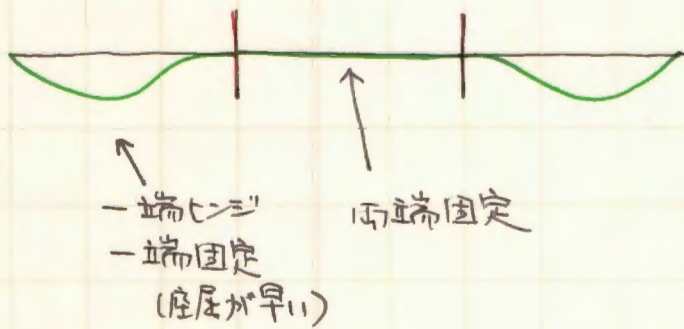
$$EI = rbD \quad P = \sigma_0 \delta bt$$

$$\left[rb \frac{\partial^4 w_1}{\partial x^4} + \delta \frac{\sigma_0 bt}{D} \frac{\partial^2 w_1}{\partial x^2} + 2 \frac{\partial^3 w_1}{\partial y^3} \right]_{y=0} = 0$$

① 内点



ねじり剛性[大]



こいつ場合どうか？

同じ理論は使えない。

② 残余力がある場合はどうか。

③ 複雑な問題 → エネルギー法

P115 エネルギー法による解.

$$w = \sum_m \sum_n a_{mn} \left(1 - \cos \frac{2m\pi x}{a}\right) \left(1 - \cos \frac{2n\pi y}{a}\right)$$

$$\left\{ \begin{array}{l} x=0, a \\ y=0, a \end{array} \right. \quad w = \frac{\partial w}{\partial x} = \frac{\partial w}{\partial y} = 0$$

$$U = \frac{D}{2} \iint \left(\frac{\partial^2 w}{\partial x^2} + \frac{\partial^2 w}{\partial y^2} \right)^2 dx dy$$

$$\frac{D}{2} \iint \left\{ \left(\frac{\partial^2 w}{\partial x^2} \right)^2 + \left(\frac{\partial^2 w}{\partial y^2} \right)^2 + 2\nu \frac{\partial^2 w}{\partial x^2} \frac{\partial^2 w}{\partial y^2} + 2(1-\nu) \left(\frac{\partial^2 w}{\partial x \partial y} \right)^2 \right\} dx dy$$

$$\begin{aligned} \iint_A \left(\frac{\partial^2 w}{\partial x \partial y} \right)^2 dx dy &= \int_0^a \frac{\partial^2 w}{\partial x \partial y} \cdot \frac{\partial w}{\partial x} dx - \int_0^a \frac{\partial w}{\partial x} \cdot \frac{\partial^2 w}{\partial y^2} dy \\ &+ \iint_A \frac{\partial^2 w}{\partial x^2} \cdot \frac{\partial^2 w}{\partial y^2} dx dy. \end{aligned}$$

$$\frac{\partial w}{\partial x} = \frac{\partial w}{\partial y} = 0 \quad (\text{境界条件})$$

$$\sigma = 8\pi^4 D \int_0^a \int_0^b \left[\sum_m \frac{m^2}{a^2} \cos \frac{2m\pi x}{a} \left\{ \sum_n a_{mn} \left(1 - \cos \frac{2n\pi y}{b} \right) \right\} + \sum_m \left(1 - \cos \frac{2m\pi x}{a} \right) \left\{ \sum_n a_{mn} \frac{n^2}{b^2} \cos \frac{2n\pi y}{b} \right\} \right]^2 dx dy$$

$$= 2\pi^4 D \left[\sum_m \sum_n a_{mn}^2 \left(\frac{3b m^4}{a^3} + \frac{3a n^4}{b^3} + \frac{2m^2 n^2}{ab} \right) \right.$$

$$\left. + \sum_m \sum_s \sum_t \frac{2b m^4}{a^3} a_{ms} a_{mt} + \sum_n \sum_s \sum_t \frac{2a n^4}{b^3} a_{sn} a_{tn} \right]$$

(m, n, s, t = 1, 2, 3, ...)

ただし S ≠ t

等分布荷重 p の仕事

$$W = \iint_A p \sum_m \sum_n a_{mn} \left(1 - \cos \frac{2m\pi x}{a} \right) \left(1 - \cos \frac{2n\pi y}{b} \right) dx dy$$

$$= \iint_A p \sum_m \sum_n \left\{ \left(1 - \cos \frac{2m\pi x}{a} \right) - \left(1 - \cos \frac{2n\pi y}{b} \right) \cos \frac{2m\pi x}{a} \right\} dx dy$$

$$= \int_0^b p \sum_m \sum_n a_{mn} \left[\left(1 - \cos \frac{2m\pi x}{a} \right) x - \frac{a \left(1 - \cos \frac{2n\pi y}{b} \right)}{2m\pi} \sin \frac{2m\pi x}{a} \right] dx$$

$$= a \cdot p \sum_m \sum_n a_{mn} \left[y - \frac{b}{2n\pi} \sin \frac{2n\pi y}{b} \right]_0^b$$

$$= ab p \sum_m \sum_n a_{mn}$$

最小化条件.

$$\frac{\partial (U-W)}{\partial a_{mn}} = 4\pi^4 D \left[a_{mn} \left(\frac{3bm^4}{a^3} + \frac{3an^4}{b^3} + \frac{2m^2n^2}{ab} \right) + \sum_{\substack{s \\ (s \neq n)}} \frac{2bm^4}{a^3} a_{ms} + \sum_{\substack{s \\ (s \neq m)}} \frac{2an^4}{b^3} a_{sm} \right] - pab = 0$$

$a=b$ のとき (正方形板)

$$a_{mn} (3m^4 + 3n^4 + 2m^2n^2) + \sum_{\substack{s \\ s \neq n}} 2m^4 a_{ms} + \sum_{\substack{s \\ s \neq m}} 2n^4 a_{sn} = \frac{pa^4}{4\pi^4 D}$$

○ a_{11} の値は? (近似式)

$$a_{11} = 0.03125 \frac{pa^4}{\pi^4 D}$$

$$W_{max} \rightarrow \begin{cases} a_{11} \\ x = \frac{a}{2} \\ y = \frac{b}{2} \end{cases}$$

$$D^4 y - AD^2 y + By = 0$$

$$D^4 - AD^2 + B = 0$$

$$D^2 = C$$

$$C^2 - AC + B = 0$$

$$C = \frac{A \pm \sqrt{A^2 - 4B}}{2}$$

$$\lambda_1 = \frac{m\pi}{a} \sqrt{1+\mu}$$

$$\lambda_2 = \frac{m\pi}{a} \sqrt{1-\mu}$$

$$\lambda_3 = -\frac{m\pi}{a} \sqrt{1+\mu}$$

$$\lambda_4 = -\frac{m\pi}{a} \sqrt{1-\mu}$$

$$A^2 - 4B = 4 \left(\frac{m\pi}{a}\right)^4 - 4 \left(\frac{m\pi}{a}\right)^4 (1-\mu^2)$$

$$= 4 \left(\frac{m\pi}{a}\right)^4 \mu^2$$

$$\sqrt{A^2 - 4B} = 2 \left(\frac{m\pi}{a}\right)^2 \mu$$

$$C = \frac{2 \left(\frac{m\pi}{a}\right)^2 \pm 2 \left(\frac{m\pi}{a}\right)^2 \mu}{2}$$

$$= \left(\frac{m\pi}{a}\right)^2 \{1 \pm \mu\} \rightarrow \Sigma = A_1 e^{\left(\frac{m\pi}{a}\right)^2 (1+\mu)} + A_2 e^{\left(\frac{m\pi}{a}\right)^2 (1-\mu)}$$

$$D = \pm \frac{m\pi}{a} \sqrt{1 \pm \mu}$$

$$y = A_1 e^{\frac{m\pi}{a} \sqrt{1+\mu}} + A_2 e^{\frac{m\pi}{a} \sqrt{1-\mu}} + A_3 e^{-\frac{m\pi}{a} \sqrt{1+\mu}} + A_4 e^{-\frac{m\pi}{a} \sqrt{1-\mu}}$$

$$e^{\lambda x} = \sinh x + \cosh x$$

$$\frac{m\pi}{a} \sqrt{1+\mu} = k_1$$

$$e^{-\lambda x} = \cosh x - \sinh x$$

$$\frac{m\pi}{a} \sqrt{\mu-1} = k_2$$

$$e^{i\lambda x} = \cos x + i \sin x$$

$$e^{-i\lambda x} = \cos x - i \sin x$$

$$y = A_1 e^{k_1} + A_2 e^{ik_2} + A_3 e^{-k_1} + A_4 e^{-ik_2}$$

$$\begin{aligned} &= A_1 (\sinh k_1 + \cosh k_1) \\ &+ A_2 (\cos k_2 + i \sin k_2) \\ &+ A_3 (\cosh k_1 - \sinh k_1) \\ &+ A_4 (\cos k_2 - i \sin k_2) \end{aligned}$$

$$\begin{aligned} Y &= (A_1 - A_3) \sinh k_1 + (A_1 + A_3) \cosh k_1 \\ &+ (A_2 + A_4) \cos k_2 + i (A_2 - A_4) \sin k_2 \end{aligned}$$

$$A_1 - A_3 = C_2, \quad A_1 + A_3 = C_1$$

$$A_2 + A_4 = C_3, \quad i(A_2 - A_4) = C_4$$

$$\therefore Y = C_1 \cosh k_1 + C_2 \sinh k_1 + C_3 \cos k_2 + C_4 \sin k_2$$

$$e^x = \cosh x + \sinh x$$

$$e^{-x} = \cosh x - \sinh x$$

$$e^{ix} = \cos x + i \sin x$$

$$e^{-ix} = \cos x - i \sin x$$

$$\cosh x = \frac{e^x + e^{-x}}{2}$$

$$\sinh x = \frac{e^x - e^{-x}}{2}$$

$$\cos x = \frac{e^{ix} + e^{-ix}}{2}$$

$$\sin x = \frac{e^{ix} - e^{-ix}}{2i}$$

10/4.

PLATE BUCKLING IN THE STRAIN-HARDENING RANGE

G. Haaijer

Proc. Paper 1212

Proc. of ASCE EM2.

1957 April. Vol 83.

直交異方性板

板の釣合方程式.

$$D_x \frac{\partial^4 w}{\partial x^4} + 2H \frac{\partial^4 w}{\partial x^2 \partial y^2} + D_y \frac{\partial^4 w}{\partial y^4} = - \frac{t \sigma_x}{I} \frac{\partial^2 w}{\partial x^2} \quad (1)$$

異方性 …… ひずみ硬化がはじまっている.

$$D_x = \frac{E_x}{1 - \nu_x \nu_y}, \quad D_y = \frac{E_y}{1 - \nu_x \nu_y}, \quad I = \frac{t^3}{12}$$

$$D_{xy} = \frac{\nu_x E_x}{1 - \nu_x \nu_y}, \quad D_{yx} = \frac{\nu_y E_y}{1 - \nu_x \nu_y}$$

$$2H = D_{xy} + D_{yx} + 4G_t \quad (G_t: \text{せん断弾性係数})$$

$H^2 = D_x \cdot D_y$ の場合には、解析解が求まる。

(参)の Bleich, Buckling Strength of Metal Structures)

② 仲, 加藤 座屈論 彰国社 (建築学大系)
・ 局部座屈.

$H^2 \neq D_x D_y$ の場合には、解析解が求まらない

↓

エネルギー法.

ひずみエネルギーと外力仕事の、座屈による変化は等しいから。

$$\frac{D_x + t}{I} \iint \left(\frac{\partial w}{\partial x} \right)^2 dx dy$$

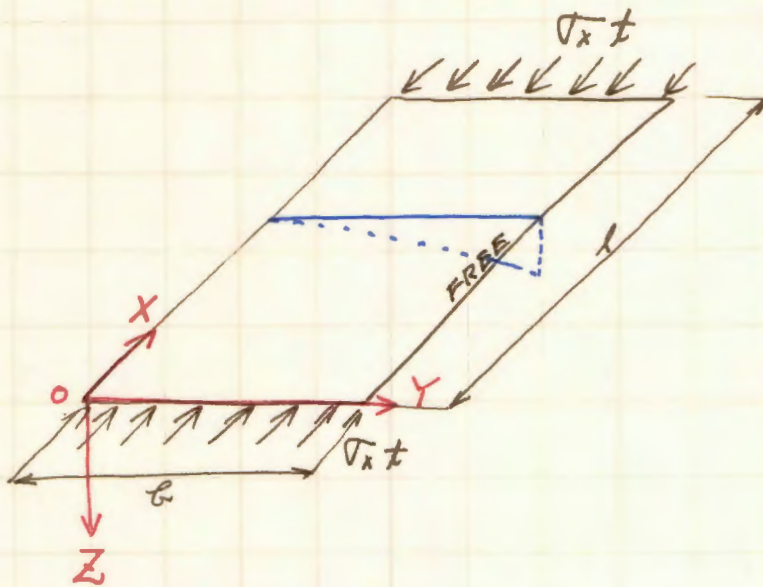
$$= \iint \left[D_x \left(\frac{\partial^2 w}{\partial x^2} \right)^2 + D_y \left(\frac{\partial^2 w}{\partial y^2} \right)^2 + (D_{xy} + D_{yx}) \frac{\partial^2 w}{\partial x^2} \cdot \frac{\partial^2 w}{\partial y^2} + 4G_t \left(\frac{\partial^2 w}{\partial x \partial y} \right)^2 \right] dx dy \quad (2)$$

こゝまでは厳密である。

* こゝで、たわみ形を仮定するが、この仮定が適当でないとき、実際の解とは遠い解が得られる。

→ 座屈実験が必要である。

1) Plates with One Free Edge.



たわみ形仮定.

$$w = \left[A \frac{Y}{b} + B \left\{ \left(\frac{Y}{b} \right)^2 + a_1 \left(\frac{Y}{b} \right)^3 + a_2 \left(\frac{Y}{b} \right)^4 \right\} \right] \sin \frac{\pi X}{l} \quad (3)$$

x方向に半波形.

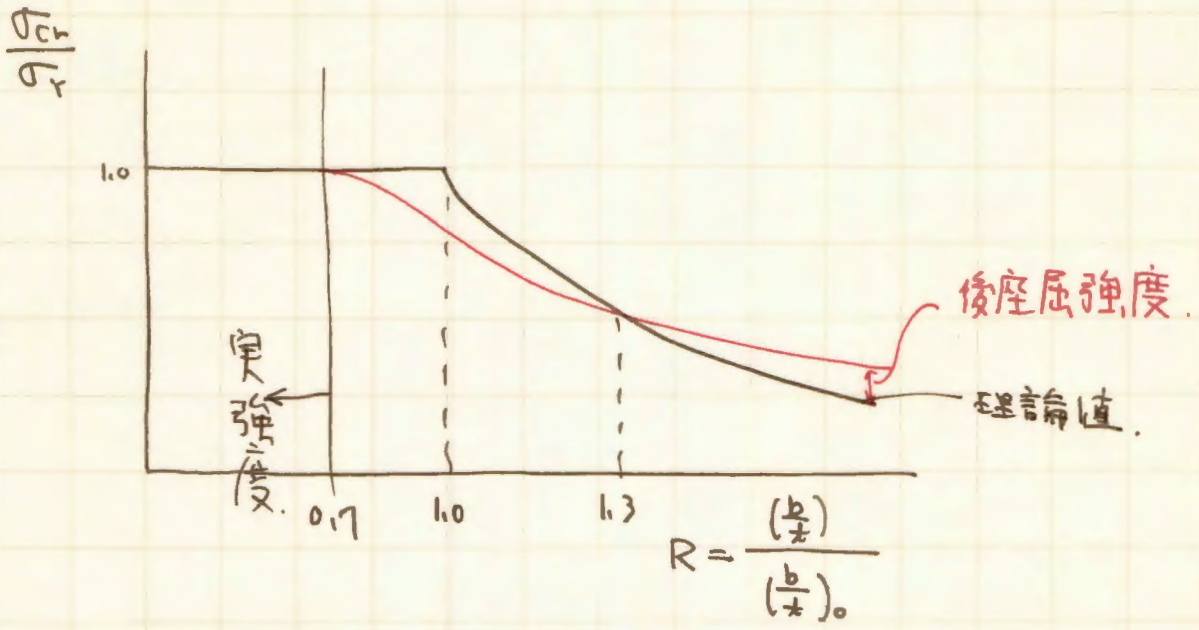
$$\left. \begin{array}{l} \beta = \frac{B}{A} \quad \beta = 0 \quad \text{自由} \quad (B=0) \\ \beta \Rightarrow \infty \quad \text{固定} \quad (A \Rightarrow 0) \end{array} \right\} Y=0 \text{において.}$$

著者の学位論文によれば、 a_1, a_2 として次の値が適当である。

$$\left\{ \begin{array}{lll} 0 < \beta < 0.1 & a_1 = -0.7 & a_2 = 0.2 \\ \beta = \infty & a_1 = -1.10 & a_2 = 0.54 \end{array} \right.$$

(3) 式を (2) 式に代入して積分すると.

$$\sigma_x = \frac{t^2}{12 b^2} \left[D_x \left(\frac{\pi b}{l} \right)^2 + D_y \left(\frac{l}{\pi b} \right)^2 \frac{2\beta + \beta^2 C_3}{\frac{1}{3} + \beta C_1 + \beta^2 C_2} \right. \\ \left. - (D_{xy} + D_{yx}) \frac{\beta C_4 + \beta^2 C_5}{\frac{1}{3} + \beta C_1 + \beta^2 C_2} + 4G_t \frac{1 + \beta C_6 + \beta^2 C_7}{\frac{1}{3} + \beta C_1 + \beta^2 C_2} \right] \quad (4)$$



土木構造物では $0.7 > R$ の範囲であるから
後座屈強度は期待しない。

◎ ベーナーホフ 弾性・塑性言命
 佐藤第三訳
 日刊工業新聞社
 ・ ベーナーホフ 塑性論 . 101

第7章. 断面構成する鋼板の幅厚比.

7.1 前文.

薄板 (幅厚比の大きい板):

弾性座屈 (ごく小さい荷重で座屈)



後座屈強さが期待される.

~~強度は座屈強さを降伏~~

圧延成形断面, 厚板:

非弾性座屈 (断面全体が降伏するまで座屈しない)



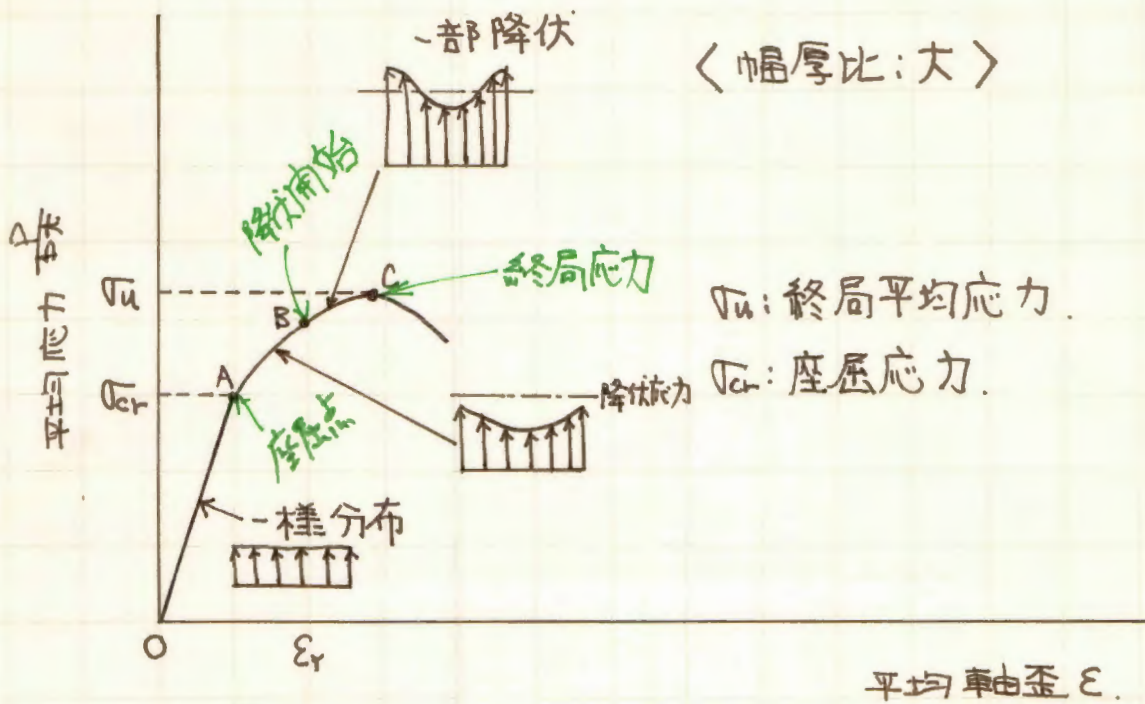
後座屈強さは期待できない.

板要素に作用する最大応力は, 幅厚比, 境界条件, 作用応力分布で決まる.



境界条件, 応力分布が同一であれば, 弾性座屈か非弾性座屈かは板の幅厚比だけで決まる.

7.2 圧縮を受ける板の挙動.



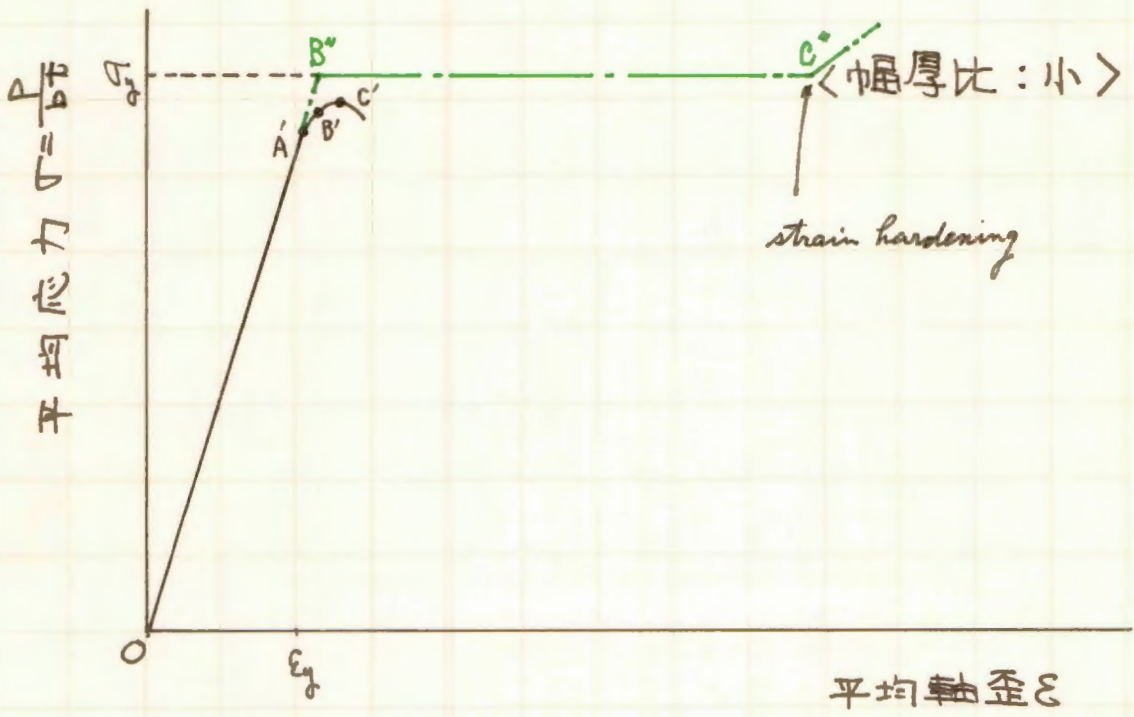
$\frac{P}{bt} = \sigma_{cr}$ (点A) に達すると、板は横方向に変形

し始める。 <座屈>

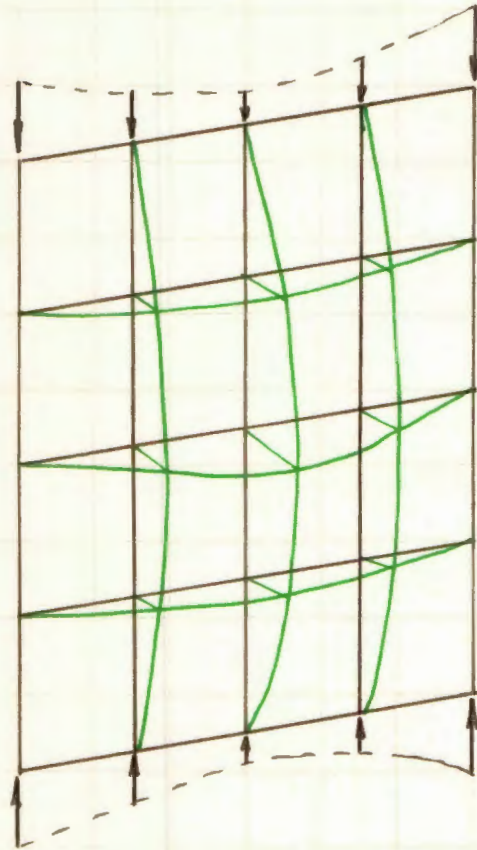


柱では座屈するとたどちに破壊につながるが、
板の場合は、無載荷辺も支持されているために座屈
荷重以上の荷重を支えることができる。

座屈荷重以上の荷重の増加は大きい幅厚比の
板ほど著しい。



7.3 板の座屈後の挙動.



板の鉛直辺は真直に支持されているため、鉛直辺に近いほどたわみは小さく、中央ほどたわみは大きい。



鉛直辺に近いほど大きな荷重をうけもつ。



応力分布は図のように不均一となる。

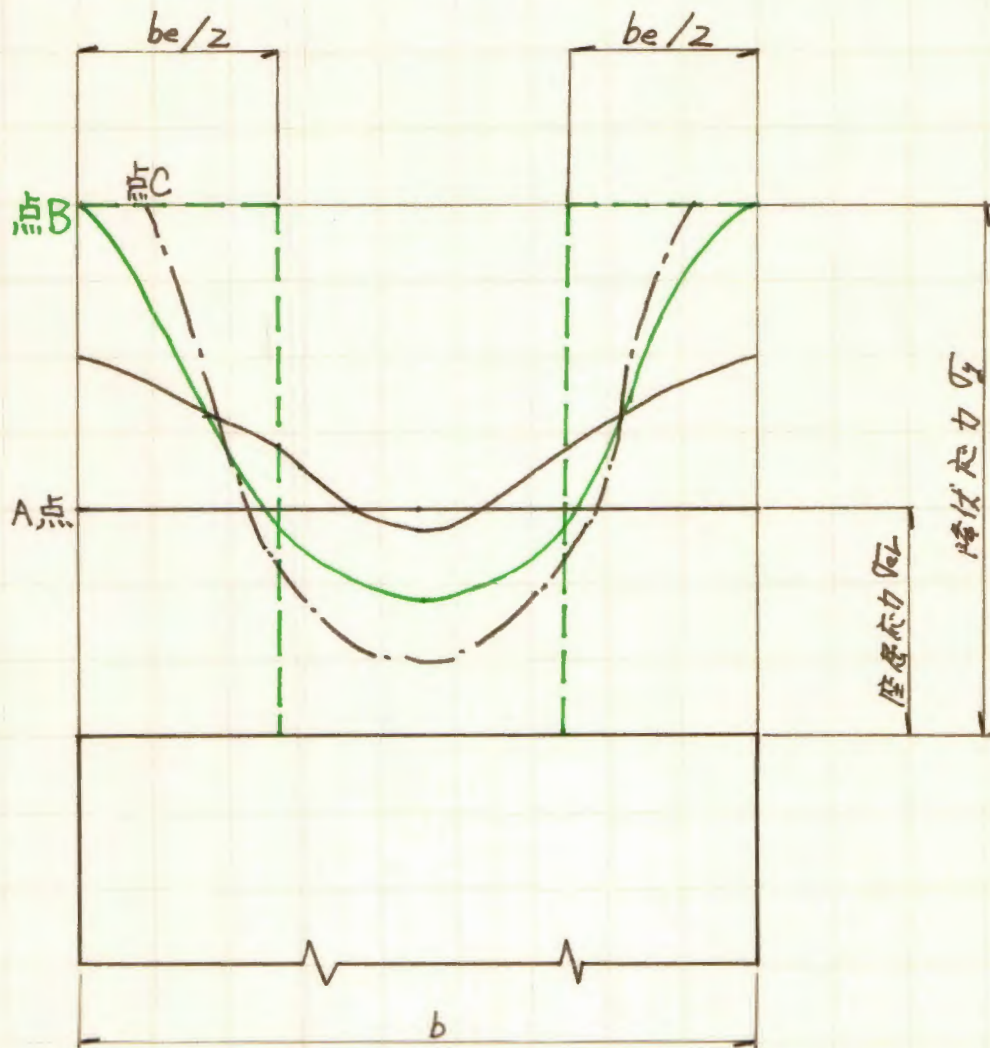


鉛直辺の応力が降伏応力に達する。



降伏領域が次第に広がり、逆に中央の応力は減少する。

実際の応力分布と有効幅の概念導入.



b_e : 有効巾.

[実際の応力分布を、巾 $b_e/2$ の2つの長方形応力分布] におきかえる (面積は一定)

b_e , b , σ_{cr} , $B_u - \sigma_{max}$ の関係について、
 フォニ・カールマン, ウィンターなどが近似的公式
 を提案している.

フォン・カールマン

$$\frac{b_e}{b} = \sqrt{\frac{\sigma_{cr}}{\sigma_{max}}}$$

ウイラー

$$\frac{b_e}{b} = \sqrt{\frac{\sigma_{cr}}{\sigma_{max}}} \cdot \left\{ 1 - 0.25 \sqrt{\frac{\sigma_{cr}}{\sigma_{max}}} \right\}$$

σ_{max} : 圧縮降伏応力 (steel)

ただし、 $\sigma_{cr} > 0.7 \cdot \sigma_{max}$ では、耐力力 = $b \cdot t \cdot \sigma_{cr}$ となり、 b_e を計算する必要はない。

7.4 実験結果.

無次元化による一般化.

応力: \longrightarrow 縦軸.

$$\frac{\sigma_{cr}}{\sigma_Y} = \frac{\text{座屈応力}}{\text{降伏応力}}$$

\propto

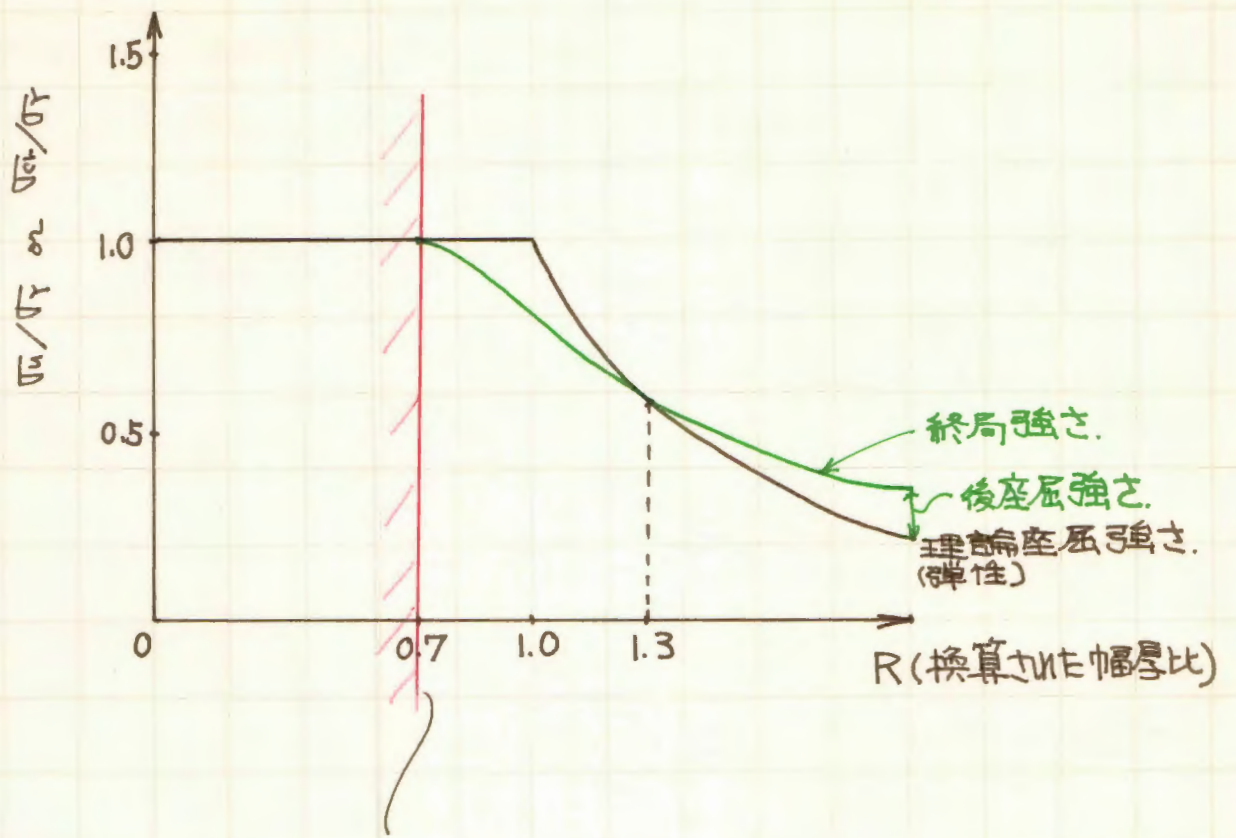
$$\frac{\sigma_u}{\sigma_Y} = \frac{\text{終局応力}}{\text{降伏応力}}$$

幅厚比 (換算された): \longrightarrow 横軸.

$$\sigma_{cr} = \frac{\pi^2 E}{12(1-\nu^2)} k \cdot \left(\frac{t}{b}\right)^2$$

$$R = \sqrt{\frac{\sigma_Y}{\sigma_{cr}}} = \frac{b}{t} \cdot \sqrt{\frac{\sigma_Y}{E} \cdot \frac{12(1-\nu^2)}{\pi^2 k}}$$

ある定まった材料 (E, ν, σ_Y) 及び境界条件 (k) に対して、 σ_{cr} または σ_u と b/t の関係を示す。



実際使用される板は $R < 0.7$ である。

↓

後座屈強度は期待しない。

7.5 板の幅厚比.

(1) 板の座屈によって決定される部材強度.

10/11

第8章 梁の弾性理論

曲げを受ける部材

1. 充実体 (Solid body) : すべての方向の寸法が同程度

⇒ 弾性学

塑性学 (材料の性質が時間に依存する)

2. 板, シェル : 一方向の寸法が他方向の寸法に比べて小さい。

⇒ 境界条件を、弾性学、塑性学に導入。

3. 充実梁 : 二方向の寸法が他の一方向のそれに比べて小さく、二方向の寸法はほぼ同程度。

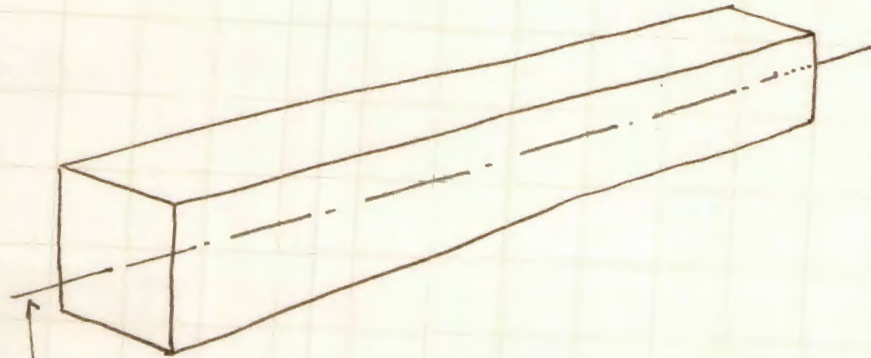
⇒ 平面保持則の仮定 ⇒ 初等梁力学

4. 薄肉梁 : 板またはシェルによって構成される。

⇒ 平面保持則は不成立。

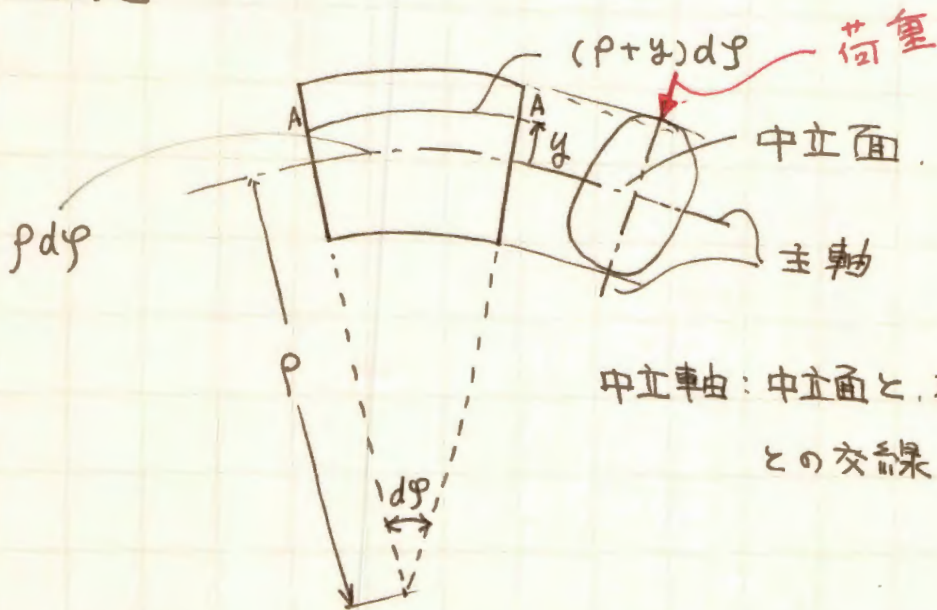
充実梁の曲げ

対称曲げ ... 単純曲げ
 非対称曲げ ... 二軸曲げ



図心を結ぶ線 { 直線
 ||| { 曲線 { 曲り梁
 Arch
 材軸

[対称曲げ]



AA面のひずみ
$$\epsilon_y = \frac{(p+y)dy - p dy}{p dy} = \frac{y}{\rho}$$

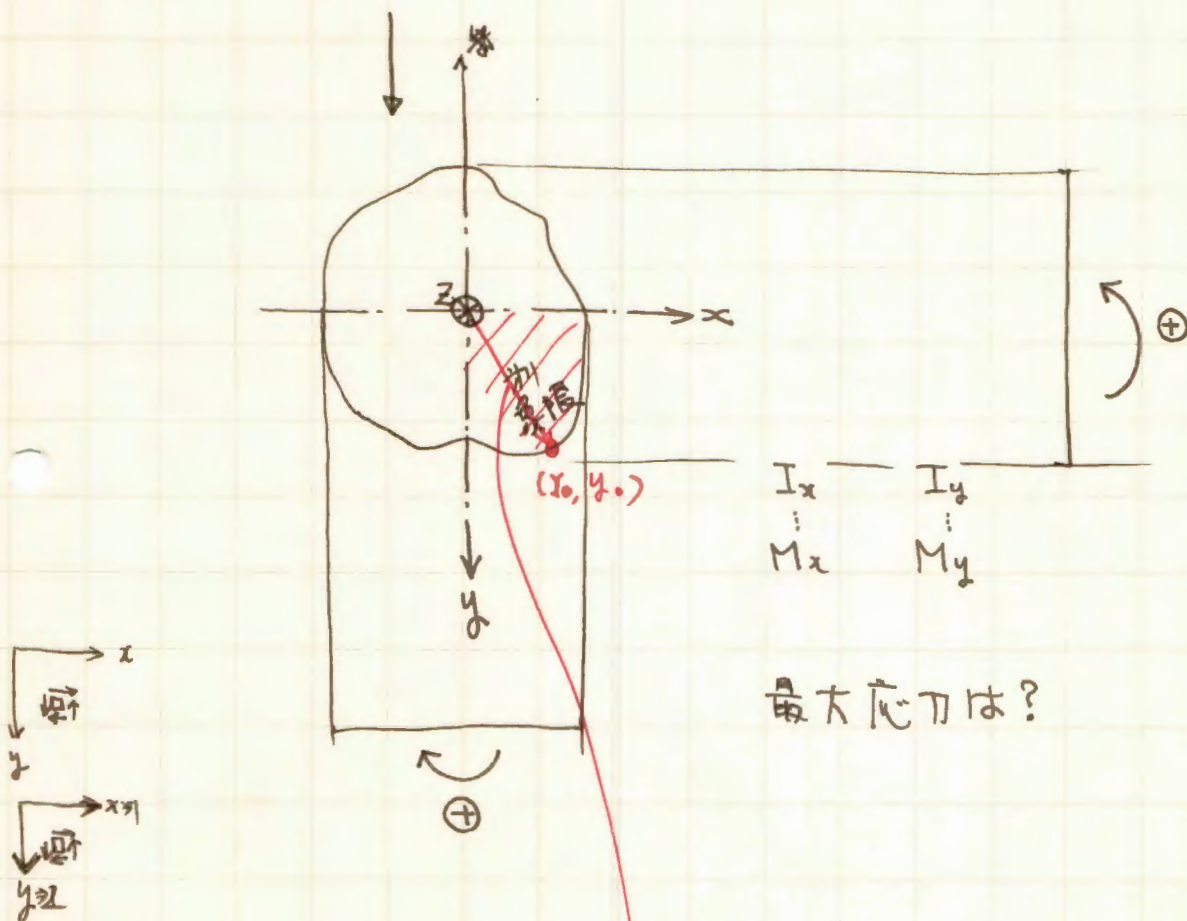
$$\sigma = E \cdot \frac{y}{\rho}$$

$$M = \int_A E \cdot \frac{y}{\rho} \cdot y \, dA = \frac{EI}{\rho}$$

$$\left(\int_A y^2 \, dA = I \right)$$

★主軸面内に荷重をかける ⇒ 対称曲げ

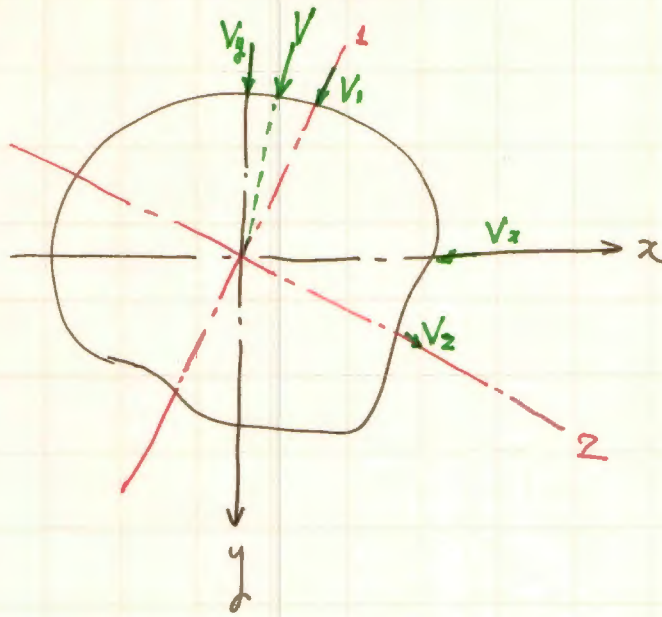
[非対称曲げ]



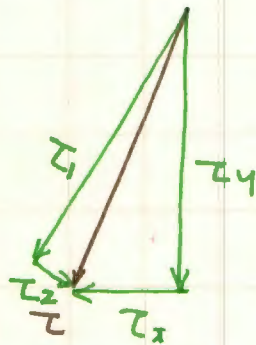
最大応力は?

↓ 原点から最も遠い点 ($\sqrt{x^2 + y^2} = \text{MAX}$)
 において、応力が最大となる。
 (証明する → 課題)

式(8.11)に関する問題点.

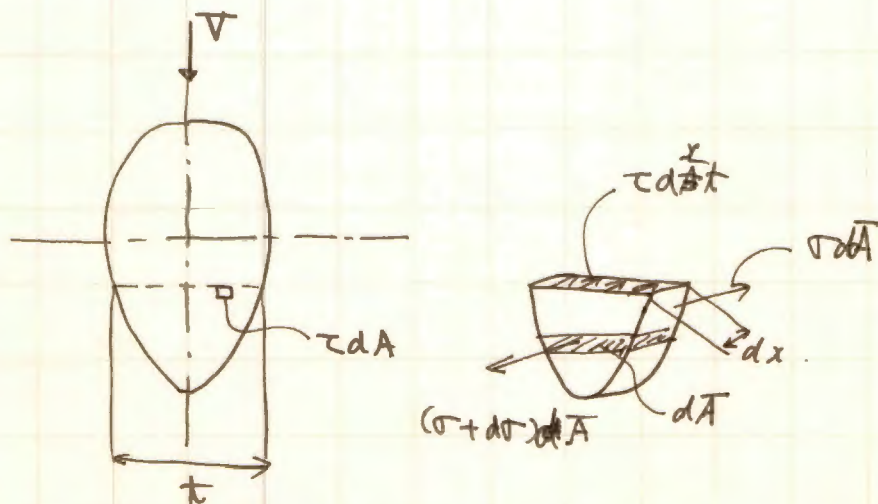


$$V = \int_A \tau dA$$



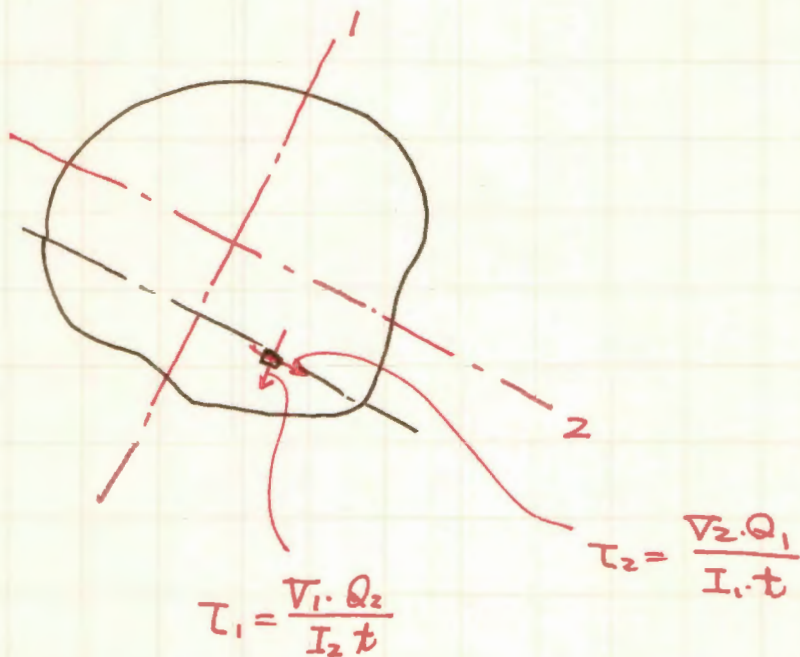
せん断応力の分解.

式(8.8)のみちびかれる手順.

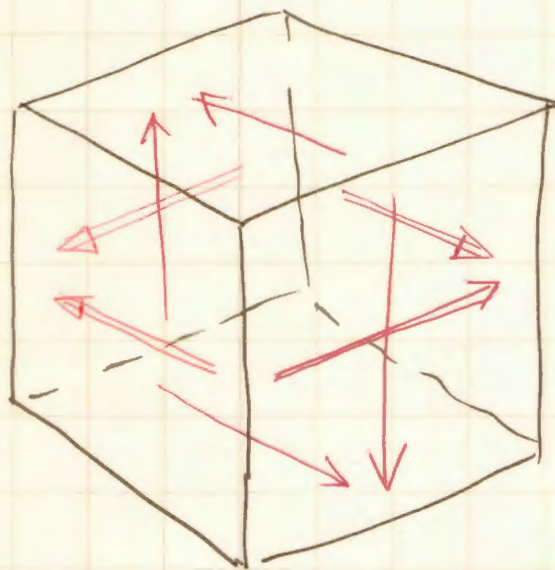
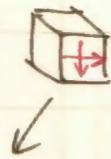
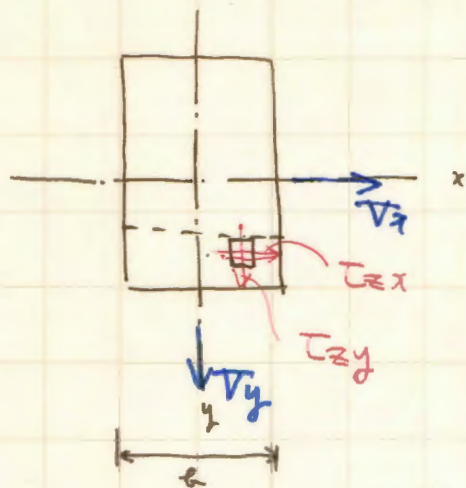


$$\int d\sigma dA = \tau dx t$$

$$\tau = \frac{\int d\sigma dA}{dx t} = \frac{\int \frac{V_y}{I} dx dA}{dx \cdot t} = \frac{VQ}{I t}$$



応力梁の二軸曲げによるせん断応力
(主軸について)



$$\tau_{zx} = \frac{V_y G_x}{I_x b}$$

$$\tau_{zy} = \frac{V_x G_y}{I_y b}$$

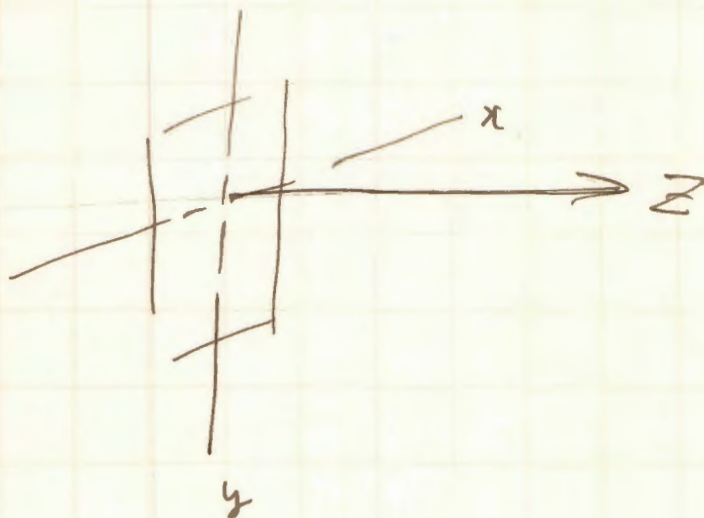
加えることは
意味がない。

比
は

$$r_{xy} = \frac{\partial v}{\partial x} + \frac{\partial u}{\partial y}$$

$$= -\frac{\nu M}{EI_y} y + \frac{M}{2EI_y} \cdot 2\nu y = 0$$

= 0 (主軸に平行な軸に対して)



u, v, w は重ね合せが成り立つ。

$$M_x = M_x(z)$$

$$M_y = M_y(z)$$

$$M = M(z)$$

応力関数

[参] 応用弾性学 川本万樹氏

軽橋の理論とその応用上 木 あり
第二章

微分方程式より

$$\text{変位 } u = u(x, y, z)$$

$$v = v(x, y, z)$$

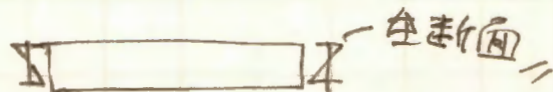
$$w = w(x, y, z)$$

を求めよ。

$$\left\{ \begin{array}{l} \gamma_{xy} = \frac{\partial v}{\partial x} + \frac{\partial u}{\partial y} \rightarrow \tau_{xy} = G \gamma_{xy} \\ \gamma_{yz} = \frac{\partial w}{\partial y} + \frac{\partial v}{\partial z} \rightarrow \tau_{yz} = \end{array} \right.$$

よりせん断変形を求めよ。

弾性論に代りて考える。



単純曲げ。

$$u = -\frac{M}{2EI_y} (z^2 + \nu x^2 - \nu y^2)$$

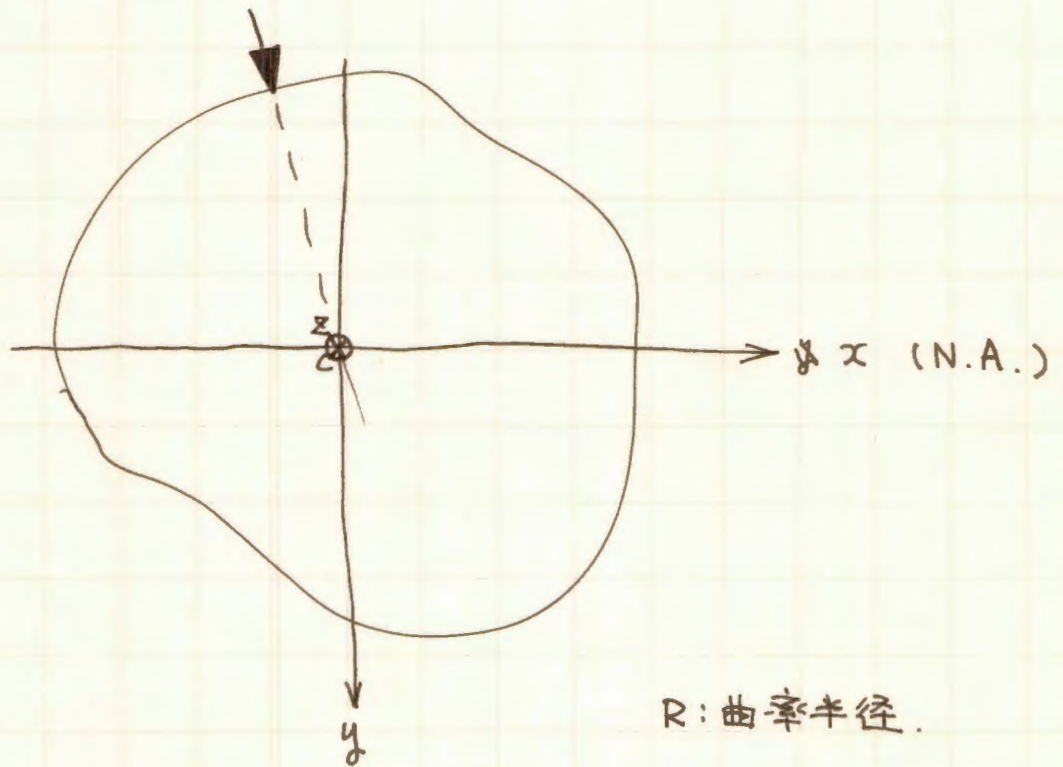
$$v = -\frac{\nu M}{EI_y} xy$$

$$w = \frac{M}{EI_y} xz$$

梁の非対称曲げ.

1. 断面の主軸.

横荷重が図心を通るが対称軸方向に作用しない場合
の中立軸を求める.



R : 曲率半径.

$$\sigma_z = \frac{E \cdot y}{R}$$

x 軸まわりの合モーメントは M_x に等しい.

$$M_x = \int_A \sigma_z y dA = \frac{E}{R} \int_A y^2 dA = \frac{EI_y}{R}$$

y軸まわりの応力モーメントは M_y に等しい。

$$M_y = \int_A \sigma_z x dA = \frac{E}{R} \int_A y x dA = \frac{E I_{xy}}{R}$$

$$\int_A y x dA = I_{xy} = 0 \text{ であるならば } M_y = 0$$

↓

xまわりの曲げだけが与えられたことになる。

↓

$I_{xy} = 0$ を満足するx軸まわりに曲げモーメントを加えればx軸が中立軸になる。

逆に $I_{xy} = 0$ であるy軸が中立軸になるときは、

$$\sigma_z = \frac{E x}{R}$$

$$M_{yx} = \int_A \sigma_z y dA = \frac{E}{R} \int_A x y dA = \frac{E I_{xy}}{R} = 0$$

$$M_y = \int_A \sigma_z x dA = \frac{E}{R} \int_A x^2 dA = \frac{E I_x}{R} = 0$$

断面形状 \Rightarrow 無数の直交軸 x, y



$$I_x = \int_A y^2 dA, \quad I_y = \int_A x^2 dA, \quad I_{xy} = \int_A xy dA$$

が各々の直交軸について求まる。

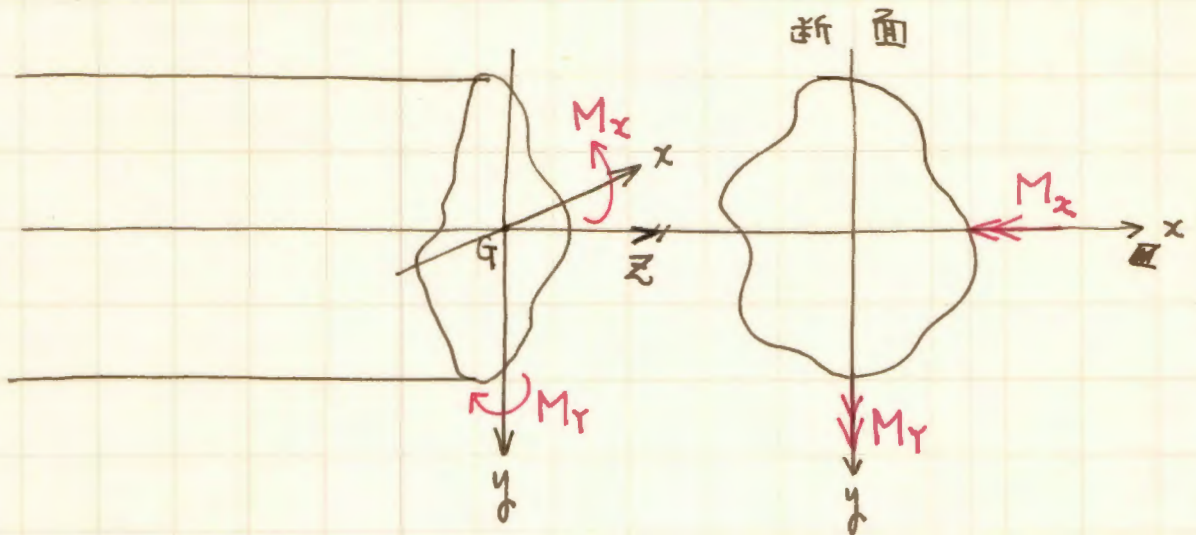


そのうち $I_{xy} = 0$ となる直交軸を主軸
という。

主軸に関する I_x, I_y を主断面二次モーメント
という。

一般に断面の対称軸と、それに直交する軸に於て
主軸になるが、"図心である" と互いに限定
される。

重心を通る任意の直交軸に関する2軸曲げ
による、はりの曲げ応力 <math>\sigma</math> とせん断応力



M : 任意の曲げモーメント

M_x : M の x 軸回り成分

M_y : M の y 軸回り成分

□ 曲げ応力

梁が y 軸面内において曲率 $1/R_y$ で曲がったとすれば、それによる曲げ応力は、

$$\sigma_{z1} = \frac{E \cdot y}{R_y} \quad (1)$$

である。ここで σ_{z1} による x, y 各軸回りの合モーメントが曲げモーメントであるから、

$$M_{x1} = \int_A \sigma_{z1} y dA = \frac{E}{R_y} \int_A y^2 dA \quad (2)$$

$$M_{y1} = \int_A \sigma_{z1} x dA = \frac{E}{R_y} \int_A xy dA \quad (3)$$

である。

次に、 xz 面内において梁が曲率 $1/R_x$ で曲っているとする。それによる曲げ応力は、

$$\sigma_{z2} = \frac{E x}{R_x} \quad (4)$$

であり、 x, y 軸まわりの曲げモーメントは

$$M_{x2} = \int_A \sigma_{z2} y dA = \frac{E}{R_x} \int_A xy dA \quad (5)$$

$$M_{y2} = \int_A \sigma_{z2} x dA = \frac{E}{R_x} \int_A x^2 dA \quad (6)$$

となる。

$$\text{ここで} \quad \int_A y^2 dA = I_x, \quad \int_A x^2 dA = I_y, \quad \int_A xy dA = I_{xy}$$

とすれば、

$$\left. \begin{aligned} M_{x1} &= \frac{E I_x}{R_y}, & M_{y1} &= \frac{E I_{xy}}{R_y} \\ M_{x2} &= \frac{E I_{xy}}{R_x}, & M_{y2} &= \frac{E I_y}{R_x} \end{aligned} \right\} \quad (7-a, b, c, d)$$

(7-a) と (7-c) を合成すれば

$$M_x = M_{x1} + M_{x2} = E \left(\frac{I_x}{R_y} + \frac{I_{xy}}{R_x} \right) \quad (8)$$

となる, (7-b) と (7-d) を合成すれば

$$M_y = M_{y1} + M_{y2} = E \left(\frac{I_{xy}}{R_y} + \frac{I_y}{R_x} \right) \quad (9)$$

となる。また曲げ応力は, (1) と (4) を合成すれば

$$\sigma_z = \sigma_{z1} + \sigma_{z2} = \frac{E}{R_x} x + \frac{E}{R_y} y \quad (10)$$

(8), (9) を連立して解くと $\frac{E}{R_x}$, $\frac{E}{R_y}$ は次のように求まる。

$$\frac{E}{R_x} = \frac{M_y I_x - M_x I_{xy}}{I_x I_y - I_{xy}^2}, \quad \frac{E}{R_y} = \frac{M_x I_y - M_y I_{xy}}{I_x I_y - I_{xy}^2} \quad (11-a, b)$$

(11-a, b) を (10) に代入すれば, 曲げ応力は次のように求まる。

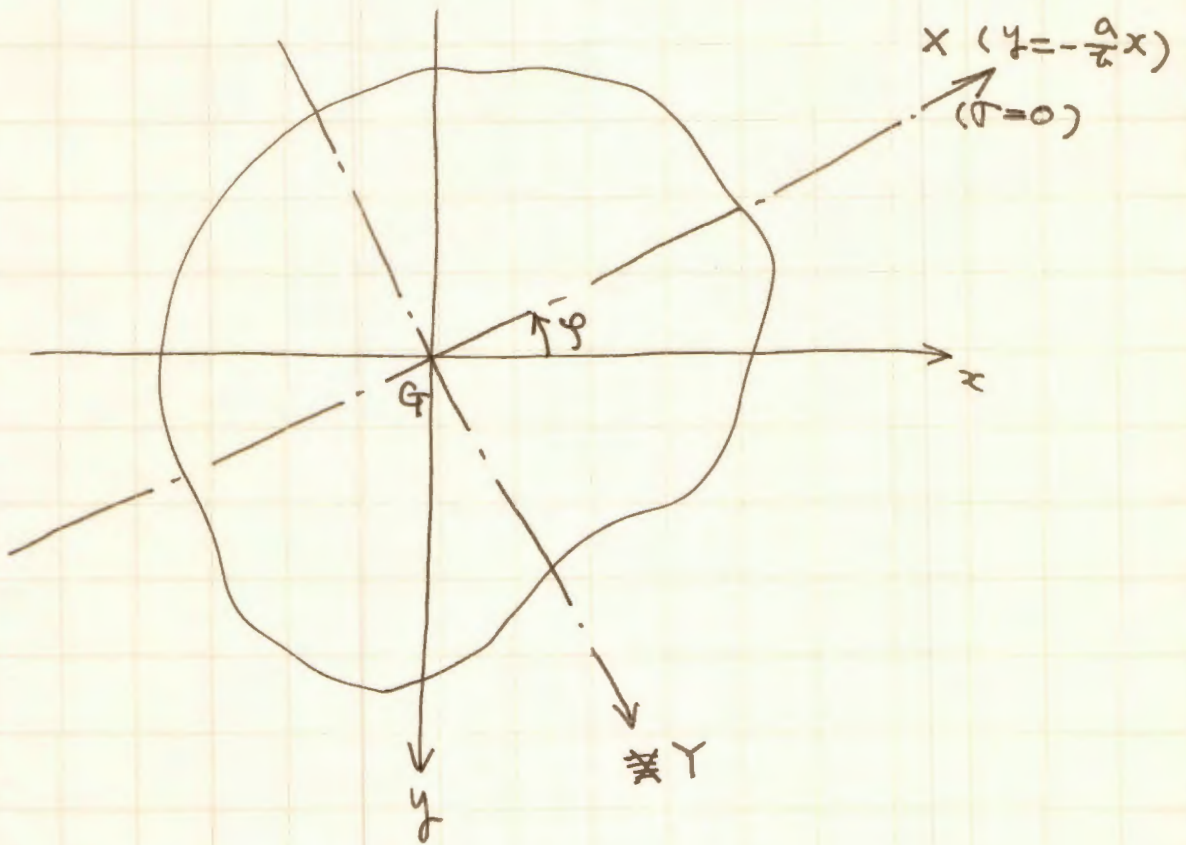
$$\sigma_z = \sigma_{z1} + \sigma_{z2} = \frac{M_y I_x - M_x I_{xy}}{I_x I_y - I_{xy}^2} x + \frac{M_x I_y - M_y I_{xy}}{I_x I_y - I_{xy}^2} y \quad (12)$$

2) 曲げ応力の最大となる位置及び最大応力

まず中立軸を定める。式(12)において $\sigma = 0$ とおくと、

$$\frac{M_y I_x - M_x I_{xy}}{I_x I_y - I_{xy}^2} x + \frac{M_x I_y - M_y I_{xy}}{I_x I_y - I_{xy}^2} y = 0$$

$$\therefore y = - \frac{M_y I_x - M_x I_{xy}}{M_x I_y - M_y I_{xy}} x \quad \left[= - \frac{a}{b} x \right] \quad (13)$$



$$\left(\begin{array}{l} a = (M_y I_x - M_x I_{xy}) / (I_x I_y - I_{xy}^2) \\ b = (M_x I_y - M_y I_{xy}) / (I_x I_y - I_{xy}^2) \end{array} \right)$$

図のように φ をとれば,

$$\tan \varphi = -\frac{a}{b}$$

$$\sin \varphi = \frac{a}{\sqrt{a^2+b^2}}, \quad \cos \varphi = \frac{-b}{\sqrt{a^2+b^2}}$$

(14)

とかけると、 $\therefore \therefore$

$$x = x \cos \varphi + Y \sin \varphi$$

$$y = x \sin \varphi - Y \cos \varphi$$

(15)

式 (12) に代入すれば 1 次式になる。

$$\sigma = ax + by$$

$$= a(x \cos \varphi + Y \sin \varphi) + b(x \sin \varphi - Y \cos \varphi)$$

$$= (a \cos \varphi + b \sin \varphi)x + (a \sin \varphi - b \cos \varphi)Y$$

これに (14) を代入すると、

$$\sigma = \left(a \frac{(-b)}{\sqrt{a^2+b^2}} + b \frac{a}{\sqrt{a^2+b^2}} \right) x + \left(a \frac{a}{\sqrt{a^2+b^2}} - b \frac{(-b)}{\sqrt{a^2+b^2}} \right) Y$$

$$= \sqrt{a^2+b^2} Y$$

となり.

$$a = \frac{M_y I_x - M_x I_{xy}}{I_x I_y - I_{xy}^2}, \quad b = \frac{M_x I_y - M_y I_{xy}}{I_x I_y - I_{xy}^2}$$

代入すれば.

$$V_z = \frac{\sqrt{(M_y I_x - M_x I_{xy})^2 + (M_x I_y - M_y I_{xy})^2}}{I_x I_y - I_{xy}^2} Y \quad (16)$$

よって $|Y|$ が最大で $|V_z|$ は最大となる.

③ せん断応力

yz 面内の曲率 $1/R_y$ にともなうせん断力に対するせん断応力は

$$\begin{aligned}\tau_y &= \frac{E Q_x}{t} \frac{\partial}{\partial z} \left(\frac{1}{R_y} \right) \\ &= \frac{E Q_x}{t} \frac{\partial}{\partial z} \left(\frac{M_x I_y - M_y I_{xy}}{I_x I_y - I_{xy}^2} \cdot \frac{1}{E} \right) \\ &= \frac{Q_x}{t} \cdot \frac{1}{I_x I_y - I_{xy}^2} \left(I_y \frac{\partial M_x}{\partial z} - I_{xy} \frac{\partial M_y}{\partial z} \right) \\ &= \frac{V_y I_x - V_x I_{xy}}{I_x I_y - I_{xy}^2} \cdot \frac{Q_x}{t} \quad (17)\end{aligned}$$

である。

また xz 面内の曲率 $1/R_x$ にともなうせん断力に対するせん断応力はつきのおりに存する

$$\begin{aligned}\tau_x &= \frac{E Q_y}{t} \frac{\partial}{\partial z} \left(\frac{1}{R_x} \right) \\ &= \frac{Q_y}{t} \cdot \frac{1}{I_x I_y - I_{xy}^2} \left(I_x \frac{\partial M_y}{\partial z} - I_{xy} \frac{\partial M_x}{\partial z} \right) \\ &= \frac{V_x I_x - V_y I_{xy}}{I_x I_y - I_{xy}^2} \cdot \frac{Q_y}{t} \quad (18)\end{aligned}$$

τ_1 と τ_2 は応力の方向が互いに直角であるから重ね合わせることはできない。

④ 主軸に関して

また、 x, y 軸が主軸の場合、各応力は以下のようになる。

すなわち 添字 x に 1 に y に 2 にし、

$$I_{12} = 0,$$

とすれば、 (1 は主軸 x' に 2 は主軸 y' を表わすとす)

曲げ応力

$$\sigma_z = \frac{M_1}{I_1} y' + \frac{M_2}{I_2} x' \quad (19)$$

中立軸

$$y' = - \frac{M_2 I_1}{M_1 I_2} x' \quad (20)$$

$$\begin{aligned} \therefore \sigma_z &= \frac{\sqrt{M_2^2 I_1^2 + M_1^2 I_2^2}}{I_1 I_2} Y' \\ &= \sqrt{\left(\frac{M_2}{I_2}\right)^2 + \left(\frac{M_1}{I_1}\right)^2} Y' \end{aligned} \quad (21)$$

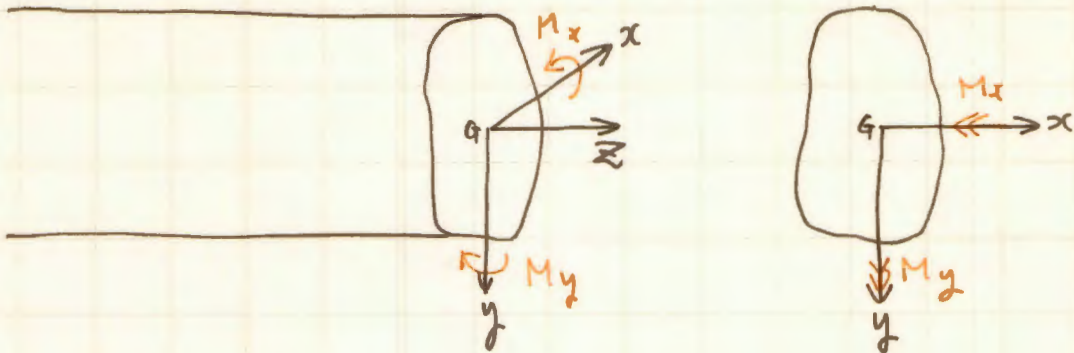
せん断応力

$$\tau_1 = \frac{V_1 Q_2}{I_2 t} \quad (22)$$

$$\tau_2 = \frac{V_2 Q_1}{I_1 t} \quad (23)$$

これらについても重ね合せは成立しない。

x, y は主軸とする。



$$\sigma_z = \frac{M_x}{I_x} y + \frac{M_y}{I_y} x$$

他の応力成分.

$$\tau_{zx} \neq 0, \quad \tau_{yz} \neq 0$$

$$\sigma_x = \sigma_y = \tau_{xy} = 0$$

今、物体力を無視すれば、つり合い方程式は次のようになる:

$$\frac{\partial \sigma_x}{\partial x} + \frac{\partial \tau_{xy}}{\partial y} + \frac{\partial \tau_{zx}}{\partial z} = \frac{\partial \tau_{zx}}{\partial z} = 0$$

$$\frac{\partial \tau_{xy}}{\partial x} + \frac{\partial \sigma_y}{\partial y} + \frac{\partial \tau_{yz}}{\partial z} = \frac{\partial \tau_{yz}}{\partial z} = 0$$

$$\frac{\partial \tau_{zx}}{\partial x} + \frac{\partial \tau_{yz}}{\partial y} + \frac{\partial \sigma_z}{\partial z} = \frac{\partial \tau_{zx}}{\partial x} + \frac{\partial \tau_{yz}}{\partial y} + \frac{S_y}{I_x} y + \frac{S_x}{I_y} x = 0$$

つり合い方程式

$$\therefore \frac{\partial \tau_{zx}}{\partial z} = \frac{\partial \tau_{yz}}{\partial z} = 0, \quad \frac{\partial \tau_{zx}}{\partial x} + \frac{\partial \tau_{yz}}{\partial y} = - \left(\frac{S_y}{I_x} y + \frac{S_x}{I_y} x \right)$$

(I)

適合条件. (応力成分で表わされた適合条件)

$$\checkmark (1+\nu) \nabla^2 \sigma_x + \frac{\partial^2 \Theta}{\partial x^2} = 0, \quad (1+\nu) \nabla^2 \tau_{yz} + \frac{\partial^2 \Theta}{\partial y \partial z} = 0$$

$$\checkmark (1+\nu) \nabla^2 \sigma_y + \frac{\partial^2 \Theta}{\partial y^2} = 0, \quad (1+\nu) \nabla^2 \tau_{zx} + \frac{\partial^2 \Theta}{\partial z \partial x} = 0$$

$$(1+\nu) \nabla^2 \sigma_z + \frac{\partial^2 \Theta}{\partial z^2} = 0, \quad \checkmark (1+\nu) \nabla^2 \tau_{xy} + \frac{\partial^2 \Theta}{\partial x \partial y} = 0$$

$$\nabla^2 = \frac{\partial^2}{\partial x^2} + \frac{\partial^2}{\partial y^2} + \frac{\partial^2}{\partial z^2}, \quad \Theta = \sigma_x + \sigma_y + \sigma_z$$

この場合の応力成分を代入;

$$(1+\nu) \nabla^2 \tau_{yz} = - \frac{\partial^2 \Theta}{\partial y \partial z} = - \frac{\partial^2 \sigma_z}{\partial y \partial z} = - \left(\frac{S_z}{I_x} \right)$$

$$(1+\nu) \nabla^2 \tau_{zx} = - \frac{\partial^2 \Theta}{\partial z \partial x} = - \frac{\partial^2 \sigma_x}{\partial z \partial x} = - \left(\frac{S_x}{I_y} \right)$$

~~$$(1+\nu) \nabla^2 \sigma_z$$~~

適合条件

故に.

$$\nabla^2 \tau_{yz} = - \frac{S_z}{I_x (1+\nu)}$$

$$\nabla^2 \tau_{zx} = - \frac{S_x}{I_y (1+\nu)}$$

(I)

境界条件

はりに表面力が働かないとする。

$$\tau_{xz} \cdot l + \tau_{xy} \cdot m + \tau_{yz} \cdot n = 0$$

$$\tau_{xy} \cdot l + \tau_{yz} \cdot m + \tau_{xz} \cdot n = 0$$

$$\tau_{xz} \cdot l + \tau_{yz} \cdot m + \tau_{xy} \cdot n = 0$$

$$\left(l = \frac{dy}{ds}, m = -\frac{dx}{ds}, n = \frac{dz}{ds} = 0 \right)$$

$\cos(Nx)$ $\cos(Ny)$ $\cos(Nz)$

$$\tau_{xz} \cdot l + \tau_{yz} \cdot m = 0$$

境界条件

$$\therefore \tau_{xz} \cdot \frac{dy}{ds} - \tau_{yz} \cdot \frac{dx}{ds} = 0$$

(III)

まとめて.

(I) つり合い方程式

$$\frac{\partial T_{zx}}{\partial z} = \frac{\partial T_{yz}}{\partial z} = 0 \quad (1)$$

$$\frac{\partial T_{zx}}{\partial x} + \frac{\partial T_{yz}}{\partial y} = - \left(\frac{S_y}{I_x} y + \frac{S_x}{I_y} x \right) \quad (2)$$

(II) 適合条件式

$$\left(\frac{\partial^2}{\partial x^2} + \frac{\partial^2}{\partial y^2} \right) T_{yz} = - \frac{S_y}{(1+\nu)I_x} \quad (3)$$

$$\left(\frac{\partial^2}{\partial x^2} + \frac{\partial^2}{\partial y^2} \right) T_{zx} = - \frac{S_x}{(1+\nu)I_y} \quad (4)$$

(III) 境界条件式

$$T_{zx} \frac{dy}{ds} - T_{yz} \frac{dx}{ds} = 0 \quad (5)$$

応力関数 $\phi = \phi(x, y)$ による

$$\tau_{xz} = \frac{\partial \phi}{\partial y} - \frac{S_x}{2I_y} x^2 + f(y) \quad (6)$$

$$\tau_{yz} = -\frac{\partial \phi}{\partial x} - \frac{S_y}{2I_x} y^2 + g(x) \quad (7)$$

と表わせば、(6), (7)式は (1), (2)式のつり合い方程式
 を満たす。

(6), (7)式を (3), (4)式の適合条件式に代入する；

$$\frac{\partial}{\partial x} \left(\frac{\partial^2 \phi}{\partial x^2} + \frac{\partial^2 \phi}{\partial y^2} \right) = -\frac{S_y}{I_x} + \frac{S_y}{(1+\nu)I_x} = -\frac{\nu S_y}{(1+\nu)I_x} + \frac{d^2 g}{dx^2} \quad \dots (8)$$

$$\begin{aligned} \frac{\partial}{\partial y} \left(\frac{\partial^2 \phi}{\partial x^2} + \frac{\partial^2 \phi}{\partial y^2} \right) &= \frac{S_x}{I_y} - \frac{d^2 f}{dy^2} - \frac{S_x}{(1+\nu)I_y} \\ &= \frac{\nu S_x}{(1+\nu)I_y} - \frac{d^2 f}{dy^2} \quad \dots (9) \end{aligned}$$

$$\begin{aligned} \frac{\partial^2 \phi}{\partial x^2} + \frac{\partial^2 \phi}{\partial y^2} &= +\frac{\nu S_x}{(1+\nu)I_y} y - \frac{df}{dy} - \frac{\nu S_y}{(1+\nu)I_x} x + c \\ &= \frac{\nu}{1+\nu} \left(\frac{S_x}{I_y} y - \frac{S_y}{I_x} x \right) - \frac{df}{dy} + \frac{dc}{dx} \end{aligned}$$

(c は未定定数)

(6), (7)式を(5)式の境界条件式に代入する:

$$\frac{dy}{ds} \left[\frac{\partial \phi}{\partial y} - \frac{S_x}{2I_y} x^2 + f \right] + \frac{dx}{ds} \left[\frac{\partial \phi}{\partial x} + \frac{S_y}{2I_x} y^2 \right] = 0$$

$$\therefore \frac{\partial \phi}{\partial y} \cdot \frac{dy}{ds} + \frac{\partial \phi}{\partial x} \cdot \frac{dx}{ds} = \left(\frac{S_x}{2I_y} x^2 - f \right) \frac{dy}{ds} - \left(\frac{S_y}{2I_x} y^2 \right) \frac{dx}{ds}$$

— (11)

すなわち、微分方程式

$$\frac{\partial^2 \phi}{\partial x^2} + \frac{\partial^2 \phi}{\partial y^2} = \frac{V}{1+U} \left(\frac{S_x}{I_y} y - \frac{S_y}{I_x} x \right) - \frac{df}{dy} + \frac{dg}{dx}$$

を、次の境界条件

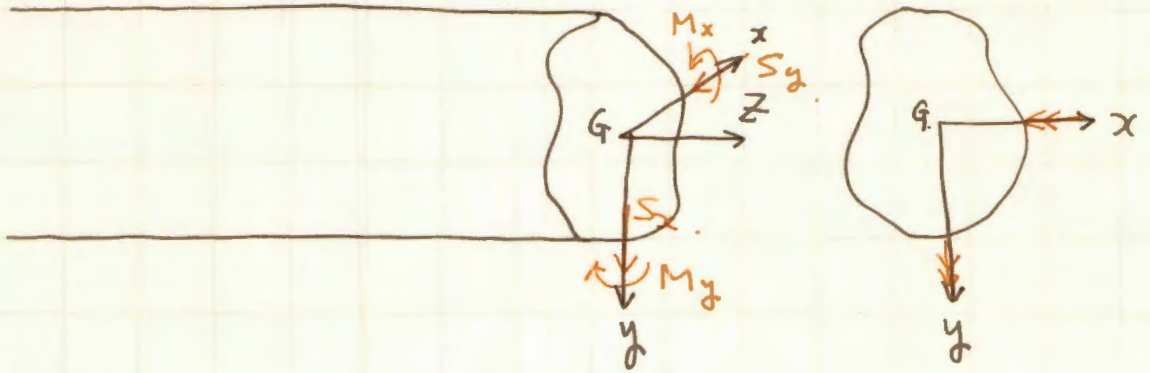
$$\frac{\partial \phi}{\partial y} \cdot \frac{dy}{ds} + \frac{\partial \phi}{\partial x} \cdot \frac{dx}{ds} = \left(\frac{S_x}{2I_y} x^2 - f \right) \frac{dy}{ds} - \left(\frac{S_y}{2I_x} y^2 \right) \frac{dx}{ds}$$

を満足するように解いて、応力関数 ϕ を求めれば

よい。

2軸曲げに伴うせん断応力

[弾性論から求めてみる]



2軸曲げに伴う、曲げ応力.

$$\sigma_z = \frac{M_y I_x - M_x I_{xy}}{I_x I_y - I_{xy}^2} x + \frac{M_x I_y - M_y I_{xy}}{I_x I_y - I_{xy}^2} y \quad (1)$$

他の応力成分.

$$\left. \begin{aligned} \sigma_x &= 0 \\ \sigma_y &= 0 \\ \tau_{xy} &= 0 \\ \tau_{yz} &\neq 0 \\ \tau_{zx} &\neq 0. \end{aligned} \right\} (1)'$$

すなわち問題は、弾性論の立場から τ_{yz} , τ_{zx} を求めることである。

今、物体力を無視すれば、つり合い方程式は、
 (1), (1') を考慮して 次のようになる;

$$\left. \begin{aligned} \frac{\partial \tau_{zx}}{\partial z} &= 0, \\ \frac{\partial \tau_{yz}}{\partial z} &= 0, \\ \frac{\partial \tau_{zx}}{\partial x} + \frac{\partial \tau_{yz}}{\partial y} &= - \left(\frac{S_x I_x - M_x I_{xy}}{I_x I_y - I_{xy}^2} x + \frac{S_y I_y - M_y I_{xy}}{I_x I_y - I_{xy}^2} y \right) \end{aligned} \right\} (2)$$

次に、応力成分を用いて適合条件を表わす;

$$\left. \begin{aligned} \left(\frac{\partial^2}{\partial x^2} + \frac{\partial^2}{\partial y^2} \right) \tau_{yz} &= - \frac{\partial^2 \sigma_z}{\partial y \partial z} \\ &= - \frac{1}{1+\nu} \left(\frac{S_y I_y - S_x I_{xy}}{I_x I_y - I_{xy}^2} \right) \\ \left(\frac{\partial^2}{\partial x^2} + \frac{\partial^2}{\partial y^2} \right) \tau_{zx} &= - \frac{\partial^2 \sigma_z}{\partial z \partial x} \\ &= - \frac{1}{1+\nu} \left(\frac{S_x I_x - S_y I_{xy}}{I_x I_y - I_{xy}^2} \right) \end{aligned} \right\} (3)$$

境界条件.

$$\tau_{zx} \frac{dy}{ds} - \tau_{yz} \frac{dx}{ds} = 0 \quad \dots (4)$$

そこで、応力関数 $\phi = \phi(x, y)$ を導入して、 τ_{zx} , τ_{yz} を次のように表わす;

$$\left. \begin{aligned} \tau_{zx} &= \frac{\partial \phi}{\partial y} - \frac{S_x I_x - S_y I_{xy}}{2(I_x I_y - I_{xy}^2)} x^2 + f(y) \\ \tau_{yz} &= -\frac{\partial \phi}{\partial x} - \frac{S_y I_y - S_x I_{xy}}{2(I_x I_y - I_{xy}^2)} y^2 + g(x) \end{aligned} \right\} (5)$$

(5)式は、(1)式を満足する。 $f(y)$, $g(x)$ は境界条件によって決まる関数である。

(5)式を、(3)式に適用する;

$$\left(\frac{\partial^2}{\partial x^2} + \frac{\partial^2}{\partial y^2} \right) \left(-\frac{\partial \phi}{\partial x} - \frac{S_y I_y - S_x I_{xy}}{2(I_x I_y - I_{xy}^2)} y^2 + g(x) \right) = -\frac{1}{1+\nu} \cdot \frac{S_y I_y - S_x I_{xy}}{I_x I_y - I_{xy}^2}$$

$$\left(\frac{\partial^2}{\partial x^2} + \frac{\partial^2}{\partial y^2} \right) \left(\frac{\partial \phi}{\partial y} - \frac{S_x I_x - S_y I_{xy}}{2(I_x I_y - I_{xy}^2)} x^2 + f(y) \right) = -\frac{1}{1+\nu} \frac{S_x I_x - S_y I_{xy}}{I_x I_y - I_{xy}^2}$$

$$\frac{\partial}{\partial x} \left(\frac{\partial^2 \phi}{\partial x^2} + \frac{\partial^2 \phi}{\partial y^2} \right) = -\frac{S_y I_y - S_x I_{xy}}{I_x I_y - I_{xy}^2} + \frac{1}{1+\nu} \cdot \frac{S_y I_y - S_x I_{xy}}{I_x I_y - I_{xy}^2} + \frac{\partial^2 g}{\partial x^2}$$

$$\therefore \frac{\partial}{\partial x} \left(\frac{\partial^2 \phi}{\partial x^2} + \frac{\partial^2 \phi}{\partial y^2} \right) = -\frac{\nu}{1+\nu} \cdot \frac{S_y I_y - S_x I_{xy}}{I_x I_y - I_{xy}^2} + \frac{d^2 g}{dx^2} \quad (6.1)$$

$$\frac{\partial}{\partial y} \left(\frac{\partial^2 \phi}{\partial x^2} + \frac{\partial^2 \phi}{\partial y^2} \right) = \frac{\nu}{1+\nu} \cdot \frac{S_x I_x - S_y I_{xy}}{I_x I_y - I_{xy}^2} - \frac{d^2 f}{dy^2} \quad (6.2)$$

(6.1) Bz (6.2) と,

$$\frac{\partial^2 \phi}{\partial x^2} + \frac{\partial^2 \phi}{\partial y^2} = \frac{\nu}{1+\nu} \left(\frac{S_x I_x - S_y I_{xy}}{I_x I_y - I_{xy}^2} y - \frac{S_y I_y - S_x I_{xy}}{I_x I_y - I_{xy}^2} x \right) - \frac{df}{dy} + \frac{dg}{dx} \quad (7)$$

(5)式を(4)式に代入する:

$$\left\{ \frac{\partial \phi}{\partial y} - \frac{S_x I_x - S_y I_{xy}}{2(I_x I_y - I_{xy}^2)} x^2 + f \right\} \frac{dy}{ds} + \left\{ \frac{\partial \phi}{\partial x} + \frac{S_y I_y - S_x I_{xy}}{2(I_x I_y - I_{xy}^2)} y^2 - g \right\} \frac{dx}{ds} = 0$$

$$\therefore \frac{\partial \phi}{\partial y} \cdot \frac{dy}{ds} + \frac{\partial \phi}{\partial x} \cdot \frac{dx}{ds}$$

$$= \left\{ \frac{S_x I_x - S_y I_{xy}}{2(I_x I_y - I_{xy}^2)} x^2 - f \right\} \frac{dy}{ds} - \left\{ \frac{S_y I_y - S_x I_{xy}}{2(I_x I_y - I_{xy}^2)} y^2 - g \right\} \frac{dx}{ds}$$

(8)

すなわち、問題は、微分方程式(7)を(8)の境界条件を満足するように解くことである。

与. 適合条件 (断面周辺において) $\phi = 0$
とする.

すなわち $x^2 + y^2 = a^2$ において $\phi = 0$.

ここで ϕ は次のようにおくことができる;

$$\phi = k (x^2 + y^2 - a^2)(cx + dy)$$

$$\frac{\partial^2 \phi}{\partial x^2} = 2(cx + dy)$$

$$\frac{\partial^2 \phi}{\partial y^2} = 2(cx + dy)$$

$$\frac{\partial^2 \phi}{\partial x^2} + \frac{\partial^2 \phi}{\partial y^2} = 4(cx + dy)$$

$$\text{よって } c = -\frac{1+2\nu}{4(1+\nu)} \cdot \frac{S_y I_y - S_x I_{xy}}{I_x I_y - I_{xy}^2}$$

$$d = \frac{1+2\nu}{4(1+\nu)} \cdot \frac{S_x I_x - S_y I_{xy}}{I_x I_y - I_{xy}^2}$$

となる.

半径 a の円形断面に於て考える;

$$x^2 + y^2 = a^2 \quad (9)$$

ここで、 f, g は次のように取る;

$$\left. \begin{aligned} f &= \frac{S_x I_x - S_y I_{xy}}{2(I_x I_y - I_{xy}^2)} x^2 = (a^2 - y^2) \\ g &= \frac{S_y I_y - S_x I_{xy}}{2(I_x I_y - I_{xy}^2)} y^2 = (a^2 - x^2) \end{aligned} \right\} \quad (10)$$

すると、(8)式は次のようになる;

$$\frac{\partial \phi}{\partial y} \cdot \frac{dy}{ds} + \frac{\partial \phi}{\partial x} \cdot \frac{dx}{ds} = 0$$

$$\text{すなわち} \quad \phi = \text{constant}, \quad (11)$$

(10)式を (7)式に適用する;

$$\begin{aligned} \frac{\partial^2 \phi}{\partial x^2} + \frac{\partial^2 \phi}{\partial y^2} &= \frac{1}{1+\nu} \left(\frac{S_x I_x - S_y I_{xy}}{I_x I_y - I_{xy}^2} y - \frac{S_y I_y - S_x I_{xy}}{I_x I_y - I_{xy}^2} x \right) \\ &\quad + \frac{S_x I_x - S_y I_{xy}}{I_x I_y - I_{xy}^2} y - \frac{S_y I_y - S_x I_{xy}}{I_x I_y - I_{xy}^2} x \\ &= \frac{1+2\nu}{1+\nu} \left(\frac{S_x I_x - S_y I_{xy}}{I_x I_y - I_{xy}^2} y - \frac{S_y I_y - S_x I_{xy}}{I_x I_y - I_{xy}^2} x \right) \quad (12) \end{aligned}$$

よて.

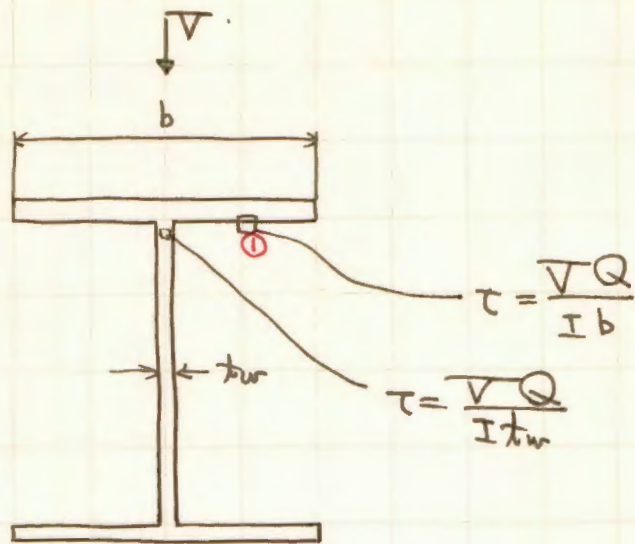
$$\phi = (x^2 + y^2 - a^2) \cdot \frac{1+2\nu}{4(1+\nu)} \left\{ \frac{S_x I_x - S_y I_{xy}}{I_x I_y - I_{xy}^2} y - \frac{S_y I_y - S_x I_{xy}}{I_x I_y - I_{xy}^2} x \right\}$$

(13)

(10)式, (11)式を(5)式に適用して, τ_{yz} , τ_{zx} の次のようになる。

$$\begin{aligned} \tau_{zx} &= \frac{\partial \phi}{\partial y} - \frac{S_x I_x - S_y I_{xy}}{2(I_x I_y - I_{xy}^2)} x^2 + f \\ &= \frac{1+2\nu}{4(1+\nu)} \left\{ 2y \left(\frac{S_x I_x - S_y I_{xy}}{I_x I_y - I_{xy}^2} y - \frac{S_y I_y - S_x I_{xy}}{I_x I_y - I_{xy}^2} x \right) \right. \\ &\quad \left. + (x^2 + y^2 - a^2) \frac{S_x I_x - S_y I_{xy}}{I_x I_y - I_{xy}^2} \right\} \\ &\quad - \frac{S_x I_x - S_y I_{xy}}{2(I_x I_y - I_{xy}^2)} x^2 + \frac{S_x I_x - S_y I_{xy}}{2(I_x I_y - I_{xy}^2)} x^2 \\ &= \frac{1+2\nu}{4(1+\nu)} \left\{ (x^2 + 3y^2 - a^2) \frac{S_x I_x - S_y I_{xy}}{I_x I_y - I_{xy}^2} - 2xy \frac{S_y I_y - S_x I_{xy}}{I_x I_y - I_{xy}^2} \right\} \end{aligned}$$

$$\begin{aligned} \tau_{yz} &= -\frac{\partial \phi}{\partial x} \\ &= -\frac{1+2\nu}{4(1+\nu)} \left\{ 2x \left(\frac{S_x I_x - S_y I_{xy}}{I_x I_y - I_{xy}^2} y - \frac{S_y I_y - S_x I_{xy}}{I_x I_y - I_{xy}^2} x \right) \right. \\ &\quad \left. - (x^2 + y^2 - a^2) \cdot \frac{S_y I_y - S_x I_{xy}}{I_x I_y - I_{xy}^2} \right\} \\ &= \frac{1+2\nu}{4(1+\nu)} \left\{ (3x^2 + y^2 - a^2) \frac{S_y I_y - S_x I_{xy}}{I_x I_y - I_{xy}^2} - 2xy \frac{S_x I_x - S_y I_{xy}}{I_x I_y - I_{xy}^2} \right\} \end{aligned}$$



①では実際は外力=0であらうから $\tau=0$ でなければならぬ → おかしい



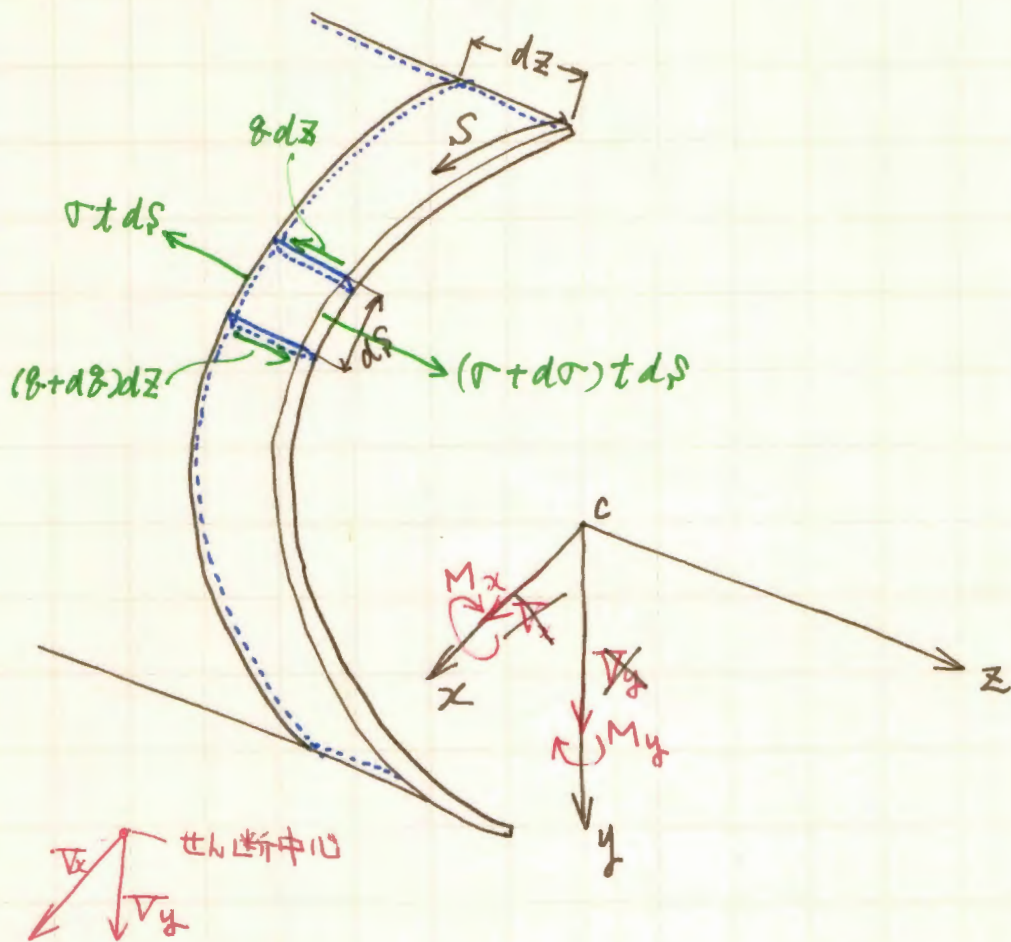
せん断流の理論.
Shear Flow

曲げモーメントが変化するときせん断応力が発生する。

$$V = \frac{dM}{dx} \quad , \quad V = \int \tau dA$$

(A red arrow points from the τ in the second equation to the τ in the first equation.)

8.5 薄肉開断面梁の二軸曲げに伴うせん断応力。



微小要素の z 方向のつり合いから。

$$(\sigma + d\sigma) t ds - \sigma t ds + (\tau + d\tau) dz - \tau dz = 0$$

$$d\sigma t ds + d\tau dz = 0$$

$$\therefore t \frac{\partial \sigma}{\partial z} + \frac{\partial \tau}{\partial s} = 0$$

(8.13)

2軸曲げによるせん断応力 (最も一般の場合)

今、 y 軸面内で、曲率 $1/R_y$ の曲げを生じたとすると、

$$\text{直応力 } \sigma_1 = \frac{E}{R_y} \cdot y$$

$$M_{x1} = \frac{EI_x}{R_y}, \quad M_{y1} = \frac{EI_{xy}}{R_y}$$

同様に、 x 軸面内の曲率に対して、

$$\text{直応力 } \sigma_2 = \frac{E}{R_x} \cdot x$$

$$M_{x2} = \frac{EI_{xy}}{R_x}, \quad M_{y2} = \frac{EI_y}{R_x}$$

$$\therefore \sigma = \frac{E}{R_y} y + \frac{E}{R_x} x$$

$$M_x = \frac{EI_x}{R_y} + \frac{EI_{xy}}{R_x}$$

$$M_y = \frac{EI_{xy}}{R_y} + \frac{EI_y}{R_x}$$

$$\therefore \sigma = \frac{M_x I_y - M_y I_{xy}}{I_x I_y - I_{xy}^2} y + \frac{M_y I_x - M_x I_{xy}}{I_x I_y - I_{xy}^2} x$$

$$\therefore \frac{\partial \sigma}{\partial z} = \frac{V_y I_y - V_x I_{xy}}{I_x I_y - I_{xy}^2} y + \frac{V_x I_x - V_y I_{xy}}{I_x I_y - I_{xy}^2}$$

$$\therefore \frac{\partial \sigma}{\partial s} = - \frac{V_y I_y - V_x I_{xy}}{I_x I_y - I_{xy}^2} y t - \frac{V_x I_x - V_y I_{xy}}{I_x I_y - I_{xy}^2} x t$$

$$\therefore \sigma = \frac{V_x I_{xy} - V_y I_y}{I_x I_y - I_{xy}^2} \int_0^s y t d s + \frac{V_y I_{xy} - V_x I_x}{I_x I_y - I_{xy}^2} \int_0^s x t d s \quad (8.18)$$

x軸, y軸が主軸1, 2の場合.

(添字 $x \rightarrow 1$, $y \rightarrow 2$, $I_{xy} = 0$ とする)

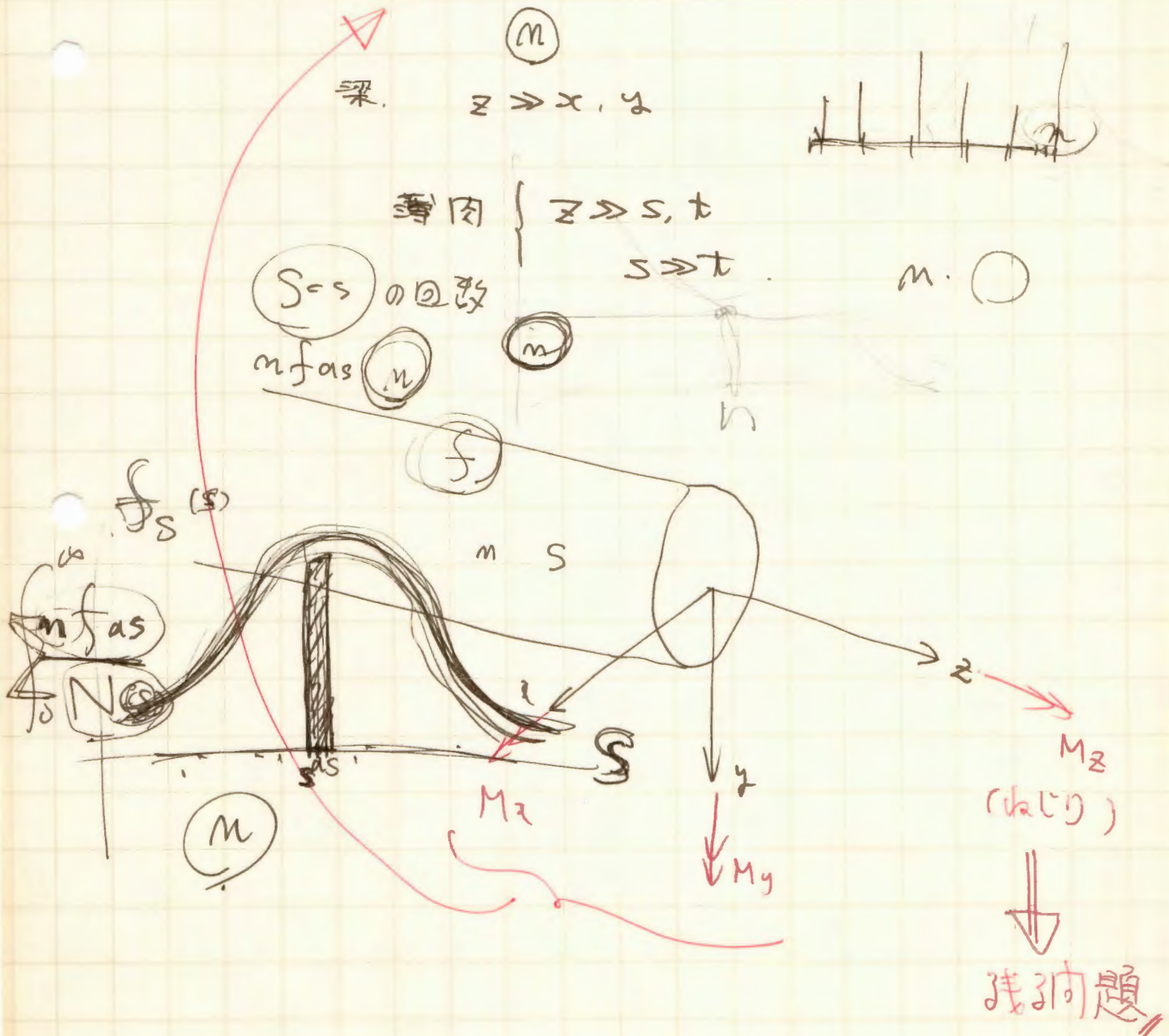
$$\sigma = - \frac{V_2}{I_1} \int_0^s y t d s - \frac{V_1}{I_2} \int_0^s x t d s$$

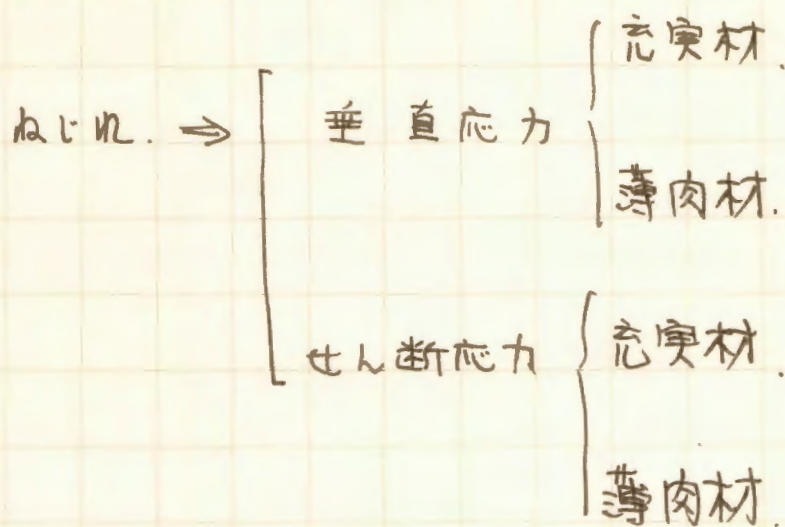
$$\left(\begin{array}{l} \text{ただし} \quad \frac{\partial M_x}{\partial z} = V_y \quad , \quad \frac{\partial M_y}{\partial z} = V_x \\ \text{である.} \end{array} \right)$$

ねじり

曲げ ... normal stress $\left\{ \begin{array}{l} \text{応力} \\ \text{薄肉} \end{array} \right\} \sigma = \frac{M}{I} y$

shear stress $\left\{ \begin{array}{l} \text{応力} \\ \text{薄肉} \end{array} \right\} \text{shear flow (I 学的仮定)}$





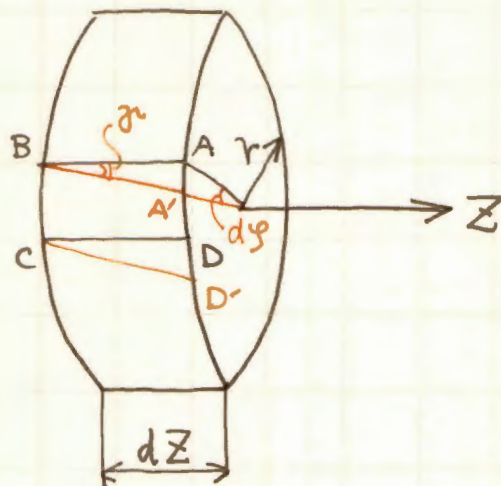
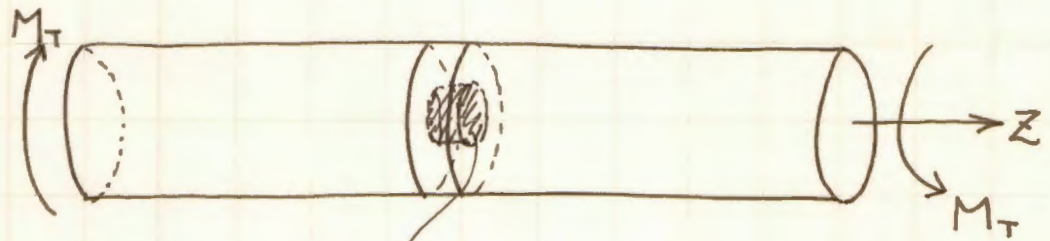
こういう考え方は存在していない。

\downarrow why

曲げ: ... 平面保持則が成立する。

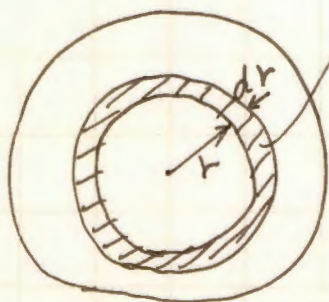
ねじれ: ... 一般的にそり (warping) が生ずる。
特殊な場合 (薄肉材) 平面保持則が成立する。

[1] Shaft のねじり.



$$\gamma = \frac{AA'}{AB} = \frac{r d\phi}{dz} = r \cdot \phi'$$

$$\tau = G \cdot \gamma = G \cdot r \cdot \phi'$$



$$dA = 2\pi r dr$$

$$\begin{aligned} dM_T &= \tau \cdot r \cdot dA \\ &= 2\pi \tau r^2 dr \\ &= 2\pi G r^3 \phi' dr \end{aligned}$$

$$M_T = \int_0^R 2\pi G r^3 \varphi' dr$$

$$= \frac{\pi R^4}{2} G \varphi'$$

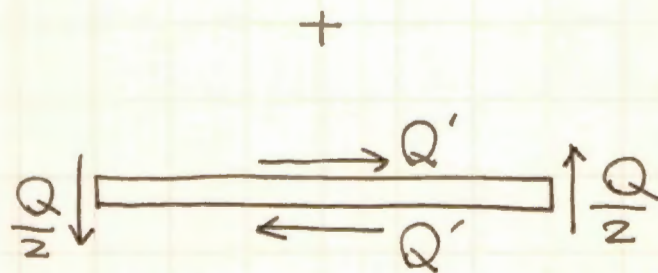
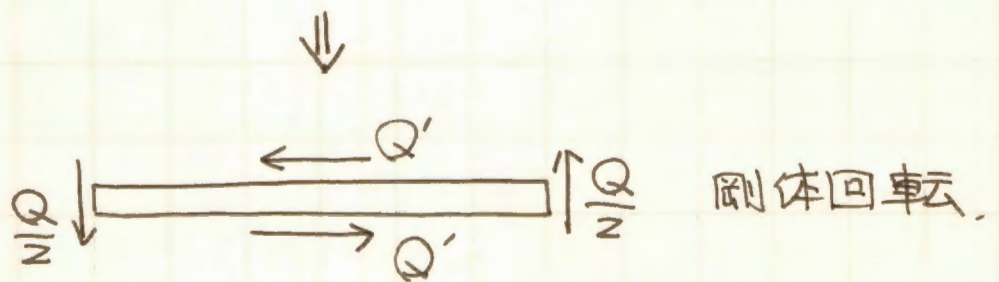
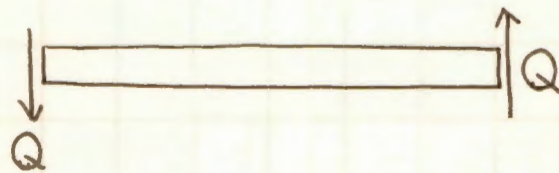
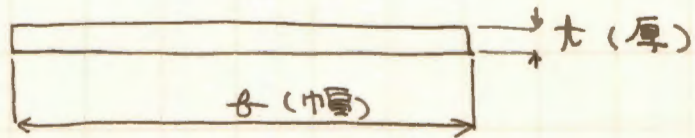
故に.

$$M_T = G \cdot k_T \cdot \frac{d\varphi}{dz}$$

$$\left(k_T = \frac{\pi R^4}{2} \right)$$

[2] 薄板のねじり.

断面.



[仮定] 応力分布は直線分布



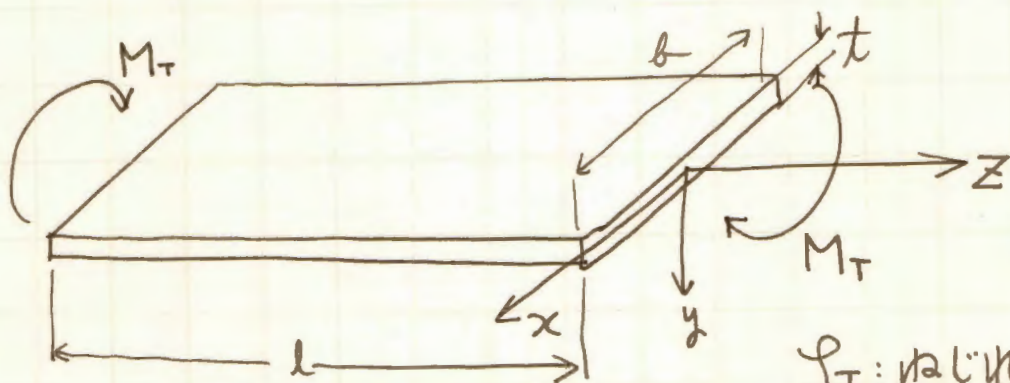
$$\tau = \tau_0 \cdot y$$

$$\begin{aligned}
 Q_t &= \frac{Q}{2} b = \int_{-\frac{t}{2}}^{\frac{t}{2}} \tau_0 y \cdot y \cdot b \, dy \\
 &= \tau_0 b \left[\frac{y^3}{3} \right]_{-\frac{t}{2}}^{\frac{t}{2}} \\
 &= \tau_0 b \frac{t^3}{12}
 \end{aligned}$$

$$\therefore M_z = Q \cdot b = \tau_0 b \frac{t^3}{6}$$

$$\therefore \tau_0 = \frac{6M_z}{bt^3}$$

$$\tau_{\max} = \frac{6M_z}{bt^3} \cdot \frac{t}{2} = \frac{3M_z}{bt^2}$$



ρ_T : ねじり角

エネルギー法.

$$\frac{M_T \rho_T}{2} = \int_V \frac{\tau \cdot \rho}{2} dV = b \cdot l \cdot \int_{-\frac{t}{2}}^{\frac{t}{2}} \frac{\tau \cdot \rho}{2} dy$$

$$= \frac{bl}{2G} \tau_0^2 \int_{-\frac{t}{2}}^{\frac{t}{2}} y^2 dy = \frac{bl}{2G} \tau_0^2 \frac{t^3}{12}$$

$$= \frac{bl}{2G} \cdot \frac{3}{36} \frac{M_T^2}{b^2 t^3} \cdot \frac{t^3}{12} *$$

$$\therefore \varphi_T = \frac{3 l M_T}{G b t^3}$$

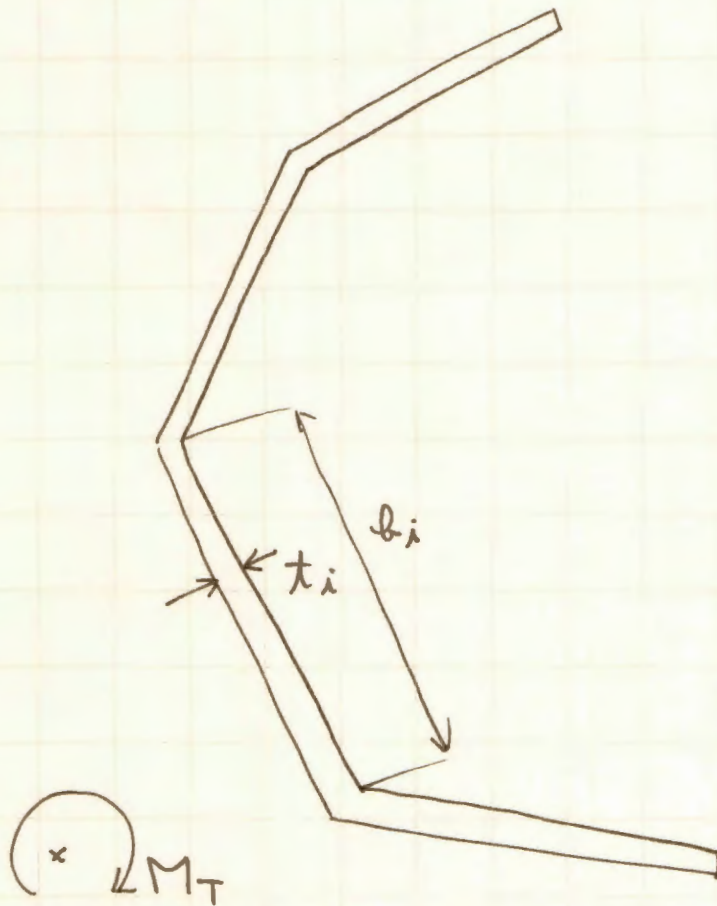
$$\varphi_T' = \frac{\varphi_T}{l} = \frac{3 M_T}{G b t^3}$$

$$M_T = G \cdot \frac{b t^3}{3} \cdot \varphi_T'$$

$$k_T = \frac{b t^3}{3} \text{ とおけば}$$

$$M_T = G \cdot k_T \cdot \varphi_T'$$

[3] 薄板の集合体



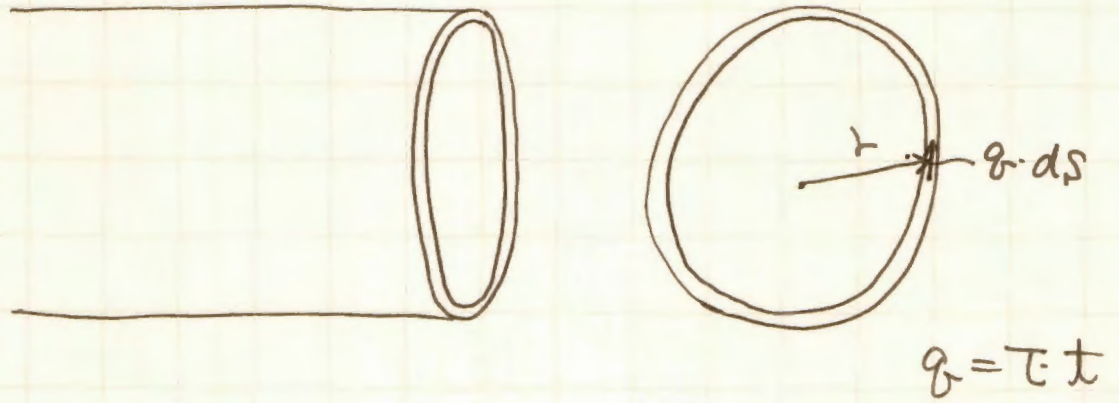
$$M_T = G \cdot K_T \cdot \phi$$

$$K_T = \frac{1}{3} \sum_{i=1}^n b_i t_i^3$$

$$M_T = \sum M_{Ti}$$

↑
それぞれの
の部材が
負担する

[4] 薄肉円筒



$$M_T = \int_S q \cdot r \cdot dS = 2\pi r^2 q$$

$$q = \frac{M_T}{2\pi r^2} = \frac{M_T}{2A} \quad (A = \pi r^2)$$

$$\tau = \frac{q}{t}$$

変形.

$$\begin{aligned} \frac{M_T \cdot \varphi}{2} &= \frac{1}{2} \int_V \tau r dV \\ &= \frac{l}{2} \int \tau \cdot r dx dy \end{aligned}$$

$$dx \cdot dy = t \cdot r \cdot d\theta$$

$$\begin{aligned} \therefore \frac{M_T \cdot y}{I} &= \frac{l}{2} \cdot \frac{1}{G} \int \tau^2 t r d\theta \\ &= \frac{l}{2G} \cdot \tau^2 t r \cdot 2\pi \\ &= \frac{\pi l \tau^2 t r}{G} \\ &= \frac{\pi l t r}{G} \cdot \frac{1}{t^3} \cdot \frac{M_T^2}{4A^2} \end{aligned}$$

$$\begin{aligned} M_T &= G \cdot \frac{2A^2 t}{\pi r} \cdot \frac{y}{l} \\ &= G \cdot \frac{2A^2 t}{\pi r} \cdot y' \\ &= G \cdot (2 \cdot \pi r^4 t / \pi r) \cdot y' \\ &= G \cdot 2\pi r^3 t \cdot y' \end{aligned}$$

$$M_T = G \cdot K_T \cdot y'$$

$$K_T = 2\pi r^3 t$$

$$\left(K_T = \frac{4A^2}{\int \frac{ds}{t}} ; \text{板厚变化} \right)$$

[5] サンプルのねじり

サンプルのねじりとは;

"ねじりモーメントが部材の長さ方向に一定で、部材の両端で断面のそりに対して何ら拘束をうけていないねじり"

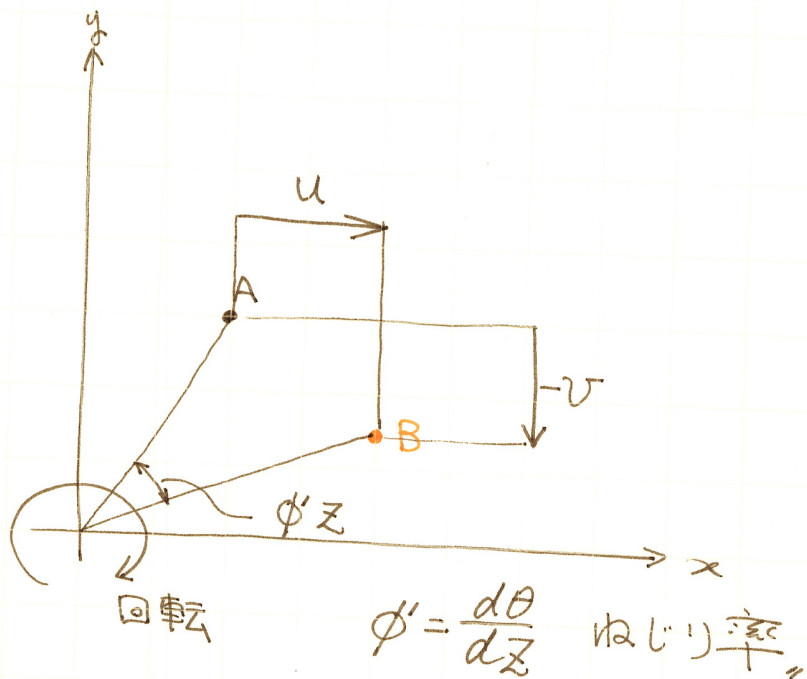
である。

[仮定]の部材の変形は全長にわたって一様。
部材軸方向変位は軸にそって木乘で、
 x, y の関数である。

② 応力分布は軸に沿って一様。(x, y の関数)

③ 断面形は変化しない。
軸まわりに回転するだけである。

$$(\sigma_x = \sigma_y = \tau_{xy} = 0)$$



変位仮定 =

$$u = \phi' z y$$

$$v = -\phi' z x$$

$$w = \phi' \psi(x, y) \quad \psi(x, y) : \text{反り関数}$$

せん断応力

$$\tau_{yz} = \frac{\partial v}{\partial z} + \frac{\partial w}{\partial y}$$

$$= -\phi' x + \phi' \frac{\partial \psi}{\partial y} = \phi' \left(\frac{\partial \psi}{\partial y} - x \right)$$

$$\tau_{zx} = \frac{\partial w}{\partial x} + \frac{\partial u}{\partial z}$$

$$= \phi' \left(y + \frac{\partial \psi}{\partial x} \right)$$

②式を応力で表わせば、

$$\tau_{yz} = G \phi' \left(\frac{\partial \psi}{\partial z} - x \right)$$

$$\tau_{zx} = G \phi' \left(\frac{\partial \psi}{\partial x} + y \right)$$

} (2)'

《(1)》より合った方程式 (物体力無視)

$$\sigma_x = \sigma_y = \sigma_z = \tau_{xy} = 0$$

$$\frac{\partial \tau_{zx}}{\partial z} = \frac{\partial \tau_{yz}}{\partial z} = 0$$

$$\frac{\partial \tau_{zx}}{\partial x} + \frac{\partial \tau_{yz}}{\partial y} = 0$$

20) 仮定

} (3)

応力関数 Φ 導入; $\Phi = \Phi(x, y)$

$$\tau_{yz} = \frac{\partial \Phi}{\partial x}$$

$$\tau_{zx} = -\frac{\partial \Phi}{\partial y}$$

} (4)

[(4)式は (3) を満たす。]

(2) 適合条件.

(4) 式を(2)式に代入する;

$$\frac{\partial \Phi}{\partial x} = G \phi' \left(\frac{\partial \psi}{\partial y} - x \right)$$

$$\frac{\partial \Phi}{\partial y} = G \phi' \left(-\frac{\partial \psi}{\partial x} - y \right)$$

$$\begin{aligned} \frac{\partial^2 \Phi}{\partial x^2} + \frac{\partial^2 \Phi}{\partial y^2} &= G \phi' \frac{\partial^2 \psi}{\partial y \partial x} - G \phi' \\ &\quad - G \phi' \frac{\partial^2 \psi}{\partial x \partial y} - G \phi' \\ &= -2G \phi' \end{aligned} \tag{5}$$

(3) 境界条件.

$$\tau_{zx} \frac{dy}{ds} - \tau_{yz} \frac{dx}{ds} = 0$$

$$-\frac{\partial \Phi}{\partial y} \cdot \frac{dy}{ds} - \frac{\partial \Phi}{\partial x} \cdot \frac{dx}{ds} = 0$$

$$\therefore \Phi = \text{constant} \tag{6}$$

(5), (6) から Φ を求める。 $\rightarrow \tau_{yz}, \tau_{zx}$
u, v, w を求める $\leftarrow \psi$ を求める \leftarrow 求める。

$$dM_z^{st} = \{ T_{zx} \cdot y - T_{yz} \cdot x \} dx dy$$

$$= \left\{ G\phi' \left(\frac{\partial v}{\partial x} + y \right) y - G\phi' \left(\frac{\partial v}{\partial y} - x \right) x \right\} dx dy$$

$$= G\phi' \left\{ x^2 + y^2 + y \frac{\partial v}{\partial x} - x \frac{\partial v}{\partial y} \right\} dx dy$$

$$M_z^{st} = G\phi' \iint_{xy} \left(x^2 + y^2 + y \frac{\partial v}{\partial x} - x \frac{\partial v}{\partial y} \right) dx dy.$$

$$\therefore K_T = \int_x \int_y \left(x^2 + y^2 + y \frac{\partial v}{\partial x} - x \frac{\partial v}{\partial y} \right) dx dy$$

$$M_z^{st} = G \cdot K_T \cdot \phi'$$

サングソンのねじり まとめ.

$$\tau_{yz} = \frac{\partial \Phi}{\partial x}, \quad \tau_{zx} = -\frac{\partial \Phi}{\partial y}$$

(これはつり合い条件をみたす)

適合条件

$$\frac{\partial^2 \Phi}{\partial x^2} + \frac{\partial^2 \Phi}{\partial y^2} = -2G\phi'$$

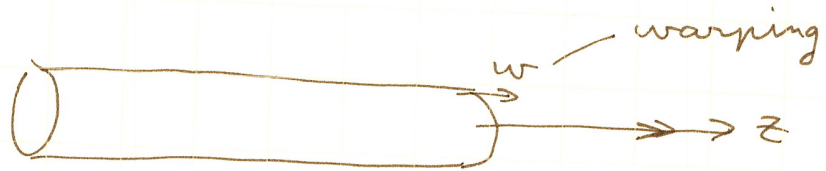
$$\Phi \in C^2$$

$$M_x = 2 \iint \Phi \, dx \, dy$$

1/15.

そり変形. (warping)

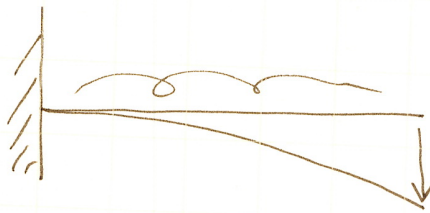
一般に、ねじりによって、部材軸方向の変位 w が生ずる。これをそりという。



丸棒 } 反りは生じない。
円環 }

反りが生ずる場合 { 反り自由.
反り拘束.

St. Venant
のねじり,
単純ねじり

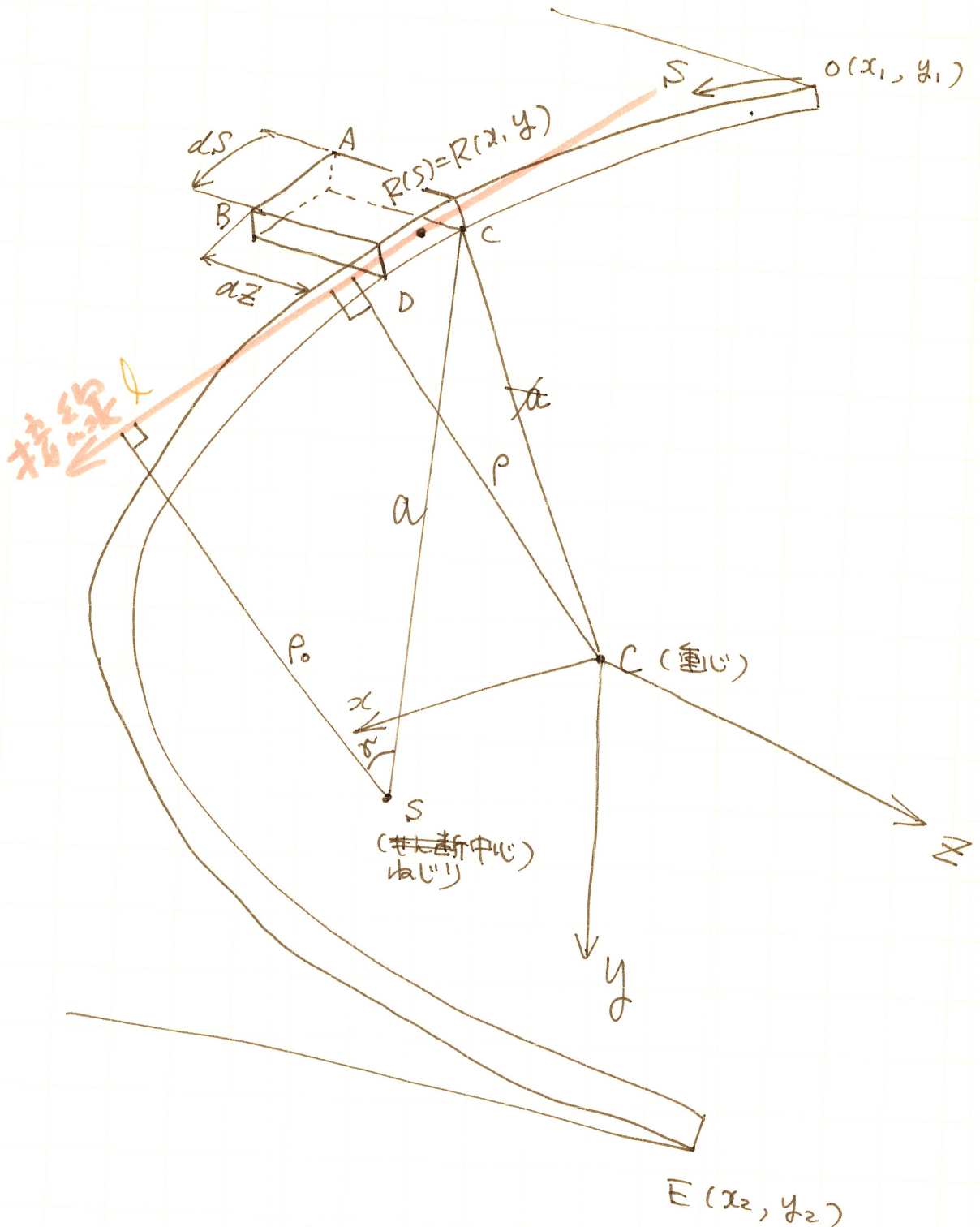


変形が求まる

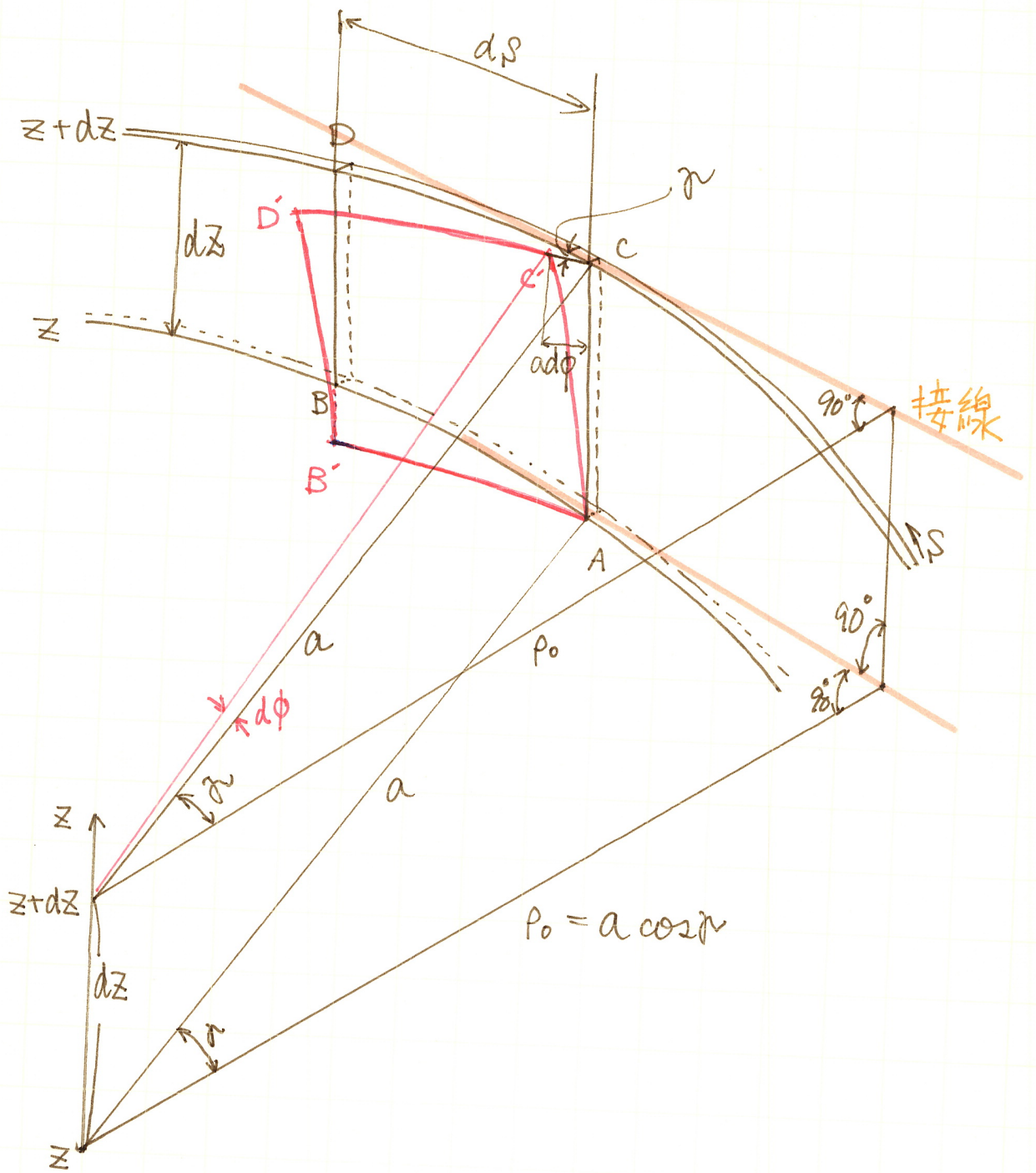


変形を拘束した
場合の応答も求まる。

8.8 変形.



P, P_0 は接線 l の進行方向左側に C, S があるときを正とする!



断面定数 //

$$\omega = \int_0^S \rho ds$$

$$I_{\omega y} = \int_0^E \omega y t ds$$

$$I_{\omega x} = \int_0^E \omega x t ds.$$

$$x_0 = \frac{I_{\omega y}}{I_x}$$

$$y_0 = -\frac{I_{\omega x}}{I_x}$$

せん断中心

$$\omega_0 = \omega + y_0 x - y_0 x_1 - x_0 y + x_0 y_1 \quad (= \int_0^S \rho_0 ds)$$

$$\omega_m = \frac{1}{A} \int_0^E \omega_0 t ds - \omega_0$$

$$S_{\omega} = \int_0^S \omega_m t ds$$

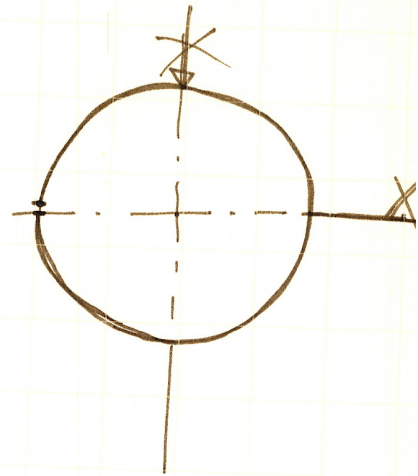
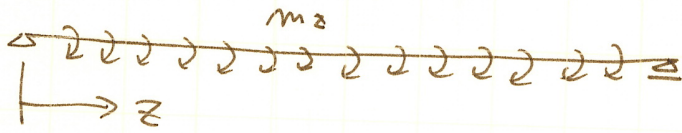
$$I_{\omega} = \int_0^E \omega_m^2 t ds$$

$$\int_0^S y t ds \quad \cdot \quad > \quad \int_0^S x t ds.$$

k_T

①

等分布荷重の円管



$$\frac{L}{R} = 20$$

$$\frac{R}{t} = 24$$

σ_0 は周方向のみ
 σ_w のみ

$$\sigma_{ta} = \sigma_{ra} = 1400 \text{ kg/cm}^2$$

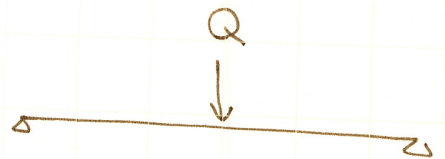
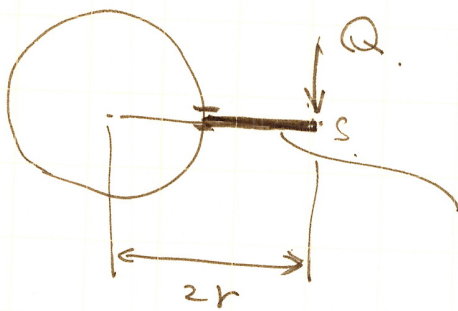
$$E = 2.1 \times 10^6 \text{ kg/cm}^2$$

単位長さ当たり、この程度の m_z に耐えられるか

(境界条件) $z=0, L$

$$\phi = \phi' = 0, \quad v = v'' = 0$$

②



無限の剛性
断面定数に
関係しない。

1A87

1/29
金属構造

4倍程度あれば、せん断の影響はほとんど問題とならない。

2.5節で図2.11の要素 $ds dz$ はその形を変えないと仮定した。したがって、この長方形をひずませる作用をするそりせん断応力の影響を無視したことになる。閉断面ではこの仮定を用いると大きな矛盾が生じるが^(2.10)、閉断面の場合には特に部材が短くなければ、この仮定によって大きな問題を生じることはない^(2.10)。さらに、そりによるせん断応力は板厚方向に一樣に分布すると仮定した。事実はこの仮定通りではないが、この影響も同じく小さいものである。Bleich⁷はこの影響を考慮してI形断面、山形鋼断面の I_0 を与えている。これに対し、本書の理論では、これらの断面に対して $I_0=0$ とする。

変形前の部材についてつり合い式を立てるのは普通に行なわれているが、軸圧縮力を受けるはり一柱には適用できない。この仮定による理論では、同じく座屈荷重を求めることができず、このような理由から、2.8節では変形した部材についてつり合いを考えるが、この結果、単純化に役立ってきた重ね合せの法則は適用できなくなる。

2.7 例題

半円形はりの応力

最初の例題として、半円形薄肉断面をもつ片持はりの端部に、円弧の始点を通る鉛直力 Q が作用したとき [図2.18(a)] の、片持はりの応力を計算しよう。どの断面にも曲げモーメント M_x 、せん断力 V_y 、ねじりモーメント $M_z=Qx_0$ が作用している。この問題では、つぎの量すなわち、 $G/E=0.383$ 、 $r/t=24$ (ここに、 r は中心線の作る円の半径、 t は均一な厚さである)、 $L/r=20$ が無次元化された形で与えられているものとする。

最初に、必要な断面量を求める。図2.18(b)を参考に、つぎの幾何学的な関係が求められる。

$$ds = r d\beta \quad x_1 = \frac{2r}{\pi} \quad y_1 = r$$

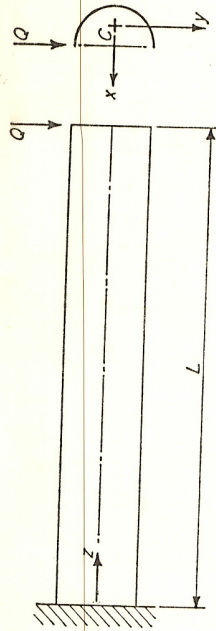
$$x = \frac{2r}{\pi} - r \sin \beta \quad y = r \cos \beta$$

$$\rho = r - \frac{2r \sin \beta}{\pi}$$

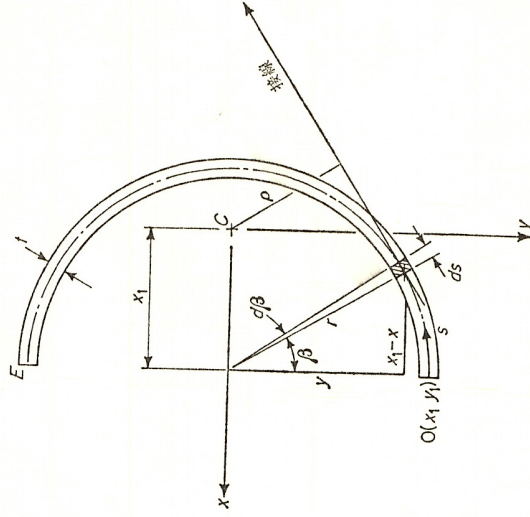
断面量は、表2.2の公式によって計算することができるが、その結果をつぎに示す。

$$A = \int_0^{\pi/2} t ds = \pi r t$$

7 文献1.30の第III章には、そりねじりについてのもさらに詳しく説明がなされている。



(a)



(b)

図 2.18 半円形断面の片持はり

$$I_x = \int_0^{\pi/2} y^2 t ds = \frac{\pi}{2} (r^3 t)$$

$$\omega = \int_0^{\pi/2} \rho ds = \int_0^{\pi/2} \left(r - \frac{2r \sin \beta}{\pi} \right) r d\beta = r^2 \left[\beta - \frac{2}{\pi} (1 - \cos \beta) \right]$$

$$I_{oy} = \int_0^{\pi/2} \omega y t ds = -r^4 t$$

$$x_0 = \frac{I_{oy}}{I_x} = -\frac{2r}{\pi} \quad y_0 = 0$$

$$\omega_0 = \omega + y_0 x - y_0 x_1 + x_0 y_1 - x_0 y = r^2 \left[\beta - \frac{4}{\pi} (1 - \cos \beta) \right]$$

$$\omega_n = \frac{1}{A} \int_0^{\pi} \omega_n t ds - \omega_0 = r^2 \left(\frac{\pi}{2} - \beta - \frac{4 \cos \beta}{\pi} \right)$$

$$S_\omega = \int_0^{\pi} \omega_n t ds = r^2 t \left[\frac{\beta}{2} (\pi - \beta) - \frac{4 \sin \beta}{\pi} \right]$$

$$I_\omega = \int_0^{\pi} \omega_n^2 t ds = tr^5 \left(\frac{\pi^3}{12} - \frac{8}{\pi} \right)$$

$$\int_0^{\pi} yt ds = r^2 t \sin \beta$$

$$K_{\tau} = \frac{\pi r^4}{3}$$

図 2.19 は応力を計算するときに後に必要となる量を無次元化して示し、角度 β を変数とする関数 ω_n/r^2 , y/r , $10S_\omega/r^3 t$, $\int_0^{\pi} yt ds/r^2 t$ の値を描いたものである。この片持はりの

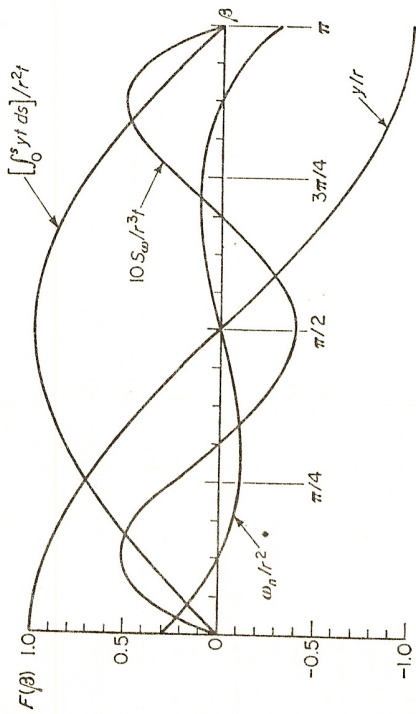


図 2.19 半円形断面内の断面量の変化

せん断力図, 曲げモーメント図を, ねじり角の 1 次微分, 2 次微分, 3 次微分, 3 次微分の変化とともに, 図 2.20 に示す。後者の値はねじり荷重を受ける部材の変形に関する式 [式 (2.68)]

$$\phi = C_1 + C_2 \cosh \lambda z + C_3 \sinh \lambda z + \frac{M_z z}{\lambda^2 EI_\omega}$$

を使って求めたものである。z=0 での境界条件は $\phi = \phi' = 0$ (“固定端”, 図 2.16 参照), z=L での境界条件は断面のそりは自由であり ($\sigma_W = 0$), したがって, 式 (2.55) から $\phi'' = 0$ となる。この境界条件を使うと

$$\phi = \frac{M_z}{\lambda^3 EI_\omega} [\lambda z - \sinh \lambda z + \tanh \lambda L (\cosh \lambda z - 1)]$$

となる。phi を微分したものは

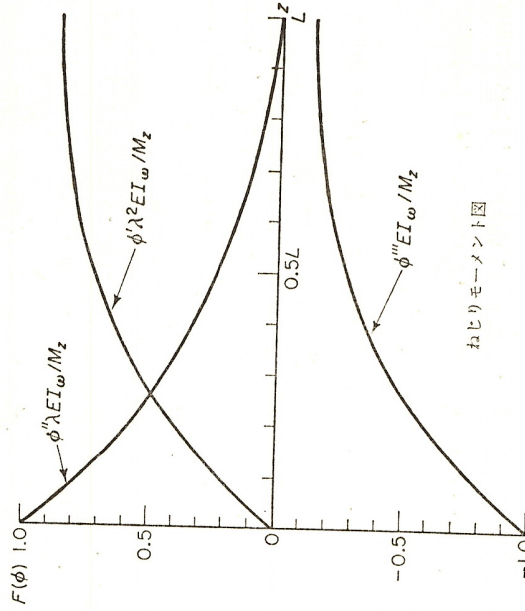
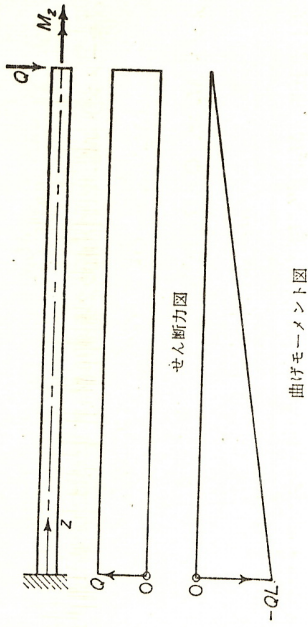


図 2.20 片持はりのせん断力図, 曲げモーメント図, ねじり角 phi の微係数の分布図

$$\frac{\phi' \lambda^2 EI_\omega}{M_z} = 1 - \cosh \lambda z + \tanh \lambda L \sinh \lambda z$$

$$\frac{\phi'' EI_\omega}{M_z} = -\sinh \lambda z + \tanh \lambda L \cosh \lambda z$$

$$\frac{\phi''' EI_\omega}{M_z} = -\cosh \lambda z + \tanh \lambda L \sinh \lambda z$$

これらの式を横軸に z をとった図 2.20 に曲線で示す。この問題では $\lambda L = L \sqrt{GK_{\tau}/EI_\omega} = 2.730$ となる。

図 2.19, 図 2.20 の曲線から, 応力を計算することができる. 垂直応力は

$$\sigma_B = \frac{M_x y}{I_x} \quad \sigma_W = E \omega_n \phi''$$

となり, 曲げモーメント M_x , ねじり角の 2 次微係数 ϕ'' は共に固定端で最大となる.

$$(M_x)_{\max} = -QL \quad (\phi'')_{\max} = \frac{0.992 M_z}{\lambda E I_0}$$

ねじりモーメント M_z は, Q と Q の作用線と S との距離の積で

$$M_z = (x_1 + |x_0|) Q = \frac{4 Q r^2}{\pi}$$

のように, 表わされる. M_x, ϕ'', I_x を応力を表わす式に代入することによって

$$\frac{\sigma_B r^2}{Q} = -306 \frac{y}{r} \quad \frac{\sigma_W r^2}{Q} = 5,941 \frac{\omega_n}{r^2}$$

となる. この 2 つの応力とその和の $z=0$ 断面内での分布とを 図 2.21 に示す. 応力の大部分がそり拘束の結果生じたものである. 最大垂直応力は断面の外縁で生じ, その値は

$$\sigma_{\max} = 1,465 \frac{Q}{r^2}$$

となる. St. Venant のせん断応力は $\tau_{SV} = Gt\phi'$ であり, t が一定であるため, 断面内のどの点でも同じ値となる. ϕ' の値は自由端, つまり $z=L$ (図 2.20) で最大となる.

$$(\phi')_{\max} = 0.870 \frac{M_z}{\lambda^2 E I_0}$$

を用いると, St. Venant のせん断応力の最大値は, つぎのようになる.

$$(\tau_{SV})_{\max} = \frac{607 Q}{r^2}$$

せん断力 V_y は部材の軸に沿って変化せず, したがって, 曲げによるせん断応力は z 軸に沿ったどの断面においても, つぎの値で表わされる.

$$\tau_B = -\frac{V_y}{I_x} \int_0^s y t ds$$

あるいは, $V_y = Q, I_x = \pi r^2 t / z$ を代入すると, つぎのように表わされる.

$$\frac{\tau_B r^2}{Q} = -\frac{15}{\pi} \int_0^s \frac{y t ds}{r^2 t}$$

図 2.19 から, $\int_0^s y t ds$ は, 中央部で最大となることがわかる. したがって

$$(\tau_B)_{\max} = -\frac{15 Q}{r^2}$$

となる. この値は $z=0$ での最大曲げ応力, $z=L$ での St. Venant のせん断応力値と比較して, 無視できる程度のものである.

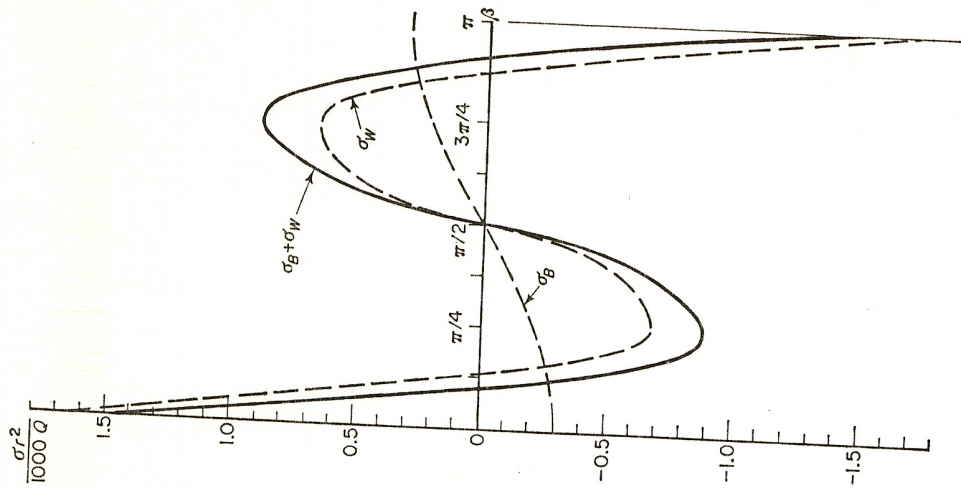


図 2.21 $z=0$ での垂直応力の分布

そりに伴うせん断応力は ϕ'' とともに変化し (図 2.20 参照), その最大値は $z=0$ で生じる. $(\phi'')_{\max} = -M_z/EI_0$ を用いると,

$$\frac{\tau_W r^2}{Q} = -\frac{E S_0 \phi''}{t} = 818 \frac{S_0}{r^2 t}$$

となる. 他端 ($z=L$) では, $\phi''' = -0.130 M_z/EI_0$ であり, したがって

$$\frac{\tau_W r^2}{Q} = 106 \frac{S_0}{r^2 t}$$

を得る。\$S_z\$ の最大値は (図 2.19 から) \$0.0524 r^2 t\$ であり、したがって、つぎのようになる。

$$z=0 \text{ で } (\tau_{xy})_{\max} = \frac{43Q}{r^2}, \text{ および, } z=L \text{ で } (\tau_{xy})_{\max} = \frac{6Q}{r^2}$$

これらの値も \$z=0\$ での曲げ応力、\$z=L\$ での St. Venant のせん断応力と比較すると小さなものである。図 2.20 を見ると、端部以外の断面を考慮する必要のないことがわかる。\$z=0\$ での \$(\sigma)_{\max}\$、あるいは \$z=L\$ での \$(\tau_{xy})_{\max}\$ が支配的な応力になっている。例えば、許容応力が \$\sigma = 2,100 \text{ kg/cm}^2\$、\$\tau = 1,400 \text{ kg/cm}^2\$ であり、\$r = 15.2 \text{ cm}\$ のとき、\$Q\$ の最大許容値は \$331 \text{ kg}\$ となる。この場合には \$(\sigma)_{\max}\$ によって許容値が決まる。許容応力が同じであっても、ねじりによる応力を無視した場合には \$Q = 1,600 \text{ kg}\$ となる。この場合には、ねじりによる応力を無視したことによって、予想より早く早く崩壊することになるであろう。

広幅 I 形はりの応力

つぎの例として、図 2.22 に示す 両端単純支持のはりについて考えよう。中央点に作用している荷重 \$Q\$ は、せん断中心から \$e\$ だけ偏心しており、ねじりモーメント \$M_z = Qe\$ を

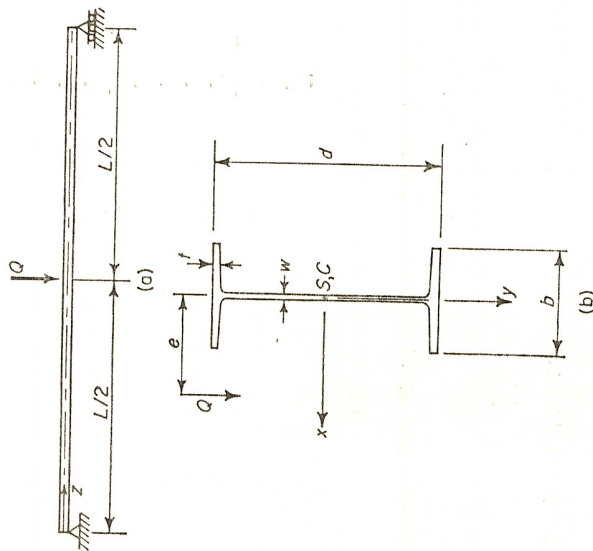


図 2.22 曲げとねじりが働くはり

生じているものとする。このねじりモーメントによって、曲げによる垂直応力 \$\sigma_B\$、せん断応力 \$\tau_B\$ の他に、付加的な応力 \$\sigma_W\$、\$\tau_W\$ が作用する。まず、ねじりに対する断面量を計算しよう。

	\$\rho = \rho_0\$	\$b\$	\$\rho b\$	\$\omega = \omega_0\$	\$\omega_n\$
1				+	\$d'/b/4\$
2	\$d'/2\$	\$b/2\$	\$d'b/4\$	\$d'b/4\$	\$d'b/4\$
3	0	\$d'\$	0	0	0
4	\$d'/2\$	\$b/2\$	\$d'b/4\$	\$d'b/4\$	0
5	\$-d'/2\$	\$b/2\$	\$-d'b/4\$	\$d'b/2\$	\$-d'b/4\$
6	\$d'/2\$	\$b/2\$	\$d'b/4\$	\$d'b/4\$	\$d'b/4\$
3				\$-d'b/4\$	0

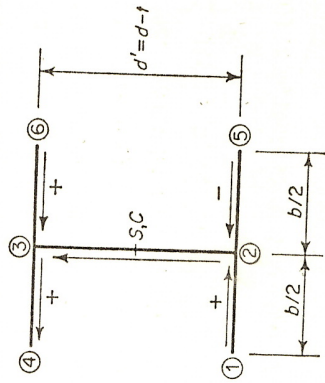


図 2.23 広幅 I 形断面の \$\omega, \omega_0, \omega_n\$ の計算

図 2.23 に単位そりに関する項 \$\omega, \omega_0\$ の計算を示す。この例のような 2 軸対称断面では、せん断中心 \$S\$ と重心 \$C\$ とは一致するので、2 つの量 \$\omega, \omega_0\$ は等しくなる。式 (2.11)、あるいは、表 2.3 からつぎの式の関係がわかる。

$$\omega = \int_0^{t/2} \rho ds = \sum_{i=1}^{t/2} \rho_i b_i t_i$$

図 2.23 の矢印と正負の符号は積分の方向と \$\rho\$ の符号を示す。\$\rho\$ は考えている要素と \$C\$ との垂直距離であり、矢印の方向を向いたとき、\$C\$ が左側にあれば \$\rho\$ の符号は正である。積

のことは広幅I形鋼がねじりモーメントの影響を受けやすいことを示している。

$z=0$, $z=L/2$ の断面に分布している各種のせん断応力を図2.29に示す。ねじり応力は $e=2.54$ cm の偏心によって生じたものである。この図はフランジの中央部（上フランジ、下フランジ）では、それぞれ、値が等しく、方向は反対となる）、および、腹板中央部での応力の値とその方向とを示している。せん断応力の最大値はつぎのようになる。

$$z=0, \quad \tau_{フランジ}=(0.0046+0.0220+0.0004)Q=0.0270 Q$$

$$z=0, \quad \tau_{腹板}=(0.0191+0.0127)Q=0.0318 Q$$

$$z=L/2, \quad \tau_{フランジ}=(0.0046+0.0019)Q=0.0065 Q$$

$$z=L/2, \quad \tau_{腹板}=0.0191 Q$$

せん断応力の最大値をとってみても、垂直応力の最大値 $0.190 Q$ に比較するとはるかに小さく、この例題では後者によって設計が決まる。

ここで取り扱ったよりもさらに詳しく解析する場合には、はりの全長にわたって垂直応力を求めなければならない。しかし、多くの場合、この例のように大きな応力が生じる場所を適当な方法で捜すのみで十分である。

2.8 2次解析の微分方程式

概 説

つきに取り扱う微分方程式⁸は変形後の部材についてのつり合いを考え導いたものである。変形と内力とは互いに独立ではなくなるので、それぞれの影響を分けて考えることはできず、すべての影響を同時に考慮しなければならない。考えうる荷重すべてを考慮すると、式が長く複雑になりすぎるので、ここでは、図2.30に示す比較的簡単な載荷状態に限定する。このモデルのみで、本書で後程取り上げる問題の載荷条件のほとんどの場合が含まれる。

図2.30の部材には初期曲がりがなく、断面は一定とする。両端はピン支持され、移動は拘束されているものとする。載荷過程を通じて方向一定の軸方向力 P^0 、および、曲げモーメント M_{Tx} , M_{Ty} , M_{Bx} , M_{By} が作用している。これらのモーメントの正の方向を右

8 ここでは微分方程式を Timoshenko, あるいは, Vlasov (文献1.18の第5章)の方法により力のつり合いから導く。同じ式は Bleich (文献1.30の第IV章)と同様にエネルギーの原理からも導くことができる。

9 前節までの説明では軸引張り力を正とした[図2.1, 2.7]。この節以後取り扱う問題では、軸圧縮力の方が軸引張り力より問題になるので、これ以後、 P が圧縮力のとき正と定義する。

手で定義する。曲げモーメントに対をなした反力 R_x , R_y がつり合っている。すでに説明した仮定、特に、弾性挙動と微小変形の仮定を用い、ここでは変形を考慮に入れたつり合い式を作る。断面は変化しないとする条件も引き続き用いている。

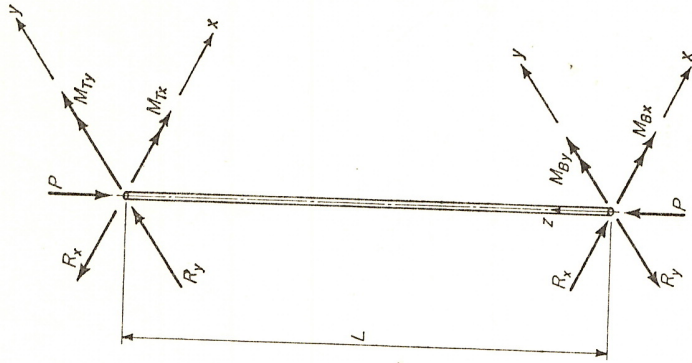


図 2.30 等断面部材の材端に作用する力

断面の変位

図2.31(a)に一般的な薄肉開断面の中心線を示す。 x , y 座標は重心軸を通る主軸である。 Q は中心線上の任意の点である。せん断中心 S の変位を u , v とし、図に正の方向を示す。この他に、断面全体がせん断中心のまわりに角 ϕ だけ回転する。 S が変位 u , v に伴って S' に移るのに対し[図2.31(b)], Q は Q' をへて Q'' に移る。図2.31(b)に示す幾何学的な関係から、 Q の x , y 方向の移動量はつぎのように表わされる。

$$u_Q = u + a\phi \sin \alpha \quad v_Q = v - a\phi \cos \alpha$$

ここに、 a は Q と S の間の距離である。 $\sin \alpha = (y_0 - y)/a$, $\cos \alpha = (x_0 - x)/a$ の関係があ

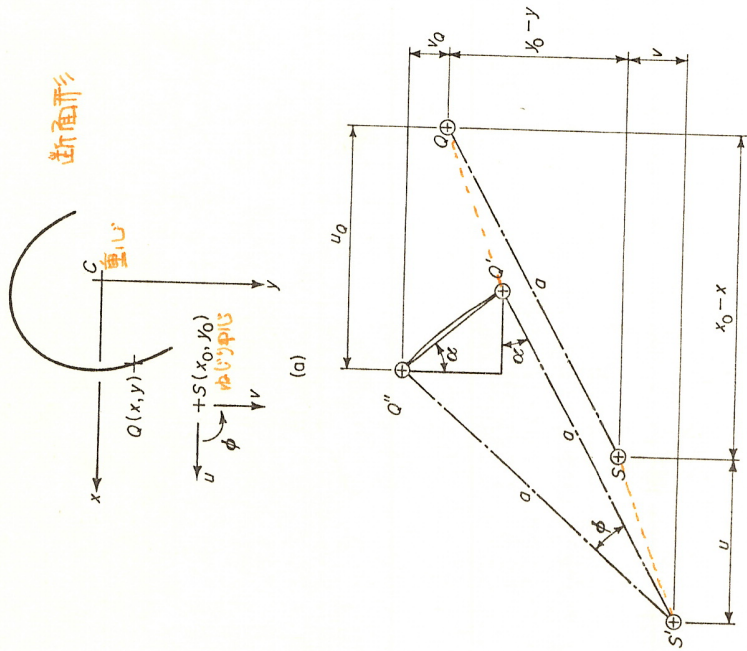


図 2.31 断面内の点Qの変位

るので、これを用いると

$$u_Q = u + \phi(y_0 - y) \quad (2.77)$$

となり、重心 $(x=y=0)$ の変位はつぎのように表わされる。

$$u_C = u + \phi y_0 \quad v_C = v - \phi x_0 \quad (2.78)$$

つり合い方程式

z - x 面, z - y 面に作用している力を、それぞれ、図 2.32 (a), (b) に示す。部材の下端から距離 z の点での抵抗モーメントはつぎのようになる。

$$M_x = -M_{Bx} + R_y z + P u_C, \quad M_y = -M_{By} + R_x z - P v_C$$

このモーメントの正の方向も右手系の約束に従う。式 (2.78) の v_C, u_C を代入し、つぎ

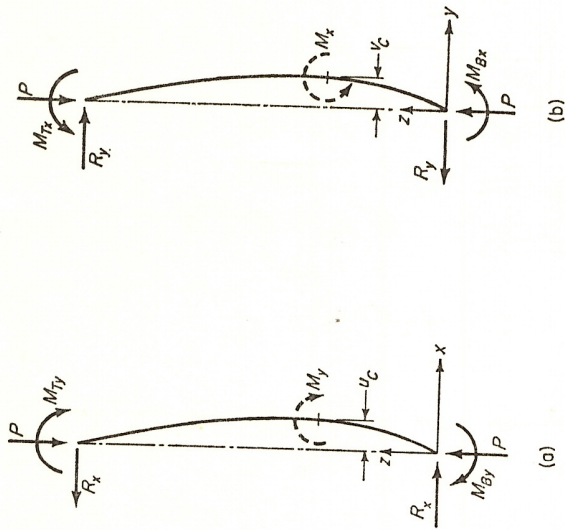


図 2.32 x - z 面, y - z 面に作用する力の関係

の関係

$$R_x = \frac{M_{Ty} + M_{By}}{L} \quad R_y = \frac{M_{Tx} + M_{Bx}}{L} \quad (2.79)$$

に注意すると、つぎの式が得られる。

$$M_x = -M_{Bx} + \frac{z}{L}(M_{Tx} + M_{Bx}) + P(v - \phi x_0) \quad (2.80)$$

$$M_y = -M_{By} + \frac{z}{L}(M_{Ty} + M_{By}) - P(u + \phi y_0) \quad (2.81)$$

変形した状態では、この部材の断面はもはや変形前の x, y, z 座標系にはない。断面は図 2.33 に示すように、平行移動および、回転移動をし、断面の主軸は新しい直角座標 ξ, η で表わされる。モーメント M_ξ, M_η をこの新しい座標系で表わす必要がある。図 2.34 を参照し、ベクトルの和を求めると、つぎのようになる。

$$M_\xi = M_x + \phi M_y \quad M_\eta = M_y - \phi M_x \quad (2.82)$$

ここに、角度 ϕ が小さいことから、 $\sin \phi = \phi, \cos \phi = 1$ の関係を用いたのである。

M_x, M_y は ξ, η 軸に沿った成分の他に、断面に垂直で z 軸に対して傾斜した s 軸に沿った成分も含んでいる (図 2.35)。この力の成分によるねじりモーメント [図 2.35 (a), (b)] は

$$M_{t1} = M_x \frac{du}{dz} + M_y \frac{dv}{dz} \quad (2.83)$$

外力は
変形前の
座標系
によって

変形前の座
標系に
モーメントの
つり合い

図 2.34. M_ξ の変換

M_x, M_y の
モーメント成分
変形の影響

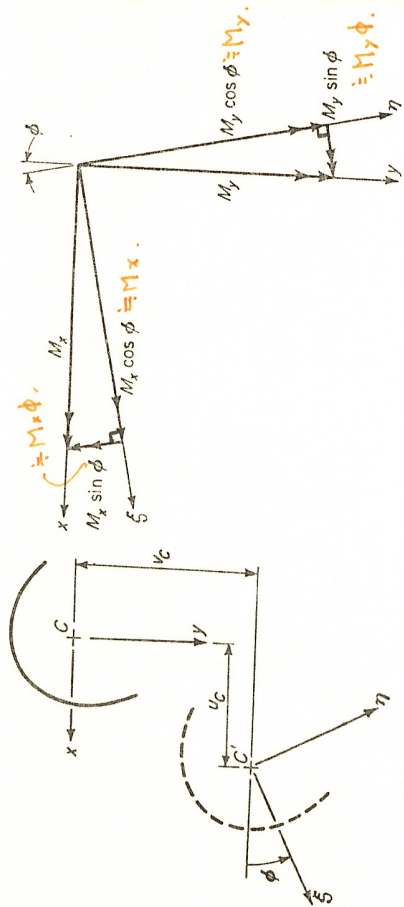


図 2.33 ξ-η 座標の定義

図 2.34 M_x, M_y の ξ-η 座標軸方向の成分

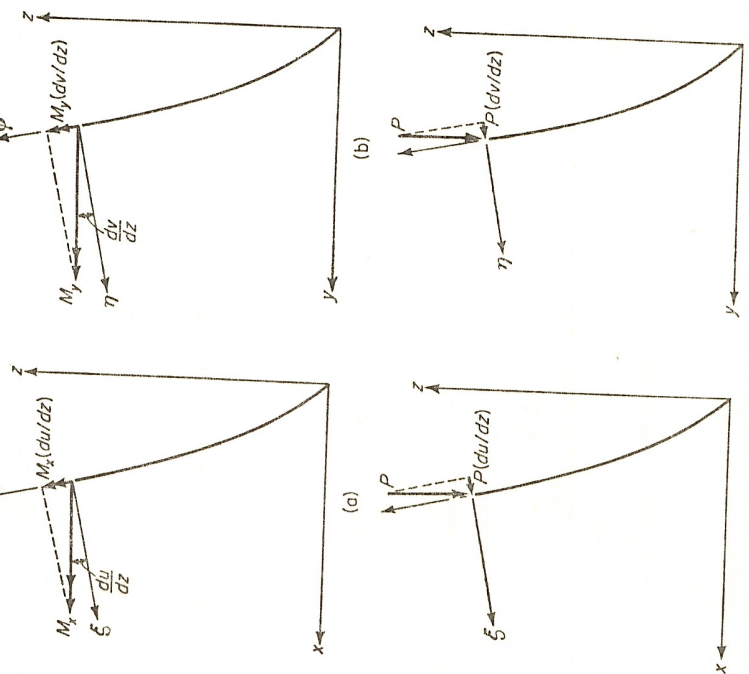


図 2.35 M_x, M_y, P によって生じるねじり成分

となる。ここでも再び、 $\sin du/dz = du/dz, \sin dv/dz = dv/dz$ の関係を用いている。
 M_x, M_y の成分によるねじりの他にも、ねじりモーメントとして作用する力が存在す

る。その1つは P の作用方向が変化しないことに起因するものである。 P が z 軸に平行に作用するため、 $x-z$ 平面で断面に平行に $P(du/dz)$ の成分をもつ。この成分は重心に作用する [図 2.35 (c)] P の $z-y$ 面での成分と合せて [図 2.35 (d)], つぎの式で表わされるねじりモーメントがせん断中心のまわりに作用している (図 2.36 参照)。

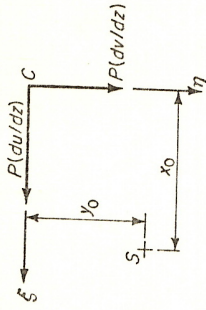


図 2.36 P の成分によるねじり

P の z 軸方向のモーメント成分

$$M_{z2} = P \left(y_0 \frac{du}{dz} - x_0 \frac{dv}{dz} \right) \quad (2.84)$$

変形の影響

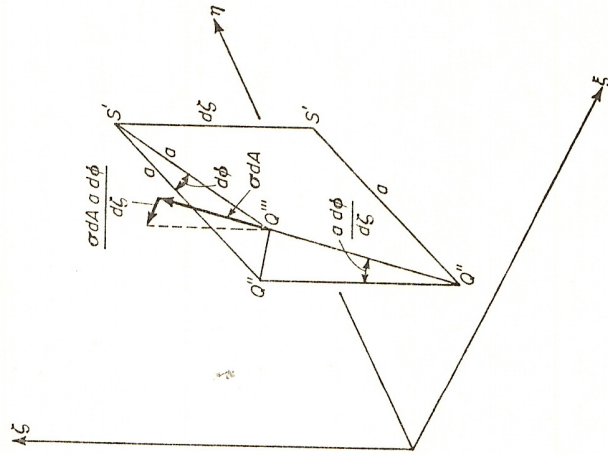


図 2.37 2つの隣接断面に生じるその差によるねじり

M_{z2} として働く3番目のものは $d\xi$ だけ離れた2つの断面相互の間のその変化に差が生じ (図 2.37), この結果微小面積に作用する力 σdA (引張り力を正とする) が z 軸に角 $\alpha(d\phi/d\xi)$ 傾くことよって生じる。この力の成分は $\sigma dA(\alpha d\phi/d\xi)$ であり、この力によってせん断中心のまわりに生じるねじりモーメントは

$$dM_{z3} = -a(\sigma dA) \left(\frac{d\phi}{dz} \right)$$

となる。全断面について積分すると、つぎのようになる。
x, y 方向の抵抗力の和

$$M_{z3} = -\frac{d\phi}{dz} \int_A \sigma a^2 dA \quad (2.85)$$

$$\int_A \sigma a^2 dA = \bar{K} \quad (2.86)$$

とおき、高次の微小項を無視して $d\zeta \approx dz$ に注意すると、つぎの式が得られる。

$$M_{z3} = -\bar{K} \frac{d\phi}{dz} \quad (2.87)$$

最後の4番目のねじりモーメントとして、端部に作用するせん断力によるねじりモーメントがある (図 2.38)。これは、 $M_{z4} + R_y u + R_x v = 0$ なる関係と式 (2.79) から定められる R_x, R_y の値を用いると

$$M_{z4} = -\frac{v}{L}(M_{Ty} + M_{Bx}) - \frac{u}{L}(M_{Tx} + M_{By})$$

変形の影響

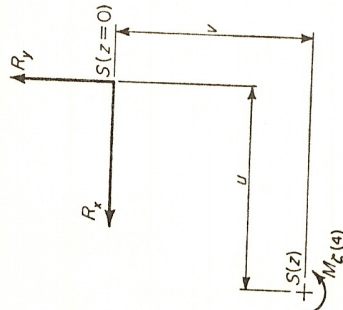


図 2.38 材端に働くせん断力によるねじり

変形の影響 による外力モーメント

$$M_z = M_{z0}\phi' + M_{y0}v' + P_{y0}u' - P_{x0}v' - \bar{K}\phi' - \frac{v}{L}(M_{Ty} + M_{Bx}) - \frac{u}{L}(M_{Tx} + M_{By}) \quad (2.89)$$

以上の結果、z 軸に沿った任意の断面に作用するすべてのモーメント M_z, M_y, M_x が明らかになった。

これらの外力モーメントと部材の抵抗モーメントとを等しいとおこう。まず、式 (2.27) から

$$M_z = -EI_z \phi'' \quad M_y = +EI_y \phi''$$

となる。さらに、式 (2.65) から、ねじりモーメントについては

$$M_x = GK_T \phi' - EI_0 \phi''$$

をうる。曲げ剛性 (bending stiffness) を

$$B_x = EI_x \quad B_y = EI_y \quad (2.90)$$

と定義し、St. Venant のねじり剛性 (St. Venant torsional stiffness) を

$$C_T = GK_T \quad (2.91)$$

そり剛性 (warping stiffness) を

$$C_W = EI_0 \quad (2.92)$$

と定義するならば、これらの式を整理し、式 (2.80)、式 (2.81) で表わされる M_x, M_y を式 (2.82)、式 (2.89) に代入すると、最後につきの微分方程式が求められる。

$$B_x \phi'' + Pv - \phi \left[M_{By} - \frac{z}{L}(M_{Ty} + M_{Bx}) + Px_0 \right]$$

$$= M_{Bx} - \frac{z}{L}(M_{Tx} + M_{By}) \quad (2.93)$$

$$B_y \phi'' + Pu - \phi \left[M_{Bx} - \frac{z}{L}(M_{Tx} + M_{By}) - Py_0 \right]$$

$$= -M_{By} + \frac{z}{L}(M_{Ty} + M_{Bx}) \quad (2.94)$$

$$C_W \phi''' - (C_T + \bar{K}) \phi' + u' \left[-M_{Bx} + \frac{z}{L}(M_{Bx} + M_{Tx}) + Py_0 \right]$$

$$- v' \left[M_{By} - \frac{z}{L}(M_{Ty} + M_{Bx}) + Px_0 \right]$$

$$- \frac{v}{L}(M_{Ty} + M_{Bx}) - \frac{u}{L}(M_{Tx} + M_{By}) = 0 \quad (2.95)$$

これらの3つの微分方程式は、図 2.30 に示す部材の任意の断面でのつり合い条件を表わしている。微小変形の仮定に基づいて、 u, v, ϕ, ϕ' などを含むすべての高次の項を無視した結果、3つの変位量 u, v, ϕ , および、これらを微分したものに關して線形式になっている。この3つの式は互いに独立ではない。例えば、強軸まわりの曲げに關連した式 (2.93) は 2.4 節では、ねじり式にのみ關連していたねじり角 ϕ をも含んでいる。この3つの式を用いて、はり、柱、はり-柱の挙動について、この章に続く3つの章で検討しよう。重ね合わせの法則を使うことによる簡単さを犠牲にした結果、これらの3つの式を使えば、前に扱った独立式によるよりも、部材の挙動をはるかに詳しく調べることができ、この式を用いて始めて弾性座屈問題を解くことができ、さらに、非弾性領域での座屈問題に対する理解を深めることもできる。

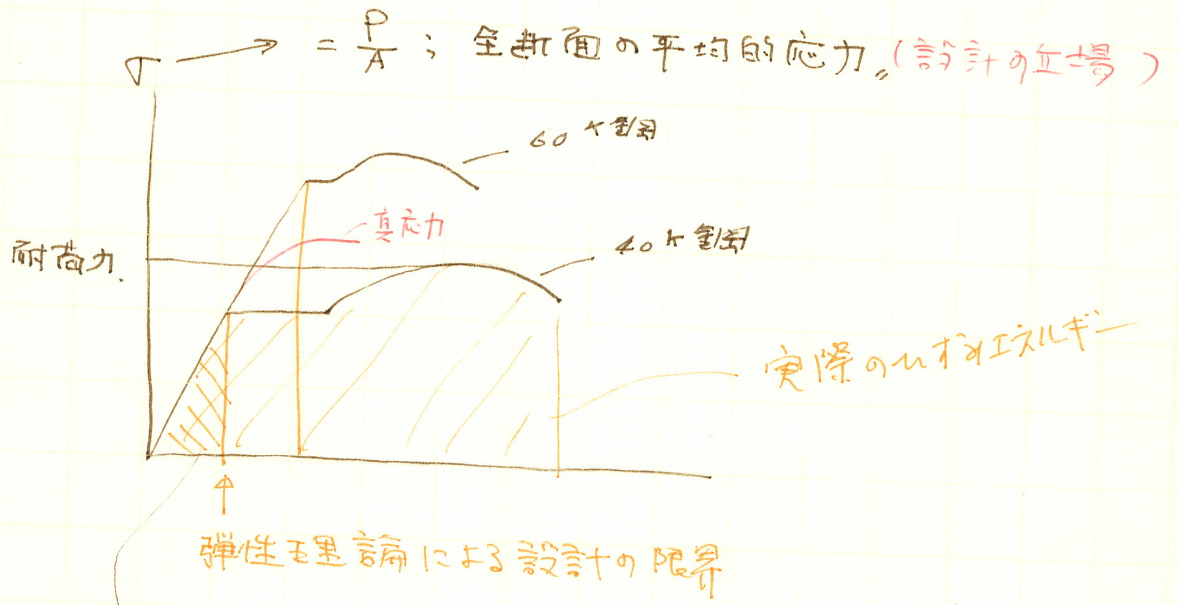
参考文献

2. 1 S.P. Timoshenko and J.N. Goodier, *Theory of Elasticity*, 2nd ed. (New York: McGraw-Hill Book Company, 1951), p. 1.
2. 2 F.B. Seely and J.O. Smith, *Advanced Mechanics of Materials* (New York:

1/17.

構成方程式 $\sigma = E \cdot \epsilon$

実際の S-S 図.



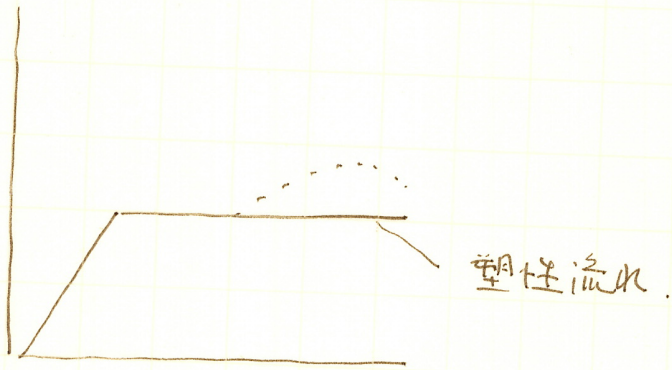
① 実際はこまでしか使われる → もったいない

② 耐荷能力を調べたい。

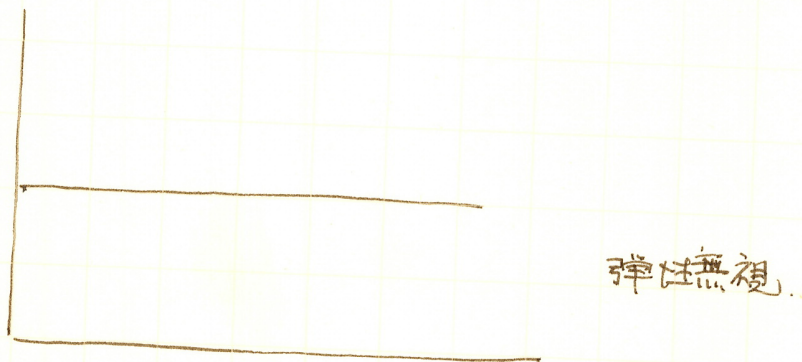
↓

塑性設計法
塑性座屈

strain-hardness は σ の ϵ で無視.



弾塑性材料.



剛塑性材料.

(塑性加工を σ においてのモデル)

複合応力下の降伏



降伏条件 (Yield Condition)

$$f(\sigma, \epsilon) = 0$$

降伏までは $\sigma = E \cdot \epsilon$

$\therefore f(\sigma_x, \sigma_y, \sigma_z, \tau_{xy}, \tau_{yz}, \tau_{zx}) = 0 \dots$ 任意の座標軸

応力, ひずみはテンソルを構成する.



不偏量が存在する.

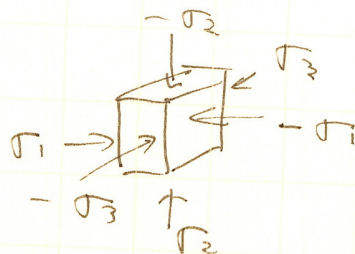
< 座標軸に無関係に条件は存在する >

主応力軸に絞る座標軸で考える.

$\langle \sigma_1, \sigma_2, \sigma_3 \rangle$

$$f(\sigma_1, \sigma_2, \sigma_3) = 0$$

たとえば



$\sigma_1 = \sigma_2 = \sigma_3$

で降伏したとすると, 体積は0になる → あげない.



→ この状態では, 降伏は起こり得ない

よって

$$\sigma_1 = s_1 + s$$

$$\sigma_2 = s_2 + s$$

$$\sigma_3 = s_3 + s$$

$$s = \frac{1}{3}(\sigma_1 + \sigma_2 + \sigma_3)$$

stress deviation (偏差応力)

$$s_1 = \sigma_1 - s$$

$$s_2 = \sigma_2 - s$$

$$s_3 = \sigma_3 - s$$

s が降伏に関係することはない。

↓

$$f(s_1, s_2, s_3) = 0$$

…… 1, 2, 3 の順序 (座標の決め方)
に無関係である

↓

f は, 1, 2, 3 について対称
である。(数学的に)

対称な

変数がある関数は, 3つの対称な式の和で
表わされる。

*

(参考)

任意の座標軸に因する不偏量.

$$J_2 = \frac{1}{2} (\sigma_x^2 + \sigma_y^2 + \sigma_z^2) + \tau_{xy}^2 + \tau_{yz}^2 + \tau_{zx}^2$$

$$J_3 = \begin{vmatrix} \sigma_x & \tau_{xy} & \tau_{xz} \\ \tau_{yx} & \sigma_y & \tau_{yz} \\ \tau_{zx} & \tau_{zy} & \sigma_z \end{vmatrix}$$

τ_{ij} は stress deviation である.

$$f(\delta_i) = 0 \quad ; \quad i=1, 2, 3.$$

$$J_1 = \delta_1 + \delta_2 + \delta_3 \quad \dots \dots \text{降伏条件とはならない.}$$

$$J_2 = \frac{1}{2} (\delta_1^2 + \delta_2^2 + \delta_3^2)$$

$$J_3 = \frac{1}{3} (\delta_1^3 + \delta_2^3 + \delta_3^3)$$

Mises の降伏条件.

$$J_2 - k^2 = 0$$

単純引張の場合. $*$ ($\frac{\sigma}{3}$)

$$\delta = \frac{1}{3} (\sigma_x + \sigma_y + \sigma_z) = \frac{\sigma_x}{3}$$

$$\left\{ \begin{array}{l} \delta_x = \sigma_x - \delta = \frac{2\sigma_x}{3} \\ \delta_y = \sigma_y - \delta = -\frac{\sigma_x}{3} \\ \delta_z = -\frac{\sigma_x}{3} \end{array} \right.$$

$$\tau_{ij} = 0.$$

$$\therefore J_2 = \frac{1}{2} \left(\frac{4}{9} + \frac{2}{9} \right) \sigma_x^2 = \frac{1}{3} \sigma_x^2$$

$$\therefore \frac{1}{3} \sigma_x^2 - k^2 = 0.$$

単純せん断の場合

$$\tau^2 - k^2 = 0.$$

$$k = \tau_y \uparrow$$

(yield)

$$\therefore \sigma_x^2 = 3\tau_y^2$$

$$\sigma_x = \sqrt{3} k = \sqrt{3} \tau_y$$

$$\therefore \sigma_y \uparrow = \sqrt{3} \tau_y \uparrow$$

yield

$$\left(\frac{\sigma}{\tau}\right)_{\text{yield}} = \sqrt{3} //$$

----- "道示" をこの使われたい。

Tresca の降伏条件.

$$\left\{ \begin{array}{l} \tau = \frac{1}{2} (\sigma_2 - \sigma_1) = \frac{1}{2} (s_2 - s_1) \\ \tau = \tau_y \quad \text{のとき降伏する} \\ \quad \uparrow \\ \quad \text{yield} \end{array} \right.$$

$$[(s_2 - s_1)^2 - 4\tau_y^2] [(s_1 - s_3)^2 - 4\tau_y^2] [(s_3 - s_2)^2 - 4\tau_y^2] = 0$$

... 1, 2, 3 軸に対称 //

↓
不偏量で表わす.

$$\tau_y = k \quad (\text{単位せん断力})$$

$$4J_2^3 - 27J_3^2 - 36k^2J_2^2 + 96k^4J_2 - 64k^6 = 0$$

↓

$$J_2 = 2\tau_y$$

$$\left(\frac{\sigma}{\tau}\right)_{\text{yield}} = 2 //$$

J_2 の物理的意味は何か?

7 矩形断面をもった梁の曲げ

更に完全塑性材料の理論の基本概念を示すために、矩形断面を持った単純支持の角柱状の梁の曲げを考える。梁の座標軸と寸法を図8に示す。梁はz軸の方向に働く一様分布荷重pを受けるとする。

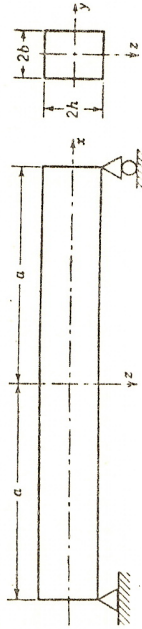


図8 単純支持の梁

梁の理論によって

σy = σz = τyz = τxy = 0 (7.1)

簡単のために

σx = σ, τzx = τ (7.2)

偏差応力の成分は

I = 1/3(σz + σy + √2) = 1/3σ

Sx = 2/3σ, Sy = -1/3σ, Sz = -1/3σ

τyz = 0, τzx = τ, τxy = 0 (7.3)

Mises の降伏条件 4.5 は

Jz = 1/2(Sx^2 + Sy^2 + Sz^2) + τxy^2 + τyz^2 + τzx^2 = k^2 (7.4)

となる。

梁の理論の普通の仮定を採用する。すなわち、剪断応力 τ は曲げ応力 σ に比べて小さく、梁の軸の撓み w = w(x) は梁の断面の寸法に比べて小さく、断面は曲げの際に平面であって撓んだ梁の軸に垂直である。最初の仮定によって式 7.4 は

|σ| = k√3 (7.5)

になる。他の二つの仮定によって、梁の軸方向の歪は

- 1) 繰返し荷重を受ける梁の解析に対しては文献6参照。他の断面を持つ梁の曲げの議論には文献7, 第11章参照。
2) 塑性領域では τ が実際に消える(本章補遺)。

W. Prager P9. Hodge 塑性学" 文善



7. 矩形断面をもった梁の曲げ

ε_x = du_x/dx = d/dx ∫_0^z ε_x dz = 0

ε_x = d/dx ∫_0^z ε_x dz = 0

ε_x = -z d^2w/dx^2 (7.6)

で与えられる。従って Hooke の法則により材料が弾性的であるすべての点で

σ = -Ez d^2w/dx^2 (7.7)

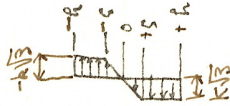
(E=縦弾性係数)。この式は σ が z の奇函数であることを示している。従って任意の与えられた断面で、z = ±h で同時に降伏応力に達し、塑性領域は断面上部と下部から対称的に拡がる。これらの塑性領域では

σ = ±k√3 (7.8)

ここで、右辺の正号は 7.7 で与えられる σ が正である弾性領域に接している塑性領域に適用される。

z = ±ξ(x), (0 < ξ ≤ h) を弾性領域の境界面とする。σ は z の連続函数でなければならぬので、7.7 と 7.8 から一部弾性で一部塑性の断面では

-h ≤ z ≤ -ξ に対し σ = -k√3
-ξ ≤ z ≤ ξ に対し σ = kξ√3/ξ
ξ ≤ z ≤ h に対し σ = k√3 (7.9)



である。

任意の断面 z の応力 σ による曲げモーメントは次の式で与えられる。

M(x) = 4b ∫_0^h σ(x, z) z dz (7.10)

7.7, 7.8 及び 7.9 を 7.10 に代入して積分すると 一般の場合 幅 2b 高さ 2h の断面 M(x) = ∫_{-h}^h σ(x, z) b z dz

塑性断面では

M(x) = -4/3 Ebh^3 d^2w/dx^2 (7.11)

弾性断面では

M(x) = 2√3 bkh^2 (7.12)

弾性断面では

M(x) = 2/3 √3 kb(3h^2 - ξ^2) (7.13)

函数 ξ を決めるために、内部応力によるこの曲げモーメントは既知の外部荷重の生ずる曲

げモーメントに等しいとおきその式を ξ に対して解けばよい。問題の単純支持の梁に対しては一般分布荷重による曲げモーメントは

$$M(x) = \frac{1}{2} p(a^2 - x^2) \quad (7.14)$$

で与えられる。荷重 p は梁の一部が弾性的になるように十分大きいと仮定する。一部分弾性的であり一部塑性的な断面に対しては、7.13 と 7.14 の右辺を等置して

$$\frac{2}{3} \sqrt{3} kb(3h^2 - \xi^2) = \frac{1}{2} p(a^2 - x^2) \quad (7.15)$$

を得る。

$$p_0 = 4\sqrt{3} kb \quad (7.16)$$

$$\rho = \frac{p}{p_0} \left(\frac{a}{h} \right)^2 \quad (7.17)$$

と置くと式 7.15 は

$$\frac{1}{3} \left(\frac{\xi}{h} \right)^2 - \rho \left(\frac{x}{a} \right)^2 = 1 - \rho \quad (7.18)$$

と書ける。弾塑性断面に対しては ξ は

$$0 < \xi < h \quad (7.19)$$

を満足しなければならないので $\frac{p}{p_0}$ は

$$\frac{2}{3} < \rho < 1 \quad (7.20)$$

を満足しなければならない。

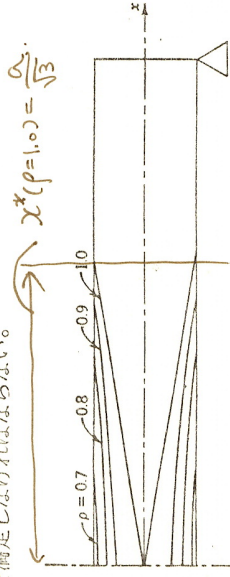


図9 $\xi=0; \rho=\frac{2}{3}$ 図8の梁の中の塑性領域の生長

足する ρ の種々なる値に対する函数 ξ を示している。荷重 p 従ってパラメーター ρ は 0 から単純に増すと仮定する。 $\rho < \frac{2}{3}$ に対しては梁は、終始弾性的で応力と歪の分布は梁の普通の理論で定めることができる。7.20 を満足する ρ に対しては弾性的な梁の領域がある。 ρ を $\frac{2}{3}$ から 1 に増すと塑性領域は梁の中で増加する。この間の任意の瞬間では

7. 矩形断面をもった梁の曲げ

拘束された塑性変形が起っている。最後に $\rho = 1$ に対して梁の上下部の塑性領域が中央で相合し無制限の塑性流れになる。梁はそれ以上の荷重を荷うことはできない。

次に梁の撓み w を決定しよう。 w は x の偶函数であるから梁の $0 \leq x \leq a$ の部分だけを考えれば十分である。7.7 と $\alpha = \xi$ の時に $\sigma = k\sqrt{3}$ という事実から断面が一部分塑性の処では、梁の中央部上で

$$\frac{d^2 w}{dx^2} = - \frac{k\sqrt{3}}{E\zeta} \quad (7.21)$$

一方梁の弾性的の端の部分では、7.11 及び 7.14 から

$$\frac{d^2 w}{dx^2} = - \frac{3}{8} \frac{p(a^2 - x^2)}{Ebh^3} \quad (7.22)$$

7.18 を ξ に関して解きその結果を 7.21 に代入すると

$$\frac{d^2 w}{dx^2} = - \frac{k}{Eh} \sqrt{1 - \rho + \rho x^2/a^2} \quad (7.23)$$

を得る。これを x に関して積分し、 $x=0$ で $dw/dx = 0$ ということを考慮して

$$\alpha = \frac{a\sqrt{1-\rho}}{\sqrt{\rho}} \quad (7.24)$$

と置くと

$$\frac{dw}{dx} = \frac{-\alpha k}{Eh\sqrt{1-\rho}} \sinh^{-1} \frac{x}{\alpha} \quad (7.25)$$

で

$$w - w_0 = \frac{-\alpha^2 k}{Eh\sqrt{1-\rho}} \left(\frac{x}{\alpha} \sinh^{-1} \frac{x}{\alpha} - \sqrt{1 + \frac{x^2}{\alpha^2}} + 1 \right) \quad (7.26)$$

但し w_0 は $x=0$ の未知の変位である。7.25 と 7.26 は 7.18 で計算した ξ が h の値となる断面まで成立する、すなわち

$$x = x^* = a\sqrt{\frac{3\rho-2}{3(1-\rho)}} = a\sqrt{1-\frac{2}{3\rho}} \quad (7.27)$$

この断面で 7.25 と 7.26 から

$$\frac{dw}{dx}(x^*) = \frac{-\alpha k}{Eh\sqrt{1-\rho}} \sinh^{-1} \sqrt{\frac{3\rho-2}{3(1-\rho)}} \quad (7.28)$$

及び

$$w(x^*) - w_0 = \frac{-\alpha^2 k}{Eh\sqrt{1-\rho}} \left[\sqrt{\frac{3\rho-2}{3(1-\rho)}} \times \sinh^{-1} \sqrt{\frac{3\rho-2}{3(1-\rho)}} - \sqrt{\frac{1}{3(1-\rho)}} + 1 \right] \quad (7.29)$$

さて式 7.22 を $x = x^*$ の初期条件 7.28, 7.29 で積分すると、梁の弾性領域 $x^* \leq x \leq a$ に対し

$$w = w_0 - \frac{3}{16} \frac{p}{Ebh^3} \left(\frac{\alpha^2 \rho}{1-\rho} x^2 - \frac{x^4}{6} \right) - \frac{\alpha x}{Eh\sqrt{1-\rho}} \left[k \sinh^{-1} \sqrt{\frac{3\rho-2}{3(1-\rho)}} - \frac{1}{12} \frac{p\alpha^2}{bh^2} \frac{3\rho+1}{1-\rho} \sqrt{\frac{3\rho-2}{3}} \right] + \frac{\alpha^2 k}{Eh\sqrt{1-\rho}} \left[\frac{1}{\sqrt{3(1-\rho)}} - 1 \right] - \frac{p\alpha^4}{96Ebh^3} \frac{9\rho^2-4}{(1-\rho)^2} \quad (7.30)$$

積分常数 w_0 は 7.30 で与えられる w は $x = a$ で消えるという条件からみつかる。

代数的計算を若干行って

$$w_0 = \frac{\alpha^2 p_0}{Ehb} \left[\frac{1}{4\sqrt{3\rho}} \sinh^{-1} \sqrt{\frac{3\rho-2}{3(1-\rho)}} + \frac{\sqrt{1-\rho}}{4\sqrt{3}} \frac{2\rho^2-1}{\rho} - \frac{3\rho+1}{12\rho} \sqrt{\frac{\rho(3\rho-2)}{3}} \right] \quad (7.31)$$

この中央の変位 w_0 を中央断面の外縁で始めて降伏応力に達する瞬間の変位

$$w_0^* = \frac{5}{48} \frac{p_0 a^2}{Ebh} \quad (7.32)$$

に比較するのは興味がある。図 10 は w_0/w_0^* 対 ρ の関係を示している。荷重 P が中央断面全部に降伏を生ずる荷重の 95% 以下に留る

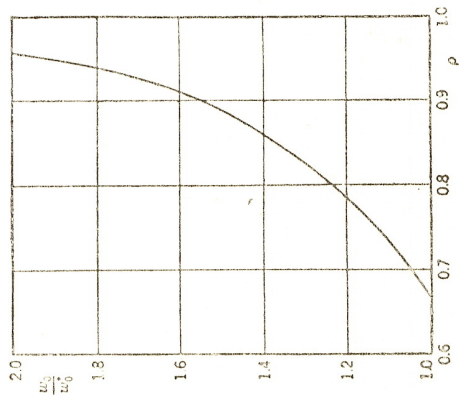
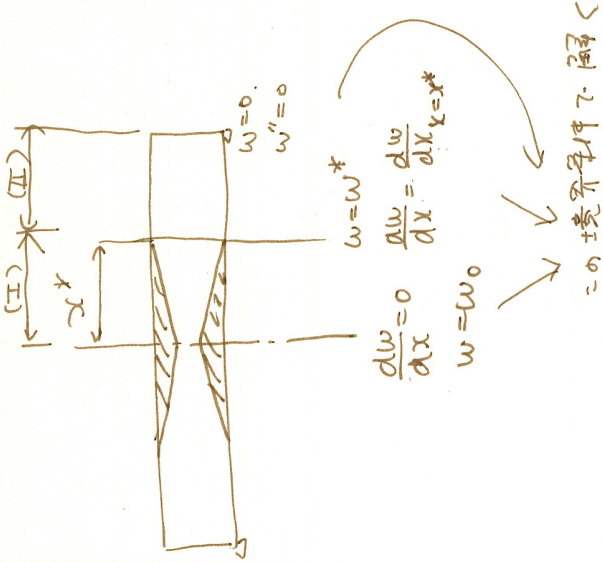


図 10 図 8 の弾塑性梁の中央の撓み

7. 矩形断面をもった梁の曲び

限りこの比が 2 以下であることは注目に値する。このことは拘束された粘性流れの金額域で永久変が弾性歪と同程度の大きさであることを示している。



この境界条件で解く

第2章 補 遺

弾塑性梁の剪断応力

第7節で降伏条件において τ が省略できるという仮定をした。次に 7.1 の仮定の成立する梁の理論の枠内では、 τ は梁の弾性領域では実際に 0 であることを示す。

例えば梁の下方の弾性領域で函数 $\sigma = \sigma(x, z)$, $\tau = \tau(x, z)$ を定めるためには、釣合方程式

$$\frac{\partial \sigma}{\partial x} + \frac{\partial \tau}{\partial z} = 0 \quad (\text{A.1})$$

と降伏条件

$$\sigma^2 + 3\tau^2 = 3k^2 \quad (\text{A.2})$$

及び境界条件

$$\tau(x, h) = 0. \quad (\text{A.3})$$

を使う。A.2 及び A.3 から

$$\sigma(x, h) = k\sqrt{3} \quad (\text{A.4})$$

式 A.1 から

$$\frac{\partial \tau}{\partial z}(x, h) = 0 \quad (\text{A.5})$$

A.2 を z に関して微分すると

$$\sigma \frac{\partial \sigma}{\partial z} + 3\tau \frac{\partial \tau}{\partial z} = 0 \quad (\text{A.6})$$

この式と式 A.5 から

$$\frac{\partial \sigma}{\partial z}(x, h) = 0 \quad (\text{A.7})$$

A.1 を z に関して微分し A.7 を使えば

$$\frac{\partial^2 \tau}{\partial z^2}(x, h) = 0 \quad (\text{A.8})$$

同様に A.6 を z に関して微分し、A.5, A.7 及び A.8 を使えば

$$\frac{\partial^2 \sigma}{\partial z^2}(x, h) = 0 \quad (\text{A.9})$$

こういうふうが続けると σ 及び τ の高次の微分も亦 $z = h$ に沿って消える。このことは A.3, A.4 で指定されたように $z = h$ に沿ってだけでなく、梁の下方の弾性領域で

$$\sigma = k\sqrt{3}, \quad \tau = 0 \quad (\text{A.10})$$

であることを示している。

荷重の大きさ p を増すと、弾塑性断面の弾性領域の高さ $2z_0$ は減少し、同時にこの断面の剪断力は増加する。断面の弾性部分は剪断応力を持たないから弾性部分の剪断応力が大きくなるのが期待される。任意の弾塑性断面の弾性部分の剪断応力の分布を決定するために式 7.9 の第2式と式 7.18 を x に関して微分する。得られた第2式の $\frac{d\tau}{dx}$ を第1式に代入すると、

$$\frac{\partial \sigma}{\partial x} = -\frac{3\sqrt{3}k}{\zeta^3} \rho \frac{h^2}{a^2} xz \quad (\text{A.11})$$

もし、 $\frac{\partial \sigma}{\partial x}$ に対するこの式を釣合方程式(式 A.1)に代入し、積分して $z = \pm \zeta$ で $\tau = 0$ であることに注意し、 ρ を p 及び 7.17 及び 7.16 により梁の各寸法で表わすと、

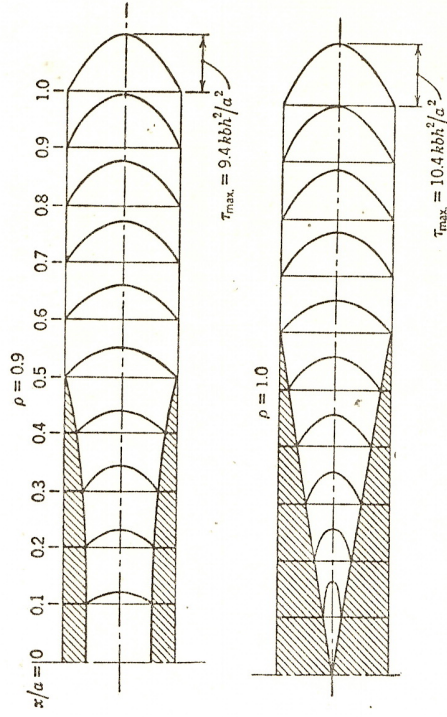


図 8 梁の剪断応力

$$\tau(x, z) = -\frac{3}{8} \frac{\partial x}{\partial z} \left(1 - \frac{z^2}{h^2}\right) \quad (\text{A. 12})$$

この公式は弾塑性断面の剪断応力を与える。弾性断面では剪断応力は普通の方法で定まる(例えば文献 8, p. 122 以下参照)。ここで考えた梁に対して弾性断面では

$$\tau(x, z) = -\frac{3}{8} \frac{\partial x}{\partial h} \left(1 - \frac{z^2}{h^2}\right) \quad (\text{A. 13})$$

梁の種々の断面の τ のグラフを図 11 に $\rho = 0.9$ 及び $\rho = 1.0$ に対し示してある。剪断応力の最大値は尚梁の弾性断面で起る。興味あることは、 $\rho = 1$ なる極限の場合に最大剪断応力は各弾塑性断面に対して同じである。

問題

1. 等長の円柱と共軸円筒からできている系を考えて、これが平行な剛体の板の間にはさまって大きさが等しく方向反対の軸方向に働く荷重 P を荷っているとす。円柱と円筒の内壁の間には十分間隙があつて、円筒により円柱には横方向の力が及ばないとす。この系の挙動を第 6 節の幾何学的の言葉で論じ、これが第 6 節の種々の原理を満足することを示せ。

2. 問題 1 の系に更にもう一つの共軸円筒を加えてこの系の挙動を論ぜよ。この場合力点と至点は三つの直角座標を持ち、釣合方程式は平面を表わし、二つの適合方程式は直線を表わす。

3. *図 6 に示すトラスが垂直荷重 P だけでなくて (トラスの平面内で) 水平荷重 Q を受ける。この場合には、もはや $F_1 = F_3$ と仮定することはできない。釣合方程式は 3 次元空間の直線と定め、適合条件は平面を定める。次の場合の系の挙動を論ぜよ。

(a) 荷重 P 及び Q が $P = kQ$ で結び付けられている。

(b) P を一定にし Q を変化させる。

(c) P と Q を任意に変化させる。

[これらの概念をもつと一般のトラスに拡張できて、 k 次の釣合部分空間と $(n-k)$ 次の適合部分空間を持つ n 次元空間を与える。]

4. 次の型式の荷重を受ける図 8 の梁の弾塑性的挙動を論ぜよ。

(a) $x = b$, $x = -b$ で集中荷重 P 。

b) $x = b$ で単一集中荷重 P 。

(c) $x = b$ から $x = c$ まで拡がっている一様分布荷重 P 。

5. 次の型式の荷重を受ける片持梁の弾塑性的挙動を論ぜよ。

(a) 梁の全長にわたって一様分布荷重 P 。

(b) $x = b$ で集中荷重 P 。

6. $x = b$, $x = -b$ で単純支持の長さ $2a$ の梁がある ($0 < b < a$)。次の荷重を加えた時の弾塑性的挙動を論ぜよ。

(a) 中央 $x = 0$ に集中荷重 P 。

(b) $x = -a$ から $x = -b$ までと $x = b$ から $x = a$ まで一様分布荷重 P 。

(c) $x = c$, $b < c < a$ に集中荷重 P 。

パラメーターの比によって塑性領域は支持点又は荷重を加えた点から始まることに注意せよ。

7. 問題 5a の剪断応力の分布を求めよ。荷重 P が限界値に近づくと剪断応力は弾塑性断面の弾性部分だけで大きくなる。塑性領域が梁の中央で出来始める P の値を求めよ。

8. 問題 4, 5b, 6 で考えた梁の剪断応力の分布を求めよ。荷重が限界荷重に近い時の剪断応力の影響を論ぜよ。

文 献

1. G. Colonnetti, De l'équilibre des systèmes élastiques dans lesquelles se produisent des déformations plastiques, *J. Math. Pur. Appl.* (9) 17, 233—255 (1938); see also *idem*, Elastic equilibrium in the presence of permanent set, *Q. Appl. Math.* 7, 353—362 (1950).

2. S. M. Feinberg, The principle of limiting stress (Russian), *Prikladnaia Matematika i Mekhanika* 12, 63—68 (1948).

3. A. Haar and Th. v. Kármán, Zur Theorie der Spannungszustände in plastischen und sandartigen Medien, *Goettinger Nachr., math.-phys. Kl.* 1909, 204—218 (1909).

4. W. Prager and P. S. Symonds, Stress analysis in elastic-plastic structures, *Proc. 3rd Symposium on Appl. Math.* (Ann Arbor, Mich., June 14—16, 1949), McGraw-Hill Book Co., New York, 1950, pp. 187—197.

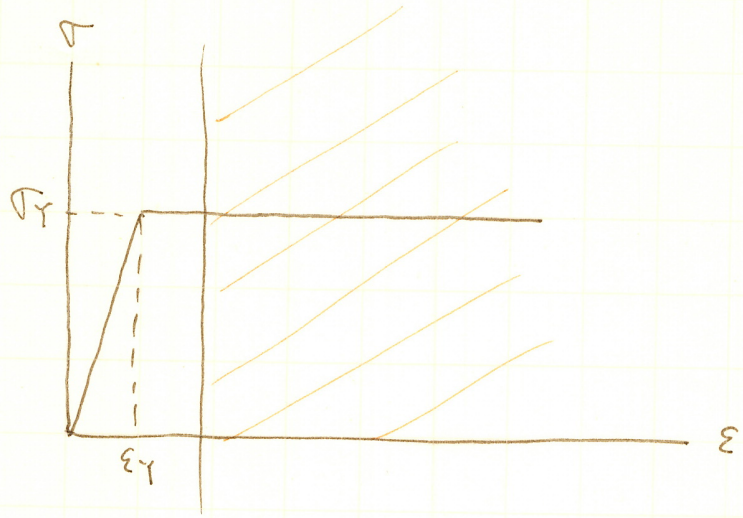
5. H. J. Greenberg, Complementary minimum principles for an elastic-plastic material, *Q. Appl. Math.* 7, 85—95 (1949).

6. B. G. Neal, The behavior of framed structures under repeated loading, to appear in *Q. J. Mech. Appl. Math.*

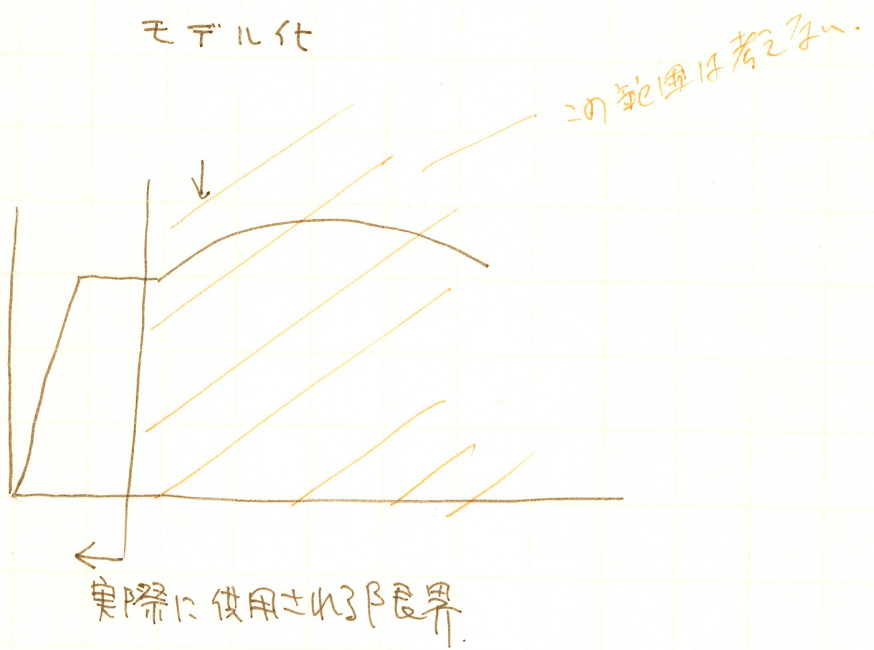
7. V. V. Sokolovsky, *Theory of plasticity* (Russian with English chapter summaries), Moscow, 1946.

8. F. B. Seely, *Resistance of materials*, 3rd ed., John Wiley & Sons, Inc., New York, 1947.

1/24.



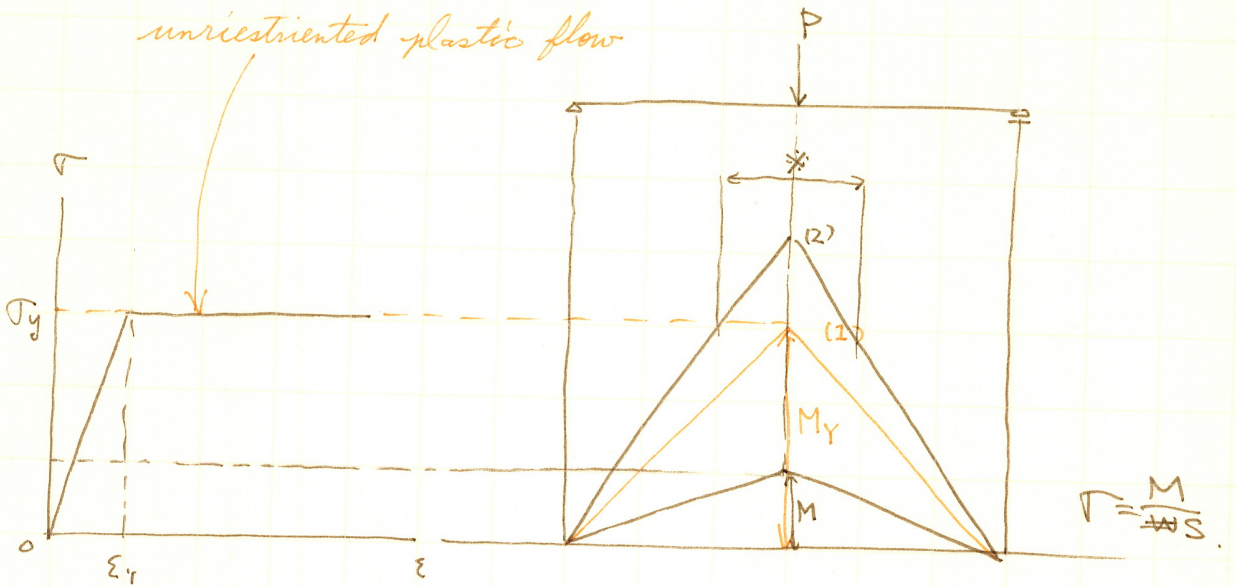
モデル仕



実際に使用される限界

この範囲は考慮

無制限塑性流れ,
unrestricted plastic flow

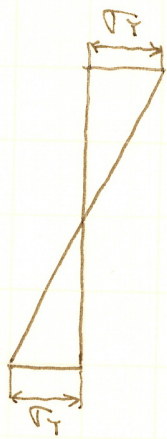


*の範囲は応力かたまり
に線形に対応しなくなった。

(1) の状態

$$\sigma = M/S$$

$$M_y = \sigma_y \cdot S$$

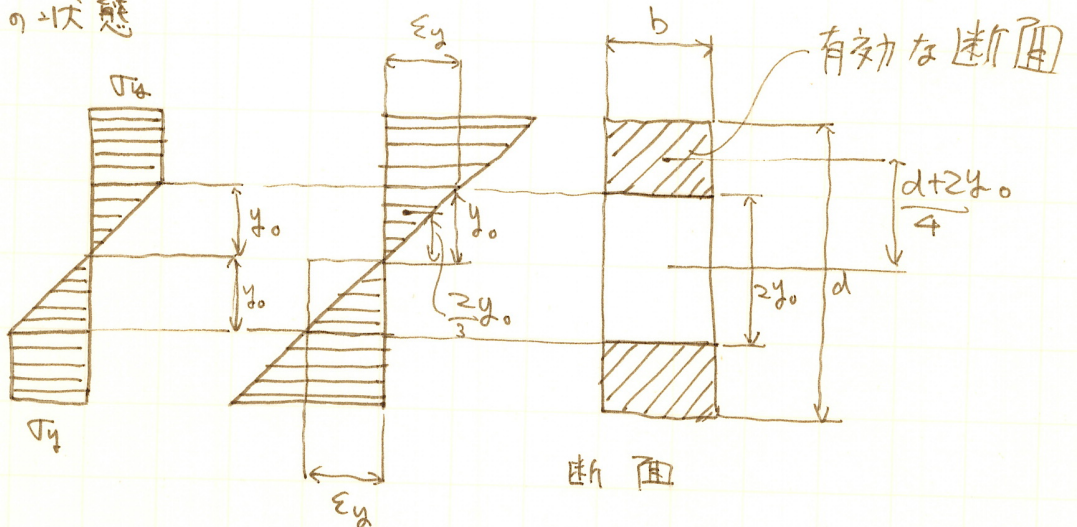


応力



ひずみ

(2) の状態



断面

M_y : 降伏モーメント

(yielding moment)

弾性塑性

$$M_{yp} = \sigma_y \cdot b(d - 2y_0) \cdot \frac{d + 2y_0}{4}$$

従来の設計における
限界.

$$+ \sigma_y \times b \times y_0 \times \frac{1}{2} \times \frac{2}{3} y_0 \times 2$$

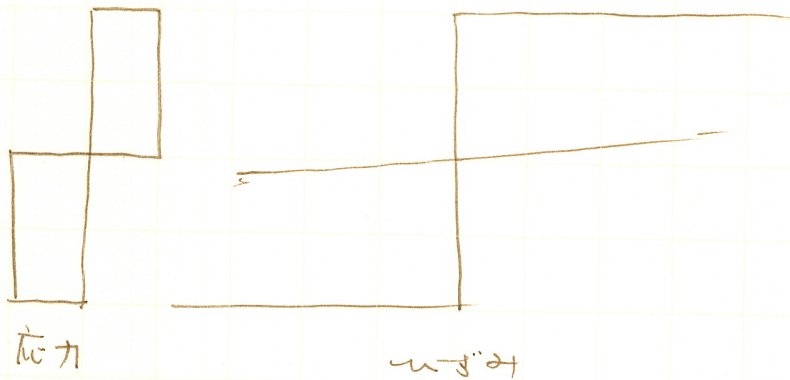
$$= \sigma_y b \left\{ \frac{d^2 - 4y_0^2}{4} + \frac{2}{3} y_0^2 \right\}$$

$$= \frac{\sigma_y b}{12} (3(d^2 - 4y_0^2) + 8y_0^2)$$

$$= \frac{\sigma_y b}{12} (3d^2 - 4y_0^2)$$

$$= \sigma_y b \left(\frac{d^2}{4} - \frac{y_0^2}{3} \right)$$

(3)



$$M_p = \sigma_y b \cdot \frac{d^2}{4} = \sigma_y \cdot Z$$

全断面降伏

M_p : 全塑性モーメント

(full plastic moment)

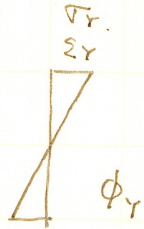
$$\frac{M_P}{M_y} = \frac{\sigma_y \cdot z}{\sigma_y \cdot S} = \frac{z}{S}$$

； 形状係数(断面形状だけの関数)

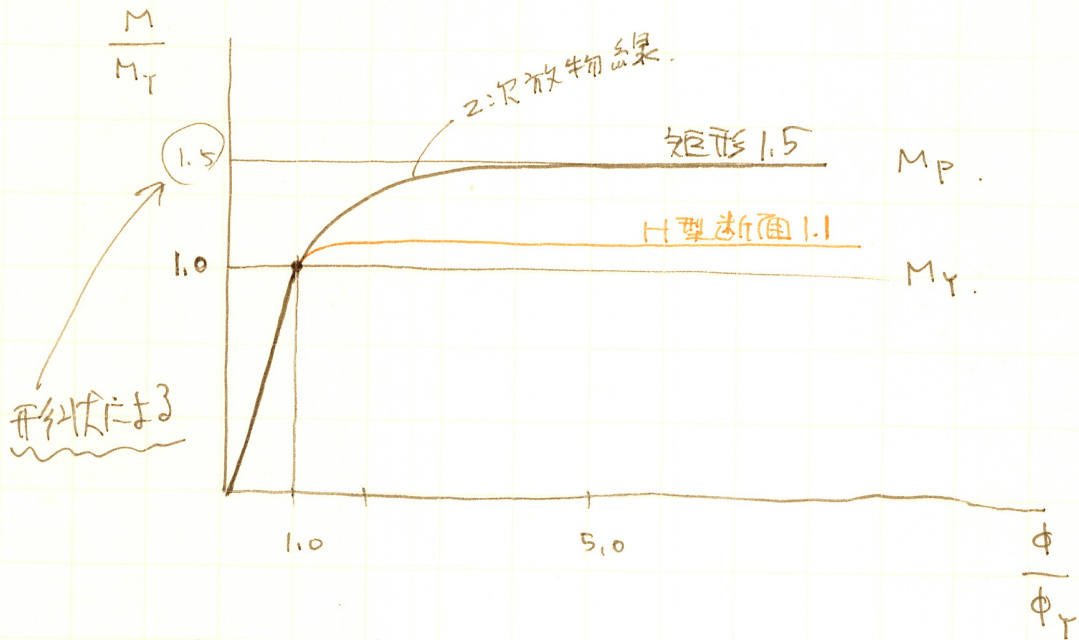
$$M_{Y.P} = \sigma_Y \left(z - \frac{b y_0^2}{3} \right)$$

$$y_0 = \frac{\sigma_Y}{E \phi}$$

$$\frac{h}{z} = \frac{\sigma_Y}{E \phi_Y}$$



$$\frac{M}{M_Y} = \frac{3}{2} \left\{ 1 - \frac{1}{3} \cdot \frac{1}{\left(\frac{\phi}{\phi_Y} \right)^2} \right\}$$



1/31.

鋼構造工学特論

レポート

9054.

橋梁研 皆川 勝

提出日 55/1/17

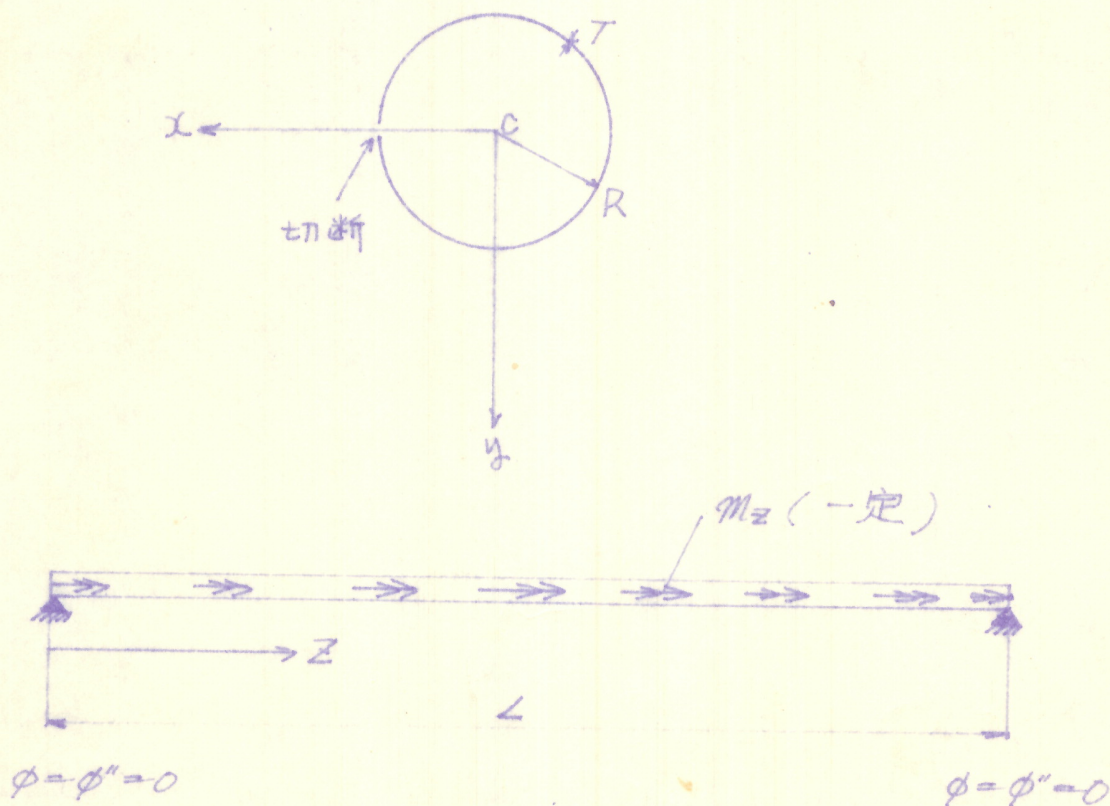
[課題 1]

次に示す単純支持円形薄肉開断面梁に、等分布ねじりモーメント M_z が作用する場合、どの程度まで耐え得るか検討する。

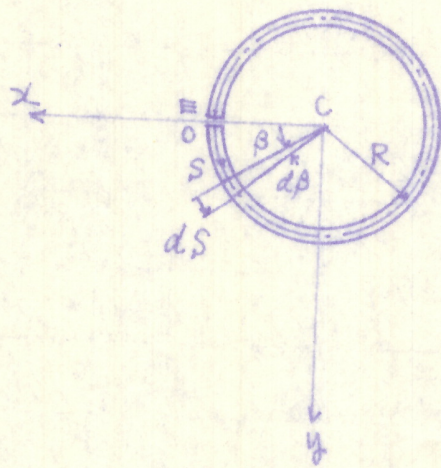
$$\frac{L}{R} = 20, \quad \frac{R}{T} = 24.$$

$$\sigma_{ta} = \sigma_{ca} = 1400 \text{ kg/cm}^2$$

$$E = 2.1 \times 10^6 \text{ kg/cm}^2$$



1) 断面諸量を算出する;



上図により、幾何的關係を求め;

$$S = R \cdot \beta, \quad dS = R d\beta,$$

$$x_1 = R, \quad y_1 = 0,$$

$$x = R \cos \beta, \quad y = R \sin \beta,$$

$$\rho = R \text{ (一定)}$$

図心に關する単位モーメント;

$$w = \int_0^S \rho ds = \int_0^{2\pi} R \cdot R d\beta = R^2 \beta$$

x軸に關する断面二次モーメント;

$$\begin{aligned} I_x &= \int_0^E y^2 t ds = \int_0^{2\pi} (R \sin \beta)^2 \cdot t \cdot R d\beta \\ &= R^3 t \left[-\frac{1}{4} \sin 2\beta + \frac{\beta}{2} \right]_0^{2\pi} = \pi R^3 t \end{aligned}$$

y軸に關するモーメント二次モーメント;

$$\begin{aligned} I_{wy} &= \int_0^E wy t ds = \int_0^{2\pi} R^2 \beta \cdot R \sin \beta \cdot t \cdot R d\beta \\ &= R^4 t [\sin \beta - \beta \cos \beta]_0^{2\pi} = -2\pi R^4 t \end{aligned}$$

せん断中心 ;

$$x_0 = I_{wy} / I_x = -2R, \quad y_0 = 0$$

せん断中心に關する単位モーメント;

$$\begin{aligned} w_0 &= \int_0^S \rho_0 ds = w + y_0 x_1 - y_0 x_2 - x_0 y_1 + x_0 y_2 \\ &= w - x_0 y_1 = R^2 \beta + 2R^2 \sin \beta = R^2 (2 \sin \beta + \beta) \end{aligned}$$

断面積；

$$A = \int_0^E T ds = 2\pi RT$$

単位をり；

$$\omega_m = \frac{1}{A} \int_0^E \omega_0 T ds - \omega_0$$

$$\int_0^E \omega_0 T ds = \int_0^{2\pi} R^2 (2\sin\beta + \beta) T \cdot R d\beta$$

$$= R^3 T \left[-2\cos\beta + \frac{1}{2}\beta^2 \right]_0^{2\pi}$$

$$= R^3 T [-2 + 2\pi^2 + 2] = 2\pi^2 R^3 T$$

$$\therefore \omega_m = \frac{2\pi^2 R^3 T}{2\pi RT} - R^2 (2\sin\beta + \beta)$$

$$= R^2 (\pi - 2\sin\beta - \beta)$$

をり1次モーメント；

$$S_{\omega} = \int_0^S \omega_m T ds = \int_0^{\beta} R^2 (\pi - 2\sin\beta - \beta) T R d\beta$$

$$= R^3 T \left[\pi\beta + 2\cos\beta - \frac{1}{2}\beta^2 \right]_0^{\beta}$$

$$= R^3 T \left[\pi\beta + 2\cos\beta - \frac{1}{2}\beta^2 - 2 \right]$$

Σ の 2 次モーメント :

$$\begin{aligned} I_{\omega} &= \int_0^E \omega_m^2 T dS = \int_0^{2\pi} R^4 (\pi - 2\sin\beta - \beta)^2 T \cdot R d\beta \\ &= R^5 T \int_0^{2\pi} (\pi^2 + 4\sin^2\beta + \beta^2 - 4\pi\sin\beta - 2\pi\beta + 2\beta\sin\beta) \\ &= R^5 T \left[\pi^2\beta + 2\beta - \sin 2\beta + \frac{\beta^3}{3} + 4\pi\cos\beta - \pi\beta^2 \right. \\ &\quad \left. - 4\beta\cos\beta + 4\sin\beta \right]_0^{2\pi} \\ &= R^5 T \left[2\pi^3 + 4\pi + \frac{8\pi^3}{3} + 4\pi - 4\pi^3 - 8\pi - 4\pi \right] \\ &= \pi R^5 T \left[\frac{2}{3}\pi^2 - 4 \right] \end{aligned}$$

2) 断面力

微分方程式

$$GK_T \phi'' - EI_w \phi'''' = -M_z$$

の一般解は次のようになる;

$$\phi = A + Bz + C \cosh \lambda z + D \sinh \lambda z - \frac{M_z}{2GK_T} z^2$$

$$\phi' = B + C\lambda \sinh \lambda z + D\lambda \cosh \lambda z - \frac{M_z}{GK_T} z$$

$$\phi'' = C\lambda^2 \cosh \lambda z + D\lambda^2 \sinh \lambda z - \frac{M_z}{GK_T}$$

境界条件.

$$z=0 \quad ; \quad \phi = \phi' = 0$$

$$z=l \quad ; \quad \phi = \phi' = 0$$

f)

$$i) \quad \phi_{z=0} = A + C = 0$$

$$ii) \quad \phi_{z=l} = A + Bl + C \cosh \lambda l + D \sinh \lambda l - \frac{M_z}{2GK_T} l^2 = 0$$

$$iii) \quad \phi''_{z=0} = C\lambda^2 - \frac{M_z}{GK_T} = 0$$

$$iv) \quad \phi''_{z=l} = C\lambda^2 \cosh \lambda l + D\lambda^2 \sinh \lambda l - \frac{M_z}{GK_T} = 0$$

iii) より,
$$C = \frac{m_E}{\lambda^2 G k_T}$$

=これを iv) に代入することにより D が求まる;

$$D = \frac{1}{\lambda^2 \sinh \lambda l} \cdot \frac{m_E}{G k_T} (1 - \cosh \lambda l)$$

また, C を ii) に代入すれば A が求まる;

$$A = - \frac{m_E}{\lambda^2 G k_T}$$

=これを ii) に代入すれば B が求まる;

$$B = \frac{m_E \cdot l}{2 G k_T}$$

よって,

$$\phi = \frac{m_E}{\lambda^2 G k_T} \left(-1 + \frac{l \lambda^2}{2} z + \frac{\sinh \lambda (l-z) + \sinh \lambda z}{\sinh \lambda l} - \frac{\lambda^2}{2} z^2 \right)$$

$$\phi' = \frac{m_E}{\lambda^2 G k_T} \left(\frac{l \lambda^2}{2} + \frac{-\lambda \cosh \lambda (l-z) + \lambda \cosh \lambda z}{\sinh \lambda l} - \lambda^2 z \right)$$

$$= \frac{m_E}{G k_T} \left(\frac{l}{2} + \frac{-\cosh \lambda (l-z) + \cosh \lambda z}{\lambda \sinh \lambda l} - z \right)$$

$$\phi'' = \frac{m_E}{G k_T} \left(\frac{\sinh \lambda (l-z) + \sinh \lambda z}{\sinh \lambda l} - 1 \right)$$

作用断面力はねじりモーメントのみであるから、直応力のせん断応力は次のようになる；

$$\begin{aligned}\sigma &= E\omega_m \phi'' \\ &= ER^2(\pi - 2\lambda \sin\beta - \beta) \frac{m_z}{GK_T} \left(\frac{\sinh\lambda(l-z) + \sinh\lambda z}{\sinh\lambda l} - 1 \right)\end{aligned}$$

$$\begin{aligned}\tau &= -ES\omega \phi'''/T + GT\phi' \\ &= -ER^3T(\pi\beta + 2\cos\beta - \frac{1}{2}\beta^2 - z) \frac{\lambda m_z}{GK_T} \frac{-\cosh\lambda(l-z) + \cosh\lambda z}{\sinh\lambda l} \\ &\quad + GT \cdot \frac{m_z}{GK_T} \left(\frac{l}{z} + \frac{-\cosh\lambda(l-z) + \cosh\lambda z}{\sinh\lambda l} - z \right)\end{aligned}$$

ここで、各応力の最大値 σ_{max} , τ_{max} を求める。

$$\phi''_{max} = \phi''_{z=l/2} = \frac{m_z}{GK_T} \left(\operatorname{sech} \frac{\lambda l}{2} - 1 \right)$$

$$\omega_{nmax} = \omega_n / \beta=0 = \pi R^2$$

であるから、 $z = \frac{l}{2}$, $\beta = 0$ において $\sigma = \sigma_{max}$ であり、その値は

$$\sigma_{max} = \frac{\pi ER^2 m_z}{GK_T} \left(\operatorname{sech} \frac{\lambda l}{2} - 1 \right)$$

$$k_T = 2\pi R^3 T \text{ より}$$

$$T_{\max} = \pi \cdot \frac{E}{G} \cdot \frac{R^2 M_z}{2\pi R^3 T} \left(\operatorname{sech} \frac{\lambda l}{2} - 1 \right)$$

$$\lambda = \sqrt{\frac{G k_T}{E I_w}}$$

★ [ここで、条件にはなすが、 $G/E = 0.383$ とし、計算をすすめることにする]

$$\lambda = \sqrt{\frac{G \cdot \frac{2\pi R^3 T}{\pi R^2 \lambda (\frac{2}{3}\pi^2 - 4)}}{E}} = \sqrt{\frac{0.383 \times 2\pi}{\pi R^2 (\frac{2}{3}\pi^2 - 4)}} = 0.545$$

$$\operatorname{sech} \frac{\lambda l}{2} = \operatorname{sech} \frac{0.545}{2} \cdot \frac{l}{R} = \operatorname{sech} \frac{0.545 \times 20}{2} = 0.0086$$

$$|T|_{\max} = \pi \cdot \frac{E}{G} \cdot \frac{M_z}{2RT} (1 - 0.0086)$$

$$= 1.294 \frac{M_z}{RT} < 1400 \text{ kg/cm}^2 = \sigma_{ca}$$

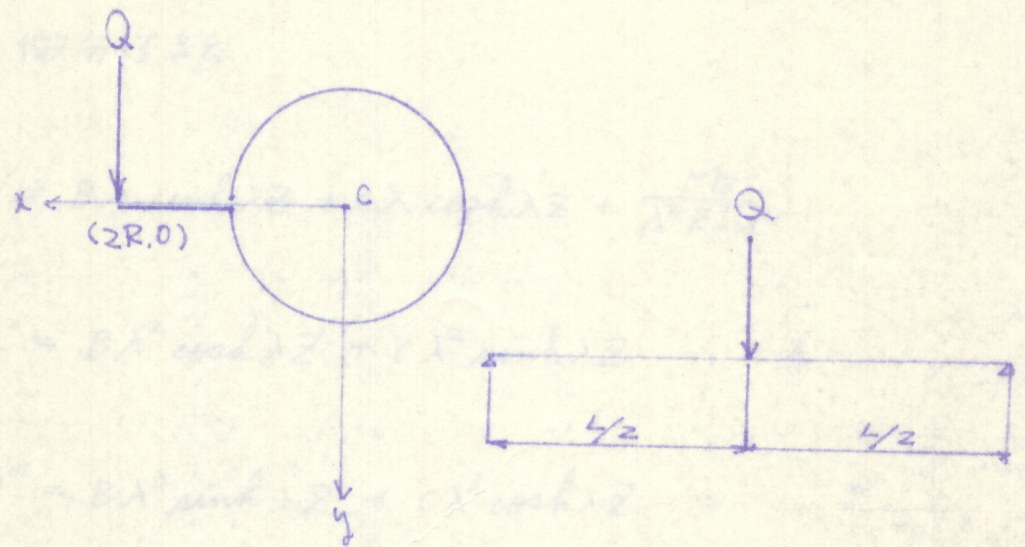
$$\therefore M_z < 1080 RT \text{ kg cm/cm} = \sigma_{ca}$$

★ [ここで与えられた条件では、数値的に許容ねじりモーメントが出ないため、 $R = 10 \text{ cm}$, $T = 1.0 \text{ cm}$ とし計算をする]

$$M_z < 1080 \times \frac{24}{10} \times 1.0 \times \frac{1}{1000} = 25.9 \text{ t-cm/cm}$$

[課題2]

課題1と同じ条件で、荷重が下図のように載荷されているときの応力を求める。



(ただし張出し部の断面は剛で断面定数には関係しないものとする。)

り断面諸量

課題1と全く同様である。

$$\therefore A = B = 0$$

$$C = - \frac{M_z}{\lambda^3 E I_w} \cdot \frac{1}{\cosh \frac{\lambda l}{2}}$$

$$\therefore \phi = - \frac{M_z}{\lambda^3 E I_w} \frac{\sinh \lambda z}{\cosh \frac{\lambda l}{2}} + \frac{M_z}{\lambda^2 E I_w} z$$

$$= \frac{M_z}{\lambda^3 E I_w} \left(- \frac{\sinh \lambda z}{\cosh \frac{\lambda l}{2}} + \lambda z \right)$$

$$\phi' = \frac{M_z}{\lambda^2 E I_w} \left(- \frac{\cosh \lambda z}{\cosh \frac{\lambda l}{2}} + 1 \right)$$

$$\phi'' = - \frac{M_z}{\lambda E I_w} \frac{\sinh \lambda z}{\cosh \frac{\lambda l}{2}}$$

$$\phi''' = - \frac{M_z \cosh \lambda z}{E I_w \cosh \frac{\lambda l}{2}}$$

よって直応力、せん断応力は次のようになる。

$$\sigma = \frac{M_x}{I_x} y + E \omega_m \phi''$$

$$\tau = \frac{Q}{t I_x} \int_0^s y t ds + \frac{E S_{\omega}}{t} \phi''' + G t \phi'$$

$$\therefore A = B = 0$$

$$C = -\frac{M_z}{\lambda^3 E I_w} \cdot \frac{1}{\cosh \frac{\lambda l}{2}}$$

$$\therefore \phi = -\frac{M_z}{\lambda^3 E I_w} \cdot \frac{\sinh \lambda z}{\cosh \frac{\lambda l}{2}} + \frac{M_z}{\lambda^2 E I_w} z$$

$$= \frac{M_z}{\lambda^3 E I_w} \left(-\frac{\sinh \lambda z}{\cosh \frac{\lambda l}{2}} + \lambda z \right)$$

$$\phi' = \frac{M_z}{\lambda^2 E I_w} \left(-\frac{\cosh \lambda z}{\cosh \frac{\lambda l}{2}} + 1 \right)$$

$$\phi'' = -\frac{M_z}{\lambda E I_w} \cdot \frac{\sinh \lambda z}{\cosh \frac{\lambda l}{2}}$$

$$\phi''' = -\frac{M_z \cosh \lambda z}{E I_w \cosh \frac{\lambda l}{2}}$$

よって直応力、せん断応力は次のようになる。

$$\sigma = \frac{M_x}{I_x} y + E \omega_m \phi''$$

$$\tau = \frac{Q}{t I_x} \int_0^s y t ds + \frac{E S_{\omega}}{t} \phi''' + G I \phi'$$

∴ ∴

$$\int_0^S y_t dS = \int_0^\beta R \sin \beta \cdot t R d\beta = R^2 T [-\cos \beta]_0^\beta = R^2 T (1 - \cos \beta)$$

$$I_x = \pi R^3 T \quad , \quad I_w = \pi R^5 T \left(\frac{2}{3} \pi^2 - 4 \right)$$

$$w_n = R^2 (\pi - 2 \sin \beta - \beta)$$

$$S_w = R^3 T \left(\pi \beta + 2 \cos \beta - \frac{1}{2} \beta^2 - 2 \right)$$

$$M_x = \frac{Q}{2} z \quad \left(0 < z \leq \frac{L}{2} \right)$$

$$M_z = -4RQ$$

$$\lambda = 0.545 / R$$

故 ∴

$$\begin{aligned} \sigma &= \frac{Q z R \sin \beta}{2\pi R^3 T} + \frac{E R^2 (\pi - 2 \sin \beta - \beta)}{0.545 E I_w} \cdot \frac{R \cdot 4RQ}{\cosh \frac{\lambda z}{2}} \frac{\sinh \lambda z}{\cosh \frac{\lambda L}{2}} \\ &= \left(\frac{z \sin \beta}{2\pi \cdot \frac{1}{24} R^3} + \frac{4R^4 (\pi - 2 \sin \beta - \beta)}{0.545 \cdot \pi R^5 T \left(\frac{2}{3} \pi^2 - 4 \right)} \cdot \frac{\sinh(0.545 \frac{z}{R})}{\cosh(0.273 \cdot 20)} \right) Q \\ &= \left\{ \frac{3.820}{R^3} z \sin \beta + \frac{24 \cdot 0.008 (\pi - 2 \sin \beta - \beta) \sinh(0.545 \frac{z}{R})}{R^3} \right\} Q \end{aligned}$$

$$\tau = \frac{Q}{\pi R^3 T^2} \cdot R^2 T (1 - \cos 2\beta) + \frac{E R^3 T}{T} \left(\pi \beta + 2 \cos 2\beta - \frac{\beta^2}{2} - 2 \right)$$

$$+ \frac{-4RQ}{E \pi R^5 T \left(\frac{2}{3} \pi^2 - 4 \right)} - \frac{G T \cdot 4RQ}{\lambda^2 E \pi R^5 T \left(\frac{2}{3} \pi^2 - 4 \right)} \left(1 - \frac{\cosh \lambda z}{\cosh \frac{\lambda L}{2}} \right)$$

$$= \left[\frac{24}{\pi R^2} (1 - \cos 2\beta) - \frac{24 \times 4}{\pi \left(\frac{2}{3} \pi^2 - 4 \right) R^2} \left(\pi \beta + 2 \cos 2\beta - \frac{\beta^2}{2} - 2 \right) + \left(\frac{R}{0.545} \right)^2 \frac{0.383 \times 4}{\pi \left(\frac{2}{3} \pi^2 - 4 \right) R^4} \left(\frac{\cosh \left(0.545 \frac{z}{R} \right)}{\cosh 5.46} - 1 \right) \right] Q$$

$$\therefore \tau = \left[\begin{array}{l} \times (1 - \cos 2\beta) \\ 7.639 \frac{Q}{R^2} - 11.845 \left(\pi \beta + 2 \cos 2\beta - \frac{\beta^2}{2} - 2 \right) \end{array} \right]$$

$$+ 0.636 \left\{ 0.009 \cosh \left(0.545 \frac{z}{R} \right) - 1 \right\} \left. \right] \frac{Q}{R^2}$$

(昭和54年5月17日3時限)

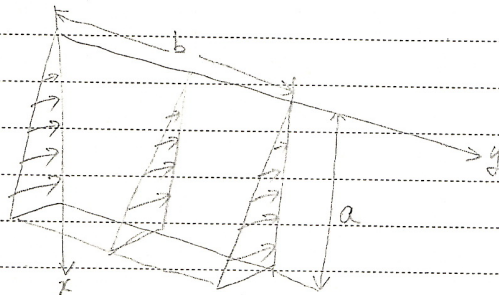
答 案 用 紙

教室番号	着席番号	試験科目	担当教員	学科	学年	組	学籍番号	氏名	採点
147		鋼構造特論	西脇 土 M1				9504	皆川 勝	

[問] 四辺単純支持の長方形等方性平板が

$$p = p_0 \frac{x}{a} \quad (\text{y方向に一定})$$

を受ける時の最大曲げモーメント及び最大たわみの生ずる位置とその各々の大きさを求めよ。



境界条件

$$\begin{aligned} x=0, a \quad w=0 \quad \frac{\partial^2 w}{\partial x^2} = 0 \\ y=0, b \quad w=0 \quad \frac{\partial^2 w}{\partial y^2} = 0 \end{aligned}$$

[解] $w = \sum_{m=1}^{\infty} \sum_{n=1}^{\infty} A_{mn} \sin \frac{n\pi x}{a} \sin \frac{m\pi y}{b} \quad \text{--- ①}$

$$p(x, y) = \sum_{m=1}^{\infty} \sum_{n=1}^{\infty} A_{mn} \sin \frac{n\pi x}{a} \sin \frac{m\pi y}{b} \quad \text{--- ②}$$

とおく。

①より,

$$\left. \begin{aligned} \frac{\partial^4 w}{\partial x^4} &= \sum_n \sum_n A_{mn} \left(\frac{n\pi}{a}\right)^4 \sin \frac{n\pi x}{a} \sin \frac{m\pi y}{b} \\ \frac{\partial^4 w}{\partial x^2 \partial y^2} &= \sum_m \sum_n A_{mn} \left(\frac{n\pi}{a}\right)^2 \left(\frac{m\pi}{b}\right)^2 \sin \frac{n\pi x}{a} \sin \frac{m\pi y}{b} \\ \frac{\partial^4 w}{\partial y^4} &= \sum_n \sum_n A_{mn} \left(\frac{m\pi}{b}\right)^4 \sin \frac{n\pi x}{a} \sin \frac{m\pi y}{b} \end{aligned} \right\} \text{--- ③}$$

②より $\int_0^b \int_0^a p(x, y) \sin \frac{i\pi x}{a} \sin \frac{j\pi y}{b} dx dy = \sum_m \sum_n \int_0^b \int_0^a A_{mn} \sin \frac{n\pi x}{a} \sin \frac{m\pi y}{b} \sin \frac{i\pi x}{a} \sin \frac{j\pi y}{b} dx dy$

(A_{ij} は③の1項の係数)

$$\int_0^a \sin \frac{n\pi x}{a} \sin \frac{i\pi x}{a} dx = \begin{cases} 0 & (n \neq i) \\ \frac{a}{2} & (n = i) \end{cases} \quad \int_0^b \sin \frac{m\pi y}{b} \sin \frac{j\pi y}{b} dy = \begin{cases} 0 & (m \neq j) \\ \frac{b}{2} & (m = j) \end{cases}$$

より $A_{ij} = \frac{4}{ab} \int_0^b \int_0^a p(x, y) \sin \frac{i\pi x}{a} \sin \frac{j\pi y}{b} dx dy$

ここで $p(x, y) = p_0 \frac{x}{a}$ と代入すると

$$A_{ij} = \frac{4p_0}{a^2 b} \int_0^b \int_0^a x \sin \frac{i\pi x}{a} \sin \frac{j\pi y}{b} dx dy \quad \text{--- ④}$$

答 案 用 紙

(昭和 年 月 日 時限)

N02

教室番号	着席番号	試験科目	担当教員	学科	学年	組	学籍番号	氏名	採点
							9504	皆川 勝	

④ 同様して、

$$\int_0^a x \sin \frac{i\pi x}{a} dx = \left(x \left(-\frac{a}{i\pi} \cos \frac{i\pi x}{a} \right) \right) dx$$

$$= -\frac{a}{i\pi} \left\{ \left[x \cos \frac{i\pi x}{a} \right]_0^a - \int_0^a \cos \frac{i\pi x}{a} dx \right\}$$

$$= -\frac{a}{i\pi} \left\{ \left[x \cos \frac{i\pi x}{a} \right]_0^a - \left[\frac{a}{i\pi} \sin \frac{i\pi x}{a} \right]_0^a \right\}$$

$$= -\frac{a}{i\pi} \cdot a \cos i\pi = -\frac{a^2}{i\pi} \cos i\pi$$

$$\int_0^b \sin \frac{j\pi y}{b} dy = -\frac{b}{j\pi} \left[\cos \frac{j\pi y}{b} \right]_0^b = -\frac{b}{j\pi} (\cos j\pi - 1)$$

$$\therefore a_{ij} = \frac{4p_0}{a^2 b} \frac{a^2}{i\pi} \cos i\pi \frac{b}{j\pi} (\cos j\pi - 1) = \frac{4p_0}{i j \pi^2} \cos i\pi (\cos j\pi - 1)$$

(★) $\left\{ \begin{array}{ll} i \text{ が 偶 数 } & j \text{ が 偶 数 } \quad \cos i\pi (\cos j\pi - 1) = 0 \\ \text{ , , } & i \text{ が 奇 数 } \quad \cos i\pi = -1 \quad a_{ij} = -2 \\ i \text{ が 奇 数 } & j \text{ が 偶 数 } \quad \cos i\pi = -1 \quad = 0 \\ \text{ , , } & j \text{ が 奇 数 } \quad \cos j\pi = -1 \quad = 2 \end{array} \right.$

偶 i 偶 j $1 \times 0 = 0$
偶 i 奇 j $1 \times -1 = -1$
奇 i 偶 j $-1 \times 0 = 0$
奇 i 奇 j $-1 \times -1 = 1$

$$\sum_m \sum_n A_{mn} \left\{ \left(\frac{m\pi}{a} \right)^2 + \left(\frac{n\pi}{b} \right)^2 \right\}^2 \sin \frac{m\pi x}{a} \sin \frac{n\pi y}{b} = \frac{1}{D} \sum_m \sum_n A_{mn} \sin \frac{m\pi x}{a} \sin \frac{n\pi y}{b}$$

$$\therefore A_{mn} = \frac{1}{\pi^4 D} \frac{A_{mn}}{\left\{ \left(\frac{m}{a} \right)^2 + \left(\frac{n}{b} \right)^2 \right\}^2} = \frac{1}{\pi^4 D} \frac{1}{\left\{ \left(\frac{m}{a} \right)^2 + \left(\frac{n}{b} \right)^2 \right\}^2} \frac{4p_0}{mn\pi^2} \cos m\pi (\cos n\pi - 1)$$

$$\therefore A_{mn} = \frac{4p_0}{\pi^6 D mn} \cos m\pi (\cos n\pi - 1)$$

$$A_{mn} = \frac{4p_0}{\pi^6 D mn} (-1)^{m+n} \quad \begin{matrix} m=1, 2, 3, 4, \dots \\ n=1, 3, 5, 7, \dots \end{matrix}$$

$$\therefore w = \frac{8p_0}{\pi^6 D} \sum_{m=1}^{\infty} \sum_{n=1,3,5,\dots}^{\infty} \frac{(-1)^{m+n}}{mn} \sin \frac{m\pi x}{a} \sin \frac{n\pi y}{b}$$

$$\Delta^2 w = D \left(\frac{\partial^2 w}{\partial x^2} + \frac{\partial^2 w}{\partial y^2} \right) = \frac{8p_0}{\pi^6} \sum_{m=1}^{\infty} \sum_{n=1,3,5,\dots}^{\infty} \frac{(-1)^{m+n}}{mn} \left(\frac{m\pi}{a} \right)^2 + \dots$$

教室番号	着席番号	試験科目	担当教員	学科	学年	組	学籍番号	氏名	採点
								皆川 勝	

$$A_{mn} = \frac{4P_0}{\pi^6 D m n} \frac{1}{\left\{ \left(\frac{m}{a}\right)^2 + \left(\frac{n}{b}\right)^2 \right\}^2} \cos m\pi x (\cos n\pi y - 1)$$

$$\therefore A_{mn} = \frac{4P_0}{\pi^6 D} \frac{1}{m n} \frac{1}{\left\{ \left(\frac{m}{a}\right)^2 + \left(\frac{n}{b}\right)^2 \right\}^2} (-1)^{m+1} 2$$

$$= \frac{8P_0}{\pi^6 D} \frac{(-1)^{m+1}}{m n} \frac{1}{\left\{ \left(\frac{m}{a}\right)^2 + \left(\frac{n}{b}\right)^2 \right\}^2} \left(\begin{array}{l} m = 1, 2, 3, 4, \dots \\ n = 1, 3, 5, 7, \dots \end{array} \right)$$

$$\therefore w = \frac{8P_0}{\pi^6 D} \sum_{m=1}^{\infty} \sum_{n=1,3,5,\dots}^{\infty} \frac{(-1)^{m+1}}{m n \left\{ \left(\frac{m}{a}\right)^2 + \left(\frac{n}{b}\right)^2 \right\}^2} \sin \frac{m\pi x}{a} \sin \frac{n\pi y}{b}$$

$$\left\{ \begin{array}{l} M_x = \frac{8P_0}{\pi^4} \sum_{m=1}^{\infty} \sum_{n=1,3,5,\dots}^{\infty} \frac{(-1)^{m+1}}{m n \left\{ \left(\frac{m}{a}\right)^2 + \left(\frac{n}{b}\right)^2 \right\}^2} \left\{ \left(\frac{m}{a}\right)^2 + \nu \left(\frac{n}{b}\right)^2 \right\} \sin \frac{m\pi x}{a} \sin \frac{n\pi y}{b} \\ M_y = \frac{8P_0}{\pi^4} \sum_{m=1}^{\infty} \sum_{n=1,3,5,\dots}^{\infty} \frac{(-1)^{m+1}}{m n \left\{ \left(\frac{m}{a}\right)^2 + \left(\frac{n}{b}\right)^2 \right\}^2} \left\{ \left(\frac{n}{b}\right)^2 + \nu \left(\frac{m}{a}\right)^2 \right\} \sin \frac{m\pi x}{a} \sin \frac{n\pi y}{b} \end{array} \right.$$

$$\frac{\partial w}{\partial x} = \frac{8P_0}{\pi^5 a D} \sum_{m=1}^{\infty} \sum_{n=1,3,5,\dots}^{\infty} \frac{(-1)^{m+1} \cdot m}{m n \left\{ \left(\frac{m}{a}\right)^2 + \left(\frac{n}{b}\right)^2 \right\}^2} \cos \frac{m\pi x}{a} \sin \frac{n\pi y}{b} = 0$$

$$\therefore y = \frac{b}{2} \text{ a } z \pm w = \max$$

$$\left(\frac{\partial w}{\partial x} \right)_{y=\frac{b}{2}} = \frac{8P_0}{\pi^5 a D} \sum_{m=1}^{\infty} \sum_{n=1,3,5,\dots}^{\infty} \frac{(-1)^{m+1} \cdot m}{m n \left\{ \left(\frac{m}{a}\right)^2 + \left(\frac{n}{b}\right)^2 \right\}^2} \cos \frac{m\pi x}{a}$$

Numerical に求める

- エネルギー法
- 7-1) 工展用